



Hochschule für Angewandte Wissenschaften Hamburg  
*Hamburg University of Applied Sciences*

# Diplomarbeit

Simon Püttjer

Diagnosefunktion für Automobil-Starterbatterien  
mit drahtlosen Zellsensoren

Simon Püttjer  
Diagnosefunktion für Automobil-Starterbatterien mit  
drahtlosen Zellsensoren

Diplomarbeit eingereicht im Rahmen der Diplomprüfung  
im Studiengang Informations- und Elektrotechnik  
Studienrichtung Kommunikationstechnik  
am Department Informations- und Elektrotechnik  
der Fakultät Technik und Informatik  
der Hochschule für Angewandte Wissenschaften Hamburg

Betreuender Prüfer : Prof. Dr.Ing. Karl-Ragmar Riemschneider  
Zweitgutachter : Prof. Dr.Ing. Jürgen Vollmer

Abgegeben am 17. Juni 2011

**Simon Püttjer**

**Thema der Diplomarbeit**

Diagnosefunktion für Automobil-Starterbatterien mit drahtlosen Zellsensoren

**Stichworte**

Sensorik, Starterbatterie, Batterie-Management, Ladezustand, drahtlos, Automobile Elektronik

**Kurzzusammenfassung**

Die Zuverlässigkeit der Energieversorgung von Automobil-Bordnetzen wird in den nächsten Jahren zusehends wichtiger werden. Besonders bei der Versorgung sicherheitsrelevanter Systeme (X-by-Wire) ist dies zu beachten. Entgegen bereits etablierter Methoden der Batterieüberwachung über ihre Gesamtspannung erzielt die Überwachung jeder einzelnen Zelle bessere Ergebnisse bei der Beurteilung der verbleibenden Kapazität. Diese Arbeit setzt auf bisherige Erkenntnisse der drahtlosen Zellüberwachung auf und behandelt dabei ihre Umsetzung auf die Starterbatterie.

**Simon Püttjer**

**Title of the paper**

Wireless Battery Diagnostic of Automotive SLI Batteries

**Keywords**

battery, SLI, diagnostic, wireless, monitoring, automotive electronics, battery management, on-board power supply

**Abstract**

The demand on the reliability of automotive vehicles power supply will steadily increase in the future. This is for security related systems (X-by-Wire) especially important to note. Contrary to already established methods of battery management by its overall voltage, monitoring of each single cell, results in better evaluation of its remaining capacity. This thesis builds on previous knowledge of wireless cell monitoring and deals with its implementation on automotive SLI batteries.



Hochschule für Angewandte Wissenschaften Hamburg  
Department Informations- und Elektrotechnik  
Prof. Dr.-Ing. Karl-Ragmar Riemschneider

8. Februar 2011

## Diplomarbeit Simon Püttjer:

# Diagnosefunktion für Automobil-Starterbatterien mit drahtlosen Zellsensoren

### Motivation

Starterbatterien liefern die Energie für den Startvorgang der Verbrennungsmotoren der Automobile. Darüber hinaus puffern sie das Automobil-Bordnetz mit immer mehr elektrischen Verbrauchern. In dieser Rolle als Pufferspeicher kommt in wenigen Jahren eine sicherheitskritische Funktion hinzu, wenn mit elektrischer Energie gelenkt und gebremst werden wird (X-by-Wire).

An der HAW Hamburg ist im Rahmen eines vom Bundesministerium für Bildung und Forschung geförderten Forschungsvorhabens BATSEN (Drahtlose Zellsensoren für Fahrzeugbatterien) ein Konzept entstanden, mögliche Funktionseinschränkungen frühzeitig zu erkennen. Bei dem im Vorhaben verfolgten neuartigen Lösungsansatz werden Messwerte von jeder einzelnen Batteriezelle aufgenommen und drahtlos übertragen. Dabei müssen Teile der Vorverarbeitung der Messwerte in den Sensor selbst als Mikrocontroller-Software implementiert werden.

In Vorarbeiten ist erkannt worden, dass eine statistisch mittelnde Erfassung von Zellenwerten mit einer Datenerfassung im Minutenbereich nicht ausreicht, den wechselnden Lang- und Kurzzeitbelastungen der Starterbatterie zu genügen. Beispielsweise stehen sich gegensätzlich gegenüber: sehr langzeitige Stromentnahmen in der Ruhephase im Bereich von wenigen mA und sehr kurzzeitige Ereignisse mit Strömen über 100 A, jedoch mit weniger als 1 Sekunde Gesamtdauer.

Motivation der Diplomarbeit ist, die Konzepte und Rahmenbedingungen für entsprechende Betriebsarten der Zellen-Sensorik zu finden und praktische Erfahrungen in dieser Aufgabe zu sammeln.

### Aufgabe

Herr Püttjer erhält die Aufgabe, die Rahmenbedingungen der Sensorik für den kurzzeitigen Hochstrombetriebs- am Beispiel des Startvorgangs - zu untersuchen und eine wesentlich zeitlich dichtere Messwerterfassung zu konzipieren. Dazu passend ist eine Untersuchung der entstehenden höheren Belastung des drahtlosen Kommunikationskanals notwendig, sowie die Erarbeitung von Konzepten, diesen günstig auszunutzen.

Die Zellenüberwachung erfolgt also in einem Zusammenwirken aus verteilter Datenerfassung und Vorverarbeitung und der Kommunikationsprotokolle. Herr Püttjer erhält die Aufgabe ausgewählte Varianten der Sensor- und Datenerfassungssoftware neu zu implementieren und hinsichtlich realisierbarem Aufwand, erreichbarer Messgegenauigkeit und aussagefähiger Ergebnisse zu untersuchen. Bei der Umsetzung sollen Controller der MSP430-Familie, der GNU C-Compiler, die Entwicklungsumgebung Eclipse und das Matlab-Tool-Paket sowie ein eigener Datenlogger-Aufbau eingesetzt werden.

Es ist eine Funktionsdemonstration mit einem praktischen Aufbau an einer Starterbatterie abschließend vorgesehen.

Zur Untersuchung der entstehenden höheren Belastung des drahtlosen Kommunikationskanals sollen entsprechende Kommunikationsteuerungen in die Controller der Sensoren implementiert werden.

Für die Diplomarbeit sind die folgenden Arbeitspakete geplant:

**1) Einführung, Konzeption und Rahmenbedingungen**

- Einarbeitung in die Projektzielstellung mit besonderer Bezug auf die Starterbatterie
- Analyse der Vorarbeiten und theoretische Darstellung der bisherigen Betriebsart
- Abschätzungen von Anforderungen und Grenzen

**2) Modifikation einer Starterbatterie, Vorbereitung der Hardware für die Messungen**

- Umbau und Ausrüstung einer Starterbatterie mit Zellsensoren
- Anpassung, Fehlerbeseitigung und Verbesserung des Datenloggers
- Praktischer Aufbau einer verbesserten Variante des Datenloggers, insbesondere mit einer Stromerfassung für die Lade- und Entladevorgänge in zwei Messbereichen
- Erstellung von Matlab-Skripten zur Analyse von Oszilloskop-Messreihen
- Erstellung und Inbetriebnahme von Messaufbauten

**3) Praktische Erfassung der Rahmenbedingungen der Hochstromereignisse**

- Erfassung der zeitlichen Abläufe von Batteriestrom und Spannung an verschiedenen Fahrzeugen beim Startvorgang
- Aufbau eines Anschlusses zum externen Betrieb einer messtechnisch präparierten Batterie
- Zellenweise Erfassung durch angepasste Adapterhardware
- Berücksichtigung einer guten Auflösung (zeitlich und Spannung) auch unter hohen Offsetspannungen
- Auswertung der Daten mit gekoppelten Speicheroszilloskopen und Matlab

**4) Verfahrensanalyse und Optimierung**

- Allgemeine Darstellung des unsynchronisiertem Kommunikationsverfahrens mit Übertragungskonflikten
- Messtechnische Untersuchung der Übertragungseffizienz und der Verlusten an Messwerten
- Gegenüberstellung von Verfahren mit ungesteuerten Mess- und Kommunikationsverfahren gegen Verfahren mit lokaler Triggerung durch Ereignisdetektion (z.B. schneller Spannungsabfall bei Hochstrom)

**5) Verfahrensimplementierung, Laborerprobung und Variantenvergleich**

- Einbringen der neuen Verfahren in die Software der Sensoren und Datenloggers
- Funktionsnachweis durch Signaleinspeisung in den Sensor, z.B. von einer variablen Spannungsquelle oder von einem arbiträren Signalgenerator
- Durchführung von Laborerprobung und Softwaretests
- Darstellung der Software-Struktur der Modifikation

**6) Erprobung und Messung mit der modifizierten Batterie**

- Durchführung ausgewählter Messreihen mit Hochstrom-, Normalbetriebs- und Ruhezuständen
- Vergleich dieser Messungen

**7) Auswertung und Bewertung**

- Grafische Darstellung und Dokumentation der Messergebnisse
- Vergleich der Verfahren, ev. Abweichungen der Ergebnisse u.a. Besonderheiten
- Diskussion und Bewertung des Sensorsignals anhand der Erprobungserfahrung und ggf. der Messdaten

## **Dokumentation**

Die Fachliteratur, die Vorarbeiten und die kommerziellen Unterlagen sind zielgerichtet zu recherchieren. Dabei sind wichtige Grundlagen und die vorgesehene Anwendung näher zu betrachten. Ebenso ist die Berücksichtigung der Messverfahrens-Varianten und -Parameter notwendig, um deren Potential beurteilen zu können. Die Funktionsweise und die Struktur der Software-Module ist gut nachvollziehbar zu dokumentieren. Die gesetzten Rahmenbedingungen, die Grundkonzeption, auftretende Probleme und wesentliche Folgerungen sollen beschrieben werden. Die Messergebnisse sind in exemplarischem Umfang zu erfassen. Sie sind auszuwerten und als Diagramme zusammenfassend darzustellen. Die realisierten Lösungen und die Ergebnisse sind kritisch einordnend zu bewerten. Ansätze für Verbesserungen und weitere Arbeiten sind zu nennen.

## Danksagung

Das Erstellen umfangreicherer Arbeiten erfordert immer auch die Unterstützung durch weitere Personen. Sei es durch technische, fachliche oder auch menschliche Kompetenzen. An dieser Stelle möchte ich deshalb allen Menschen danken, durch die ich in der Lage war diese Arbeit zu bewältigen.

An erster Stelle bedanke ich mich bei meinem Erstprüfer, Herrn Prof. Dr.-Ing. Karl-Ragmar Riemschneider. Sein fachliches Wissen und stetiges Engagement halfen mir besonders beim Herangehen an auftauchende Problemstellungen. Ohne ihn wäre zudem die Erstellung dieser Arbeit nicht möglich gewesen.

Herr Prof. Dr. Jürgen Vollmer war besonders bei nachrichtentechnischen Fragen eine große Hilfe. Er nahm sich stets die Zeit Problemstellungen zu diskutieren und so zu deren Lösung beizutragen. Für die Übernahme der Bewertung meiner Arbeit als Zweitprüfer danke ich ihm sehr.

Nicht zu vergessen ist der technische Beistand durch die Mitarbeiter des Labors für Informationstechnik Herrn Gerhard Wolff und Herrn Jörg Pflüger. Sie waren immer bemüht, mir Materialien und Werkzeug zur Verfügung zu stellen. Gerade ihre Erfahrung in der praktischen Konstruktion von Messaufbauten schätze ich sehr.

Dank auch an Dipl.-Ing. Günter Müller, der mir bei den Messungen und der Korrektur half.

Sehr lobenswert ist auch das unermüdliche Engagement von Herrn Dipl.-Ing. Matthias Schneider, der dem Forschungsprojekt BATSEN in diesem Jahr als wissenschaftlicher Mitarbeiter hinzugestoßen ist. Gerade gegen Ende dieser Arbeit stand er mir immer mit Rat und Tat zur Seite.

Dank gebührt ebenso allen weiteren Kommilitonen, die zur selben Zeit ihre Abschlussarbeiten bearbeiteten. Sie trugen maßgeblich zu der sehr entspannten Stimmung im Labor bei. Besonders danken möchte ich an dieser Stelle Niels Jegenhorst, der zur selben Zeit mit seiner Master-Arbeit beschäftigt war. Mit ihm konnte ich viele technische Details diskutieren, was ich als sehr wertvoll erachte.

Zuletzt danke ich noch meinen Freunden und meiner Familie, die während der Erstellung dieser Arbeit das eine oder andere Mal auf mich verzichten mussten. Ihre moralische Unterstützung bedeutet mir sehr viel.

# Inhaltsverzeichnis

<b>Tabellenverzeichnis</b>	<b>10</b>
<b>Abbildungsverzeichnis</b>	<b>11</b>
<b>1. Motivation und Einführung</b>	<b>14</b>
1.1. Starterbatterien . . . . .	15
1.1.1. Aufgaben und Anforderungen im Kfz-Bordnetz . . . . .	16
1.1.2. Aufbau und Eigenschaften von Blei-Batterien . . . . .	21
1.2. Batteriesensorik und –management . . . . .	24
1.2.1. Ladezustandsbestimmung der Batterie . . . . .	25
1.2.2. Einsatz von Batteriesensorik . . . . .	26
1.3. Einzelzellüberwachung . . . . .	28
1.3.1. Konzept von drahtlosen Sensornetzen . . . . .	29
1.3.2. Realisierung des Sensors . . . . .	30
1.3.3. Realisierung des Empfängers . . . . .	34
1.4. Anwendung der drahtloser Sensorik auf Kfz Starterbatterien . . . . .	38
1.4.1. Vorüberlegungen zu Anforderungen an das System . . . . .	39
1.4.2. Vorbewertung des Sendeverfahrens . . . . .	39
<b>2. Analyse</b>	<b>41</b>
2.1. Betriebsverhalten von Starterbatterien . . . . .	41
2.1.1. Batterieverhalten im Hochstrombetrieb . . . . .	42
2.1.2. Messaufbau und Durchführung . . . . .	43
2.1.3. Auswertung der Messdaten . . . . .	44
2.2. Limitierung realer Systeme . . . . .	51
2.2.1. Sender/Zellsensor . . . . .	51
2.2.2. Empfänger/Datenlogger . . . . .	55
2.3. Übertragungskanal . . . . .	58
2.3.1. Framefehler . . . . .	58
2.3.2. Messung der Framefehlerrate . . . . .	60
2.4. Auswertung und Konzeption . . . . .	64

---

<b>3. Realisierung</b>	<b>70</b>
3.1. Konstruktion und Änderung verwendeter Hardwarekomponenten . . . . .	70
3.1.1. Sensorsystem . . . . .	70
3.1.2. Modifikation der Starterbatterie und Konstruktion von Messaufbauten .	74
3.2. Verfahrensimpementation . . . . .	77
3.2.1. Sensor . . . . .	77
3.2.2. Datenlogger . . . . .	81
3.3. Erprobung . . . . .	82
3.3.1. Laborbetrieb . . . . .	82
3.3.2. Betrieb am Kfz . . . . .	85
<b>4. Auswertung und Fazit</b>	<b>92</b>
4.1. Zusammenfassung . . . . .	92
4.2. Bewertung erzielter Ergebnisse . . . . .	93
4.3. Fazit . . . . .	95
<b>5. Ausblick</b>	<b>97</b>
<b>Literaturverzeichnis</b>	<b>99</b>
<b>Anhang</b>	<b>101</b>
A. Quelltext . . . . .	101
A.1. Sensor . . . . .	101
A.2. Datenlogger . . . . .	114
B. Matlab Quellcode . . . . .	205
B.1. Framefehler Auswertung . . . . .	205
B.2. Auswertung zu den Messungen an der Starterbatterie . . . . .	209
B.3. Auswertung und Analyse der Sensordaten . . . . .	211
C. Sonstiger Anhang . . . . .	217

# Tabellenverzeichnis

1.1. Eigenschaften häufig genutzter Akkumulatoren . . . . .	20
1.2. Ladezustand über die Ruhespannung . . . . .	26
1.3. Übertragungsprotokoll des Zellensensors . . . . .	34
1.4. Biterkennung nach Regeln . . . . .	37
2.1. Einstellungen der Oszilloskope . . . . .	44
2.2. Vergleich der Fahrzeuge . . . . .	49
3.1. Messbereiche des DHAB S/24 . . . . .	72
3.2. Verwendete Starterbatterien . . . . .	74
3.3. Änderung des Übertragungsprotokoll für das neue Übertragungsverfahren (ohne RunIn und SOF) . . . . .	81
3.4. Umrechnung der Schwellwerte zur Wahl des Messbereichs . . . . .	82

# Abbildungsverzeichnis

1.1. ADAC Pannenstatistik 2010 . . . . .	14
1.2. Allgemeine Zusammenhänge im Kfz-Bordnetz . . . . .	16
1.3. Beispiel Bordnetz: VW Phaeton . . . . .	17
1.4. Das Funktionsprinzip des Bleiakкумуляtors . . . . .	21
1.5. Aufbau einer Starterbatterie . . . . .	23
1.6. Batterie- und Energiemanagement im Zusammenhang . . . . .	25
1.7. BMW, Hella, Autokabel: intelligenter Batteriesensor . . . . .	27
1.8. Blockschaltbild des IBS2006 . . . . .	28
1.9. Ladezustand einzelner Zellen . . . . .	28
1.10. Konzept drahtloser Batteriesensorik . . . . .	29
1.11. Aufbau des Zellsensors, modifiziert nach [14] Abb. 2.2 . . . . .	30
1.12. Realisierung des Zellsensors . . . . .	31
1.13. Flussdiagramm der Senderoutine . . . . .	33
1.14. Aufbau des Steuergeräts . . . . .	35
1.15. Praktischer Aufbau des Steuergeräts . . . . .	36
1.16. Erkennung der Bits aus dem Empfangssignal . . . . .	37
1.17. Ablauf des Timerinterrupts im Steuergerät . . . . .	38
1.18. Anforderungen in verschiedenen Betriebszuständen . . . . .	39
1.19. Darstellung des Übertragungsverfahrens auf Frame-Ebene . . . . .	40
2.1. Schematische Darstellung der Teilspannungen an der Batterie . . . . .	42
2.2. Messaufbau der Hochstrommessung . . . . .	43
2.3. Zellspannungen und Laststrom im Startmoment eines VW Passat Diesel über 10s . . . . .	45
2.4. Zellspannungen und Laststrom im Startmoment eines Mercedes Benz Vito Diesel über 4s . . . . .	46
2.5. Zellspannungen im Startmoment eines Audi A4 über 10s . . . . .	47
2.6. Zellspannungen im Startmoment eines VW Passat Diesel über 10s mit ge- schwächter Zelle (Zelle 3) . . . . .	48
2.7. Vergleich abschnittsweiser zu „starrer“ Mittelung des Hochstromereignisses . . . . .	52
2.8. Darstellung der Versorgungsspannung des Sensors im Sendefall . . . . .	53
2.9. ASH Block Diagramm . . . . .	55

---

2.10. Nutzdatensignal und Störungen auf dem Kanal: Sendeseite (oben), Empfängerseite (unten) . . . . .	56
2.11. Rekonstruktion des Digitalsignals am Empfänger . . . . .	57
2.12. Abschätzung der Framefehlerrate . . . . .	59
2.13. Überlagerung der Zeitfenster . . . . .	59
2.14. Verhältnisse verschiedener Fehlerfälle zum Gesamtverlust an Frames pro Sensor (Empfänger ohne Modifikation) . . . . .	61
2.15. Darstellung theoretischer und gemessener Framefehlerraten mit modifiziertem Empfänger . . . . .	62
2.16. Timings der Frames bei Annahme fester Sendezeiten von 500ms . . . . .	63
2.17. Schichtenmodell der Kommunikation zwischen Sensor und Datenlogger . . . . .	65
2.18. Simulation des Datenpuffers im Sensor, Passat 40s . . . . .	67
2.19. Simulation des Datenpuffers im Sensor, Audi A4 40s . . . . .	68
2.20. Simulation des Datenpuffers im Sensor, Audi A4 3x an bzw. aus 40s . . . . .	69
3.1. Schaltplan der DR5100 Empfängerplatine . . . . .	71
3.2. Änderungen der Strommessung am Developmentboard . . . . .	73
3.3. Verwendeter Hall-Sensor mit Anschlusskabel . . . . .	73
3.4. Geöffnete Starterbatterie von Moll . . . . .	75
3.5. Modifizierte Starterbatterie mit Zellsensoren . . . . .	75
3.6. Messadapter für Hochstrommessungen mit dem Oszilloskop . . . . .	76
3.7. Flussdiagramm der Messwertaufnahme . . . . .	78
3.8. Darstellung der Queue als Ringspeicher . . . . .	79
3.9. Zustandsdiagramme des Übertragungsteils . . . . .	80
3.10. Schematischer Aufbau bei der Laborerprobung . . . . .	83
3.11. Gemessenes Zeitverhalten der Zwischenspeichers . . . . .	84
3.12. Erprobung am Signalgenerator mit 6 Sensoren parallel . . . . .	85
3.13. Praktischer Aufbau der Erprobung in der Fahrzeughalle . . . . .	86
3.14. Sensormessdaten beim Startvorgang im Vergleich, Audi A4 über 20s . . . . .	88
3.15. Sensormessdaten beim Startvorgang im Vergleich, Audi A4 über 20s, gezoomt . . . . .	89
3.16. Sensormessdaten beim Startvorgang im Vergleich, VW Passat über 40s . . . . .	90
3.17. Sensormessdaten beim Startvorgang im Vergleich, Audi A4 über 40s, 3-fach-Start . . . . .	91
4.1. Darstellung der Abhängigkeiten des gesamten Systems im Überblick . . . . .	95
5.1. Mögliches Sendeverfahren ohne festen Zeitanteil . . . . .	98
2. Konstruktionszeichnung des Batterie-Deckels der Starterbatterie von Banner (Verhältnis 1:2) . . . . .	218

- 
3. Konstruktionszeichnung des Batterie-Deckels der Starterbatterie von Moll  
(Verhältnis 1:2) . . . . . 219

# 1. Motivation und Einführung

Starterbatterien zählen seit je her zu den wichtigsten Energiespeichern am Markt. Gerade in der heutigen Zeit, deren Fortschritt immer mehr Energie aus dem Bordnetz fordert, wird die Starterbatterie ein immer wichtigerer Bestandteil im Auto. Ohne einen zuverlässigen Energiespeicher fielen bei einem Defekt sämtliche elektrische Verbraucher unvorhergesehen aus. – Es käme zur Panne. Schon heutzutage zählt die Kfz-Elektrik neben Motor und Motormanagement zu den häufigsten Ursachen einer Panne. Laut der aktuellen Pannenstatistik des ADAC belegte im Jahr 2010 defekte Elektrik einen Anteil von 53,7% (Abb. 1.1). Hiervon erwies sich in 75% der Fälle die Starterbatterie als Auslöser.

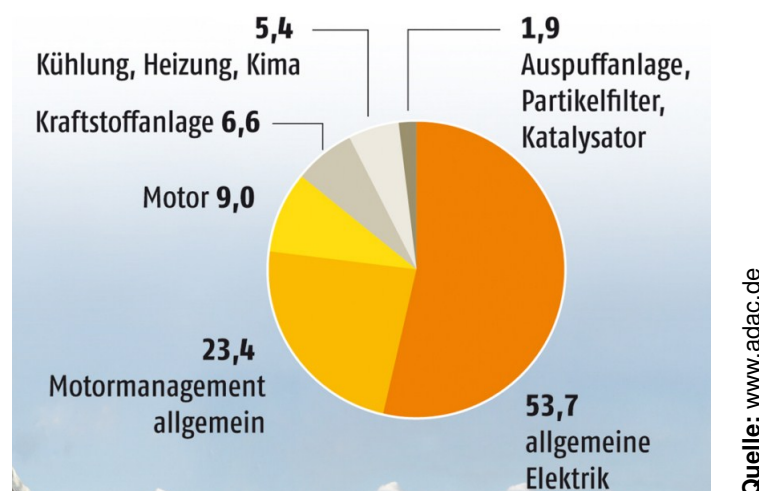


Abbildung 1.1.: ADAC Pannenstatistik 2010

Die schiere Abhängigkeit elektrischer Systeme von der Starterbatterie als Quelle lassen sie so als schwächstes Glied im Bordnetz erscheinen. Gerade bei sicherheitsrelevanten Aspekten von X-by-Wire<sup>1</sup> wird das Fahrzeughandling immer abhängiger von einer zuverlässig funktionierenden Elektronik. Trotz vielversprechender Kostenvorteile bei der Fertigung lassen sich angesichts dieser Unsicherheit mit der X-by-Wire Technik langfristig keine Erfolge

<sup>1</sup>Begriff der elektrischen Kopplung von Kfz-Funktionseinheiten wie Bremsen, Kuppeln, Lenken usw. Ersatz mechan. Steuerung durch elektrische/opt. Signale.

auf dem Markt erzielen [1].

Die Lösung des Batterieproblems durch Weiterentwicklung neuer Energiespeicher wird sich in naher Zukunft nicht ergeben. Zu groß ist die Vielzahl von Abhängigkeiten gegenüber Witterung, Fahrverhalten, Teilkomponenten und Alter. Als folglich kritisches System wird die Starterbatterie immer bezüglich ihrer Grundfunktionen überwacht werden müssen. Lebensdauer und Effektivität lassen sich durch entsprechendes Management entscheidend verbessern. Zudem kann ein voraussichtlicher Fehlerfall vorzeitig erkannt und möglicherweise rechtzeitig behoben werden. Die Anforderungen an Batteriesensorik sind dem Markt entsprechend hoch und auch in Hinblick auf die Elektromobilität sehr gefragt. Gerade die Minimierung der Kosten, in Verbindung zu hohen Stückzahlen und zum Erhalt rentabler Verkaufserlöse, treibt die Entwicklung in diesem Bereich immer weiter an. Die vorliegende Arbeit soll hier durch die Untersuchung neuer drahtloser Technologien im Bereich der Batteriesensorik zur Kosteneffizienz einen Beitrag leisten.

## 1.1. Starterbatterien

Die Starterbatterie ist ein essenziell wichtiger Teil für den reibungslosen Betrieb von Verbrennungsmotoren aller Art. Zum Starten von Verbrennungsmotoren muss das Kraftstoff-Luftgemisch zunächst zum optimalen Zündzeitpunkt vorverdichtet werden. Das hierfür benötigte Antreiben der Kurbelwelle wird heutzutage elektrisch durch den sogenannten Starter bzw. Anlasser erreicht. Dieser ist meistens ein Elektromotor, der beim Starten kurzfristig durch einen Magnetschalter über ein Zahnradtrieb mit dem Verbrennungsmotor verbunden wird. Ist der Motor gestartet, wird die Batterie durch die überschüssige Energie des Motors über einen Generator wieder geladen. Sie ist ein Akkumulator.

Neben dem Startvorgang dient die Starterbatterie außerdem dem Puffern besonderer Lastspitzen und versorgt bei Motorstillstand permanent elektrische Verbraucher wie z.B. Bordcomputer, Radio, Licht usw. Abb. 1.2 zeigt den Zusammenhang der Starterbatterie und wichtiger Teilkomponenten.

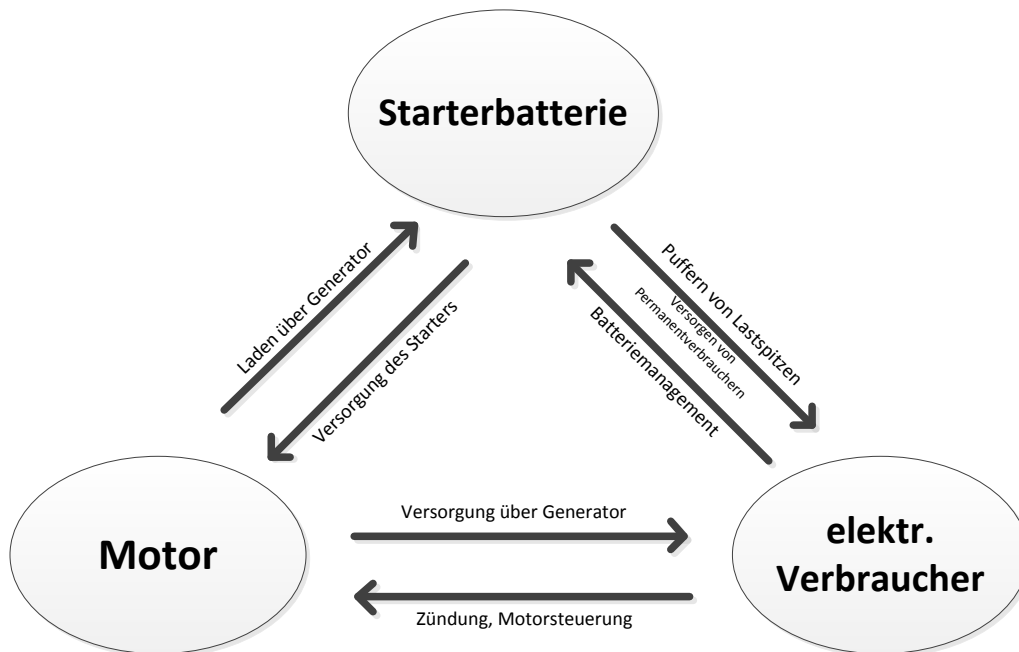
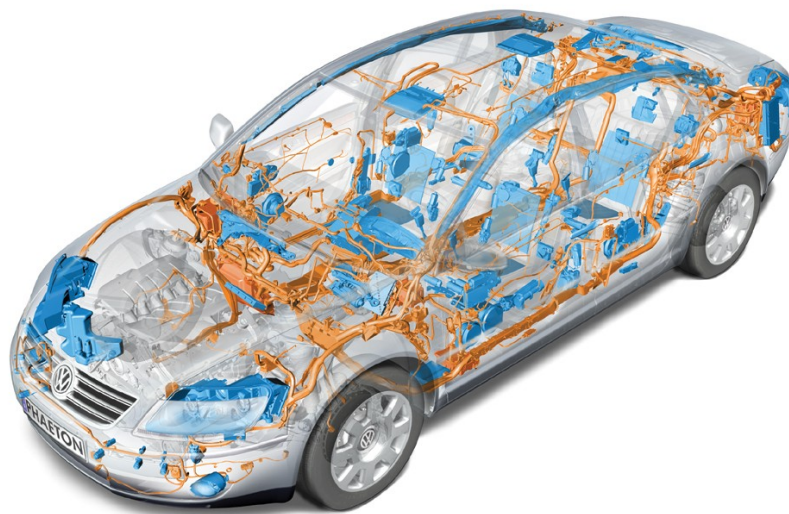


Abbildung 1.2.: Allgemeine Zusammenhänge im Kfz-Bordnetz

### 1.1.1. Aufgaben und Anforderungen im Kfz-Bordnetz

Das Kfz-Bordnetz bezeichnet die Gesamtheit aller verbauten, elektrischen Verbraucher, sowie ihre versorgenden Komponenten wie Generator und Batterie. Je nach Fahrzeuggröße und Ausstattung ergibt sich eine beachtliche Anzahl von Komponenten, die in ihrer Gesamtheit Kabelverbindungen von bis zu mehreren Kilometern erfordern. Abb. 1.3 zeigt beispielhaft das Bordnetz des VW Phaeton. Aus der Abbildung wird deutlich mit welcher Komplexität sich die Verkabelung über die gesamte Karosserie erstreckt.



Quelle: [www.bosch-service.de](http://www.bosch-service.de)

Abbildung 1.3.: Beispiel Bordnetz: VW Phaeton

Die Hauptaufgabe der Starterbatterie ist neben der Versorgung des Starters die Versorgung der im Auto befindlichen elektrischen Verbraucher, sobald der Generator nicht mehr genügend Leistung zur Verfügung stellen kann (Leerlauf oder Motorstillstand). Ebenso schützt ihre hohe Kapazität das Bordnetz vor eventuell auftretenden Spannungsspitzen, durch die die Elektronik gefährdet würde. Es lassen sich hieraus 3 Betriebszustände ableiten:

**Hochstromentladung** Steht der Motor still, fordert der Starter zum Erzeugen des benötigten Drehmoments kurzzeitig einen hohen Strom von mehreren hundert Ampere. Der Zustand des Motors und die Umgebungstemperatur beeinflussen den Startvorgang zusätzlich: Bei niedrigen Temperaturen sind sämtliche Schmiermittel sehr zähflüssig und erhöhen zusätzlich den Kraftaufwand für den Starter.

**Lade-/Entladebetrieb** Liefert der Generator bei laufendem Motor genügend Energie für das Bordnetz, wird die Batterie kontinuierlich geladen. Ein entsprechender Laderegler stellt dazu die benötigten Ladespannungen bereit. Die hierzu aufgebrauchte Leistung ist jedoch stark von der Motordrehzahl abhängig. Die im Generator induzierte Spannung erzeugt erst bei etwa  $6000 \text{ min}^{-1}$  Umdrehungen die entsprechende Nennleistung<sup>2</sup>. Bei niedrigen Drehzahlen (Leerlauf bei  $<1000 \text{ min}^{-1}$ ) wird nur noch ein geringer Teil der Nennleistung erreicht. Gerade bei Fahrzyklen mit hohen Leerlaufanteilen, etwa im dichten Stadtverkehr oder häufigen Kurzstrecken, kann der Generator die benötigte Leistung nicht bereitstellen und die Batterie wird entladen.

<sup>2</sup>die typische Nennleistung von Lichtmaschinen beträgt bei Kleinwagen etwa 1kW bis 3 kW in der Oberklasse

**Ruhe** Ist der Motor ausgeschaltet wird die Batterie i.d.R. nur sehr schwach belastet. Permanentverbraucher wie Radio, Bordcomputer, Steuergerät usw. benötigen hier über längere Standzeiten kontinuierlich nicht mehr als 3-10mA Ruhestrom.

Optimalerweise sollte die Batterie nicht kontinuierlich während der Fahrt entladen werden, sodass das Starten des Motors auch bei starker Nutzung von Komfortverbrauchern stets gewährleistet ist. Bei Fahrzeugen der Oberklasse wird deshalb häufig eine 2. Servicebatterie verbaut, die für starke, zyklische Belastungen ausgelegt ist.

Neben behandelten, technischen Gegebenheiten spielt ebenso die Wahl der Starterbatterie eine wichtige, ökonomische Rolle. Bei praktizierter Massenherstellung von Fahrzeugen rücken verstärkt Produktions-, Anschaffungs- und Wartungskosten in den Vordergrund, die unter Abwägung von eingesetzten Batterien erfüllt werden müssen. Die Kosten hängen dabei von der Art der gewählten Batterie ab, die wiederum unterschiedliche Merkmale und Eigenschaften aufweist. Die wichtigsten Merkmale verschiedener Batterietypen sind dabei in Tabelle 1.1 aufgelistet. Im Vergleich besonders auffälliger Werte sind dabei entsprechend gekennzeichnet.

Als Starterbatterien scheiden hierbei Nickel-Cadmium und Nickel-Metallhydrid aus. Trotz der guten Zyklenzahl und annehmbarem Ladeverhalten eignen sich diese Typen durch ihren hohen Innenwiderstand und Wartungsbedarf nicht für den Einsatz als Starterbatterie. Die zudem geringe Zellspannung von 1,2 V erfordern zum Erreichen höherer Spannungen entsprechend viele Zellen, was die Wartung und Kosten im Vergleich zur Blei-Säure Batterie in die Höhe treibt. Durch die relativ gute Energiedichte und der im Vergleich zu Nickel-Cadmium viel geringeren Toxizität finden NiMH-Akkumulatoren eher Anwendung in Kleinstgeräten und dem Modellbau. Ihre guten Hochstromeigenschaften unter Vollast lassen auch den Einsatz in Hybridfahrzeugen zu, zuletzt serienmäßig z.B. im Toyota Prius.

Weit höheres Potenzial hat die Lithium-Ionen Technik: Wie in Tabelle 1.1 ersichtlich, bietet sie die meisten Vorteile im Vergleich zu herkömmlichen Techniken. Der größte Vorteil liegt dabei in der höheren Energiedichte, ihrer Wartungsfreiheit und im Schnelladerverhalten. Im Vergleich zum Blei-Säure-Akkumulator ist eine deutliche Steigerung in nahezu allen Eigenschaften gegeben. Die Lithium-Ionen-Technik ist somit die derzeit erfolgversprechendste Akku-Technologie. Mit neuen Werkstoffen und Nanotechnologie sind heutzutage schon erhebliche Verbesserungen zu den genannten Eigenschaften möglich. In Bezug zur Starterbatterie stehen schon Lithium-Ion-Varianten zum Verkauf. Der Automobilhersteller Porsche vertrieb Anfang des Jahres 2010 die ersten Starterbatterien<sup>3</sup> mit Lithium-Ion-Technik, die aufgrund von Gewichtsersparnissen neben Langlebigkeit höhere Reichweiten und bessere Fahreigenschaften versprechen.

Die Lithium Ionen Technik birgt jedoch auch Nachteile: Seltene Werkstoffe, sowie hohe Empfindlichkeit gegenüber Über- und Tiefentladung schlagen sich erheblich auf die Kosten

---

<sup>3</sup>Porsche Leichtbau-Starterbatterie, Nennkapazität: 18Ah, Gewicht: 6kg, [www.Porsche.de](http://www.Porsche.de)

nieder. Derzeit in Elektrofahrzeugen verbaute Lithium-Ion-Akkupakete nehmen häufig den Großteil der Fahrzeugkosten ein. So liegt beispielsweise der Anteil der Batterie im Karabag 500E<sup>4</sup> mit 10.000 - 20.000 € bei etwa 30%-50%.

Zuletzt bleibt noch der herkömmliche Blei-Säure Akkumulator als Starterbatterie übrig. Die schon seit Jahrzehnten im Automobil bewährte Technik bietet sich vor allem wegen den geringen Herstellungskosten und ihrer Robustheit an. Die im Vergleich zu anderen Technologien ersichtlichen Nachteile aus Tabelle 1.1 lassen sich bezogen auf die Anforderungen schlichtweg ertragen: Die Hauptaufgabe des Starters fordert im Allgemeinen keine längeren Ladezyklen. Kurz nach dem Start entlastet ihn i.d.R. der Generator. Unter kurzen Belastungen wirkt sich seine relativ hohe Robustheit gegenüber unsachgemäßer Ladung positiv auf die Lebenszeiten aus. Die einfache Technik wird aufgrund ihrer Verbreitung und mangelnder Alternativen noch lange auf dem Markt bestehen. In heutigen Fahrzeugen wird die Starterbatterie häufig vernachlässigt und trägt zu Pannen bei, wie anfangs erwähnt, sogar zu einem erheblichen Teil. Schon durch eine einfache Überwachung und Sicherstellung ausreichender Aufladung der Batterie lässt sich eine z.T. erhebliche Erhöhung der Lebensdauer erreichen [15], weshalb die Blei-Säure-Starterbatterie weiter in dieser Arbeit behandelt wird.

---

<sup>4</sup>basierend auf Fiat 500, 30kW/41PS,22kWh Kapazität, [www.karabag.de](http://www.karabag.de)

	NiCd	NiMH	Blei-Säure	Lithium-Ion		
				Kobalt	Mangan	Phosphat
spezifische Energie Dichte (Wh/kg)	45-80	60-120	30-50 -	150-190 +	100-135	90-120
Innen-Widerstand in $m\Omega$	100-200 6V pack	200-300 6V pack -	<100 12V pack +	150-300 7,2V pack	25-75 +	25-50 ++
Anzahl Zyklen (für 80% der Nennkapazität)	1000	300-500	200-300 -	500-1000	500-1000	1000-2000 ++
Schnellladezeit	1h typisch +	2-4h	8-16h -	2-4h	<1h +	<1h +
Überladetoleranz	moderat	gering	hoch +	sehr gering -		
Selbstentladung pro Monat (bei Raumtemp.)	20,00%	30,00% -	5,00% +	<10%		
Zellenspannung (nominal)	1,2V	1,2V	2V	3,6V	3,8V	3,3V
Ladestrom <sup>5</sup> max C-Wert für bestes Resultat	20C 1C	5C 0,5C	5C 0,2C	>3C <1C	>30C <10C	>30C <10C
Betriebstemp. (nur Entladung, in °C)	-40 bis 60	-20 bis 60	-20 bis 60	-20 bis 60		
Wartungsbedarf	30-60 Tage	60-90 Tage	3-6 Monate	nicht nötig ++		
Sicherheitsbedarf	thermisch stabil	thermisch stabil, Sicherung üblich +		Überwachungs-Schaltung benötigt -		
Kommerziell verwendet seit	1950	1990	späten 1800er	1991	1996	2006
Toxizität	sehr hoch	gering	sehr hoch	gering		

Quelle: www.battery-university.com

Tabelle 1.1.: Eigenschaften häufig genutzter Akkumulatoren

<sup>5</sup>Lade- und Entladeströme sind meist auf die Nennkapazität bezogen und in C ausgedrückt. 1 C bezeichnet die Ent- oder Aufnahme der auf die Nennkapazität bezogenen Stromstärke. Zu hohe Ladeströme wirken sich negativ auf die Zyklenlebensdauer aus. Bessere Ergebnisse werden bei längeren Ladevorgängen mit geringer Stromstärke erzielt.

### 1.1.2. Aufbau und Eigenschaften von Blei-Batterien

Die Starterbatterie ist seit jeher eine Bleibatterie: Sie besteht prinzipiell aus zwei Elektroden, die über einen Elektrolyten miteinander Ionen austauschen. Die gespeicherte chemische Energie wird hierbei durch eine elektrochemische Redoxreaktion in elektrische Energie umgewandelt. Beim Laden verläuft die Reaktion entsprechend gegenläufig ab.

Bei der Bleibatterie besteht die negative Elektrode aus Blei und die positive Elektrode aus Bleidioxid. Als Elektrolyt dient mit Wasser verdünnte Schwefelsäure (ca. 38%). Abb. 1.4 zeigt den prinzipiellen Aufbau mit chemischen Hauptreaktionen für Lade- und Entladevorgang.

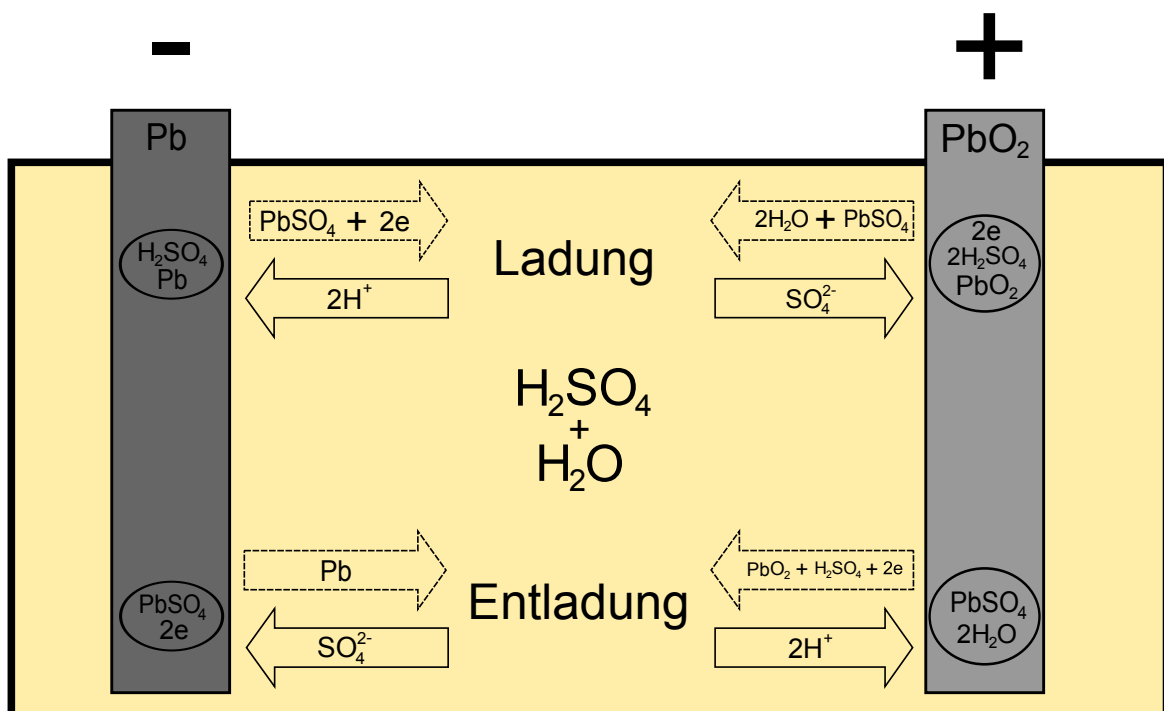


Abbildung 1.4.: Das Funktionsprinzip des Bleiakкумуляtors

Während der Hauptreaktion wandert beim Laden des Akku das negativ geladene Sulfation  $SO_4^{2-}$  aus dem Elektrolyt zur positiven Elektrode ab. Es wird dabei unter Bildung von Schwefelsäure Wasser verbraucht. Zudem werden 2 neue Ladungen  $e$  frei, die über den äußeren Ladestromkreis zur negativen Elektrode gelangen. Die Elektrode wird entsprechend positiver geladen. An der negativen Elektrode hingegen bildet sich mit dem abgewanderten Wasserstoffion  $H^+$  ebenfalls Schwefelsäure. Es werden dabei 2 Ladungen aufgenommen. Die Elektrode wird negativer geladen. Bei Belastung des Akku laufen die entsprechenden Reaktionen gegenläufig ab. Die folgende Reaktionsgleichung fasst die chemischen Prozesse

se zusammen:



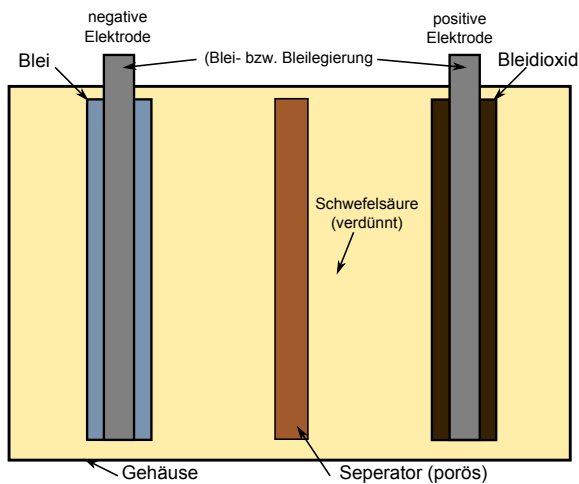
Wie bei vielen Redoxreaktionen spielt auch hier die Temperatur eine wichtige Rolle. Bei hohen Temperaturen werden chemische Reaktionen i.d.R. begünstigt, wobei ihr zeitlicher Ablauf z.T. erheblich verkürzt wird. Ebenso verlangsamt ein entsprechender Temperatursturz die chemischen Reaktionen. Im Falle des Bleiakkus ist stets eine mittlere Temperatur für einen stabilen und schonenden Betrieb vorteilhaft. Temperaturen außerhalb des Bereichs von  $-20 - +60^\circ\text{C}$  wirken sich in jedem Fall negativ aus, ob akut bei sehr niedrigen Temperaturen oder unter Hitze langfristig auf die Lebensdauer, bei denen chemische Nebenreaktionen die Kapazität verringern. U.a. gehören dazu:

**Gasung** Wird der Akku bis etwa 2,5V Zellenspannung geladen tritt eine Gasbildung ein (der Akku "kocht"). An der positiven Elektrode entsteht dabei Sauerstoff und an der negativen Elektrode die doppelte Menge Wasserstoff. Es wird Wasser zersetzt und es bildet sich flammbares Knallgas. Bei häufiger Gasung sollte Wasser nachgefüllt werden.

**Gitterkorrosion** Die positive Elektrode wird aufgrund von Korrosion langsam zersetzt. Dies trägt zur Selbstentladung bei.

**Sauerstoffreduktion** ist die Reduzierung von Sauerstoffs im Elektrolyten bei längeren Ruhephasen.

Im Laufe der Entwicklung von Bleibatterien lag es stets nahe, die Nebenreaktionen konstruktionsbedingt zu minimieren. Etwa wird in speziellen Rekombinationsstopfen mit Katalysatoren der Verbrauch von Wasser verringert. Abb. 1.5 zeigt den Aufbau einer modernen Blei-Starterbatterie.



(a) Aufbau einer Zelle

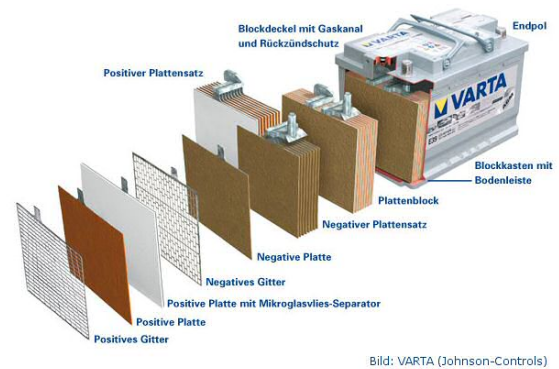


Bild: VARTA (Johnson-Controls)

(b) Aufbau einer Varta Starterbatterie

Abbildung 1.5.: Aufbau einer Starterbatterie

Die Elektroden werden als Schutz vor Kurzschlüssen meistens durch einen porösen Separator getrennt. Je nach Elektrodenfläche ergibt sich die jeweilige Zellkapazität. Dabei bilden mehrere Elektrodenpaare parallel eine Zelle. Mehrere Zellen in Reihe geschaltet, ergeben höhere Spannungen. 6 Zellen in Reihe mit jeweils einer 2 V Zellenspannung, ergeben die 12 V einer Starterbatterie.

Über konstruktionsbedingte Änderungen lassen sich Effizienz und Kosten weiter verbessern. So ist eine Auslegung der Elektroden als beschichtete Gitter durch eine folglich erhöhte Oberfläche effizienter und kostengünstiger in der Herstellung als eine massive Platte<sup>6</sup>. Des Weiteren lässt sich noch die Leitfähigkeit der Materialien verbessern. Verschiedene Bleilegierungen der Gitter lassen so weniger Leistung am Innenwiderstand verloren gehen. Auch wirken sich z.B. das Festsetzen des Elektrolyts in Flies oder Gel positiv auf Sicherheit und Wartung aus. Eine detailliertere Darstellung hierzu findet sich in einschlägiger Literatur [11],[23],[24].

<sup>6</sup>sogenannte Panzerplatten werden für "high duty" Akkus mit hohen zyklischen Belastungen eingesetzt

## 1.2. Batteriesensorik und –management

Die in vorangegangenen Abschnitten 1.1.1 und 1.1.2 dargestellten Zusammenhänge des Kfz-Bordnetzes und der verwendeten Technik von Starterbatterien spielen im Automotive Bereich mit fortschreitender Entwicklung eine zusehends wichtigere Rolle. In Hinblick auf Zuverlässigkeit und fortschreitende Sicherheitsansprüche durch Einsatz neuer Technologien im Elektronikbereich, ist ein intelligentes Batteriemanagement unabdingbar.

Das Batteriemanagement stellt in intelligenten Systemen die Funktionen der Starterbatterie als Energiepuffer für Spitzenlasten sicher. Wichtige Grundfunktionen wie das Versorgen vom Starter und Permanentverbrauchern bei Motorstillstand gehören ebenfalls dazu. Durch Überwachung von Einflussgrößen wie Strom, Spannung und Temperatur kann so auf eventuelle Engpässe frühzeitig reagiert und die Batterie schonend betrieben werden, um ihre Lebensdauer maximal auszunutzen. Batterie- und Energiemanagement des Fahrzeugs arbeiten dabei sehr eng zusammen. Abb.1.6 zeigt den Zusammenhang in der Übersicht.

Batterie- und Energiemanagement sind dabei grundsätzlich zu unterscheiden. Batteriemanagement überwacht die Batterie bezüglich ihrer Parameter. Aus gewonnenen Messdaten wird der Zustand bestimmt. Hierzu zählen u.a.:

**State of Charge** (SoC) bezeichnet den Ladezustand der Batterie in Bezug zur Nennkapazität.

**State of Health** (SoH) ist der Alterungszustand der Batterie.

**Crank Capability** (CC) gibt die Fähigkeit an, den Motor zu starten.

**Charge Acceptance** (CA) bezeichnet die Fähigkeit der Batterie Ladung aufzunehmen.

Auf Basis von SoC und SoH wird geprüft, ob noch genügend Leistung zum Erfüllen bestimmter Funktionen verfügbar ist. Unter die State of Function (SoF) fallen dabei auch CC und CA.

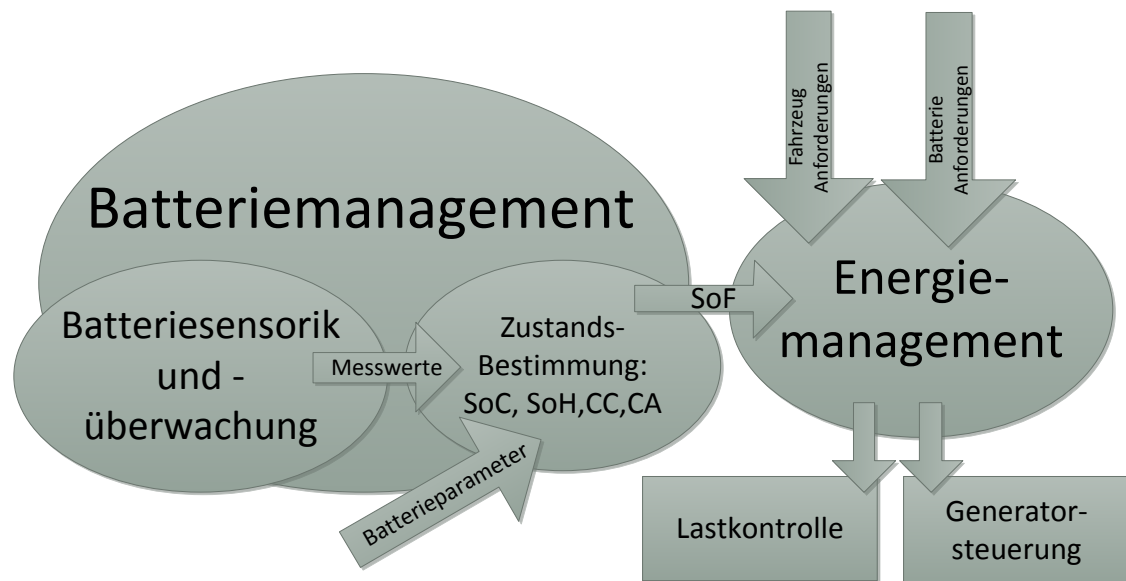


Abbildung 1.6.: Batterie- und Energiemanagement im Zusammenhang

Der Zustand der Batterie wird dem Energiemanagement mitgeteilt, das entsprechende Handlungen vornimmt: Durch das Lastenmanagement können momentan unwichtige Funktionen des Fahrzeugs deaktiviert werden, falls die Generatorleistung nicht für das Laden der schwachen Batterie ausreicht. Das Energiemanagement hat auch Zugriff auf die Generatorsteuerung: Abhängig vom Batteriezustand kann die Batterie so vor Überladung geschützt werden. Ebenso lassen sich Ladespannungen der Batterietemperatur anpassen. Ein schoener und effizienter Betrieb ist somit möglich.

### 1.2.1. Ladezustandsbestimmung der Batterie

Der Ladezustand einer Batterie ist nicht trivial. Genaue Aussagen lassen sich hier nur bei der Berücksichtigung aller Einflussgrößen treffen. Unterschiedliche Belastungszustände stellen dabei zusätzlich Anspruch an die Sensorik und Messwernerfassung. Aus Abschnitt 1.1.1 gingen bereits zu Grunde liegende Anforderungen an die Starterbatterie hervor. Neben Standzeiten des Kfzs, bei denen nur sehr wenig Energie an die Ruhestromverbraucher verloren geht, sind ebenfalls hoch dynamische Messwertverläufe im Startbetrieb und während der Fahrt zu erwarten. Beide Situationen liefern hierbei unterschiedliche Aussagen über den Ladezustand:

**Ruhephase** Nach Lade- oder Entladevorgängen stellt sich ein chemisches Spannungsgleichgewicht in jeder Zelle ein. Dieser Vorgang kann bis zu einigen Tagen dauern. Dennoch aussagekräftig ist hier der Zeitpunkt einer hinreichend stabilen Spannung nach etwa 3-4 Stunden bei der sich Fehler entsprechend kalibrieren lassen. Zu berücksichtigen sind dabei unbedingt Ruhestromverbraucher, die ebenfalls einen geringen Spannungsabfall verursachen. Die Ruhespannung der Batterie korreliert direkt mit ihrer Säuredichte, die eine genaue Einschätzung des Ladezustands zulässt (vgl. Abschnitt 1.4). Die Tabelle 1.2 zeigt den ungefähren Ladezustand zu der entsprechenden Polspannungen und Säuredichte. Die Einteilung ist nach BCI<sup>7</sup> angegeben.

**Betriebsphase** Der Zustand der belasteten Batterie ist nur durch Ladungsbilanzierung bestimmbar. Hierbei werden stets zu- und abfließende Ladungen überwacht. Mit Bezug zur jeweiligen Gesamtkapazität ist eine genaue Aussage über verbleibende Ladungen möglich. Dieses Vorgehen erfordert eine genaue Strommessung. Wichtig ist hierbei eine genaue zeitliche Auflösung, da über den Strom integriert werden muss. Aufgrund von Säureschichtung<sup>8</sup> innerhalb der Bleibatterie, starker Gasung oder anderen altersbedingten Effekten, kann es hier zu Abweichungen von der tatsächlichen Kapazität kommen, weswegen ein Abgleich mit der Ruhespannungsmessung idealerweise erfolgen sollte. Störfälle sind so ebenfalls leicht erkennbar.

Ruhespannung in Volt	Säuredichte in g/cm <sup>3</sup>	Ladezustand in %
12,65	1,28	100
12,45	1,24	75
12,24	1,20	50
12,06	1,17	25
11,89	1,10	0

Tabelle 1.2.: Ladezustand über die Ruhespannung

### 1.2.2. Einsatz von Batteriesensoren

Das Problem der Ladezustandsbestimmung ist schon einige Zeit der Automobilindustrie bekannt. Fast jeder Automobilhersteller rüstet derzeit Fahrzeuge der Mittel- und Oberklasse

<sup>7</sup>Battery Council International: Vereinigung zur Angleichung industrieller Standards, weltweit mehr als 190 Mitglieder

<sup>8</sup>Die an den Elektroden entstandene Säure ist schwerer als Wasser und sinkt durch Gravitation nach unten ab. Es entsteht so eine unterschiedliche Säurekonzentration im Elektrolyten. Beim starken Entladen setzt sich nun weniger Säure an den Platten um.

mit einer entsprechenden Batteriesensorik aus. So entwickelte im vergangenen Jahrzehnt z.B. BMW in Kooperation mit seinen Partnern, Hella und Autokabel, den intelligenten Batteriesensor IBS. Die Bauform wurde dabei an die nach DIN 72311 normierte Polnische der Starterbatterien angepasst, welches den Betrieb in allen Kfz sicherstellen soll (Abb. 1.7).

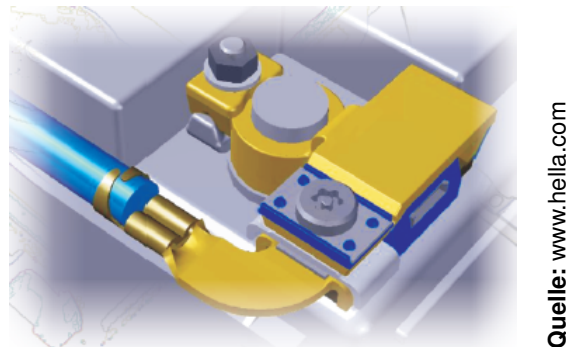
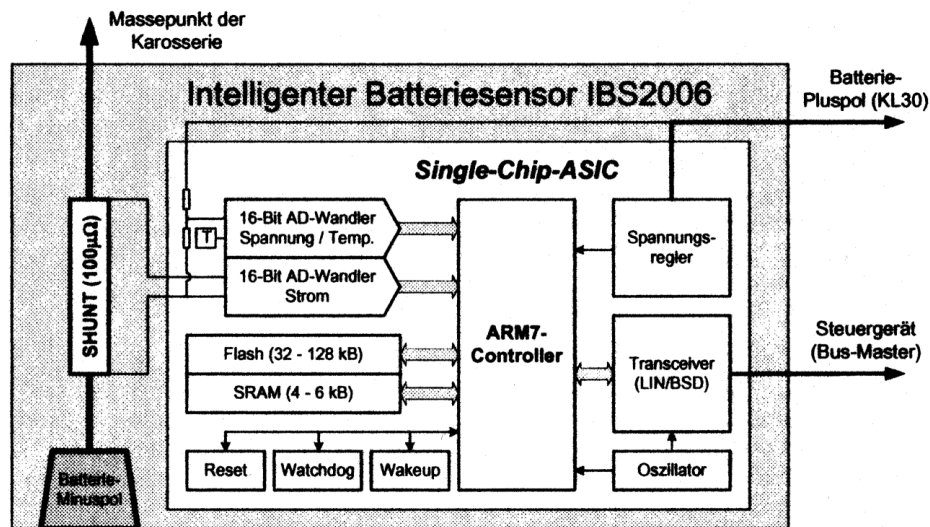


Abbildung 1.7.: BMW, Hella, Autokabel: intelligenter Batteriesensor

Bei dem IBS2006 werden Strom, Spannung und Temperatur<sup>9</sup> der Starterbatterie erfasst. Die Strommessung geschieht dabei sehr präzise über einen Shunt im  $200\mu\Omega$ -Bereich und umfasst 3 Messbereiche von  $\pm 1A$  (Ruhe) über  $\pm 200A$  (Lade-/Entladebetrieb) bis  $+1500A$ . Das Spannungssignal am Shunt erreicht hier beispielsweise bei einem Ruhestrom von 30 mA einen sehr geringen Wert von  $6\mu V$ . Dies liegt gerade 3 Zehnerpotenzen über der Thermospannung und erfordert eine entsprechend hohe Messauflösung. Strom und Spannung werden synchron mit einer Abtastrate von 1 - 8 kHz aufgenommen. Der Sensor ist dabei über den LIN Bus mit dem Energiemanagement des Kfz verbunden. Um Zeit auf dem Bus einzusparen, benötigt der IBS2006 einen leistungsstarken Mikrocontroller für die Vorverarbeitung. Alles in allem wird hier in Hinblick auf den serienmäßigen Einsatz ein beachtliches Maß an Hardware eingesetzt, um den Anforderungen zu genügen. Abb. 1.8 zeigt das Blockschaltbild des IBS2006 mit allen Komponenten.

<sup>9</sup>Die thermische Ankopplung erfolgt über den massiven Batteriepol.



Quelle: [17] Seite 53ff

Abbildung 1.8.: Blockschaltbild des IBS2006

### 1.3. Einzelzellüberwachung

Bisherige Realisierungen von Batteriemangement Systemen setzen auf möglichst einfache Batteriesensoren, die zentral an der Polklemme Messwerte erfassen. Dieses Vorgehen hat jedoch einen erheblichen Nachteil: Mögliche Unterschiede in den einzelnen Zellen können bei Betrachtung der Gesamtspannung nicht erfasst werden. Es steht quasi nur der Mittelwert zur Verfügung, der keine Aussage über den Zustand einzelner Zellen zulässt. Die Tatsache schwacher Teilzellen wird bei Betrachtung der Gesamtspannung durch Zellen besseren Zustands verdeckt. Treten weiter hohe Entladeströme kommt es zum Ausfall der Batterie ohne das die überwachende Sensorik frühzeitig Maßnahmen ergreift (Abb. 1.9).

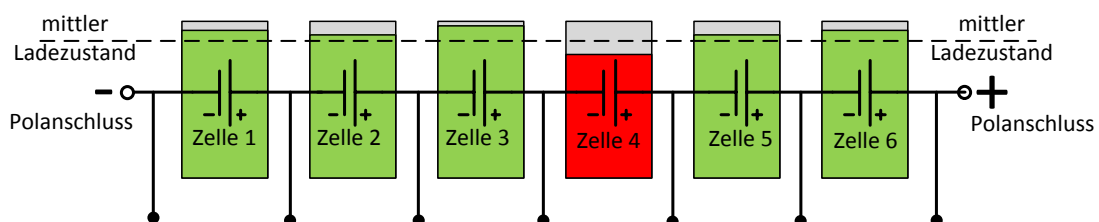


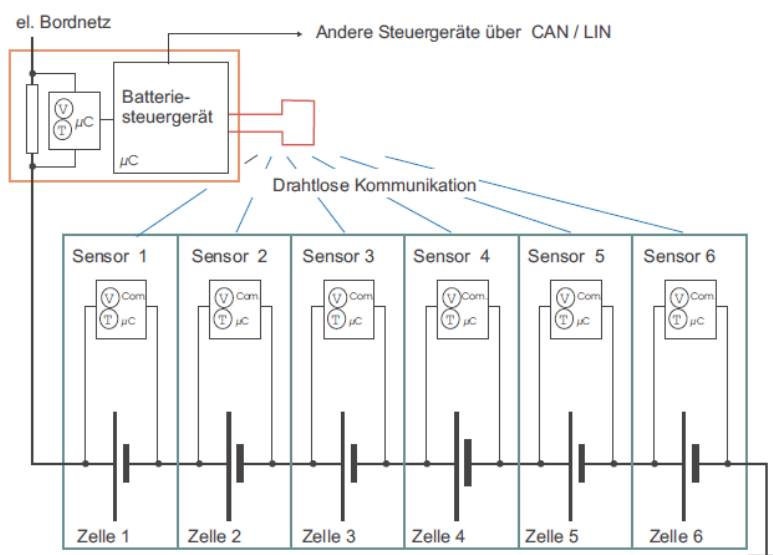
Abbildung 1.9.: Ladezustand einzelner Zellen

Die Überwachung jeder einzelnen Zelle lässt weitaus genauere Vorhersagen zu. Unterschiedliche Zellen würden problemlos erkannt. Auch ein Angleichen der Zellladungen (Cell

Balancing) durch etwa gezielte Entnahme von Ladungen wäre möglich. Ein Konzept mit drahtlosen Zellsensoren soll im Verlauf dieses Abschnittes weiter behandelt werden.

### 1.3.1. Konzept von drahtlosen Sensornetzen

Dem Überwachen einzelner Zellspannungen stehen ganz klar der höhere Aufwand und die damit verbundenen Kosten entgegen. Zusätzliche Elektronik, erforderliche Verkabelung, Steckkontakte und der erhöhte Aufwand in einer zentralen Messwerterfassung machen das Thema des serienmäßigen Einsatz bei Starterbatterien gerade auf dem Automobilmarkt eher unattraktiv. Bisher lohnte die Einzelzellüberwachung nur bei Hochleistungs-Traktionsbatterien auf Lithium-Ion Basis in Elektrofahrzeugen. Besonders wegen Sicherheitsaspekten kann hier nicht darauf verzichtet werden. Die drahtlose Sensorik gilt daher als ein guter Ansatz, um ein effektives Maß an Integrierbarkeit zu erreichen. Abb. 1.10 stellt dafür das Konzept dar.



Quelle: Förderantrag 'FHprofUnt 2010' [14]

Abbildung 1.10.: Konzept drahtloser Batteriesensoren

An den Anschlüssen jeder Zelle wird dabei ein drahtloser Sensor angebracht. Die Sensoren messen die Zellspannung sowie die Temperatur und übertragen die Information an eine zentrale Empfangseinheit. Zentral mit dem Datenempfang wird der hinzu- oder abfließende Strom gemessen, der bei einer Reihenschaltung jeder Zelle entspricht. Empfangene Zelldaten können nun ausgewertet und an das Energiemanagement des Fahrzeugs weitergeleitet werden.

### 1.3.2. Realisierung des Sensors

Im Rahmen des Projekt BATSEN an der Hochschule für Angewandte Wissenschaften Hamburg wurden in Vorarbeiten bereits experimentelle Aufbauten entwickelt [10][6]. Alle Realisierungen arbeiten im freien ISM (Industrial, Scientific and Medical) Band. Teilweise wurden dabei Aufbauten mit RFID realisiert, die einen sparsamen Betrieb ermöglichen und die Batterie nicht zusätzlich belasten. Der Aufbau der Variante in Abb. 1.11 sendet ohne Downlink im Frequenzbereich um 433 MHz und wird über die Zellspannung versorgt.

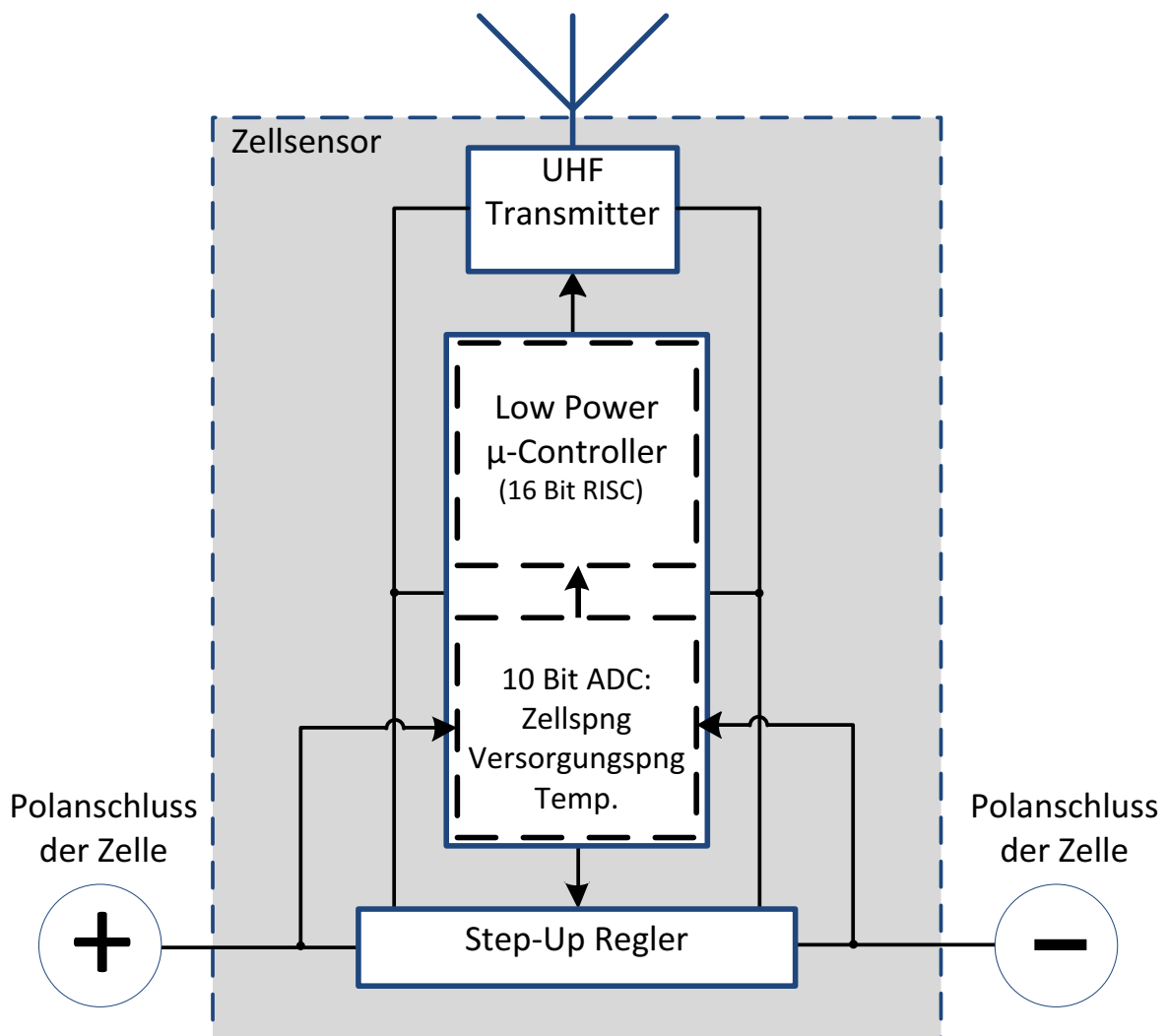


Abbildung 1.11.: Aufbau des Zellsensors, modifiziert nach [14] Abb. 2.2

Beim Hardwaredesign wurde auf Bauteile mit geringem Stromverbrauch im SMD Format geachtet. Die Sensorplatine wird direkt über entsprechende Kontaktflächen (5) mit der Zelle

verbunden. Als Mikrocontroller zur Steuerung der Peripherie und Auswertung der Messdaten dient ein Low Power Mikrocontroller der MSP430xx2 Familie von Texas Instruments. Enthalten ist bereits ein 10 Bit ADC zur Messwertaufnahme. Für die Kommunikation mit der Empfangseinheit werden die Sendedaten direkt als OOK Basisbandsignal der Sende-PLL TDA5100A von Infineon zur Umsetzung in den 434MHz Bereich übergeben. Gespeist werden beide Bauelemente von einem Step-Up-Konverter L6920 der Firma STMicroelectronics. Der Step-Up-Konverter passt die Zellspannung, bei Bleibatterien typisch 1,7V...2,4V, der nötigen Betriebsspannung von 3,3V an. Möglich ist hier sogar der Betrieb bei niedrigen Eingangsspannungen von bis zu 0,8V, da dies die minimal nötige Spannung zum Starten des Bausteins darstellt. In Abb. 1.12 ist der fertige Aufbau zu sehen.

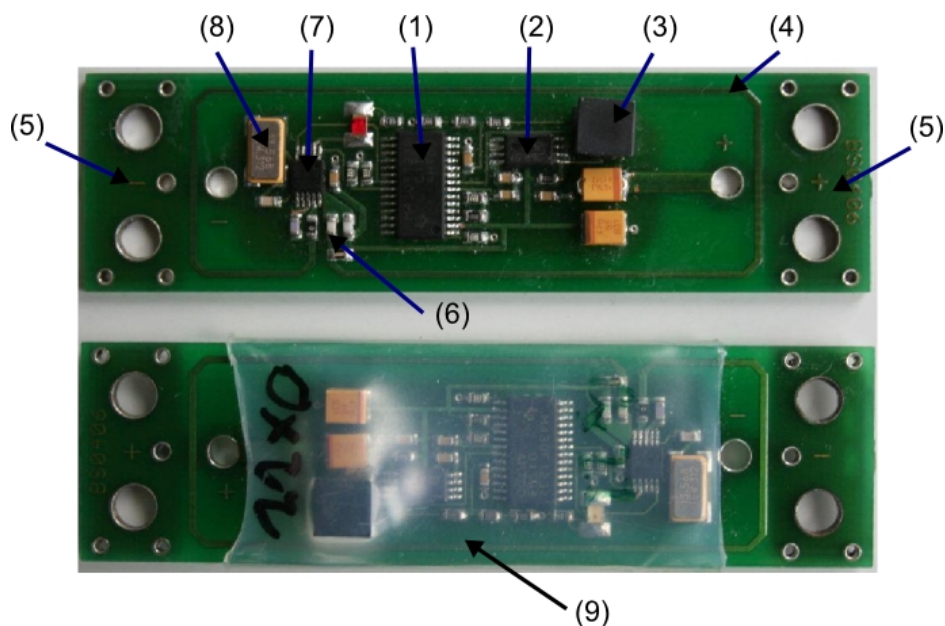


Abbildung 1.12.: Realisierung des Zellensensors

Links und rechts vom Mikrocontroller (1), in der Mitte von Abb. 1.12, sind Step-Up-Konverter (2) und Sende-PLL (7) angeordnet. Bei diesem Sensor ist trotz des gesetzten Kostenziels ein Quarz (8) für den Transmitter unumgänglich. Nur bei dem MSP430x1232 konnte auf einen zusätzlichen Quarz verzichtet werden. Sein interner DCO stellt einen Takt von 2 MHz zur Verfügung. Der DCO ist zwar stark temperaturabhängig, jedoch fällt ein abweichender Takt bei der bisherigen Anwendung nicht sonderlich ins Gewicht. Der Wirkungsgrad des Step-Up-Konverters ist stark von der Güte seiner Ladespule (3) abhängig. Hier wurde deshalb eine große Spule mit Ferritkern gewählt. Der Transmitter ist über ein Anpassnetzwerk (6) mit einer kurzen Schleifenantenne (4) verbunden. Dabei ist die Antenne kostengünstig als Leiterbahn ausgelegt. Die andere Seite der Platine beinhaltet nur noch Kontaktflächen für einen Nadeladapter, über den der Mikrocontroller programmiert werden kann. Zum Schutz gegen

Korrosion der Bauteile ist der Sensor mit Schrumpfschlauch (9) geschützt. Der Schaltplan zu diesem Aufbau ist im Anhang von [10] zu finden.

### **Software: Übertragungsprotokoll und -verfahren**

Aufgrund des gewählten On-Off-Keyings, kann die Sende-PLL im einfachen Ein-Aus-Betrieb genutzt werden. Dabei ist der Timer des Mikrocontrollers auf die entsprechende Pulsbreiten ausgelegt. Die Datenleitung wird für die nötige Zeit auf den entsprechenden Pegel der Sendedaten eingestellt. Abb.1.13 stellt den Ablauf der Senderoutine in der Übersicht dar.

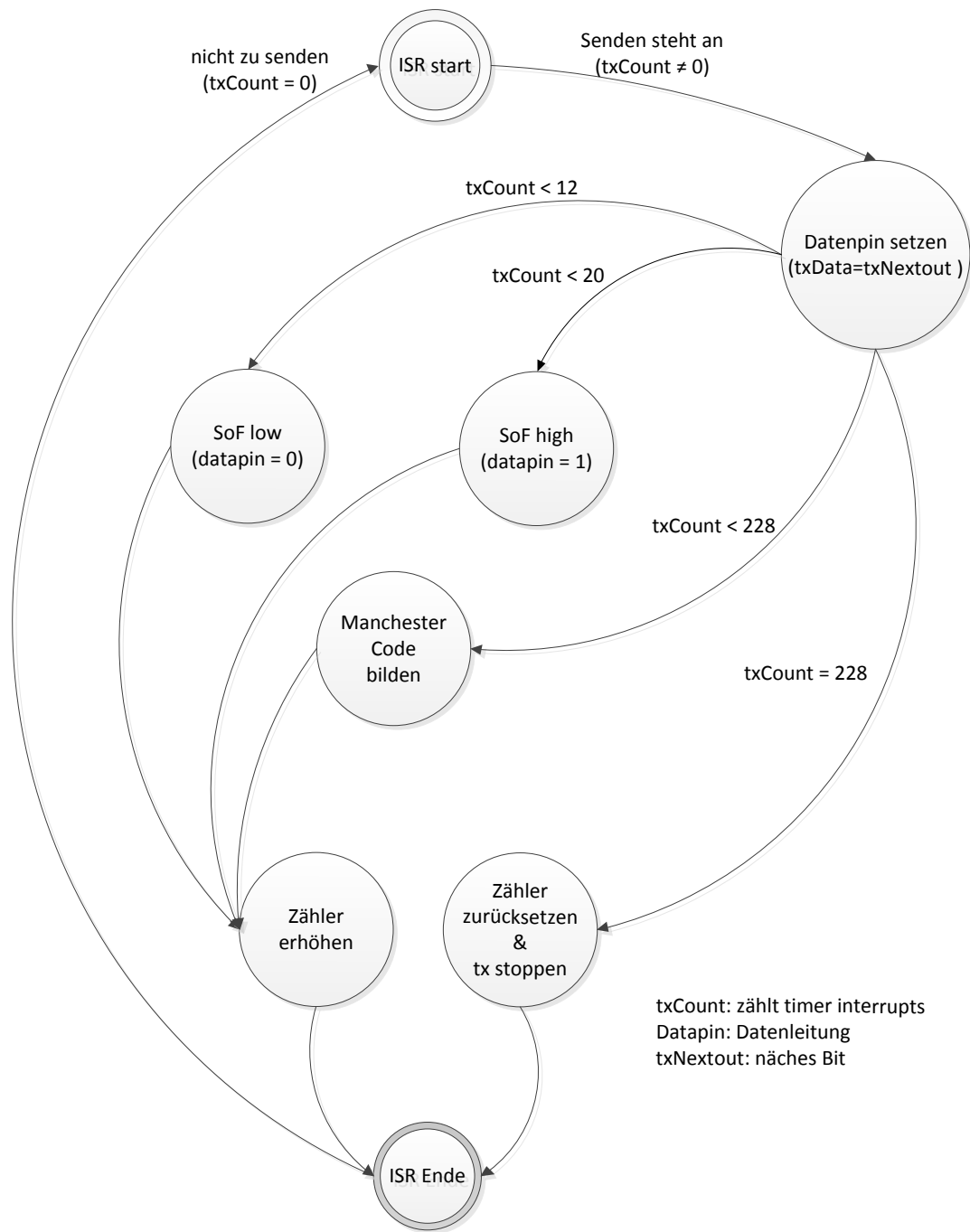


Abbildung 1.13.: Flussdiagramm der Senderoutine

Die verwendete Bitrate ist 10 kBit/s, was eine Bitdauer von  $100\mu s$  ergibt. Mögliche Schwankungen des Sendetaktes machten den Empfang der Daten sehr aufwändig. Es wurde deshalb eine Manchester Codierung gewählt, die allerdings die effektive Bitrate um die Hälfte reduziert, also 5 kBit/s. Das Übertragungsprotokoll hat dabei den Aufbau aus Tabelle 1.3. Ein Sendeframe umfasst 88 Bit brutto. Dabei wird ein Frame durch eine definierte, uncodier-

Start of Frame	RunIn	Parameter	Adresse	Daten	CRC
definierte Bitdauer	16 Bit	12 Bit	20 Bit	48 Bit	8 Bit

Tabelle 1.3.: Übertragungsprotokoll des Zellsensors

te Bitdauer von etwa  $800\mu s$  angekündigt. Danach folgt die RunIn, eine definierte Bitsequenz (0x0001), die zur Kalibration der Bitdauer dient. Im Protokoll sind noch neben den eigentlichen Messdaten und dem CRC Byte zusätzliche Informationen angedacht, die jedoch noch nicht genutzt werden. Zukünftige Kalibrierdaten oder sonstige Statusflags könnten so leicht eingebunden werden.

Als Übertragungsverfahren ist eine Art ALOAH<sup>10</sup> Verfahren gewählt worden. Die Tatsache, dass alle Sensoren auf der selben Frequenz senden und ohne Downlink völlig unsynchronisiert sind, begründet dies. Als Folge senden alle Sensoren in zufälligen Zeitabständen einen Datenframe ab. Kollidieren zwei oder mehrere Frames, gehen Informationen unwiderruflich verloren. Aus diesem Grund dürfen die Zeitspannen nicht zu kurz gewählt werden. Zugleich sollte die Framerate der Anwendung entsprechend ausgelegt sein. Bei der Erprobung mit Gabelstapler-Traktionsbatterien (24V Polspannung, 12 Zellen) lieferten minütliche Messwerte erste Ergebnisse. Zur Minimierung der Verluste wurde dabei pro Sensor im Mittel alle 2 Sekunden einmal gesendet [10].

### 1.3.3. Realisierung des Empfängers

Alle Messwerte der Sensoren laufen zentral in einem Steuergerät zusammen. Abb. 1.14 zeigt den Aufbau des Steuergeräts als Blockdiagramm.

<sup>10</sup>Stochastisches Übertragungsverfahren für Kommunikationsnetze ohne Kanalabtastung

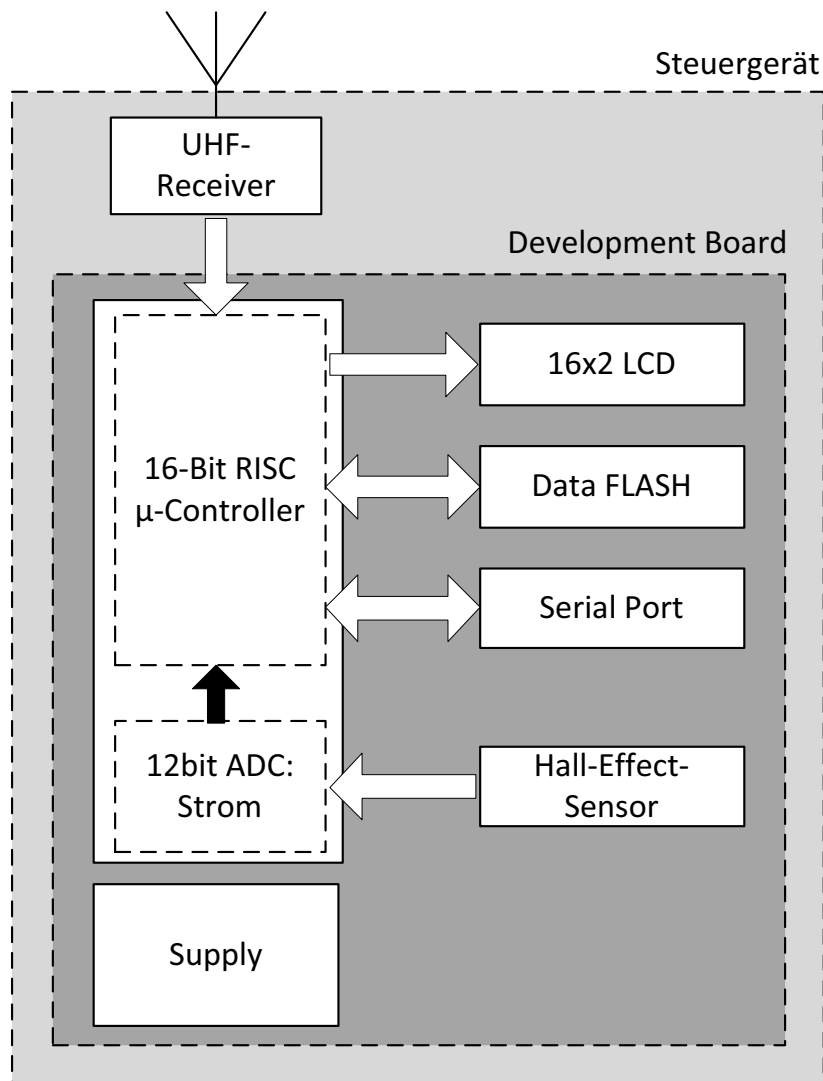


Abbildung 1.14.: Aufbau des Steuergeräts

Abb. 1.15 zeigt dazu den praktischen Aufbau. Der dazu nötige Empfänger (3) ist der Einfachheit halber an ein Development Board der Firma Olimex Ltd. (1) angeschlossen. Die Entwicklungsplattform bringt schon von Haus aus zusätzliche Peripherie mit, wie ein 16x2 Display (2) zur Ausgabe von Informationen, sowie einen Flashspeicher zum Speichern der Messwerte. Zum Auslesen der Messwerte wird die serielle Schnittstelle (5) bereitgestellt und erlaubt so eine Auswertung am PC. Der Hybrid Chip RX5000L der Firma RFM Inc übernimmt den Datenempfang. Über eine Datenleitung gibt er das rekonstruierte Digitalsignal an den Mikrocontroller weiter. Sein Ausgang ist sehr hochohmig und benötigt daher ein zusätzlichen Bauelement zum Treiben des Dateneingangs des Mikrocontrollers. Dazu dient ein einfaches X-OR-Gatter. Der MSP430x169 von Texas Instruments kümmert sich neben der Auswertung

der Messdaten um die Biterkennung und legt Daten im Flashspeicher ab. Es stehen dabei 8 MByte zur Verfügung. Programming und Debugging der Mikrocontrollers ist über die JTAG Schnittstelle (6) möglich. Die Zentrale Stromerfassung (7) ist über einen Hall-Effekt-Sensor (LM HTFS 400-P/SP2) realisiert.

Die Strommessung wurde erstmalig in der Arbeit von A. Hoops [5] in die Funktionen des Steuergeräts eingefügt. Sie erlaubt durch das Stromintegral über je eine Minute das einfache Anzeigen des Ladezustands durch SoC und SoH. Die Strominformationen werden dabei auch mit den Sensordaten im Flash abgelegt.

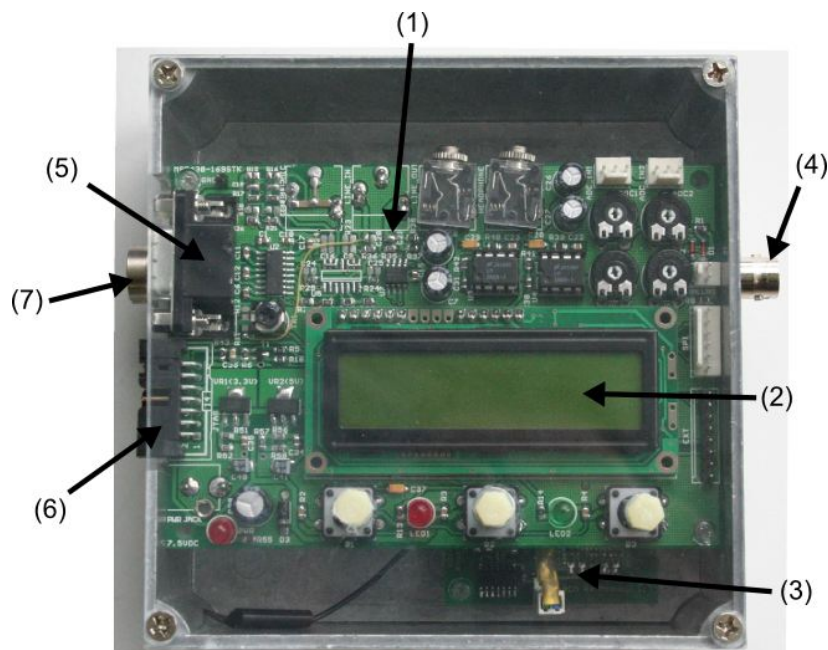


Abbildung 1.15.: Praktischer Aufbau des Steuergeräts

### Software: Empfangsroutine

Die Biterkennung aus dem digitalen Basisbandsignal des UHF-Receiver übernimmt der Mikrocontroller. Der Empfangsalgorithmus basiert auf einem Timer-Capture-Interrupt: Tritt am Dateneingangspin eine steigende Flanke auf, wird die Timer Interruptroutine aufgerufen. Hier errechnet sich die jeweilige Zeitspanne zwischen 2 Interrupts aus der Differenz der Zählerwerte des Captures. Die bestimmten Zeitspannen geben Rückschluss auf die empfangenden Bits. Das Digitalsignal in Abb. 1.16 beinhaltet alle möglichen Zeitspannen. Hieraus lassen sich auf Regeln zur Biterkennung schließen. Die Entscheidungsschwellen müssen dabei Toleranzen beinhalten, da durch Temperatureinfluss der Sendetakt stets leicht verändert wird. Dieses Verfahren erfordert bei jedem Empfang eine Kalibration der Bitbreiten. Hierzu dient

die RunIn Sequenz. Durch das Senden von Nullen entstehen, Manchester codiert, steigende Flanken mit der jeweiligen Bitbreite. Der Durchschnittswert stellt die Referenz dar. Eine detaillierte Darstellung dazu findet sich in [10].

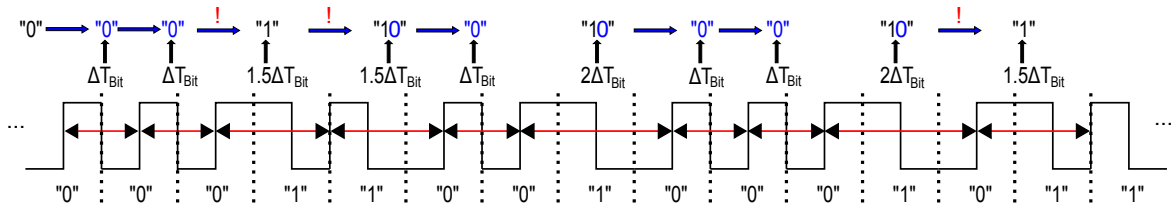


Abbildung 1.16.: Erkennung der Bits aus dem Empfangssignal

Es lassen sich die Regeln<sup>11</sup> je nach auftretender Zeitspanne  $x \cdot \Delta T_{Bit}$  ableiten. Dabei wird ein ideales Empfangssignal angenommen.

$x \cdot \Delta T_{Bit}$	zuletzt erkannt	erkannt
1	1	1
	0	0
1,5	1	10
	0	1
2	1	10
	0	10

Tabelle 1.4.: Biterkennung nach Regeln

Die gesamte Biterkennung, sowie die Auswertung findet nach folgender Abb. 1.17 in der Interruptroutine statt.

<sup>11</sup>In Abb.1.16 sind nicht alle Möglichkeiten enthalten. Fehlende Fälle befinden sich in Tab. 1.4.

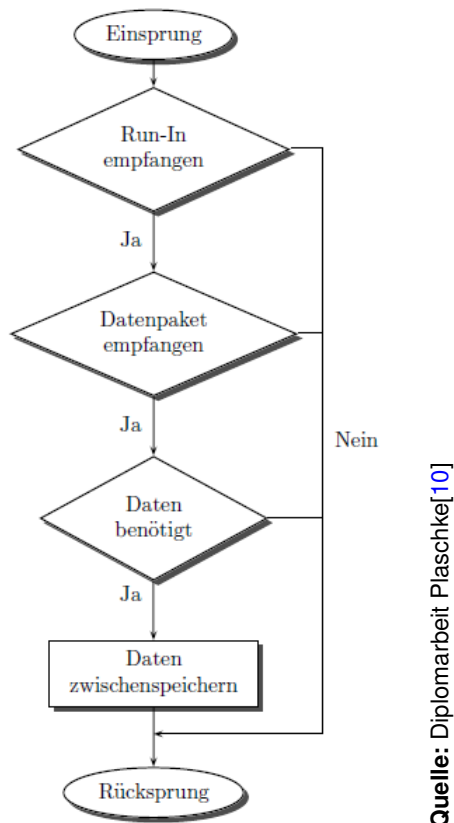


Abbildung 1.17.: Ablauf des Timerinterrupts im Steuergerät

## 1.4. Anwendung der drahtloser Sensorik auf Kfz Starterbatterien

Im letzten Abschnitt 1.3 wurden die Vorzüge drahtloser Zellüberwachung gegenüber herkömmliche Realisierungen von Batterieüberwachungssystemen dargestellt. Die bisher dabei erzielten Fortschritte zeigten schon erste Ergebnisse bei der Anwendung auf Traktionsbatterien für Gabelstapler. Die gewählten Parameter für die Übertragung der Messdaten an die zentrale Empfangseinheit erwiesen sich dabei als praktikabel, jedoch wurde im Zuge der abgeschlossenen Vorarbeiten das Potential der Aufbauten nicht weiter untersucht. Der Gesamteindruck lässt hier die Wiederverwendbarkeit in Bezug auf andere Anwendungen vermuten. Dieser Frage soll mit besonderem Bezug zur Starterbatterie in folgenden Kapiteln nachgegangen werden.

### 1.4.1. Vorüberlegungen zu Anforderungen an das System

Wichtigstes Kriterium für die Umsetzung auf Starterbatterien stellt die zeitliche Messauflösung des Systems dar. In Abschnitt 1.1 zeigten sich bereit grob 3 Betriebszustände der Starterbatterie. Diese 3 Zustände stellen dabei unterschiedliche Ansprüche an das System. Die Obere Grenze hängt dabei vom Hochstromereignis bei Starten des Motors ab. Dieses Ereignis dauert bei gängigen Fahrzeugen etwa 1-2 Sekunden. In dieser Zeit müssen die Sensoren genügend Messdaten sammeln, um eine fundierte Aussage über den Ladezustand treffen zu können. Der Energieumsatz ist hier am höchsten, es steigen die Anforderungen an die erforderliche Datenrate.

Während den anderen Betriebsphasen wird von weitaus geringeren Strömen ausgegangen. Die Zellspannungen bzw. der Strom nimmt eine geringere Dynamik an und lässt größere Messabweichungen zu. In Folge ist eine niedrigere Datenrate zulässig. In der Ruhephase ist sogar eine niedrige Datenrate erwünscht: Einher geht damit der Stromverbrauch der Sensorik, da ein Sendevorgang die Zelle zusätzlich belastet. Idealerweise ist somit eine dynamische Datenrate erwünscht. Das System muss sich dabei selbstständig auf den jeweiligen Betrieb einstellen. Abb. 1.18 stellt die Ansprüche in der Übersicht dar.

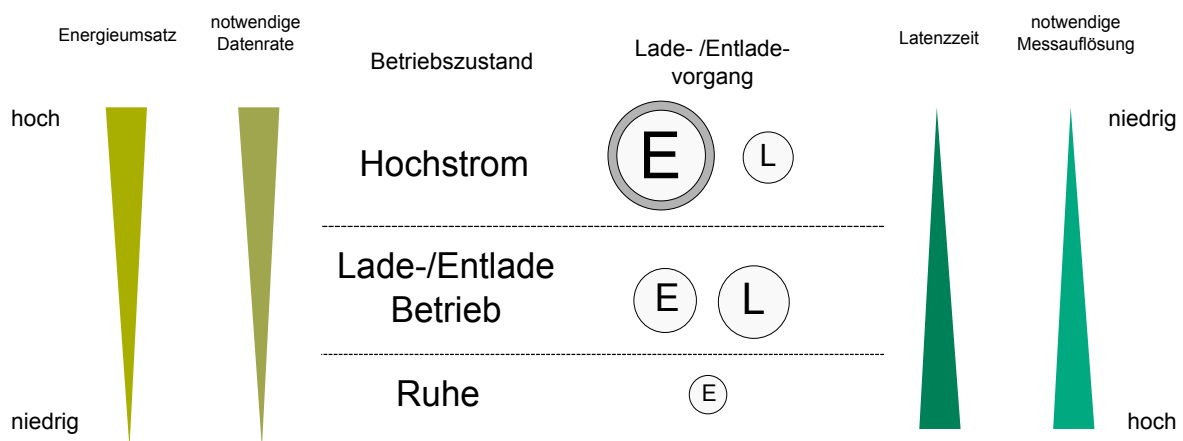


Abbildung 1.18.: Anforderungen in verschiedenen Betriebszuständen

### 1.4.2. Vorbewertung des Sendeverfahrens

Als Sendeverfahren wurde ein stochastisches Verfahren gewählt. Jeder Sensor sendet dabei seine Messdaten, völlig unbewusst seine Messdaten in einem Datenframe ab. Gleichzeitiges Senden mehrerer Sensoren führt zu einer Kollision und somit zum Datenverlust. Um die Kollisionswahrscheinlichkeit zu minimieren, wählt jeder Sensor zufällig seinen Sendezeitpunkt aus. Übertragungsfehler hängen dabei maßgeblich ab von:

- Anzahl der Sensoren im Sensornetz
- Zeitfenster für Übertragungen
- Bitrate bzw. Framedauer

In Abb. 1.19 ist die Überlagerung aller 6 Sensoren in einem Zeitabschnitt dargestellt. Die Zeitfenster sind, der Darstellung halber, extrem klein gewählt. Die Reihenfolge der Datenframes ist entsprechend der Sendezeitpunkte innerhalb eines Zeitfensters zufällig. Die Zeitfenster wandern mit der Zeit und überlagern sich. Das Übertragungsverfahren ist vollkommen asynchron.

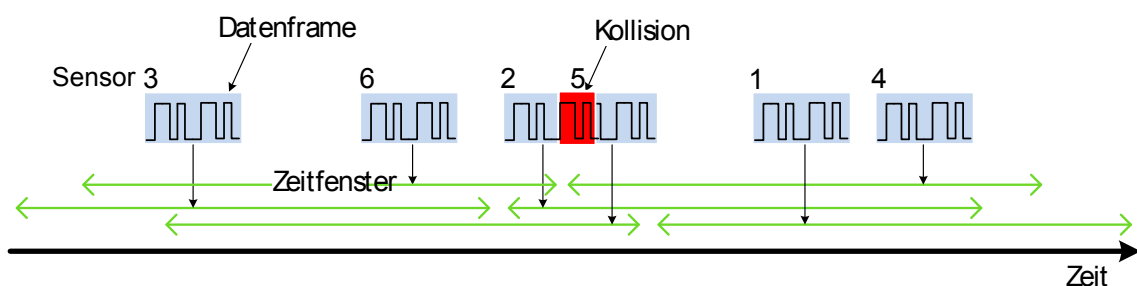


Abbildung 1.19.: Darstellung des Übertragungsverfahrens auf Frame-Ebene

Die letzte Darstellung zeigt, dass die Wartezeiten zur Vermeidung von Kollisionen direkt die Datenrate betreffen. Die Wahl der Parameter wird demnach ein Kompromiss zwischen Daten- und Fehlerrate ergeben. In Verbindung mit den Ansprüchen einer hinreichend hohen Messgenauigkeit muss u.a. dieser Aspekt in dem folgenden Kapitel weiter untersucht werden.

## 2. Analyse

In Hinblick auf die gesetzten Ziele dieser Arbeit soll hier analysiert werden, inwiefern die vorgegebenen Mittel und Anforderungen der Hard- sowie Software für die Problemstellung angepasst werden müssen. Besonders wichtig sind dabei die Analyse des Übertragungskanals und die Eigenschaften der Sende- und Empfängerseite, von denen maßgeblich die Zuverlässigkeit des Gesamtsystems abhängt.

Die genauen Anforderungen der Sensorik richtet sich nach dem Verhalten der Zellspannungen in den bereits vorgestellten Betriebssituationen. Die Analyse der Signaldynamik gibt Aufschluss über die genaue Dauer der Hochstromsituation und hilft bei der Wahl der erforderlichen Parameter am Sensor.

### 2.1. Betriebsverhalten von Starterbatterien

Wie in den vorangegangenen Kapiteln beschrieben, werden eine Reihe von Anforderungen an die Starterbatterie gestellt. Sie dient in erster Linie als Versorger des Anlassers zum Starten des Motors. Hinzu kommt die Aufgabe vom Puffern des Bordnetzes, um bei geringen Drehzahlen der Lichtmaschine die Energieversorgung sonstiger Verbraucher zu unterstützen. Als Folge dieser Anforderungen sind die 3 Betriebsarten Ruhe-, Lade-/Entlade- und Hochstrombetrieb näher zu untersuchen. Während im Ruhezustand nur sehr kleine Lasten angeschlossen sind, bei denen sich die Zellspannungen sehr langsam ändern, erhalten sie im Lade-/Entladebetrieb bis hin zum Hochstrombetrieb ein gewisses Maß an Dynamik im Zeitbereich. Ströme von bis zu einigen hundert Ampere belasten die Starterbatterie erheblich und tragen maßgeblich zur Ladungsbilanz bei. Gerade bei gealterten oder schwach geladenen Starterbatterien variieren die einzelnen Zellspannungen und -kapazitäten z.T. erheblich, was sich wiederum auf das Verhältnis der Zellen untereinander negativ auswirkt.

Für einen Eindruck der zu erfassenden Größen, sowie der späteren Parametrisierung der Messalgorithmen ist eine genaue Aufzeichnung des Startvorgangs wertvoll und soll in diesem Abschnitt behandelt werden.

### 2.1.1. Batterieverhalten im Hochstrombetrieb

Die Erfassung der Zellspannungen kann sehr genau mit dem Oszilloskop vorgenommen werden. Hierbei ist jedoch aufgrund der internen Massekopplung aller Kanäle, die Messung der Zellspannungen direkt pro Kanal nicht möglich. Die Zellen würden so über das Oszilloskop kurzgeschlossen. Eine direkte Messung erforderte zusätzliche Elektronik (Differenzmessverstärker) für eine Potentialtrennung der Zellspannungen. Ein einfacherer Weg ist die Messung der Teilpotentiale mit Bezug zum Massepol der Batterie wie in Abb. 2.1 schematisch dargestellt. Die einzelnen Zellspannungen ergeben sich später aus deren Differenzen:  $U_{C_1} = U_1$ ;  $U_{C_2} = U_2 - U_1$ ;  $U_{C_3} = U_3 - U_2$ ; ...;  $U_{C_6} = U_6 - U_5$ .

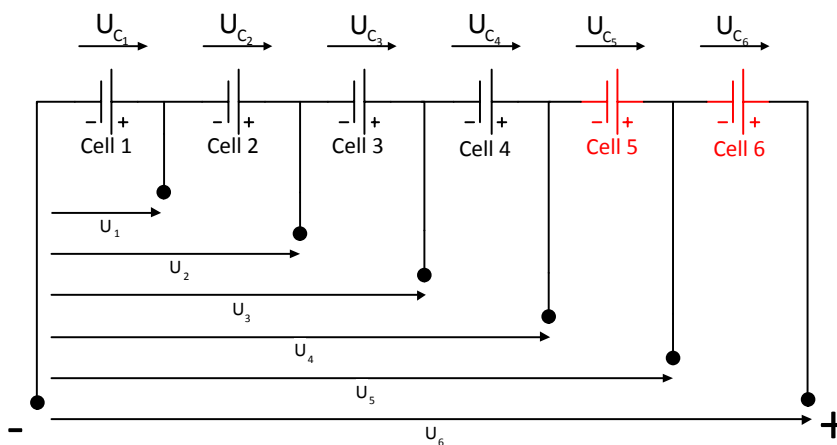


Abbildung 2.1.: Schematische Darstellung der Teilspannungen an der Batterie

Auf diese Weise treten jedoch höhere Spannungen auf, die nach der Digitalisierung durch das Oszilloskop nur eine geringere vertikale Auflösung zulassen. Bei der höchsten, auftretenden Teilspannung von 14,4 V (Bordnetz) an der letzten Zelle würde die tatsächliche Auflösung, bei  $20V/div$   $\Delta U_{mess} = \frac{20V}{255} \approx 80mV$  betragen. Da die Zellspannungen beim Startvorgang schon um einige hundert mV einbrechen können, ist eine derart grobe Auflösung nicht tragbar. Abhilfe schafft hier das Nutzen der Offset-Funktion am Oszilloskop. Beim hier verwendeten Tektronix MSO3034 lassen sich stufenweise Offsetspannungen von teilweise bis über 100V einstellen. Der maximale Offset richtet sich hierbei nach der verwendeten, vertikalen Auflösung. Bei der Auflösung ab 100 - 500mV/div ist ein Offset von bis zu 10V einstellbar. Zum Erhöhen der vertikalen Auflösung bietet sich der High Resolution Modus des Oszilloskops an: Durch Überabtastung und anschließender Mittlung erhält man somit eine ungefähre Auflösung von 11 Bit. Die letzten 2 Zellen erfordern daher das Messen der Zellspannungen über einen Spannungsteiler.

### 2.1.2. Messaufbau und Durchführung

Für die Messung von 6 Zellen werden 2 Oszilloskope (je 4 Kanäle) benötigt, die über den externen Trigger zu synchronisieren sind. Die in Kapitel 3, Abschnitt 3.1.2 vorbereitete Starterbatterie wurde über Adapterplatinen mit BNC Kabeln angeschlossen. Jeder Adapter der Zellen 1-4 führt die jeweilige Zellspannung über  $50\Omega$  Schutzwiderstände zum BNC Anschluss. Die Adapterplatinen der Zellen 5-6 (CH1-2 scope 2) sind zusätzlich mit einem Spannungsteiler versehen, der die Zellspannungen über je  $10k\Omega$  halbiert. Für den Massebezug müssen die Spannungsteiler zusätzlich mit dem Minuspol der Batterie verbunden werden. Channel 3-4 des 2. Oszilloskops bleiben übrig für die Messung des Gesamtstroms durch eine Stromzange und den Trigger zum Synchronisieren. Die Strommessung kann direkt Spannungsbezogen mit entsprechendem Verhältnis als Strom ausgegeben werden. Abb. 2.2 zeigt den gesamten Messaufbau.

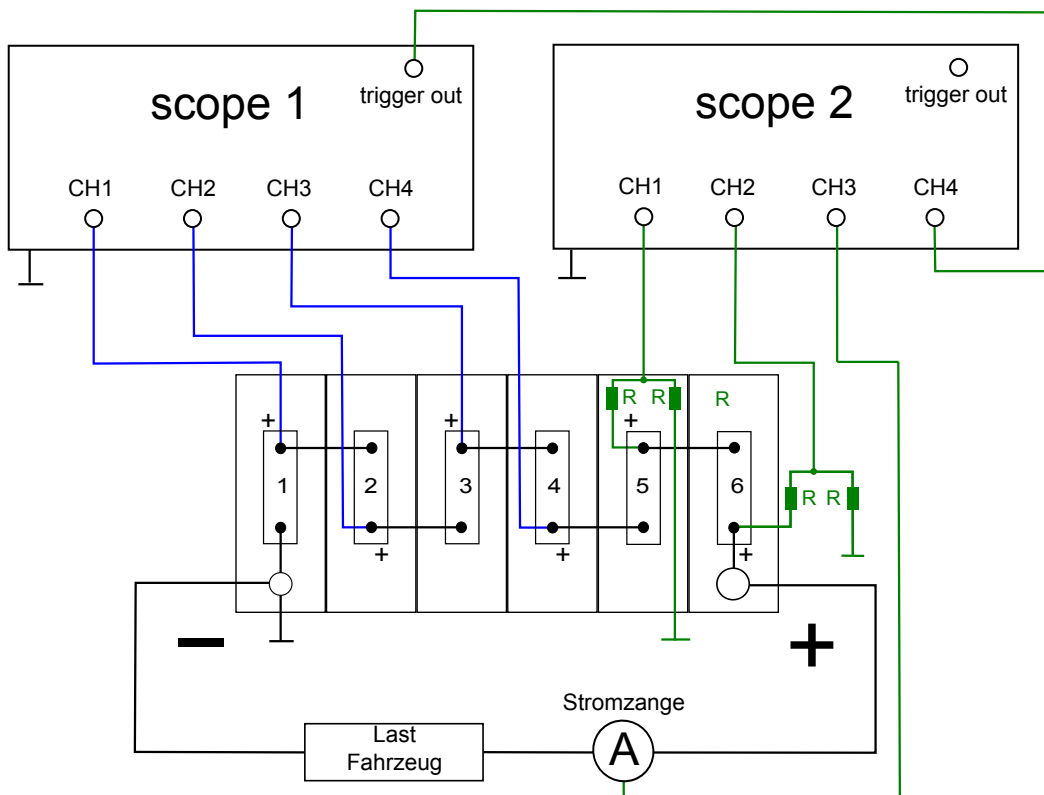


Abbildung 2.2.: Messaufbau der Hochstrommessung

Im Ruhezustand werden die Teilspannungen mittels Offsetfunktion in die Nulllage verschoben. Die Aufzeichnung kann über die Force Trigger Taste im Single-Shot Modus gestartet werden. Die Einstellungen der Oszilloskope zeigt Tab. 2.1.

	scope 1	scope 2
<b>Messgr.</b>	Zellspannung	Strom
<b>horiz.</b>	400ms-4s/div	
<b>vert.</b>	200-500mV/div	100A/div
<b>mode</b>	High Res	
<b>trigger</b>	Ch1	Ch4
<b>Anz.Punkte</b>	1M	

Tabelle 2.1.: Einstellungen der Oszilloskope

### 2.1.3. Auswertung der Messdaten

Nach der Aufnahme des Startvorgangs gemäß dem vorherigen Abschnitt 2.1.2 können die Messwerte in Matlab ausgewertet werden. Die Messdaten geben Aufschluss über maximale Abtastrate und zu implementierende Messgenauigkeit. Anhand der Ergebnisse lassen sich mögliche Algorithmen simulativ erproben und anpassen. Dieser Abschnitt beschäftigt sich mit der Darstellung der aus 2.1.2 gewonnen Daten und derer Auswertung mit Matlab.

#### Darstellung der Messdaten

Da es sich bei den Messwerten um Teilspannungen gegen Masse handelt, ist zunächst eine Vorverarbeitung in Matlab notwendig. Ebenso müssen die durch den Spannungsteiler halbierten Teilspannungen wieder angepasst werden. Die Messdaten sind entweder im binären Tektronix Format \*.isf oder in Textform als \*.csf abgespeichert. Nach dem Herausrechnen des Spannungsteilers werden dabei die Differenzspannungen aus den einzelnen Teilspannungen gebildet und entsprechend dargestellt. Die Abb 2.3 - 2.6 zeigen das Ergebnis mit unterschiedlichen Fahrzeugen. Testweise wurde in Abb. 2.6 absichtlich Zelle 3 einzeln entladen. Im Gegensatz zu den anderen Zellen fehlen hier bereits mit 35Ah über ein Drittel der verfügbaren Kapazität. In den Abbildungen sind deutlich die unterschiedlichen Spannungseinbrüche der Zellen beim Start des PKW zu sehen. Anfangs befinden sich alle Zellen in der Ruhelage bei etwa 2V. Nach dem Umdrehen des Zündschlüssels schaltet zunächst der Magnetschalter zum Starten des Anlassers (kurze Peaks). Der folgende Lastmoment des Starters fordert der Batterie einen zunächst sehr hohen Peakstrom ab, infolge dessen die Zellspannungen entsprechend bis zu 600mV einbrechen. Es folgt nun ein wellenförmiger Verlauf, der den unterschiedlichen Kraftaufwand zum Drehen der Kurbelwelle zeigt. Je

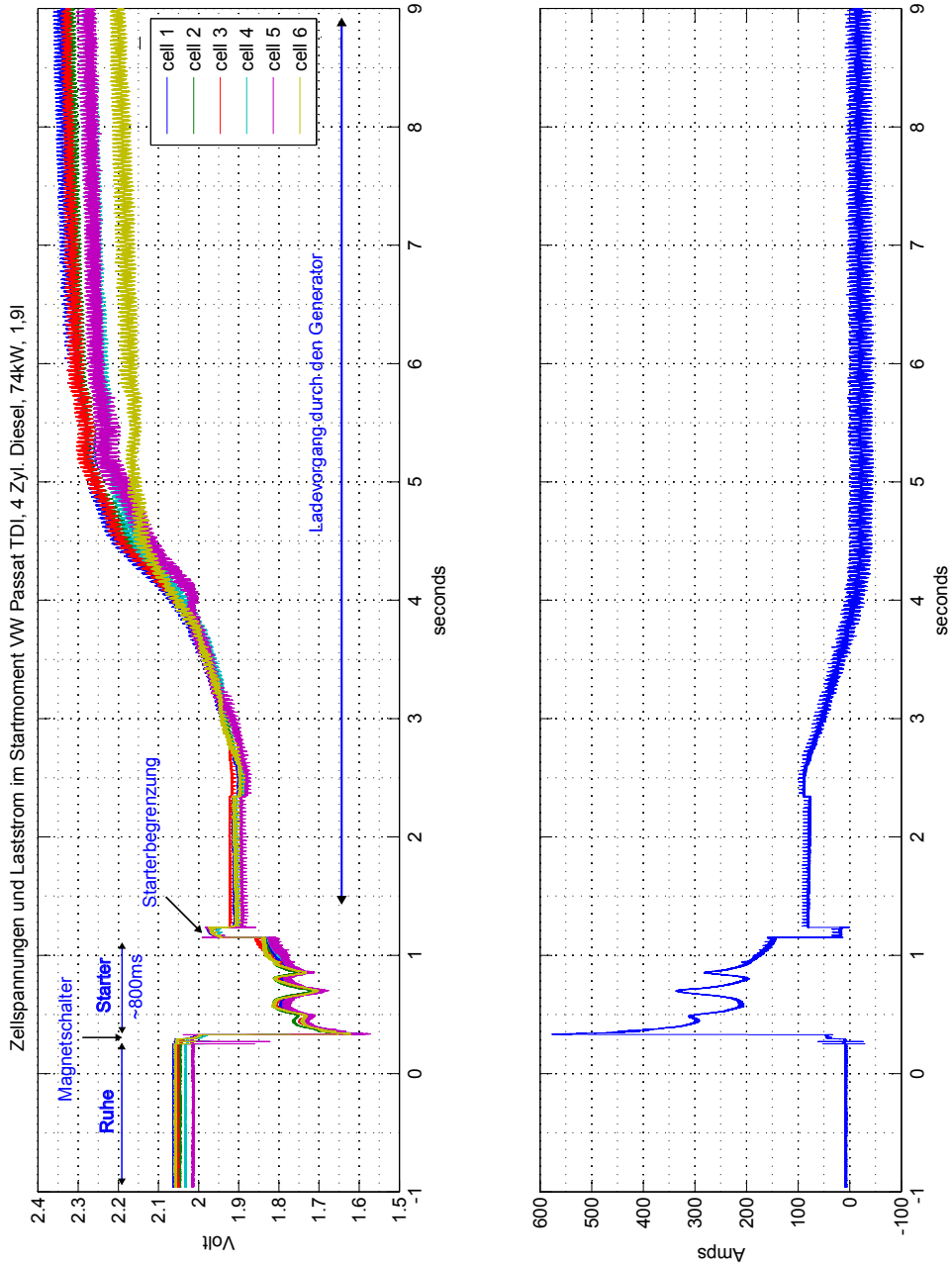


Abbildung 2.3.: Zellspannungen und Laststrom im Startmoment eines VW Passat Diesel über 10s

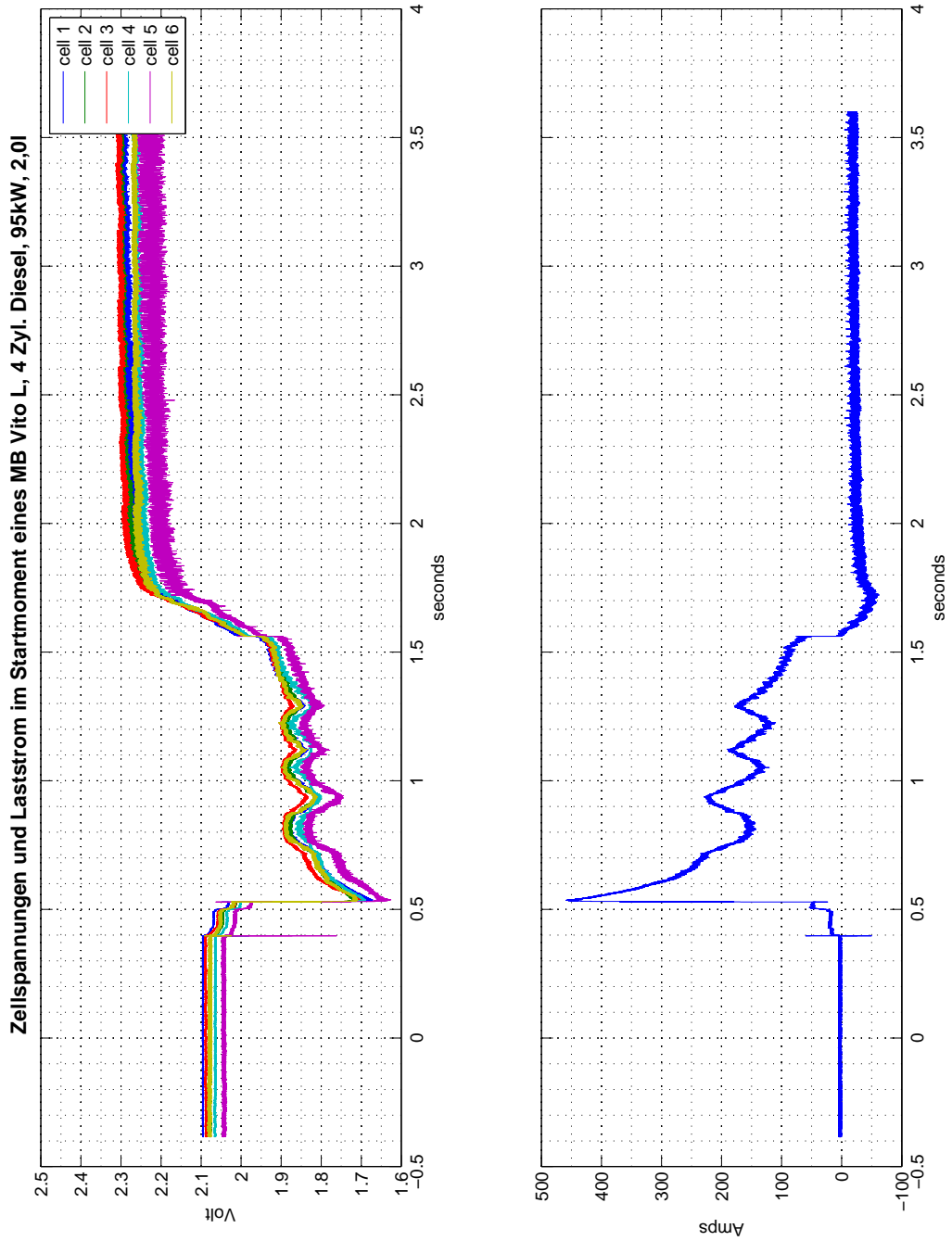


Abbildung 2.4.: Zellspannungen und Laststrom im Startmoment eines Mercedes Benz Vito Diesel über 4s

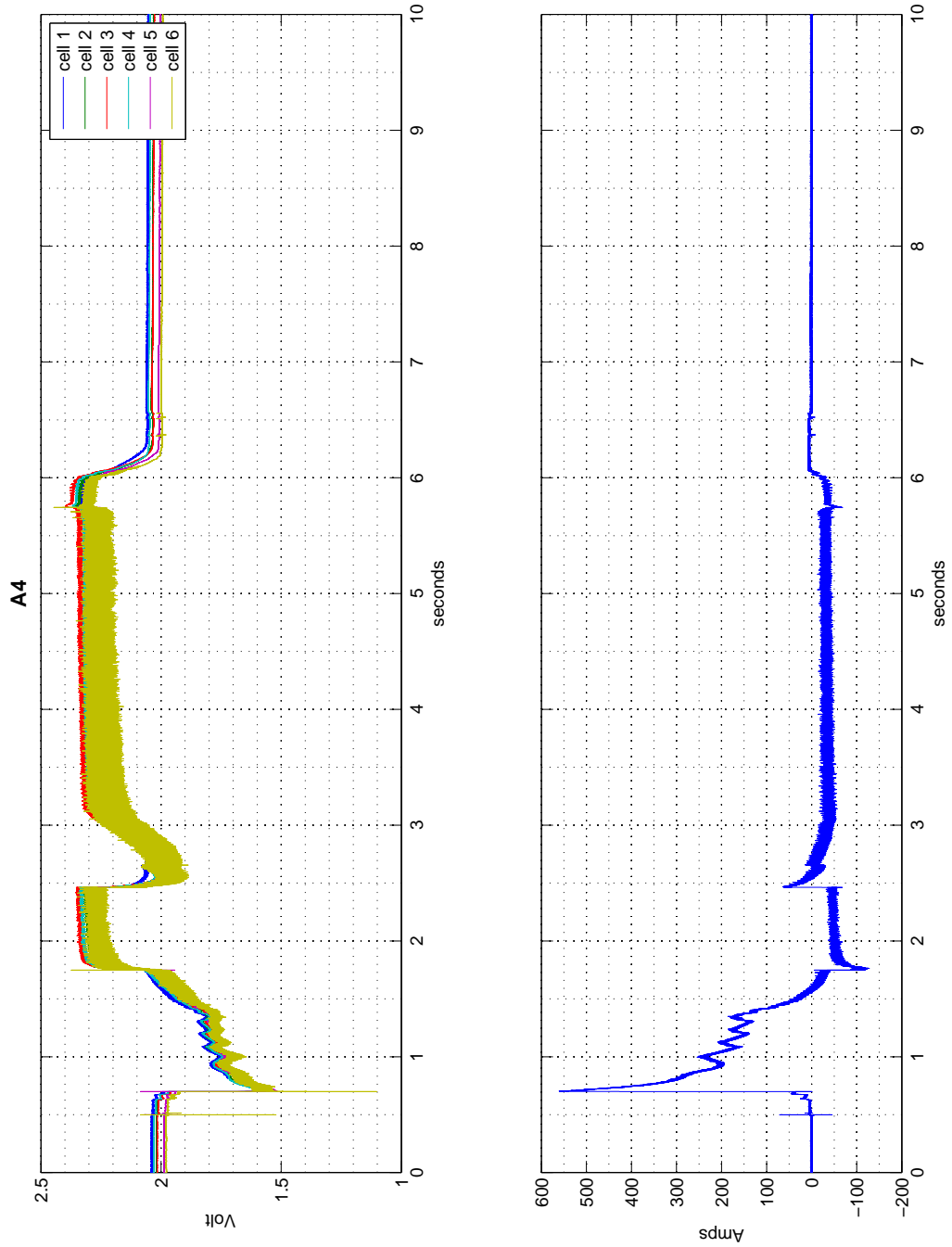


Abbildung 2.5.: Zellspannungen im Startmoment eines Audi A4 über 10s

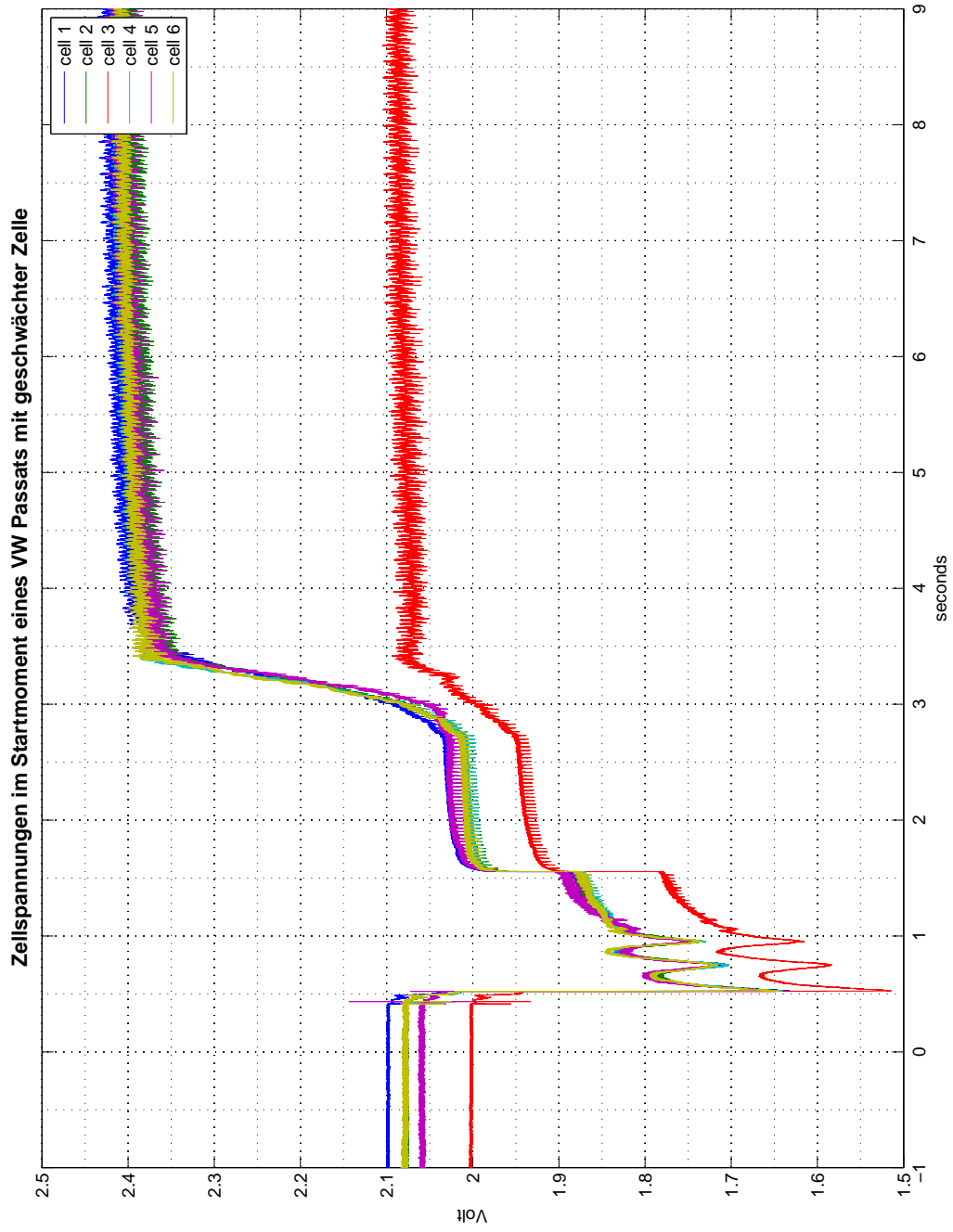


Abbildung 2.6.: Zellspannungen im Startmoment eines VW Passat Diesel über 10s mit geschwächter Zelle (Zelle 3)

nach eingebautem Starter bzw. Motor gestaltet sich der Stromverlauf, ebenfalls abhängig von Kolbenstellung und Motortemperatur, höchst unterschiedlich. In Abbildung 2.3 wird die wellenförmige Starterphase abrupt beendet. Der Wagen scheint hier nach dem Abschalten des Starters die durch Selbstinduktion auftretenden Ströme in die Batterie zurückzuführen. Die steile Flanke am Ende des Startvorgangs deutet darauf hin. Bei den anderen Fahrzeugen prägt allein das Zuschalten der Lichtmaschine diesen Zeitabschnitt.

Die Startcharakteristik des Audi A4 in Abb. 2.5 zeigt im Gegensatz zu den anderen Fahrzeugen einen erhöhten Rauschpegel. Bei einem Otto-Motor entstehen hohe Störimpulse u.a. durch die Zündspule, die hohe Spannungen zum Zünden des Kraftstoffluftgemisches bereitstellt. Ebenso wird kurz nach dem Zuschalten des Generators ein weiterer Verbraucher zugeschaltet, der kurzzeitig die gesamte Leistung der Lichtmaschine beansprucht. Ist der Motor gestartet, setzt nach dem Anlaufen zusätzlicher Verbraucher wie Bordelektronik, Kraftstoffpumpe usw. allmählich der Regelvorgang der Lichtmaschine ein wobei die Batterie wieder geladen wird.

Abb. 2.6 zeigt die Belastung der Batterie mit geschwächter Zelle. Dieser Vorgang bildet zwar keine tatsächlich gealterte Batterie nach, zeigt aber jedoch das unterschiedliche Ladeverhalten im Gegensatz zu den anderen Zellen. Wie im Bild zu sehen, verhält sich die Zelle 3 zunächst wie die voll geladenen Zellen. Erst zum Wechsel in den Ladevorgang durch die Lichtmaschine fällt der viel geringere Spannungsanstieg der Zelle gegenüber den anderen auf. Der Anstieg der Zellspannung ist etwa 3 mal geringer. Aufgrund der geringeren Sättigung nimmt die Zelle 3 einen erhöhten Strom auf. Der begrenzte Strom durch die Lichtmaschine lässt die Zelle nicht schnell genug nachladen, weshalb sie zunächst nur entgegen der 2,4 Volt Ladespannung auf ca. 2,07 Volt im Messbereich verharrt.

Zusammenfassend sind die Zeiten der eigentlichen Hochstromphasen interessant. Den Vergleich der gemessenen Fahrzeuge stellt Tabelle 2.2 dar.

Modell	Motor	Nennleistung [kW]	Hubraum [l]	Startzeit [ms]
VW Passat TDI	Diesel	74	1,9	820
MB Vito	Diesel	95	2	1200
Audi A4	Benziner V6	142	2,8	1000

Tabelle 2.2.: Vergleich der Fahrzeuge

Aus der Tabelle ist eine mittlere Hochstromdauer von etwa eine Sekunde erkennbar, wobei die Angaben von der ersten fallenden Flanke bis zum Zuschalten des Generators betrachtet wurden. Die Dauer erhöht sich entsprechend der Größe bzw. Leistung des Motors. Grundsätzliche Unterschiede zwischen Benziner und Diesel sind dabei zu erwarten.

### **Bewertung der Messmethodik**

Die dargestellten Messdaten sind in Hinblick auf Genauigkeit folgendermaßen zu betrachten: Bei der verwendeten Messmethode wurden Teilspannungen gemessen. Nach dem Errechnen der Zellspannungen weisen die Werte mit ansteigender Zellnummer einen steigenden Fehler auf. So ist in Abb. 2.4 ein erhöhtes Rauschen der Zellspannungen 5 und 6 gegenüber niedrigeren Zellen zu sehen. Grundsätzliches Rauschen auf der Zellenspannung verstärkt diesen Effekt zusätzlich (vgl. Abb 2.5), weswegen die Teilspannungen vor dem Verarbeiten gefiltert werden müssen. Toleranzen der Spannungsteiler, sowie Messtoleranzen (Hi-Res ca.11bit) und Offsetfehler ( $\pm 50\text{mV}$ ) der Oszilloskope addieren sich ebenso mit steigender Zelle. Auch die Strommessungen sind skeptisch zu betrachten: Die verwendete Stromzange wurde außerhalb der Spezifikation betrieben. Es sind nur Gleichstrom und Wechselstrommessungen bei 50Hz vorgesehen. Das Messen von zeitlich änderbaren Strömen verfälscht so möglicherweise das Endergebnis durch Überschwinger oder Rauschen.

## 2.2. Limitierung realer Systeme

Aus den gewonnenen Erkenntnissen des letzten Abschnitts ging die mittlere Dauer der Hochstromphase von etwa einer Sekunde hervor. In Bezug auf eine hinreichend gute Erfassung durch die Batteriesensorik stellt diese Dauer den Richtwert dar. Im Folgenden muss untersucht werden, inwiefern die gegebene Messsensorik aus Abschnitt 1.3 den Anforderungen des Startvorgangs genügt. Das gegebene System beschränkt sich auf die Sensoren und die zentrale Empfangseinheit, welche nachfolgend einzeln bezüglich der erforderlichen Datenraten geprüft werden.

### 2.2.1. Sender/Zellsensor

Der Zellsensor besteht, wie in Abschnitt 1.3.2 dargestellt, aus einem Step-Up Converter zum Anpassen der Versorgungsspannung aus der Zelle, einem Mikrocontroller zur Aufnahme der Messwerte und einem UHF Transmitter zum Übertragen der Messwerte. Das Sendeprotokoll wird durch den Mikrocontroller gesteuert und dem Transmitter zum Umsetzen ins ISM Band übergeben. Neben der maximalen Datenrate des UHF Transmitters von 115 kbps richtet sich daher die eigentliche Datenrate nach dem Takt des Mikrocontrollers. Der Mikrocontroller generiert das zu sendende Datenframe mit den nötigen Bitbreiten. Sein Takt ist auf 2 MHz durch den internen DCO<sup>1</sup> festgelegt. Mit den gewählten Einstellungen aus 1.3.2 ergeben sich etwa 21,6ms für einen Datenframe. Die Übertragung mehrerer Sensoren verringert die Datenrate nochmals. Das Sendeverfahren sieht die zufällige Übertragungen der Datenframes vor, um systematischen Überlagerungen am Empfänger entgegen zu wirken. Das Verringern der Wartezeiten bei der Übertragung geht jedoch einher mit einer höheren Verlustrate. Eine Messwertaufnahme mit der maximalen Datenrate scheidet somit aus. Wie genau die Wartezeiten angepasst werden können ist dennoch für die generelle Übertragung ein wichtiger Aspekt. Die Zuverlässigkeit des Sendeverfahrens und die Betrachtung von Übertragungsfehlern wird in Abschnitt 2.3 behandelt.

Eine Möglichkeit den Startvorgang zu erkennen, ist nun nur noch die Vorverarbeitung im Sensor selbst. Die auftretenden Datenmengen bei der Messung können so auf wenige, aussagekräftige Informationen zusammengefasst werden. Die zu übertragenden Informationen über Zellspannung, Versorgungsspannung und Temperatur unterliegen dabei ohnehin unterschiedlichen zeitkritischen Anforderungen. So wird meistens von langsamen Temperaturänderungen ausgegangen. Die Übertragung der Versorgungsspannung ist in erster Linie zur Überprüfung der Funktionalität der Sensors vorgesehen. Das Übertragen dieser Information reicht in Ruhephasen i.d.R. völlig aus. Kritisch ist hier die Zellspannung:

Der Ladezustand der Batterie basiert auf einer Ladungsbilanzierung. Dazu wird häufig das

---

<sup>1</sup>Digital Controlled Oszillator: RC Oszillator durch den temperaturabhängigen Widerstand lässt sich kein stabiler Takt erzeugen. Es ist deshalb für die Übertragung stets ein Quarz Oszillator notwendig.

Integral von Strom und Spannung über eine bestimmte Zeitdauer bestimmt. Die Information über die Stromstärke ist im Sensor nicht vorhanden. Nur die Zellspannung kann vorher im Sensor verarbeitet werden und führt zu der nötigen Datenkomprimierung. Dies setzt jedoch einen rechenstarken Mikrocontroller auf jedem Sensor voraus. Unter der Voraussetzung des niedrigen Taktes von 2 MHz und den zeitkritischen Vorgängen der Aufbereitung von Datenframes ist eine zeitgenaue Vorverarbeitung durch Integration im Sensor hier jedoch nicht gegeben. Aufwendige mathematische Operationen müssen dabei vermieden werden. Das Bilden des arithmetischen Mittels über eine bestimmte Anzahl von Messproben ist jedoch möglich. Kritisch ist hierbei das Mittel über viele Proben, da so vergleichsweise starke Einbrüche der Zellspannung im Endergebnis eine geringere Bewertung finden. Zu klein gewählte Intervalle dagegen erfordern wiederum höhere Datenraten. Dieser Effekt erfordert wiederum aufwendigere Berechnungen. Anstatt des arithmetischen Mittels erzielt das quadratische Mittel unter diesen Gesichtspunkten das bessere Ergebnis, was jedoch mehr Rechenaufwand erfordert. Eine weitere Möglichkeit besteht in der Mittelung von Messproben geringerer Differenz: Im Hochstrommoment bricht die Zellspannung bis auf den ersten, kurzen Peak für die gesamte Dauer auf das etwa gleiche Niveau ein. Bei solch geringer Streuung der Messwerte ergibt das Mittel einen entsprechend geringeren Fehler. Dieses Vorgehen erfordert dabei eine zuverlässige Erkennung des Hochstromereignisses. Abb. 2.7 verdeutlicht dabei den Unterschied von abschnittsweiser zu „starrer“ Mittelung.

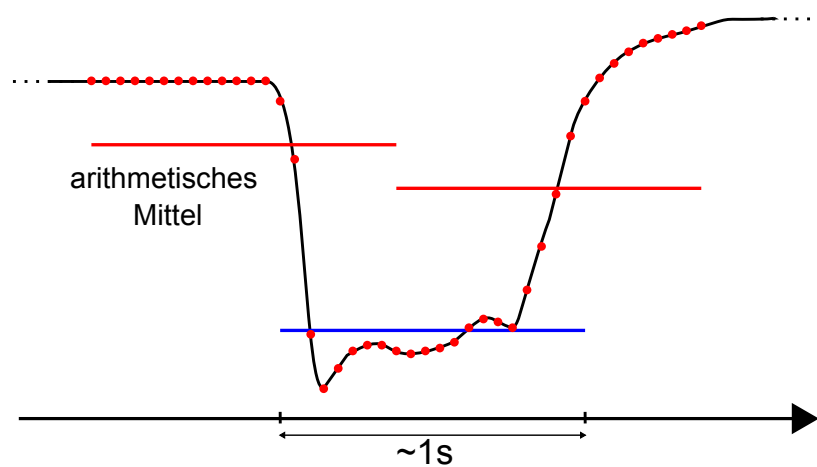


Abbildung 2.7.: Vergleich abschnittsweiser zu „starrer“ Mittelung des Hochstromereignisses

Die Grafik zeigt, dass das abgepasste Mittel über den tatsächlichen Hochstrombereich einen viel geringeren Fehler verursacht, als das starre Mitteln. Trifft das Mittel-Intervall nicht exakt genug mit dem eigentlichen Hochstromfall überein, kommt es zu gravierenden Abweichungen. Zudem treffen alle Sensoren zufällig auf den Spannungseinbruch. Als Folge entstehen starke Ladeschwankungen der Zellen.

Das abschnittsgenaue Starten der Mittelung setzt eine sehr zuverlässige Flankenerkennung

voraus. Störschwankungen auf den Zellen (Fehlstart, Motorstörung usw) können einzelne Sensoren ebenfalls fälschlich auslösen. Sogar im Sensor selbst ist darauf zu achten, dass beim Aufnehmen von Messwerten die Versorgungsspannung nicht durch den Step-Up-Converter gestört wird (Abb. 2.8). In diesem Fall lässt sich dieser für eine kurze Zeitspanne abschalten. Der Sensor wird für diesen Augenblick über einen Kondensator versorgt. Jeder Peak stellt einen Schaltvorgang des Step-Up-Konverters dar. Dies ist jedoch nicht bei Sendevorgängen möglich.

Im Sendefall belastet der Transmitter mit zusätzlicher Sendeleistung die Spannungsversorgung. Der Kondensator kann in diesem Fall nicht genügend Energie liefern, mit der Folge, dass der Step-Up-Converter in diesem Augenblick aktiv sein muss. Die Messwertaufnahme ist somit nicht möglich.

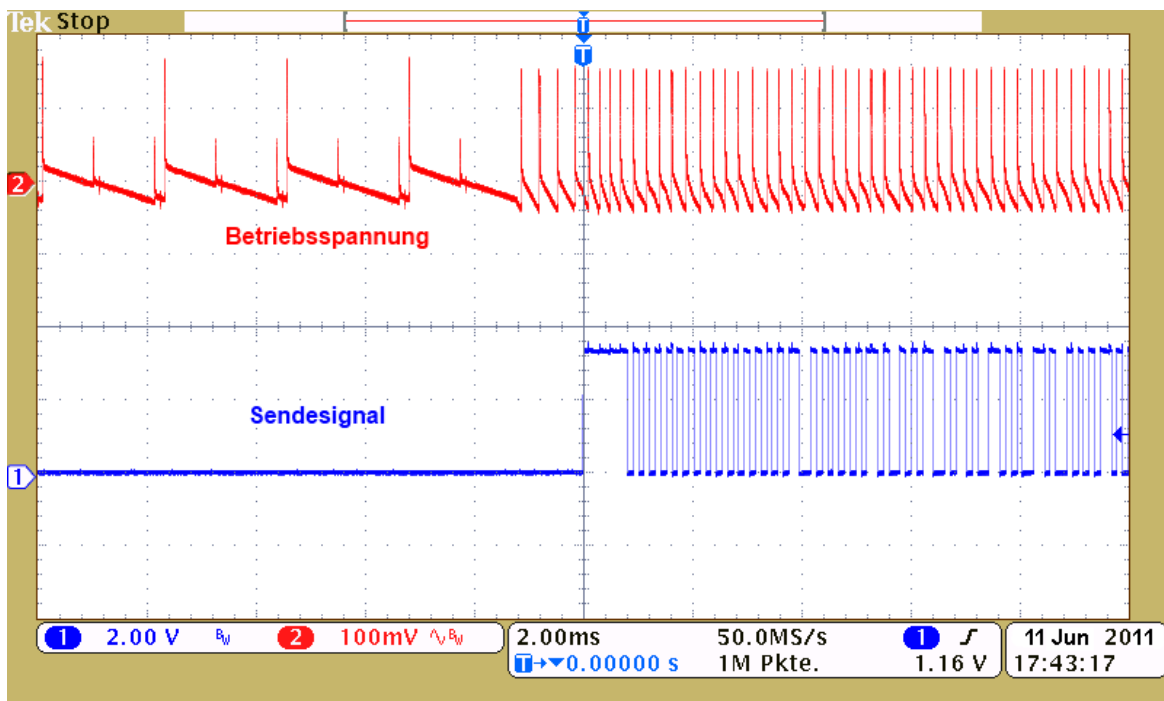


Abbildung 2.8.: Darstellung der Versorgungsspannung des Sensors im Sendefall

Im Falle der kontinuierlichen Messwertaufnahme ist der Sensor bei der Übertragung folglich „blind“. Dieser Punkt spielt ebenfalls bei der Wahl der Datenrate eine große Rolle, da viele Sendevorgänge zum Verlust wichtiger Messwerte beitragen.

Generell ist die Vorverarbeitung durch Zusammenfassung mehrerer Messproben sehr sensibel gegenüber Übertragungsfehlern. Im Fehlerfall gehen so folglich gleich viele Messwerte verloren. Die folgende Gegenüberstellung fasst nochmals die Problematiken der Datenübertragung zusammen.

mittelnde Verfahren	Übertragung einzelner Messwerte
<ul style="list-style-type: none"> <li>● Erhöhter Rechenaufwand bei quadratischem Mittel im Sensor. Möglicherweise Störung zeitkritischer Aufgaben (Übertragung).</li> <li>● Eine hohe Abtastrate der Zellspannung ist möglich. Situationen mit langsamen Spannungsänderungen werden sehr genau erfasst.</li> <li>● <i>Mittelnde Verfahren verfälschen die Messspannung. Für niedrigere Abweichungen muss gezielt über das Hochstromereignis gemittelt werden.</i></li> <li>● Starke Änderungen der Zellspannungen werden unterbewertet und gehen im Mittel unter.</li> <li>● Der Beginn und das Ende der Hochstromereignisse müssen genau mit über dem zu mittelnden Intervall übereinstimmen, da sonst das Ergebnis zellenweise auseinander läuft.</li> <li>● Der Sendevorgang lässt aufgrund von Störungen der Zellspannung in diesem Moment keine Messwertaufnahmen zu. Der Sensor ist in diesem Moment „blind“.</li> <li>● Übertragungsfehler betreffen viele Messwerte.</li> <li>● <i>Zu übertragende Daten werden zusammengefasst. Die Ansprüche an die Datenrate sind geringer.</i></li> </ul>	<ul style="list-style-type: none"> <li>● <i>Die Messauflösung hängt direkt von der Datenrate ab. Hohe Datenraten sind nicht verfügbar.</i></li> <li>● Es ist keine Vorverarbeitung notwendig. Die Auswertung findet im Empfänger statt.</li> <li>● Verluste einzelner Messwerte fallen nicht ins Gewicht.</li> <li>● Störungen durch den Sendevorgang sind unkritisch, da Sendevorgänge sequenziell ablaufen.</li> </ul>

## 2.2.2. Empfänger/Datenlogger

In Abschnitt 1.3.3 wurde bereits der Aufbau des Empfängers dargestellt. Im Zuge der Anforderungen des vorherigen Abschnitts über den Zellsensor steht die Untersuchung und Einstellung des Empfängers noch aus.

Der verwendete Empfänger der Firma RF Monolithics basiert auf dem ASH<sup>2</sup> Prinzip. Wie bei üblichen Überlagerungsempfängern wird das Eingangssignal stufenweise verstärkt bzw. gefiltert. Bei ASH geschieht dies über die Zeit, anstatt über die Frequenz: Zur Vermeidung von Rückkopplungseffekten zwischen den Verstärkerstufen werden diese abwechselnd betrieben. Über einen Pulsgenerator wird zunächst die erste Verstärkerstufe (RFA1) angesteuert und ihr Ausgangssignal über eine Verzögerungsglied gehalten. In Folge des Abschaltens des ersten Verstärkers schaltet der 2. Verstärker (RFA2) zu. Auf diese Weise wird das System über die Zeit stabilisiert. Abb. 2.9 zeigt das Blockschaltbild des Empfängers.

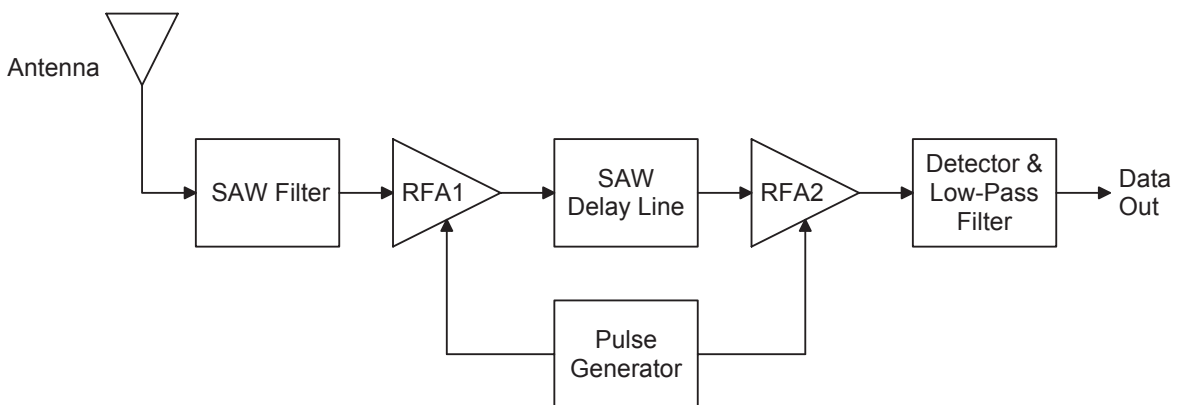


Abbildung 2.9.: ASH Block Diagramm

Die Vorselektion übernimmt dabei ein SAW-Filter<sup>3</sup>. Zum Schluss wird das Digitalsignal noch durch verschiedene Schwellwerterkennungen zurückgewonnen. Der auf diese Weise realisierte Empfänger unterstützt die Modulation ASK<sup>4</sup> bis zu einer Bitrate von 115,2kbps. Hier ist der Empfänger durch externe Beschaltung für den OOK<sup>5</sup> Betrieb eingestellt und ist für Bitraten bis zu 2,4kbps angepasst. Im OOK Betrieb sind zwar nur geringere Bitraten möglich, jedoch ist diese Form der Modulation sicherer bezüglich äußerer Störungen.

<sup>2</sup>Amplifier Sequenced Hybrid

<sup>3</sup>Surface Accoustic Wave: Oberflächenwellenfilter basierend auf Interferenzen von Signalen verschiedener Laufzeiten, realisiert mit dem Piezoeffekt

<sup>4</sup>Amplitude-Shift-Keying: Modulation des Digitalsignals auf die Amplitude des Trägersignals

<sup>5</sup>On-Off-Keying: Einfachste Form von ASK, das Trägersignal wird dabei entsprechend dem Digitalsignal an- bzw. ausgeschaltet

Die Bewertung des Empfangssignals kann zunächst leicht im Zeitbereich erfolgen. Das Signal wurde dabei direkt am Datenpin des Empfängers im Datenlogger abgegriffen und in Abb. 2.10 dargestellt.

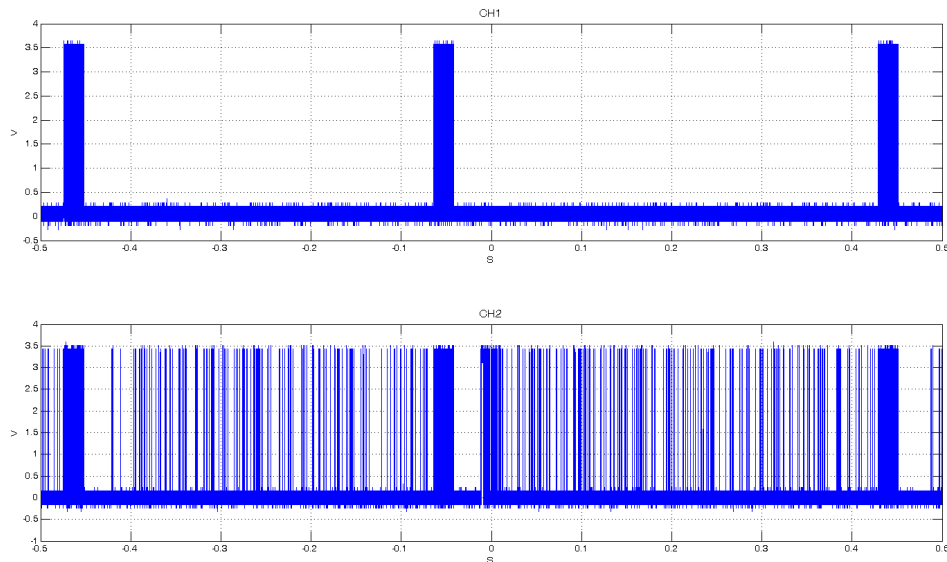


Abbildung 2.10.: Nutzdatensignal und Störungen auf dem Kanal: Sendeseite (oben), Empfängerseite (unten)

Die Abbildung zeigt oben 3 Frames, die innerhalb einer Sekunde gesendet wurden. Unten ist das zurückgewonnene, digitale Signal am Empfänger dargestellt. Deutlich sind hier Störungen zwischen den eigentlichen Frames zu erkennen. Es fällt weiter auf, dass direkt nach jedem Frame für eine ebenso lange Dauer keine Störungen auftreten. Dies könnte an einer adaptiv angepassten Verstärkung des Empfangssignals liegen. Der Empfänger-Hybridchip enthält zwar eine AGC<sup>6</sup>, jedoch ist diese bei der eingestellten Datenrate und der verwendeten Modulation eher optional und abgeschaltet. Nach Messungen im Funkmessraum konnten Störungen durch den Funkkanal ebenso ausgeschlossen werden. Naheliegender ist aufgrund der hohen Streuung fehlerhaft erkannter Bits eine zu sensibel eingestellte Entscheiderstufe der Digitalsignalerückgewinnung. Abb. 2.11 zeigt das analoge Basisbandsignal und das daraus zurückgewonnene Digitalsignal.

<sup>6</sup>Automatic Gain Control: adaptive Vorverstärkung zur Normalisierung schwankungsbehafteter Eingangssignale

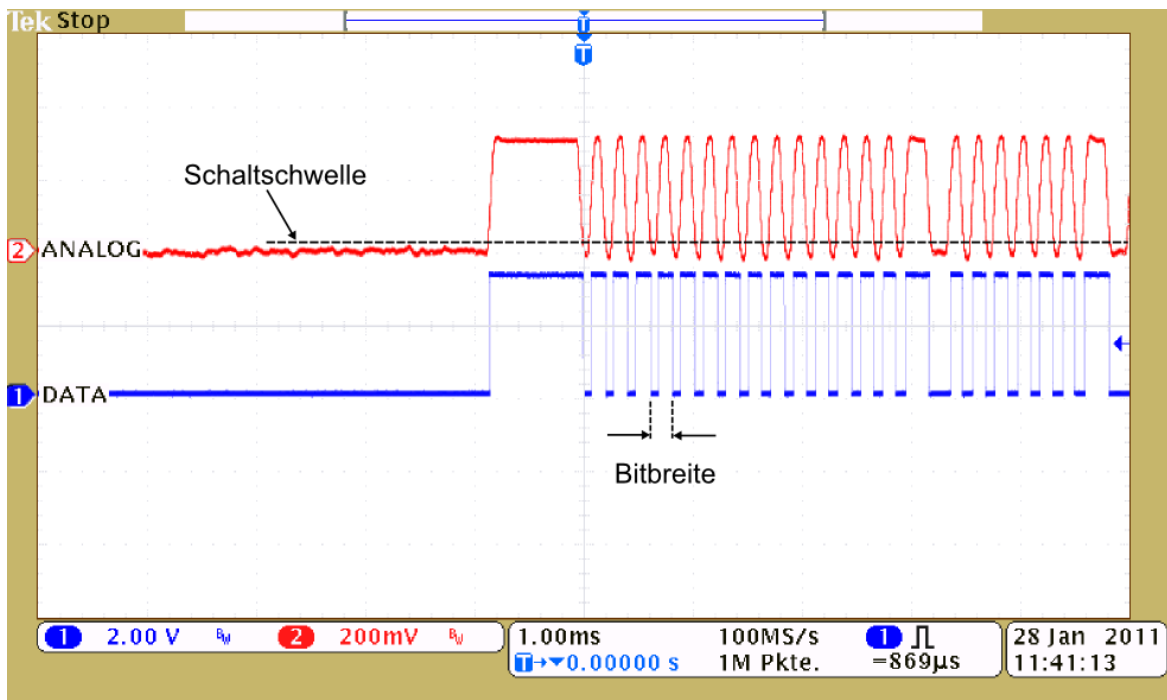


Abbildung 2.11.: Rekonstruktion des Digitalsignals am Empfänger

Die Entscheidung über ein Bit fällt anhand der einstellbaren Schaltschwelle. Das analoge Basisbandsignal wurde zuvor durch einen Tiefpass von hochfrequenten Störanteilen befreit (vgl. Abb. 2.9). Seine Form hängt dabei von der Grenzfrequenz des Filters ab. In Abb. 2.11 zeigt sich ebenso die Änderung des Tastverhältnisses der Bits. Im Gegensatz zum Tastverhältnis des Sendesignals von 50%, steigt es nach dem Empfänger auf etwa 60% an. Dies lässt auf eine zu niedrig eingestellte Grenzfrequenz schließen. Die Form eines Pulses wird zu stark verformt. Die Tatsache, dass der Empfänger laut Datenblatt [12] standardmäßig auf 2,4 kbps Bitrate eingestellt ist, bestätigt dies. Die vorab eingestellte 3dB Bandbreite des Tiefpasses beträgt dabei etwa 4,4 kHz. Die verwendete Datenrate beträgt jedoch 10 kbps und erfordert somit das Anpassen des Tiefpass. Dies kann durch geringe Änderungen der Hardware passend eingestellt werden. Die genau erforderlichen Änderungen sind im folgenden Kapitel: Realisierung unter Abschnitt 3.1 dokumentiert.

### Strommessung mittels Hall-Effekt Sensor

Die Funktion der Strommessung wurde vorab in [5] implementiert. Es wurde dazu der Open-Loop-Hall-Effekt Sensor HTFS 400-P/SP2 von LEM eingesetzt. Der Sensor deckt einen Messbereich von  $\pm 400\text{A}$  ab und gibt den entsprechenden Spannungswert mit einem Offset der halben Betriebsspannung aus. Die Messgenauigkeit ist dabei abhängig von seinem

Eigenrauschen. Dieser Wert beträgt laut Datenblatt etwa  $\pm 25\text{mV}$ . Umgerechnet ergibt sich somit eine Schwankung des Nullpunkts von  $\pm 8\text{A}$ . Eine zuverlässige Strommessung ist somit nur bei höheren Strömen jenseits von  $8\text{A}$  möglich.

Die vorhandene Messgenauigkeit lieferte bei Traktionensbatterien mit hohen Lastströmen hinreichend gute Werte. Für den Betrieb an Starterbatterien ist jedoch ebenfalls eine gute Auflösung bei sehr geringen Strömen gefordert, welche der HTFS 400-P/SP2 nicht bietet. Als Alternative schlägt [5] einen Hall-Effekt Sensor mit zusätzlichem Messbereich für geringere Ströme vor, welcher extra für Messungen am Kfz entwickelt wurde. Als weitere Verbesserungsmöglichkeit wird im gleichen Zuge der direkte Anschluss des Sensorausgangs über einen Spannungsteiler an den ADC des Mikrocontrollers erwähnt. Die bisherige Anbindung über die Vorverstärkung des Development Boards ist unnötig abhängig von der Temperatur und sollte nach Möglichkeit umgangen werden.

Die letzten Endes vorgenommenen Modifikationen des Datenloggers sind ebenfalls in Abschnitt 3.1 behandelt.

## 2.3. Übertragungskanal

Wie bei jedem drahtlosen Übertragungssystem müssen die erforderlichen Übertragungsparameter entsprechend den zu erfüllenden Anforderungen abgewägt und eingestellt werden. Bei dem hier verwendeten UHF System stellt die maximale Übertragungsrate eine harte Grenze der Messgenauigkeit dar. Als Fortsetzung der in Abschnitt 2.2.1 begonnenen Untersuchung des Sensors wird in diesem Abschnitt der Übertragungskanal hinsichtlich auftretender Verluste untersucht. Sonstige Untersuchungen bezüglich auftretender atmosphärischer Störungen usw sollen hier aufgrund kurzer Übertragungswege keine Beachtung geschenkt werden.

### 2.3.1. Framefehler

Bereits in Abschnitt 1.4.2 kam der Begriff von Framefehlern auf. Framefehler entstehen durch die Kollision mindestens zweier Datenframes infolge sich überlappender Sendezeiten der Sensoren. Das verwendete Übertragungsverfahren verhindert dabei durch zufällige Übertragungen innerhalb eines vorgegebenen Zeitfensters systematische Überlagerungen. Die zu erwartende Übertragungseffizienz lässt sich durch die Betrachtung eines Zeitabschnitts  $X$ , in dem  $N$  Datenframes der Länge  $T$  verschiedener Sensoren auftreten, näherungsweise bestimmen. Als Voraussetzung der Betrachtung muss  $X \gg N \cdot T$  gelten. Abb. 2.12 zeigt dabei den Ausgangspunkt der Betrachtung mit zwei Frames.

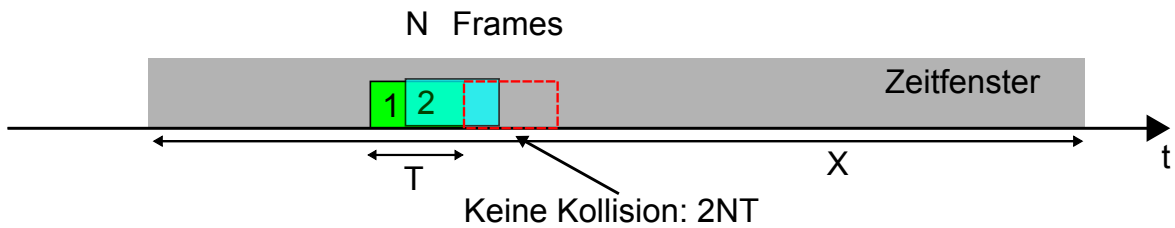


Abbildung 2.12.: Abschätzung der Framefehlerrate

Die Kollisionswahrscheinlichkeit bestimmt sich aus dem Verhältnis der Framelängen zu der Betrachtungsdauer. Die Bedingung keiner Kollision bei dieser Betrachtung erfordert die Verdopplung des Verhältnisses. Es ergibt sich folglich:

$$P_{E,1} = \frac{2(N-1)T}{X} \quad (2.1)$$

Diese Rechnung stellt einen Worst-Case-Fall dar: Es wird hier entgegen des eigentlich in Abschnitt 1.4.2 vorgestellten Sendeverfahrens die Überlagerung der Zeitfenster der Sensoren angenommen. Aufgrund der fehlenden Synchronisation der Sensoren ist eine volle Überlagerung der Zeitfenster nicht immer gegeben (Abb. 2.13).



Abbildung 2.13.: Überlagerung der Zeitfenster

Am Beispiel bisher verwendeter Parameter ergibt Gl. 2.1 mit  $X=2s$ ,  $T=23ms$ ,  $N=6$  die Kollisionswahrscheinlichkeit  $P_{E,1} = 0,115 = 11,5\%$ . Der bisherige Einsatz des Sensorsystems sah zudem den Empfang eines Frames innerhalb einer Minute vor. Es konnten so bei der mittleren Sendezeit von 2s bis zu 30 Wiederholungen stattfinden. Im Falle von  $W$  Wiederholungen ändert sich 2.1 zu:

$$P_{E,W} = P_{E,1}^W = \left( \frac{2(N-1)T}{X} \right)^W \quad (2.2)$$

Die Übertragung mit 30 Wiederholungen gilt somit laut Gl. 2.2 als quasi ideal.

Für die hier verfolgte Anwendung auf Starterbatterien gelten jedoch andere Anforderungen. Die Untersuchung der Startvorgänge in Abschnitt 2.1.1 ließ auf die Dauer des zu erfassenden Hochstromereignisses von etwa einer Sekunde schließen. Das Anpassen der Datenrate

auf diesen Bereich lässt die Fehlerrate deutlich steigen. Außerdem muss hier auf das wiederholte Senden von Frames verzichtet werden. Eine deutliche Senkung der Sendezeit wird somit nicht möglich sein. Es muss dabei zwischen Verlusten von Datenframes und Verlust von Messwerten abgewogen werden.

Eine Größe des Zeitfensters von etwa 366ms hat sich bisher als guter Kompromiss erwiesen. Nach Gl. 2.1 ergibt sich dann im schlimmsten Fall eine Fehlerrate von 69%. Anpassungen der Datenrate können dann durch Einbringen von Mindestwartezeiten vorgenommen werden dies hat keinen Einfluss auf die Kollisionswahrscheinlichkeit.

### 2.3.2. Messung der Framefehlerrate

Das Abschätzen der Framefehlerrate aus dem letzten Abschnitt berücksichtigt keine sonstigen Störungen auf dem Kanal. Die dargestellten Gleichungen sind dabei nur für den schlimmsten Fall totaler Überlagerung aller Zeitfenster gültig. Die sich daraus ergebenden Einschätzungen der Übertragungseffizienz sind daher eher als pessimistisch zu sehen. Für eine genauere Bestimmung der Fehlerrate muss entsprechender mathematischer Aufwand getrieben werden. Ebenso ist eine simulative Erprobung in Software möglich, bei der das Übertragungsverfahren nachgebildet wird. Eine einfache Lösung bietet eine Fehlermessung direkt am Empfänger.

Durch das Senden einzelner Datenframes sind Fehlübertragungen leicht bei der Auswertung bereits empfangener Frames möglich. Jeder Frame bedarf dabei einer eigenen Nummer. Das Übertragungsprotokoll, aus Tabelle 1.3 bietet dafür noch genügend Platz. Die überdimensionierte Adresse benötigt tatsächlich nur 1 Byte und lässt noch 2 Byte für die Nummerierung offen. Im Empfänger ergeben sich dann die Verluste durch die Differenz aus den beiden zuletzt empfangenen Nummern gleicher Adresse.

Das beschriebene Vorgehen ist trotz seiner Einfachheit sehr zeitkritisch und stellt zusätzliche Anforderungen an den Empfänger. Die Auswertung der Verluste erfolgt direkt als Teil der Empfangsroutine, dargestellt in Abschnitt 1.3.3. Die Dauer der Empfangsroutine hat direkten Einfluss auf die zu messenden Framefehler. Dauert sie zu lange, können eintreffende Frames nicht ausgewertet werden und gelten als verloren. Unter diesem Umstand ist besonders die in 1.3.3 erwähnte Problematik des undefinierten Ende der Datenframes zu berücksichtigen: Die Empfangsroutine wertet eintreffende Frames anhand steigender Flanken aus. Endet dabei ein Datenframe auf eine fallende Flanke bzw. ist das zuletzt empfangende Bit eine „1“, startet der Empfang erst bei der nächsten positiven Flanke neu. Erst in diesem Moment gilt das vorige Frame als empfangen. Da die Auswertung selbst Rechenzeit benötigt, dauert die Interruptroutine entsprechend länger und überschneidet sich mit dem nächsten Frame. Dieser Frame gilt dann als verloren. Um diesen Fall zu verhindern, wurde eine abschließende „0“ dem Protokoll hinzugefügt.

Die abschließende Auswertung kann am PC erfolgen. Dazu ist entweder die direkte Über-

tragung über die serielle Schnittstelle oder das Ablegen der Information im Flash des Datenloggers möglich. Beide Fälle bieten die Möglichkeit neben verlorenen Frames zusätzliche Informationen über den Ausstieg aus der Empfangsroutine im Fehlerfall zu speichern. Der frühzeitige Ausstieg tritt anhand fehlerhaft erkannter Bits auf. Ist die Zeitspanne zwischen 2 Flanken außerhalb der Toleranzen, ergibt sich, bis auf den CRC<sup>7</sup>, je nach Zustand einer der folgenden Fehler:

- Zeitspanne zu kurz
- Zeitspanne zu lang
- CRC Fehler

Abb. 2.14 zeigt die Anteile einzelner Fehlerfälle am Gesamtverlust der Frames beim Empfang. Es wurden dabei 1000 Frames korrekt übertragen und ausgewertet. In diesem Fall ist der Empfänger noch nicht entstört (vgl. Abschnitt 1.3.3). Es fällt zunächst der hohe Verlust an Frames auf. Pro Sensor gehen fast 80% verloren. Der Anteil tatsächlicher Empfangsfehler ist vergleichsweise gering. Es fällt gerade der verschwindend geringe Anteil an CRC Fehlern auf. Demnach kommt es häufig schon vorher zu Empfangsfehlern. Der Rest an Verlusten entsteht durch Störungen durch den zu empfindlich eingestellten Entscheider des Empfangsmoduls.

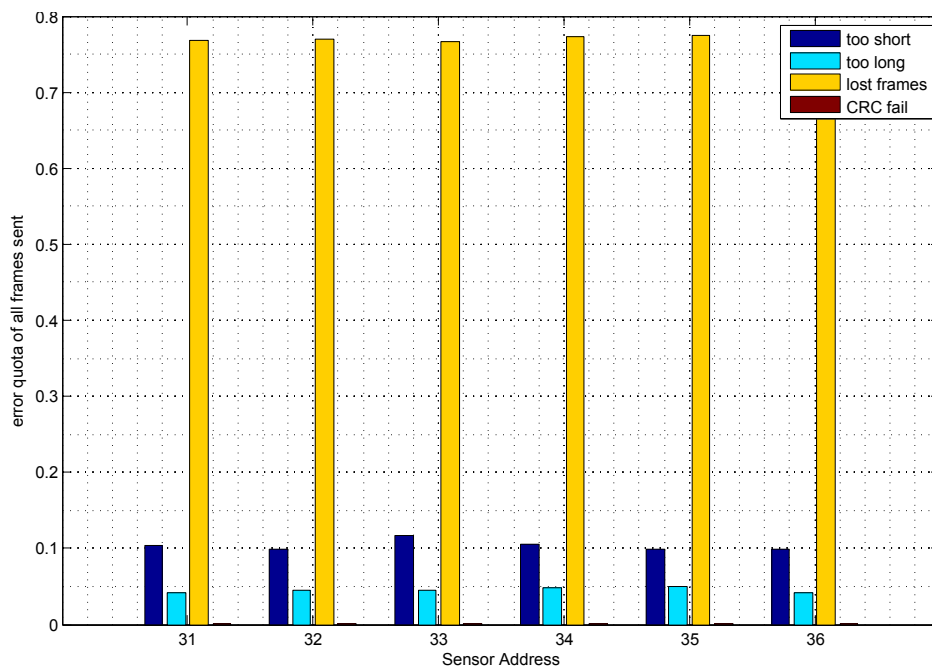


Abbildung 2.14.: Verhältnisse verschiedener Fehlerfälle zum Gesamtverlust an Frames pro Sensor (Empfänger ohne Modifikation)

<sup>7</sup>Cyclic Redundancy Check, zyklisches Prüfsummenverfahren zur Fehlerkorrektur

Abbildung 2.15 zeigt den Anstieg der Fehlerrate mit zunehmender Anzahl teilnehmender Sensoren. Dabei wurden 1000 korrekt empfangene Frames ausgewertet. Nach der Änderung der Empfindlichkeit des Empfängers und deren Anpassung an die verwendete Bitrate (Abschnitt 3.1.1), tritt erwartungsgemäß bei nur einem Sensor keine Kollision auf. Senden dagegen 2 Teilnehmer auf dem Kanal, so lässt sich bereits eine Fehlerrate von 11,3% messen. Schätzungsweise steigt die Fehlerrate um etwa 8% mit jedem weiteren Sensor an. Mit 6 Sensoren ergibt sich eine Fehlerrate von 41,3%. Der Vergleich zu der theoretischen Betrachtung bestätigt eindeutig die damit erreichte Nachbildung beim Fall maximaler Überlappung der Sende-Zeitfenster, in dem jeder Sensor einen Datenframe sendet.

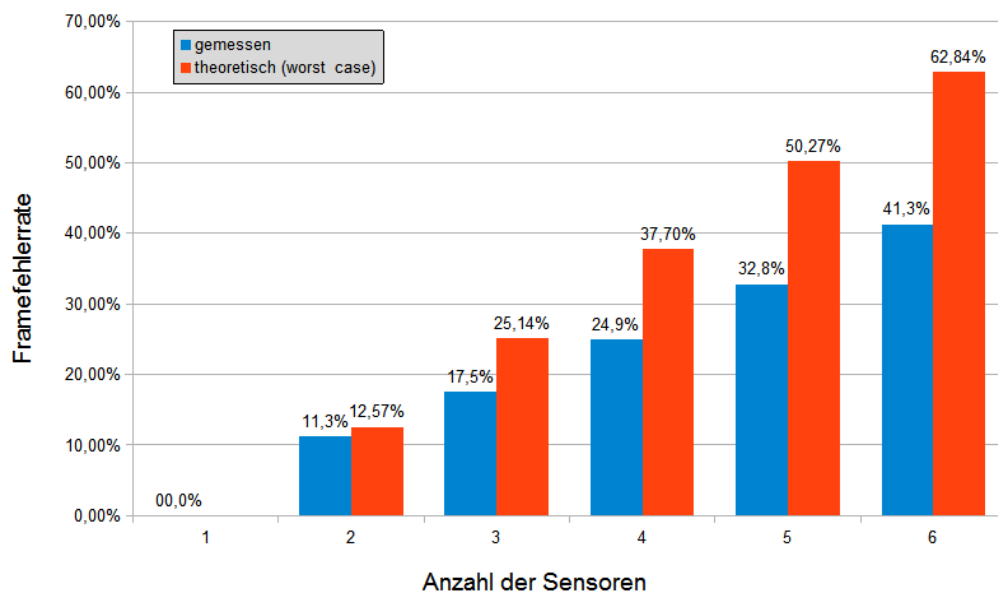


Abbildung 2.15.: Darstellung theoretischer und gemessener Framefehlerraten mit modifiziertem Empfänger

In Abbildung 2.16 sind die aufgenommenen Frames auf der Zeitachse dargestellt. Mit der Information über die verlorenen Frames kann ihre zeitliche Reihenfolge rekonstruiert werden. Dabei wurde ein festes Sendeintervall von 500ms angenommen. Bei dieser Darstellung fallen die Frames verschiedener Sensoren auf einen Zeitpunkt zusammen. Die Anzahl der Frames zu einem Zeitpunkt lässt sich dabei an der Y-Achse ab. Durch diese Darstellung fällt die Häufigkeit von Verlusten besser auf. In 2.16 fallen keine größeren Lücken auf, die auf systematische Kollisionen hindeuten.

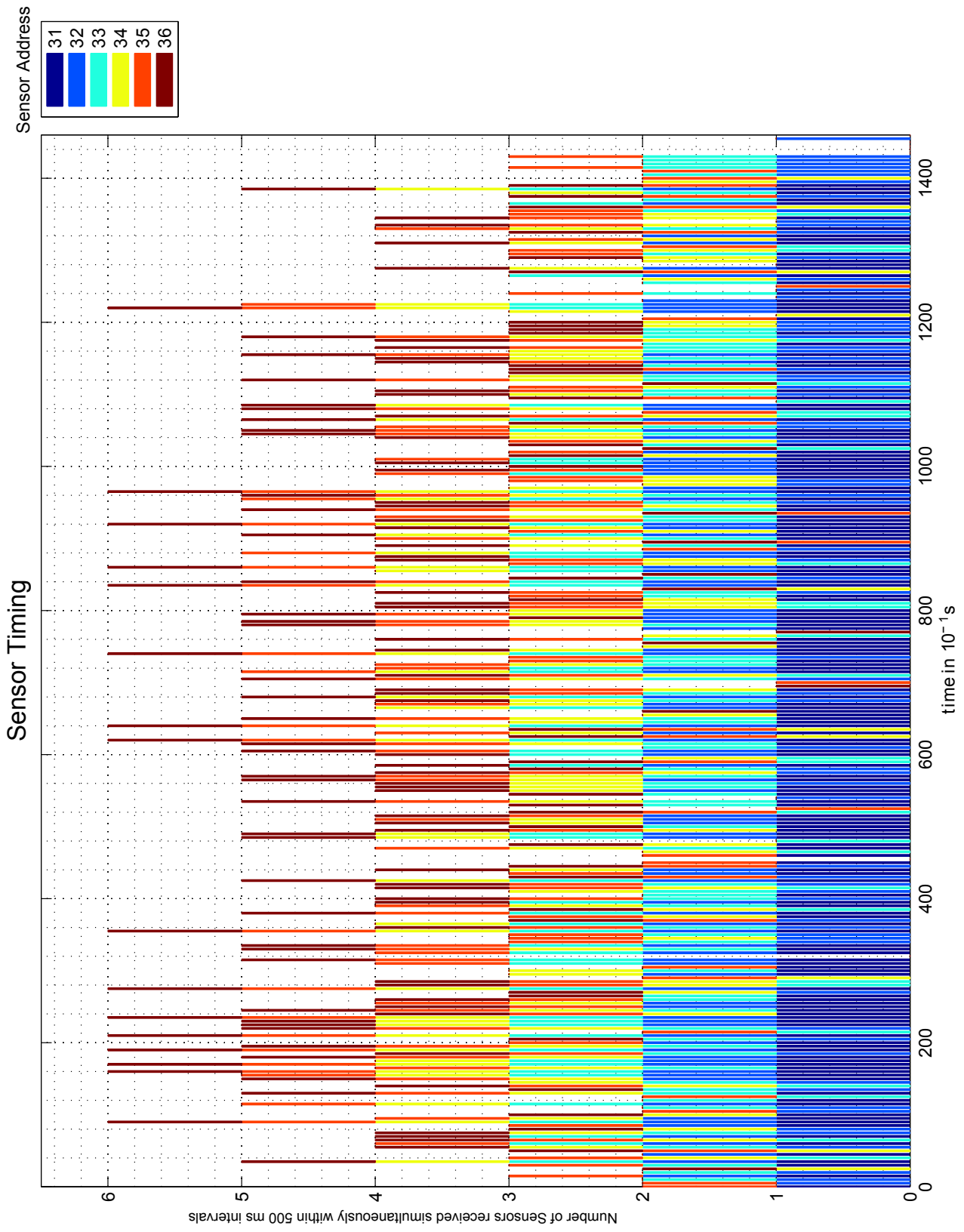


Abbildung 2.16.: Timings der Frames bei Annahme fester Sendezeiten von 500ms

## 2.4. Auswertung und Konzeption

Auf Basis letzterer Untersuchungen des Sensorsystems hinsichtlich Framefehler und Möglichkeiten der zur Verfügung stehenden Hardware, können die untersuchten Ansätze aus Abschnitt 1.3.2 weiter verfolgt werden. Dabei wurden Vor- und Nachteile einer Vorverarbeitung der Messwerte im Sensor gegenüber der einzelnen Übertragung der Messpunkte behandelt. Während die Vorverarbeitung eine entsprechende Intelligenz des Sensors erfordert, ist die Einzelwertübertragung aufgrund von hohen Framefehlerraten laut Abschnitt 2.3 weniger geeignet. Die Übertragung mehrerer Daten ist dabei jedoch weniger kritisch, da in diesem Fall der Datenverlust einzelner Frames nicht viele Werte, wie bei einer Vorverarbeitung, betrifft. Eine scheinbar gute Lösung ist hier die Kombination beider Strategien:

- Zur Datenkompression wird über die Messwerte gemittelt. Die Intervalle dürfen nicht zu groß gewählt werden, um die Signaldynamik zu erhalten. Ein Abtastintervall von 1ms über 10 Messwerte ist dabei angesichts der zu erwartenden Spannungsverläufe ein guter Richtwert. Dies erforderte bei direkter Übertragung 100 Frames pro Sekunde.
- Die Datenrate ist stark begrenzt. Durch das Sendeverfahren steigt die Fehlerrate überproportional mit der Datenrate an. Ein Zeitfenster von etwa 333ms ergibt mit 6 Sensoren laut Abschnitt 2.3.2 eine Fehlerrate von 41%. Die Datenrate liegt folglich mit der festen Verzögerung (333ms) zwischen 1-3 Frames pro Sekunde.

Die verfügbare Framerate ist viel zu gering. Die hohe Anzahl entstehender Messwerte kann nicht schnell genug abgearbeitet werden. In diesem Fall führt Quellcodierung im Sensor weiter: Bereits Abb. 1.18 zeigte die unterschiedlichen Anforderungen der drei Betriebszustände der Starterbatterie. Nur Zustände mit hohem Energieumsatz erfordern dabei eine genauere Erfassung durch die Sensorik. In Bezug auf eine Datenkompression lassen sich die gemessenen Daten nach ihrer Bedeutsamkeit beurteilen. Eine Entscheidung lässt sich diesbezüglich nach der Signaldynamik fällen. Treten hiernach größere Änderungen der Zellspannungen zwischen 2 Messwerten auf, deutet dies auf ein Hochstromereignis hin. In diesem Fall müssen die Messwerte entsprechend schnell übertragen werden. Übrige Werte werden dabei weggelassen. In Ruhephasen, konstanter Zellenspannung genügt wieder eine langsame Übertragungsrate.

Die verlustbehaftete Datenkompression erzeugt dennoch phasenweise ein hohes Datenaufkommen und erfordert einen Puffer bzw. Zwischenspeicher zum Angleichen der Datenrate. Dieser ist so auszulegen, dass während einer Hochstromphase hinreichend viele Messwerte aufgenommen werden können und der Puffer nicht überläuft. Die Problematik beim Puffern liegt wiederum beim erhöhten Aufwand der Synchronisation der Messdaten. Zum Erhalt der Zeitbasis muss jedem Messwert ein Zeitstempel beigefügt werden, der ebenfalls den zusätzlichen Jitter der Senderoutine enthält. Im Empfänger ist der Zeitpunkt der Messwertaufnahme entsprechend zu rekonstruieren.

Für die Übersicht des Verfahrens ist eine Darstellung der erforderlichen Instanzen als Schichtmodell sinnvoll (Abb. 2.17).

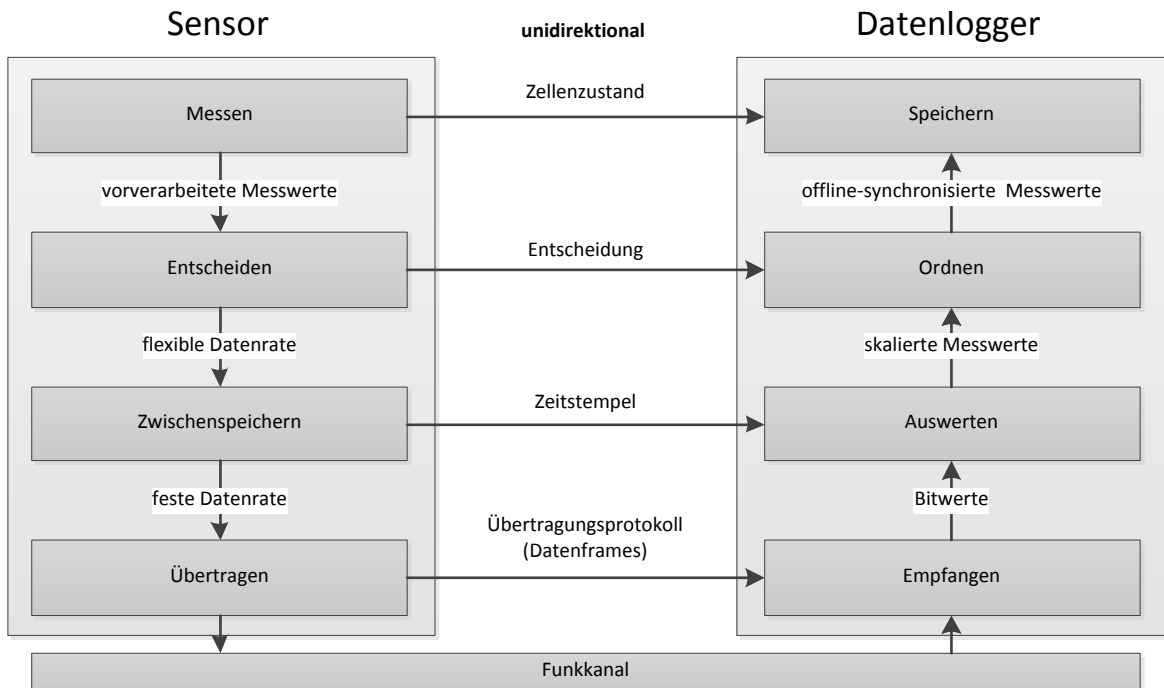


Abbildung 2.17.: Schichtenmodell der Kommunikation zwischen Sensor und Datenlogger

Besonders kritisch ist die Beurteilung der Messwerte hinsichtlich der Hochstromphase. Sie entscheidet über das Messwertaufkommen, das im Puffer gehalten werden soll. Dieser darf nicht überlaufen, um Informationsverlust zu vermeiden. Im Störfall bzw. starken Spannungsschwankungen auf den Zellen wird der Puffer unbeabsichtigt belastet. Folgt darauf beispielsweise ein Hochstromereignis, können folgende Werte nicht mehr aufgenommen werden und gehen somit verloren. Die Bedingungen für das Zwischenspeichern eines Messwertes müssen demnach störungsfest ausgelegt werden. Die letztlich Größe des Datenpuffers ist durch den RAM Speicher des Mikrocontrollers begrenzt (256Byte).

Für die Auslegung der Parameter eignen sich sehr gut die bereits aufgenommenen Startvorgänge aus Abschnitt 2.1.1. Sie erlauben die Simulation des vorgestellten Konzepts. Als Bedingung für das Aufnehmen eines Messwerts in die Queue wurde ein Schwellwert von 25mV eingestellt. Für die Zeitbedingung sind zwei Sekunden gewählt worden. Wie bereits erwähnt, werden die Messwerte über 10ms Intervalle gemittelt. Dies macht die Entscheidung über das Zwischenspeichern robuster gegenüber kurzen Störimpulsen. Abb. 2.18 zeigt das Ergebnis der Simulation anhand des Startvorgangs des VW Passats über 40 Sekunden. Es lassen sich bereits mit den gewählten Parametern für die In-Queue-Bedingung gute Ergebnisse erzielen. Der hohe Spannungseinbruch der Zelle durch den Anlasser wird

entsprechend häufig abgetastet. Hier gelangen schlagartig viele Messwerte in die Queue. Zwischenzeitlich werden schon einige Daten im Mittel alle 500ms abgebaut. Im Übergang zum Ladezustand durch den Generator erhöht sich das Datenaufkommen auf das Maximum von 19 gespeicherten Messwerten. In der langen Ladephase bleibt die Zellspannung, trotz der Störungen durch den Laderegler, unterhalb der festgelegten Toleranz, was genügend Zeit zum Leeren der Queue bietet.

In der Regel folgt auf den Startvorgang eine, bis auf die Störungen des Ladereglers, konstante Ladephase. Folgt jedoch kurz nach dem Starten ein weiterer Einbruch durch Zuschalten weiterer Verbraucher oder durch das erneute Starten des Motors nach einem Fehlstart, ist ein Überlaufen der Queue sehr wahrscheinlich. Der Sensor benötigt stets genügend Zeit um seinen Speicher wieder zu leeren. Abb. 2.19 zeigt im Vergleich dazu den Startvorgang des Audi A4.

Der Audi A4 zeigt eine andere Startcharakteristik. Kurz nach der Belastung der Batterie durch den Starter und des Übergangs zur Ladephase setzt die Ladung für einen kurzen Augenblick aus. Dies erzeugt einen tiefen Spannungseinbruch. In diesem Fall erhöht sich das Datenaufkommen abermals auf bis zu 31 Werten. Noch stärker wird die Queue im Falle mehrerer Startversuche ausgelastet (Abb. 2.20). Die kurzen Ruhephasen zwischen den Starts erlauben kein Abbauen der Daten. Die maximale Auslastung steigt auf 50 an. Viele steile Fanken im Spannungsverlauf erzeugen zudem hohe Abweichungen zum tatsächlichen Verlauf.

Bei nur 256 Byte RAM-Speicher ist laut der Simulation die Größe der Queue maximal auf etwa 30 einzustellen. Bei angenommenen 30 Speicherzellen tritt ein Überlauf des Speichers nur unter extremen Umständen, gerade im letzten Fall, auf. Da durch einen Überlauf keine weiteren Daten abgespeichert werden können, würde im letzten Fall nur der erste Startversuch aufgenommen werden. Für die spätere Ladezustandsbestimmung entstehen so hohe Abweichungen. Die tatsächlich mögliche Größe der Queue muss im nächsten Schritt der Implementation des Verfahrens erprobt werden.

Zuletzt bleibt noch die Strommessung zu erwähnen: Die Strommessung im Datenlogger läuft völlig asynchron neben dem Datenempfang ab. Die korrekte Zuordnung eintreffender Zellspannungswerte ist mit erheblichem Aufwand verbunden, weswegen im Moment darauf verzichtet wird. Diesbezüglich wird im letzten Kapitel 5 ein Ansatz genannt.

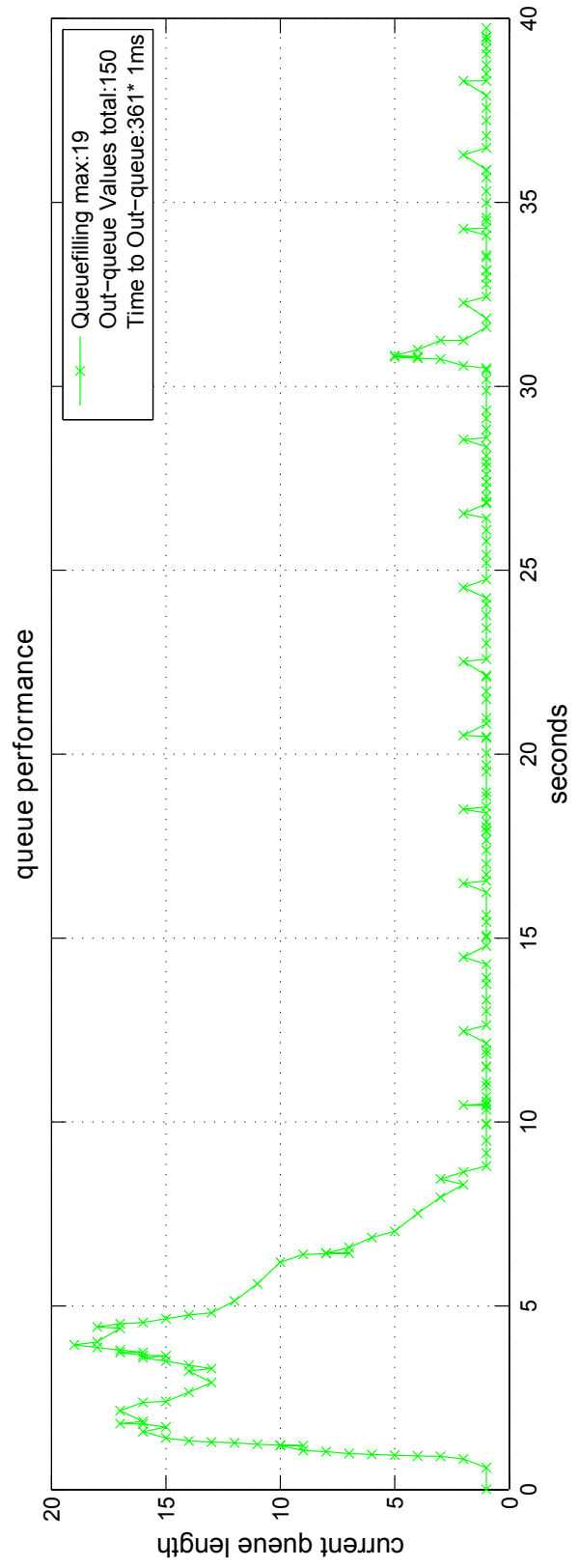
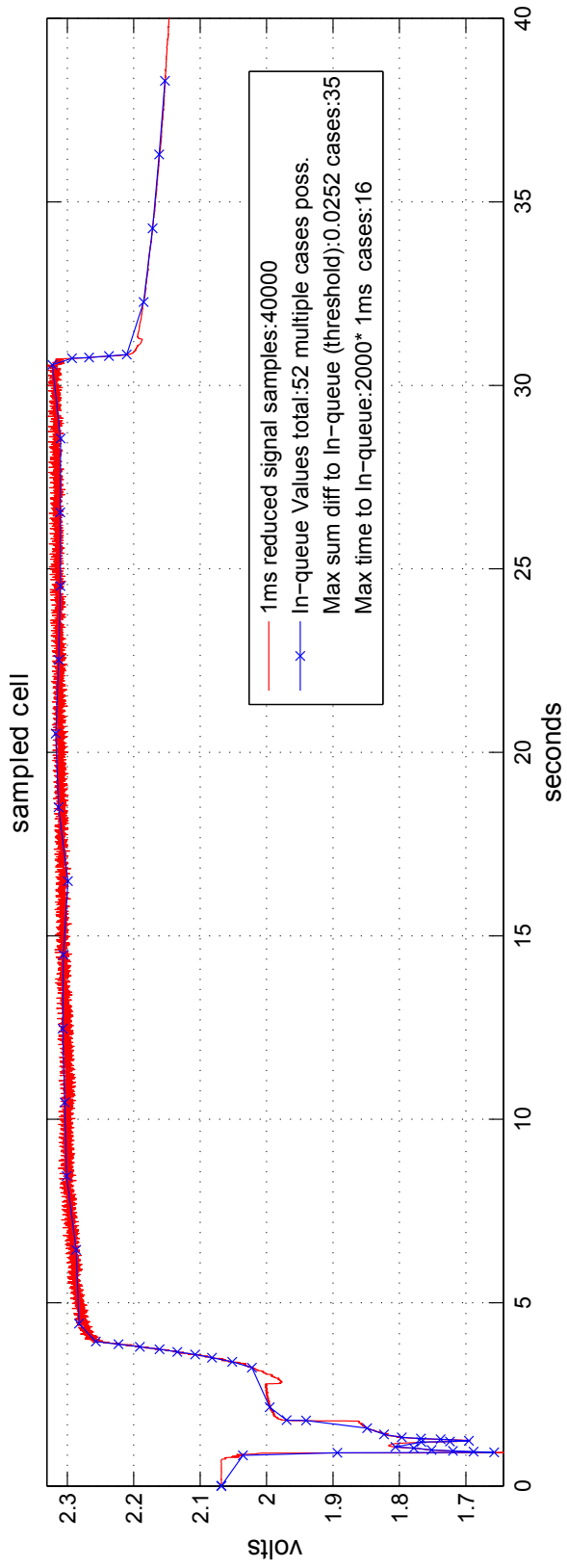


Abbildung 2.18.: Simulation des Datenpuffers im Sensor, Passat 40s

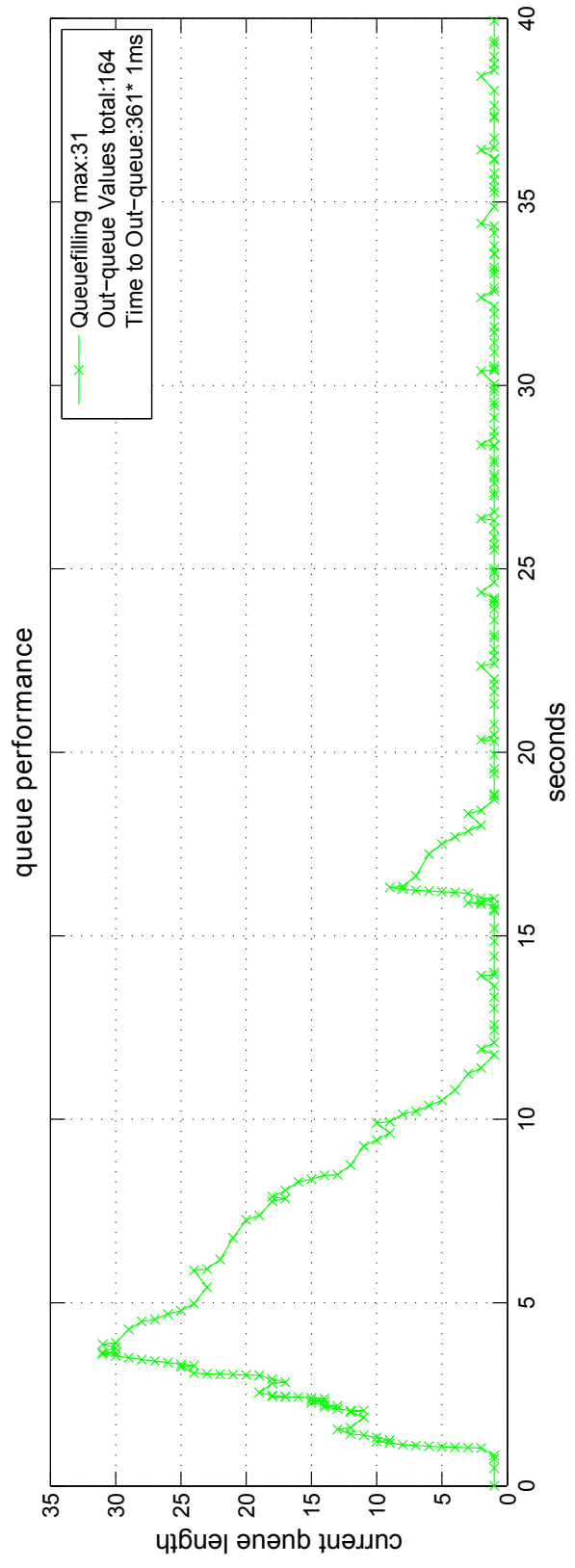
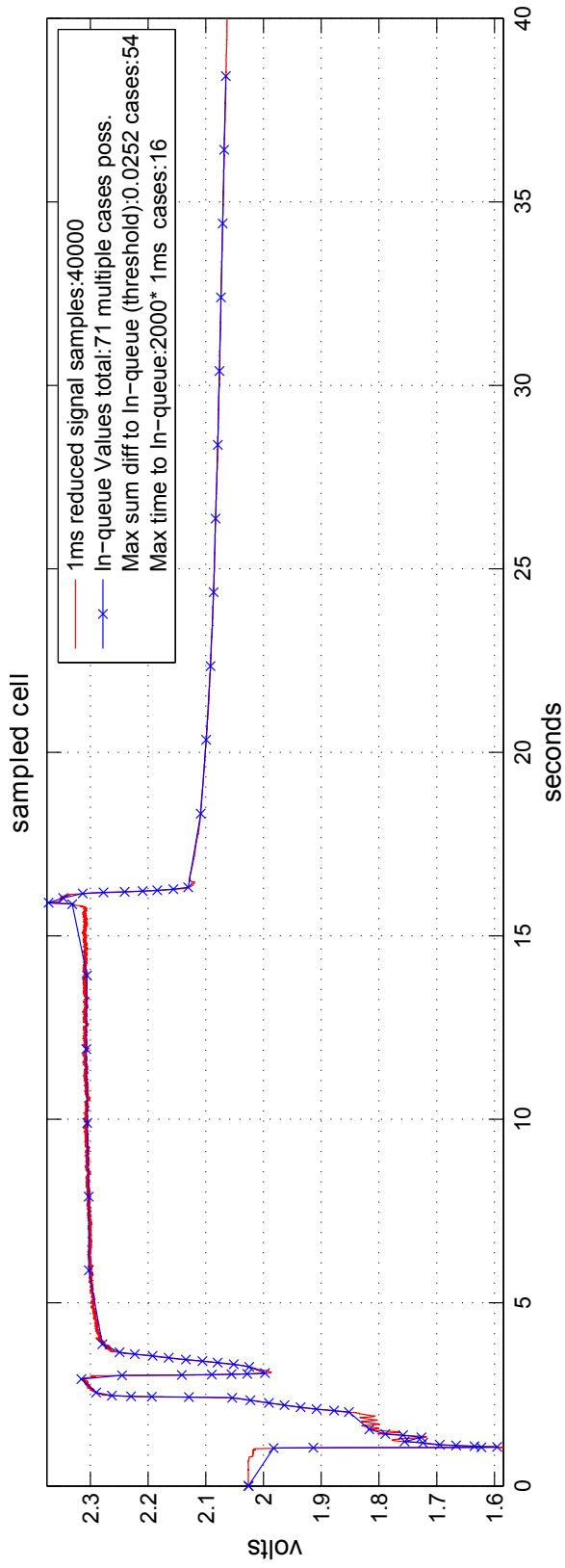


Abbildung 2.19.: Simulation des Datenpuffers im Sensor, Audi A4 40s

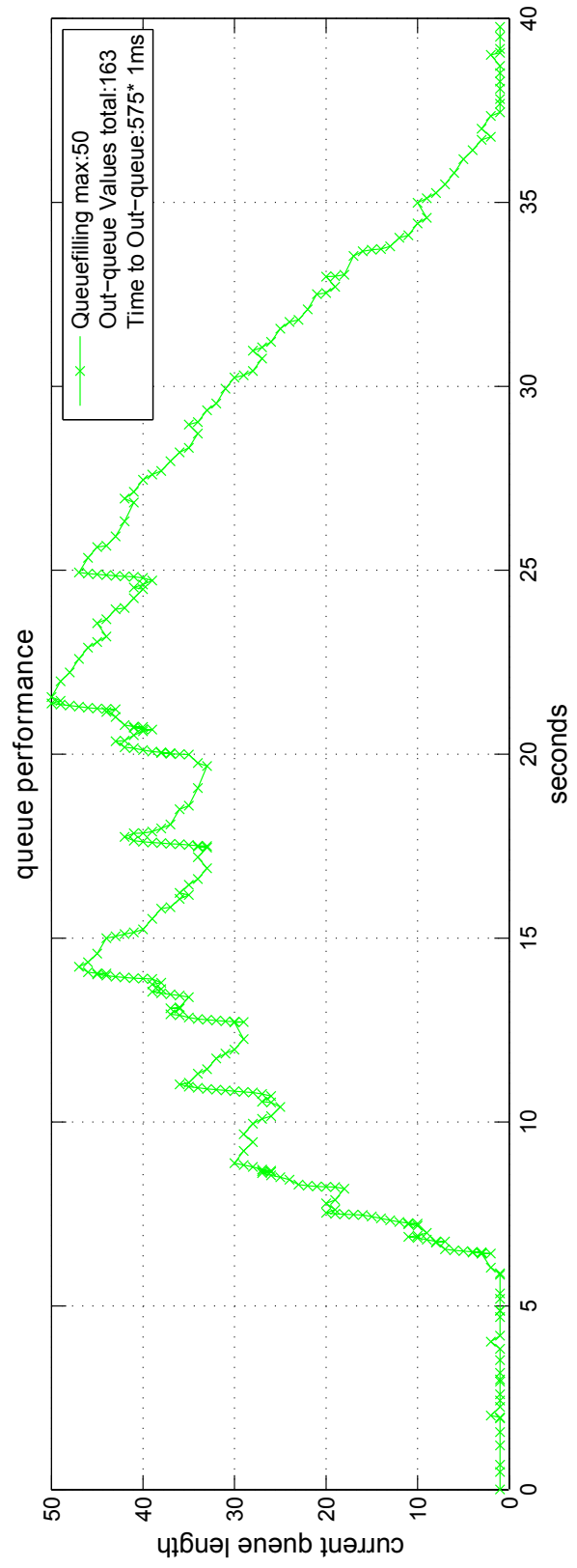
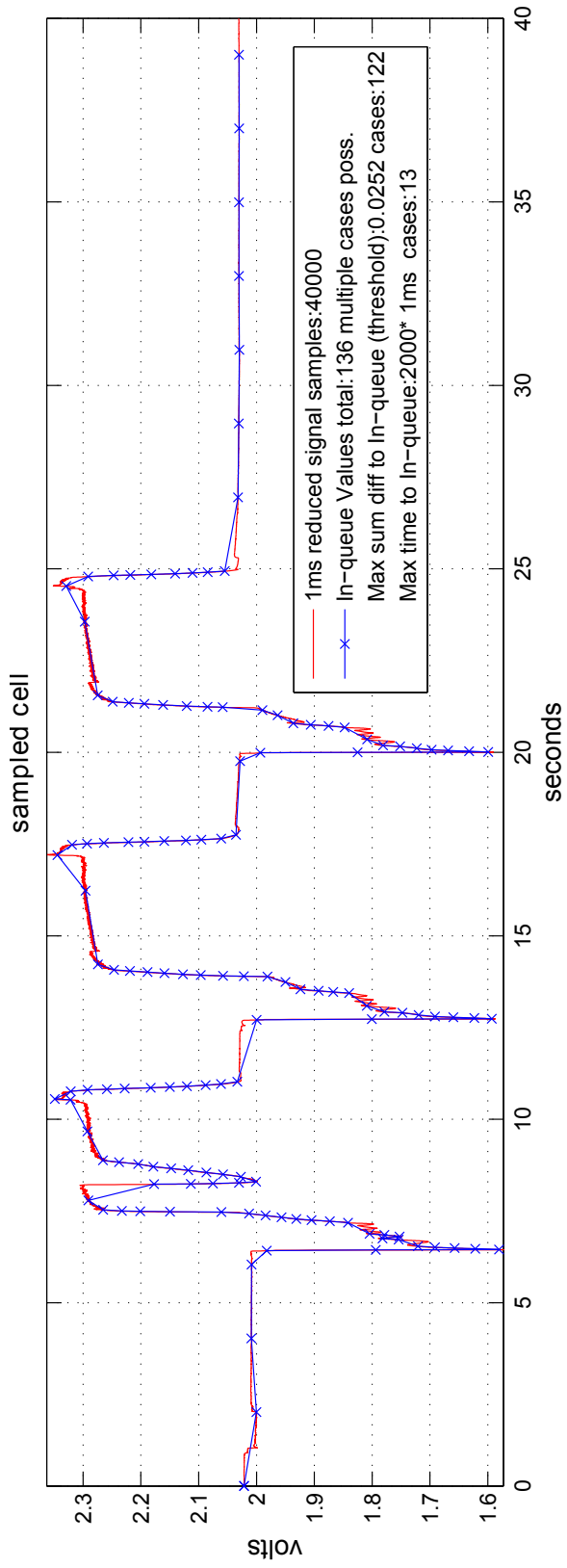


Abbildung 2.20.: Simulation des Datenpuffers im Sensor, Audi A4 3x an bzw. aus 40s

## 3. Realisierung

In diesem Kapitel werden auf Basis der in den anderen Kapiteln gewonnenen Erkenntnisse mögliche Problemlösungen in Hard- sowie Software umgesetzt. Konkret wird auf Algorithmen von Sensor und Basis, sowie auf mechanische Arbeiten an der Batterie und sonstiger Peripherie eingegangen, die im Laufe der Arbeit angefertigt wurden. Die Funktion ist anschließend im letzten Abschnitt dieses Kapitels nachgewiesen.

### 3.1. Konstruktion und Änderung verwendeter Hardwarekomponenten

In Kapitel 2 machten schon erste Untersuchungen kleinere Modifikationen der Hardware nötig. Für die durchgeführten Messungen am Fahrzeug war es notwendig entsprechendes Messequipment zu erstellen. Dazu gehört auch der Umbau der Starterbatterie selbst.

#### 3.1.1. Sensorsystem

Für die Anpassung des Sensorsystems an die Anwendung auf Starterbatterien wurden durch neue Anforderungen Änderungen an der Hardware notwendig.

##### Sensor

Der vorgegebene Zellsensor bedarf keiner großen Änderungen. Seine Funktion an sich ließ sich vollständig durch die Software bestimmen. Für die Montage auf der Starterbatterie waren verzinnte Kontaktflächen zum Anschluss der Zellspannung sinnvoll und wurden nachträglich angebracht. Als Schutz gegen austretende Säuredämpfen beim Laden der Batterie, der die Sensorplatine und deren Bauteile angreift, ist der Einsatz von Schrumpfschlauch sinnvoll. Aufgrund offener Kontaktflächen für den Zellanschluss ist jedoch nicht die gesamte Sensorplatine geschützt. Diese Methode gilt somit nur als Zwischenlösung und erfordert eine gute Abdichtung der Batterie. Für eine permanente Lösung ist die Kapselung der Sensoren notwendig.

## Datenlogger

Der Datenlogger basiert auf einem Entwicklungsboard und einer zusätzlich angefertigten Platine für den Empfängerhybrid. Im Laufe von Abschnitt 1.3.3 wurde die Notwendigkeit der Änderung der Empfindlichkeit behandelt. Der Empfänger lässt sich dabei nur durch externe Beschaltung beeinflussen. Abb. 3.1 zeigt die Beschaltung des Empfängerhybridchips für OOK.

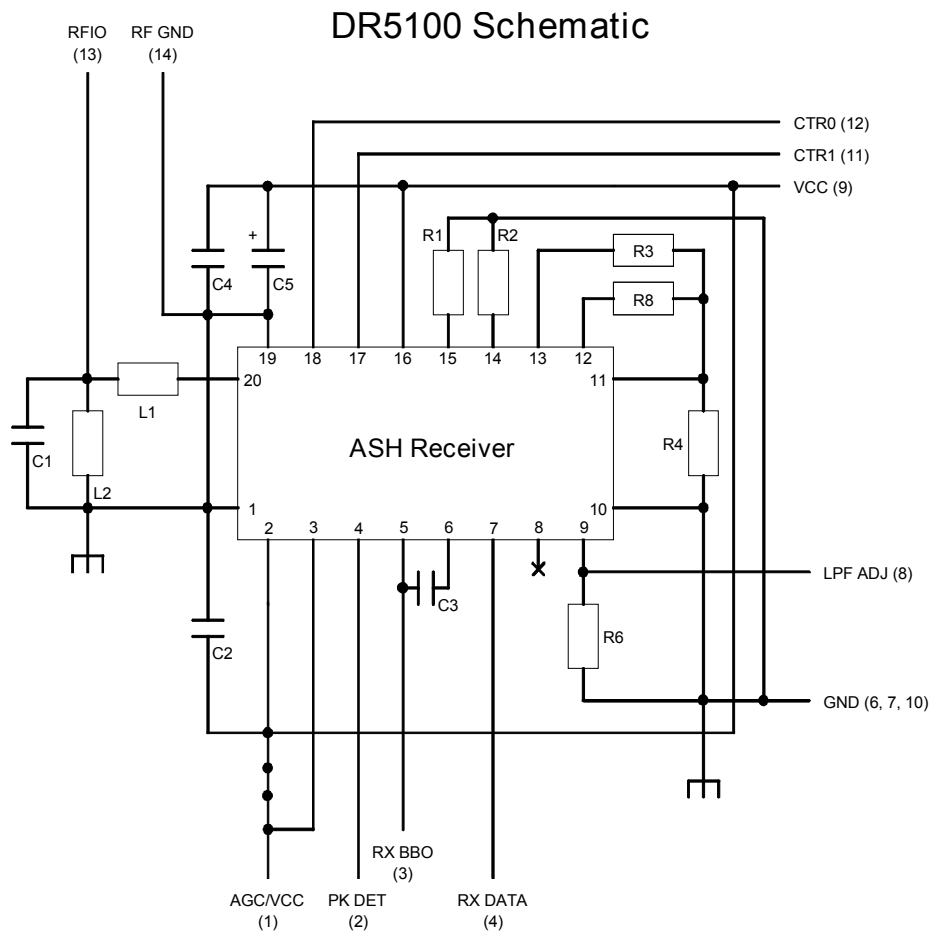


Abbildung 3.1.: Schaltplan der DR5100 Empfängerplatine

Gemäß der Betriebsart ASK sind hier 2 Entscheidungsschwellen einstellbar. Die Minimal-schwelle ist hier beim verwendeten OOK ausschlaggebend. Sie ist von der maximalen Empfindlichkeit von 0mV bis zu 90mV über einen externen Spannungsteiler einstellbar. Das Erhöhen von  $R_3$  auf 100k $\Omega$  zieht hier erst ab einer Schwellenspannung von 90mV den Datenpin auf High und entstört somit den Empfang.

Die Anpassung an die verwendete Bitrate richtet sich nach der geringsten Pulsdauer des

Sendesignals. Es ergibt sich eine Bitrate von 10 kbps. Das Empfangsmodul wurde bisher bei einer maximalen Bitrate von 2,4 kbps betrieben. Es zeigte sich die damit verbundene Verformung eines Sendepulses eine Erhöhung des Tastgrads auf bis zu 60% nach der Rekonstruktion des Digitalsignals. Dies wird wesentlich durch die Tiefpassfilterung des Basisbandsignals bestimmt. Laut Datenblatt [12] betrug die 3dB Bandbreite des Empfangstiefpass etwa 4,4 kHz. Diese lässt sich über einen zusätzlichen Widerstand parallel zu  $R_6$  einstellen. Für die Bitrate von 10 kbps erhöht hier ein Widerstand von  $100k\Omega$  die Bandbreite des Tiefpass auf etwa 18,8 kHz. Die übrigen Werte aus Abb. 3.1 sind dem Datenblatt [13] entnehmen.

### Strommessung

Weitere Änderungen des Datenloggers beziehen sich auf die Verbesserung der Strommessung. Gemäß den Ergebnissen aus Abschnitt 1.3.3 ist der Einsatz eines neuen Hall-Effekt-Sensors nötig. Der gewählte Sensor DHAB S/24 von LEM ist ein Open-Loop Hall-Effekt-Sensor für automotive Anwendungen. Er besitzt dafür zwei Messbereiche unterschiedlicher Auflösung (Tab. 3.1) und ist bereits mit einem robusten Stecker (Delphi GT500) versehen.

Parameter	Messbereich	
	1	2
Spanne in A	-75 - +75	-500 - +500
Empfindlichkeit in mV/A	26,7	4
Ausgangsspng max in V	4,76	4,76
Ausgangsspng min in V	0,24	0,24

Tabelle 3.1.: Messbereiche des DHAB S/24

Beide Messbereiche sind über jeweils einen Pin herausgeführt. Die maximale Ausgangsspannung des Sensors überschreitet dabei die Referenzspannung des ADC von 2,5V. Die nötige Vorkalibrierung der Eingangsspannung ist bisher über die Verstärkerstufe des Developmentboards realisiert. Diese Skalierung hängt zusätzlich von der Temperatur ab. Hier ist deshalb die Anbindung des Stromsensors über einen hochohmigen 1:1 Spannungsteiler realisiert. Die Änderungen am Developmentboard sind in Abb. 3.2 dargestellt. Alle entfernten Bauteile sind rot umrandet. Überbrückungen sind schwarz gekennzeichnet. Die Widerstände  $R_{17}$  und  $R_{18}$  sind durch jeweils  $10k\Omega$  ersetzt. Angebunden wird der Stromsensor über die Anschlüsse Ch1 und Ch2. Als Anschluss des Sensors an den Datenlogger wurde ein 4 poliger DIN Stecker gewählt. In Abb. 3.3 ist dies ersichtlich.

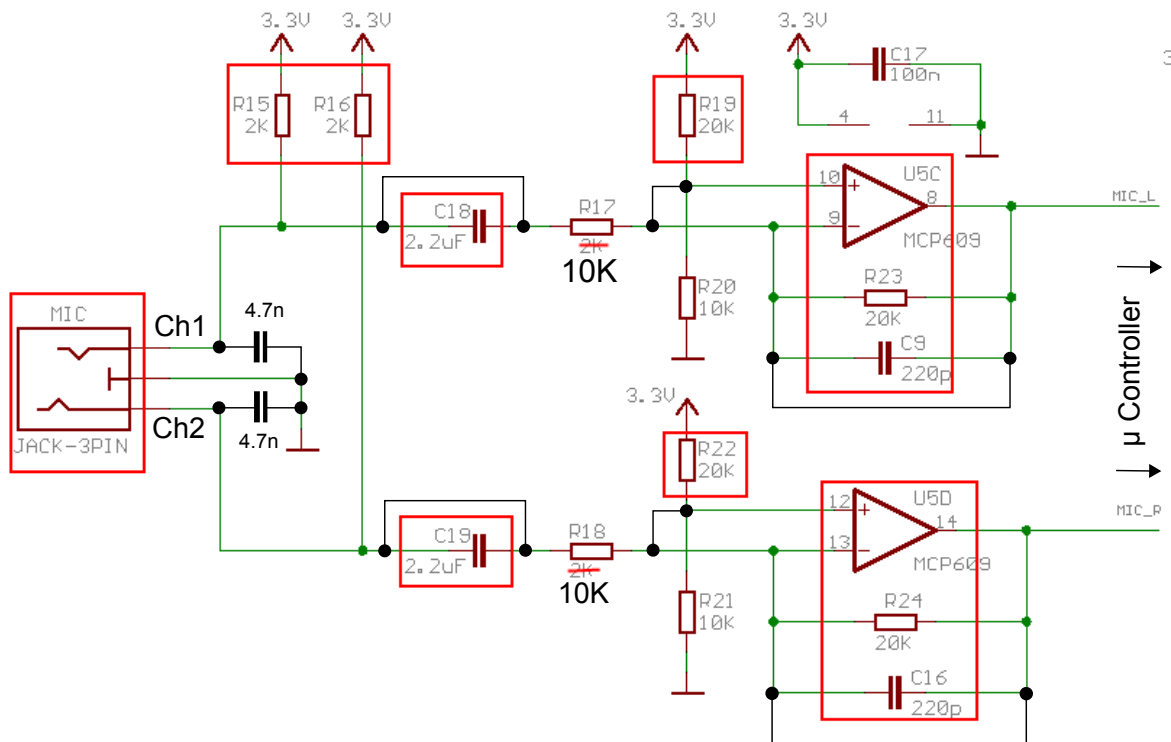


Abbildung 3.2.: Änderungen der Strommessung am Developmentboard

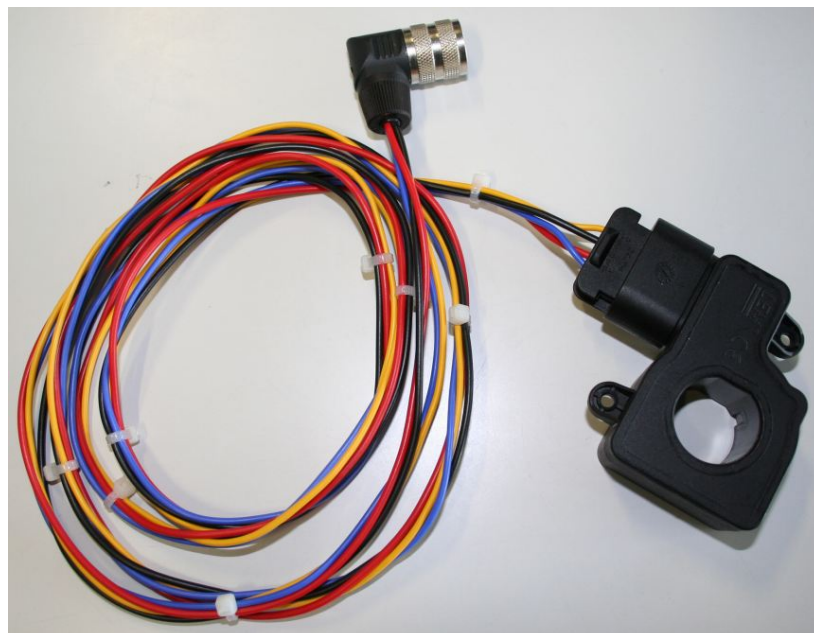


Abbildung 3.3.: Verwendeter Hall-Sensor mit Anschlusskabel

### 3.1.2. Modifikation der Starterbatterie und Konstruktion von Messaufbauten

Für den Betrieb der vorhandenen Zellsensoren an der Starterbatterie müssen die Zellschlüsse herausgeführt werden. Dies erfordert das Öffnen der Batterie. Ihren generellen Aufbau zeigte bereits Abb. 1.5b. Die beiden Plattensätze jeder Zelle sind über massive Bleischienen zellenweise vergossen. An ihnen ist die jeweilige Zellspannung zusammengeführt. Das Batteriegehäuse ist meist aus Polypropylen, einem weichen Kunststoff, gefertigt. Jede Zelle ist dabei einzeln verschweißt, sodass das Elektrolyt sich nicht ungleichmäßig über die Zellen verteilen kann. Die einzige Verbindung ist über die Zentralentgasung im Deckel der Batterie, damit stets Druckausgleich herrscht.

Für die Erprobung der Zellsensorik standen zwei Starterbatterien zur Verfügung (Tabelle 3.2).

<b>Hersteller</b>	Banner	Moll
<b>Typ</b>	588 027 064	600 038 085
<b>Nennkapazität</b>	88Ah	100Ah
<b>Kaltstartstrom (EN)</b>	640A	850A
<b>Gehäusegröße</b>	H8	H8

Tabelle 3.2.: Verwendete Starterbatterien

Die folgende Abbildung 3.4 zeigt die unbefüllte Batterie von Moll im geöffneten Zustand. Hierbei wurden die Zugänge der Zellverbinder freigelegt. Die Entgasungskanäle und Zulfüllproppen im Deckel sollen weiterhin erhalten bleiben. An den Bleischienen in jeder Zelle wurden die Verbindungen nach außen angebracht. Hierfür bietet sich Bleifahren an, die direkt verlötet werden können und beständig in Kontakt mit Batteriesäure sind. Die Anschlüsse für die Sensoren sind am negativen Pol pro Zelle je mit einem Lötstift versehen. Mit der passenden Aussparung an einer Kontaktfläche jedes Sensors kann dieser nicht falsch verpolt montiert werden und verhindert somit seine Beschädigung.

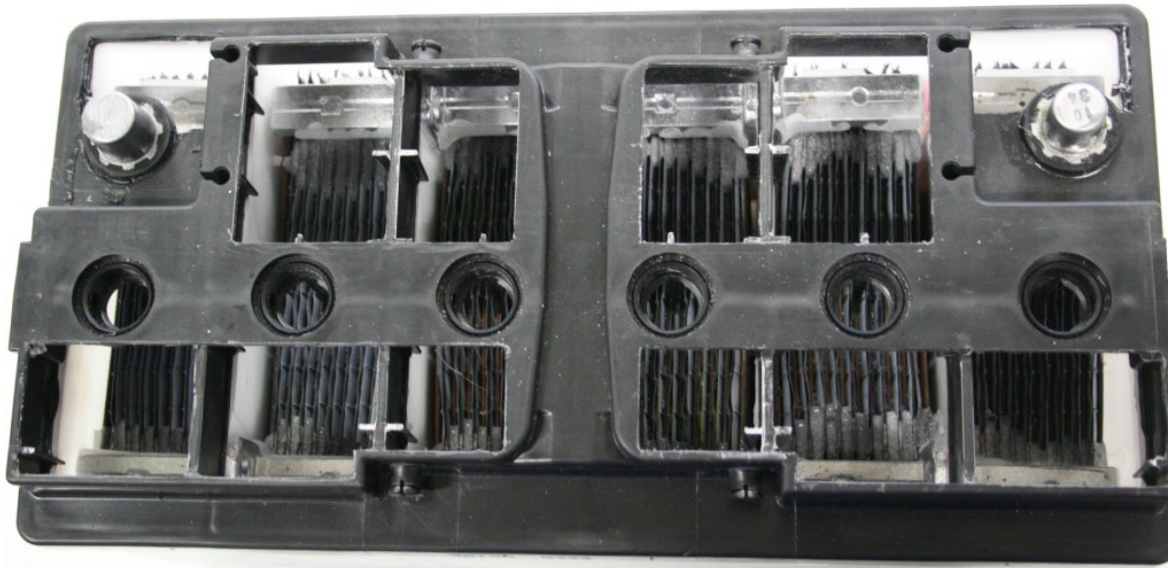


Abbildung 3.4.: Geöffnete Starterbatterie von Moll

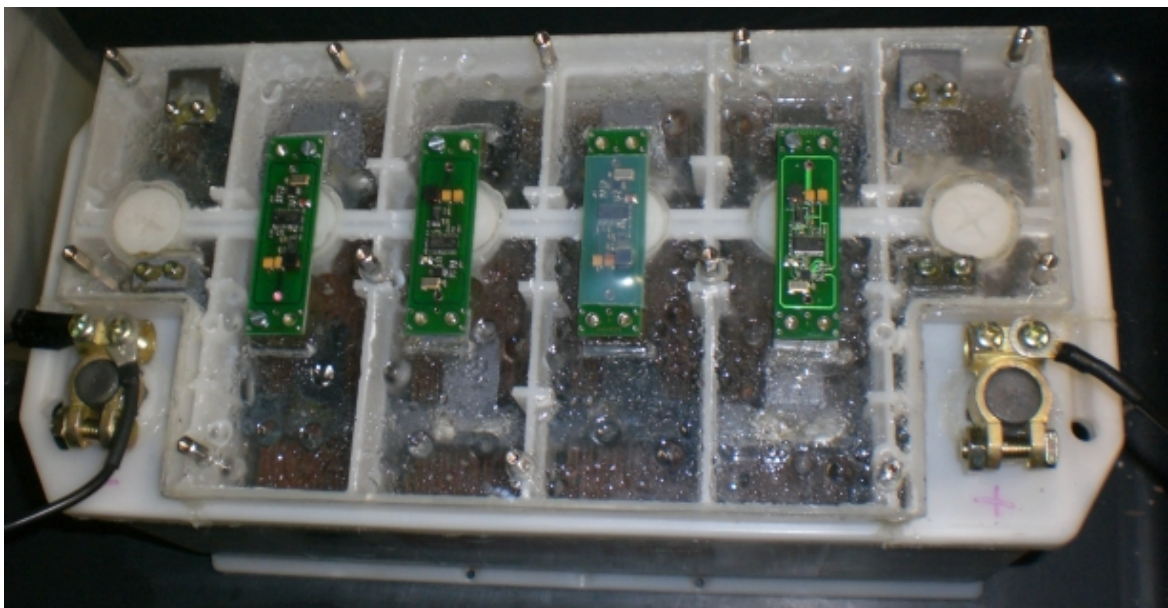


Abbildung 3.5.: Modifizierte Starterbatterie mit Zellsensoren

Die fertig modifizierte Starterbatterie von Banner ist in Abb. 3.5 dargestellt. Sie ist bereits befüllt und mit Sensoren ausgestattet. Die Batterie wurde wieder mit einem Deckel aus Plexiglas geschlossen. Die Zellanschlüsse wurden dabei durch Schlitze im Deckel herausgeführt und mit Abstandsbolzen mit dem Deckel verschraubt. Die Nähe zur Batteriesäure lässt

die verzinkten Abstandsbolzen schnell korrodieren, weswegen sie zusätzlich verlötet wurden, um den Kontakt zur Zelle sicherzustellen. Als zusätzlichen Korrosionsschutz kommt hier Polfett zum Einsatz. Auf den Abstandsbolzen lassen sich die Sensoren verschrauben. Als Dichtmittel eignet sich Heißkleber, der sich als besonders säurebeständig erwiesen hat.

Für die Anbindung der Oszilloskope bei der Hochstrommessung wurden entsprechende Adapter-Anschlüsse konstruiert (Abb. 3.6). Sie beinhalten je zwei BNC Anschlüsse<sup>1</sup>, die über  $50\Omega$  Schutzwiderstände mit der Zelle verbunden sind. Im Fall eventueller Kurzschlüsse schützen die Eingänge der Oszilloskope vor Beschädigungen (siehe Abb. 2.2). Für die beiden Zellen höherer Potentiale ist zusätzlich ein Spannungsteiler angebracht. Über die Lötstifte ist der Massenbezug anzuschließen.

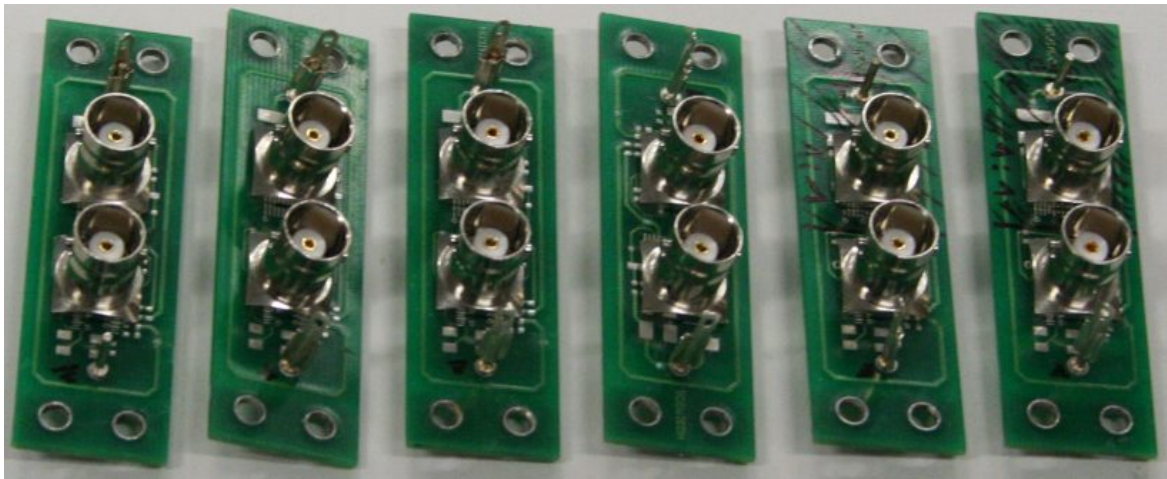


Abbildung 3.6.: Messadapter für Hochstrommessungen mit dem Oszilloskop

<sup>1</sup>Messungen mit Differenzverstärkern benötigen einen zusätzlichen Anschluss pro Zelle.

## 3.2. Verfahrensimplementation

Das in Abschnitt 2.4 vorgestellte Konzept soll hier implementiert werden und konzentriert sich dabei auf den Sensor. Für die ersten Schritte der Konzepterprobung genügt der Datenlogger vorerst als Schnittstelle zum PC und soll noch nicht die Aufgabe der weiteren Auswertung der Datenframes übernehmen. Dabei ist nur die vorhandene Software an den entsprechenden Stellen anzupassen, um die Daten an den PC weiterzureichen.

### 3.2.1. Sensor

Das in Abbildung 2.17 dargestellte Schichtenmodell zeigt bereits die im Sensor ablaufenden Instanzen. Das Kernstück des Verfahrens ist die Realisierung des Datenpuffers, im folgenden Queue genannt. In der Queue häufen sich, im Zuge der langsamen Datenrate bei der Übertragung und der schnelleren Aufnahme von Messwerten, bei Hochstromereignissen sehr schnell viele Werte an. In der Queue muss, im Sinne des Verfahrens, pro Messwert zusätzlich eine Zeitmarke abgelegt werden, um später die Zeitbasis wiederherzustellen. Der Messwert an sich benötigt zwei Byte (Summe über 10 Messwerte bei 10 Bit Auflösung). Die Größe der Zeitmarke richtet sich nach der maximalen Zeitdifferenz zwischen zwei empfangenen Frames. Läuft der Zeitstempel dort mehr als ein Mal über, entstehen Fehler bei der Rekonstruktion der Zeitbasis. Dies ist bei der hohen Framefehlerrate nicht unwahrscheinlich. Zwei Byte für den Zeitstempel sind daher angebracht. Pro Messung sind also 4 Byte Speicher nötig. Der auf dem Sensor eingesetzte MSP430x1232 stellt 256 Byte RAM zur Verfügung. Die Größe der Queue ist folglich, je nach Auslastung des Stack, stark begrenzt. Die tatsächliche, maximale Größe des Stack lässt sich schlecht genau schätzen und hängt vom weiteren Programmverlauf ab. Es ist sinnvoll in diesem Zusammenhang Operationen, die den Stack unnötig auslasten, möglichst zu vermeiden. Dazu gehören u.a. viele Funktionsaufrufe und komplexe, mathematische Operationen.

Der Ablauf der Sensorsoftware teilt sich in 2 Zustände auf:

- Messwertaufnahme
- Messwertübertragung

Beide Zustände sind als zeitkritisch zu betrachten und finden daher in der Interrupt Service Routine des Timers statt. Die Messwertübertragung ist an die feste Bitdauer eines Halbbits (Manchester-Codierung) von  $100\mu s$  geknüpft. Das Timing der Messwertaufnahme ist dadurch über entsprechende Zählvariablen einstellbar. 10 Aktivierungen des Interrupt-Handlers ergeben demnach das Abtastintervall von 1ms.

In Abb. 3.7 ist der genaue Ablauf der Messwertaufnahme dargestellt. Um Zeit im Interrupt zu sparen, wird der ADC Wert erst im nächsten Aufruf abgeholt.

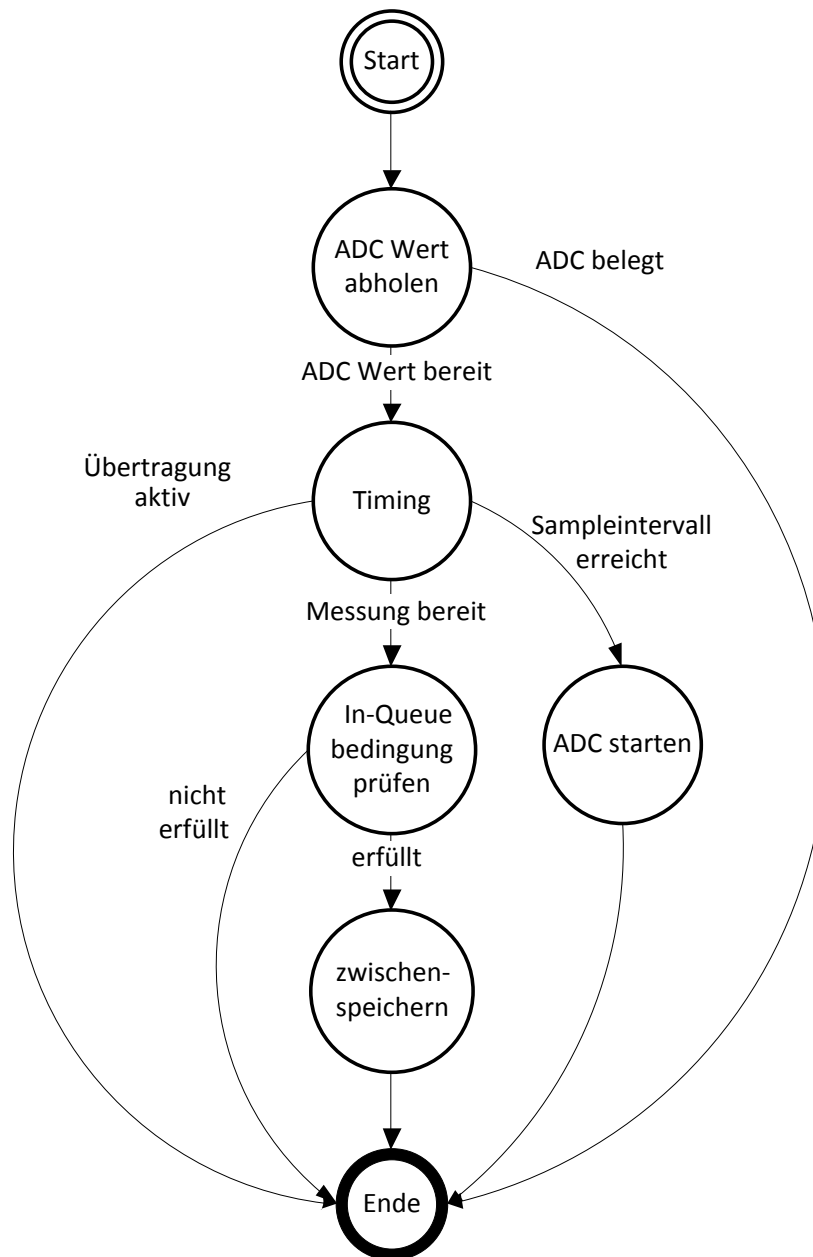


Abbildung 3.7.: Flussdiagramm der Messwertaufnahme

Wie bereits in Abschnitt 2.2.1 gezeigt, ist die Aufnahme eines Messwerts während eines Sendevorgangs nicht möglich. Zu hoch ist in diesem Fall der Energieverbrauch des Transmitters, der sich ohne den Step-Up-Konverter nicht decken lässt. Die übergangsweise Versorgung über einen Kondensator reicht in dieser Zeit nicht aus. In jedem Fall muss dennoch das Generieren der Zeitstempel gewährleistet sein.

Ist das bestimmte Messintervall abgelaufen und die Summe über 10 Messwerte gebildet,

werden die Bedingungen zum Weiterleiten in die Queue geprüft. Treffen die Bedingungen nicht zu, wird das Messintervall verworfen.

Die Queue basiert auf einem Ringspeicher (Abb. 3.8). Auf dem Ring werden durch zwei Indizes Abgänge und Zugänge des Speichers koordiniert. Der linksseitige Abstand von Schreib- zu Leseindex stellt den aktuellen Speicherverbrauch dar. Der Speicher läuft dann über, wenn der rechtsseitige Abstand null ist bzw. der linksseitige Abstand den maximalen Speicherplatz einnimmt. Es wird erst dann wieder ein Platz im Speicher frei, wenn ein Element in den Sendepuffer geladen wird. Andernfalls muss der jeweilige Zugang verworfen werden. Das Entleeren der Queue wird durch den Übertragungsteil bestimmt (Abb. 3.9).

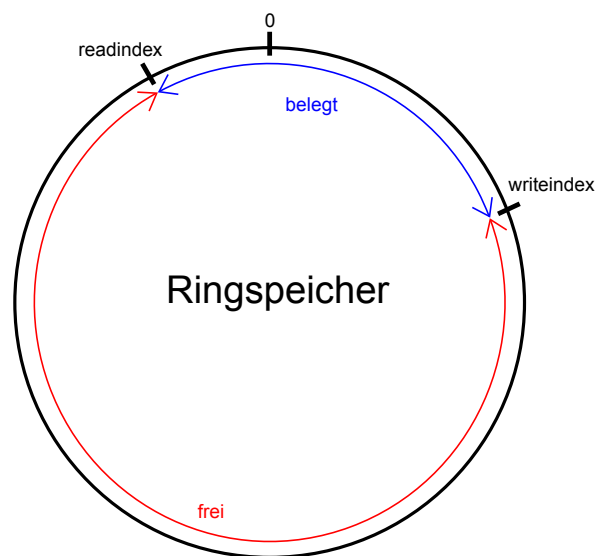


Abbildung 3.8.: Darstellung der Queue als Ringspeicher

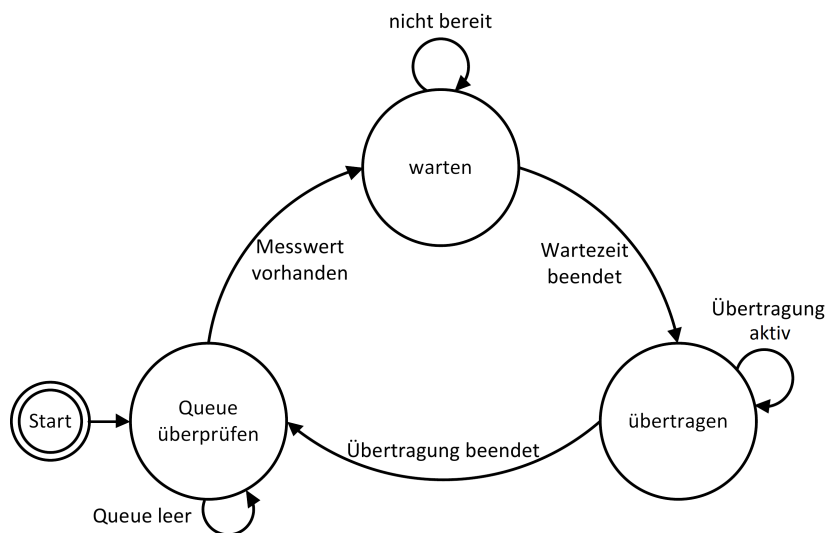


Abbildung 3.9.: Zustandsdiagramme des Übertragungsteils

Der Übertragungsteil enthält wiederum Unterzustände:

**Queue überprüfen** Dieser Zustand stellt sich solange ein, wie die Queue leer ist bzw. kein Messwert in den Speicher aufgenommen wurde. Vor dem Verlassen des Zustands wird der jeweilige Speicherinhalt in den Sendepuffer geladen und eine zufällige Wartezeit für den nächsten Zustand generiert. Die Wartezeit ist ein Vielfaches des periodisch ausgelösten Interrupt-Handlers des Timers und wird durch ein Zufallszahlengenerator gebildet.

**warten** Der Wartezustand ist Teil des Übertragungsverfahrens und besteht bis die jeweilige Wartezeit abgelaufen ist.

**übertragen** Das Übertragen der eigentlichen Information über die Messwerte nach dem in Abb. 1.3.2 dargestellten Protokoll geschieht in diesem Zustand.

Die dargestellten Programmverläufe müssen alle innerhalb des Timer-Interrupt ablaufen. Bei dem bisher verwendeten Takt von 2 MHz zeigen sich bereits Auswirkungen auf das Sendesignal. Die Pulsbreiten des Sendesignals variieren bei 2 MHz schon mit dem unterschiedlichen Rechenaufwand, der während der Timer-ISR auftritt. Abhilfe schafft hier nur die Erhöhung des Taktes auf 3 MHz.

Zu Testzwecken fügt der Sendeteil dem zu sendenden Datenframe zusätzliche Informationen zu. Interessant ist die aktuelle Auslastung der Queue und der jeweilige Framestatus. Demnach kann ein Datenframe entweder einen aktuellen oder älteren Messwert enthalten, der aus dem Zwischenspeicher geladen wird, enthalten. Aktuelle Messwerte und Werte aus dem Zwischenspeicher werden demnach mit einem „Livebit“ gekennzeichnet. Im Fall eines einzigen Bits ist noch genügend Platz im Protokoll vorhanden. Alle anderen Informationen

finden zu Lasten der Messwerte von Temperatur und Betriebsspannung Platz. Beide Werte sind eher als zeit-unkritisch zu betrachten und spielen im Moment keine große Rolle. Tabelle 3.3 enthält noch den die zufällig generierte Wartezeit. Hiermit ist es möglich, den tatsächlichen Messzeitpunkt von direkt gesendeten Frames zu bestimmen. Dies ist später eventuell interessant, um die Messwerte noch genauer zu synchronisieren, soll aber im Moment nicht weiter behandelt werden. Der komplette Quelltext ist im Anhang A.1 zu finden.

Livebit+sonstige	Jitter	Adresse	Zellspng	Timelabel	Queue	CRC
8Bit	16Bit	8 Bit	16 Bit	16 Bit	16Bit	8Bit

Tabelle 3.3.: Änderung des Übertragungsprotokoll für das neue Übertragungsverfahren (ohne RunIn und SOF)

### 3.2.2. Datenlogger

Die Änderung der Software des Datenloggers beschränkt sich im Wesentlichen auf Optimierungen bezüglich des Zeitverhaltens und des Anpassens der Strommessung auf zwei Messbereiche. Im Verlauf dieser Arbeit wurden einige Funktionen aus den Arbeiten A. Hoops [5] und S. Plaschke [10] modifiziert oder gänzlich entfernt. Dazu gehören:

- Temperaturkalibrierung
- Datenspeicherung der Messwerte pro Minute
- Datenübertragung der Messwerte aus dem Flash-Speicher über die serielle Schnittstelle
- Entprellen der Taster zur Steuerung des Datenloggers
- Darstellung der Strommessung in A/min

Die entsprechenden Änderungen sind im Quelltext unter Anhang A.2 vermerkt.

### Strommessung

Die Strommessung mit dem Hall-Effekt-Sensor DHAB/S24 erfordert zwei Messbereiche (vgl. Tab. 3.1). Der auf dem Datenlogger eingesetzte MSP430F169 stellt dazu für die Messwertaufnahme einen 12Bit ADC zur Verfügung. Die Umwandlung der Sensorausgänge erfolgt periodisch mit dem ADC-eigenen Taktgeber von etwa 5MHz. Durch den entsprechend gewählten Taktteiler ist die Aufnahme von Messwerten alle 1,03 ms möglich. Die Umwandlung der ADC-Eingänge geschieht parallel im repeated sequenced mode des ADCs und endet

mit dem Auslösen des ADC Interrupt-Handlers. In seiner ISR muss über die Wahl des Messbereichs entschieden werden.

Die Wahl des Messbereichs wird anhand des empfindlicheren Messbereichs 1 bestimmt. Wird dieser Messbereich überschritten, ist der Messbereich 2 zu benutzen. Um Rechenzeit in der ISR zu sparen, wurden die entsprechenden ADC Werte bereits umgerechnet. Tab 3.4 zeigt die berechneten Umschaltsschwellen der Messbereiche:

max. Sensor Ausgang	ADC Wert <sup>2</sup>	Stromwert
4,369V	3578	+70
0,631V	517	-70

Tabelle 3.4.: Umrechnung der Schwellwerte zur Wahl des Messbereichs

Zur Vermeidung von Schwankungen zwischen den Messbereichen an dient eine entsprechende Schalthysterese über etwa 500mA.

Erst nach der Wahl des Messbereichs wird der Messwert entsprechend skaliert. Die Erfassung des Stroms sieht zusätzlich den Abgleich des Nullwertes vor und beinhaltet demnach neben der normalen Messwertaufnahme einen Tariermodus. Zu diesem Zweck wird über 20 Messwerte gemittelt. Auf Basis dieses Nullwertes kann der tatsächliche Strom berechnet werden.

### 3.3. Erprobung

Das behandelte Konzept des Zwischenpufferns von Messwerten zur Angleichung der Messrate an die Datenrate wurde im letzten Abschnitt 3.2 implementiert. Die Simulation des Zwischenspeichers half bei der Parameter-Findung für die In-Queue-Bedingungen und die dazu nötige Größe des Speichers. Im Folgenden sollen die aufgezeigten Schritte direkt am Sensor erprobt werden. Bevor das System am Automobil betrieben wird, ist die vorherige Überprüfung auf Funktionalität im Labor sinnvoll.

#### 3.3.1. Laborbetrieb

Der praktische Betrieb des Konzepts am Sensor ist zuvor unter Laborbedingungen zu prüfen. Das Verhalten des Sensors gibt so Aufschluss über eventuelle Programmfehler und ist besonders für die Überprüfung der Parameter für den Zwischenspeicher wichtig, um einen Stack-Überlauf zu vermeiden.

<sup>2</sup>errechnet nach  $A_{ADC} = V_{out} \frac{4095}{2 \cdot 2,5V}$

Der Laborbetrieb des Systems setzt wieder auf die aufgenommenen Startvorgänge auf. Diese können durch einen arbiträren Signalgenerator beliebig ausgegeben werden. Zum Treiben der Sensoren wird zusätzlich ein Leistungsverstärker benötigt. Das Einbeziehen der Fehlerrate in die Ergebnisse wird durch das Parallelschalten der Sensoren erreicht. Abb. 3.10 zeigt schematisch den Aufbau der Laborerprobung.

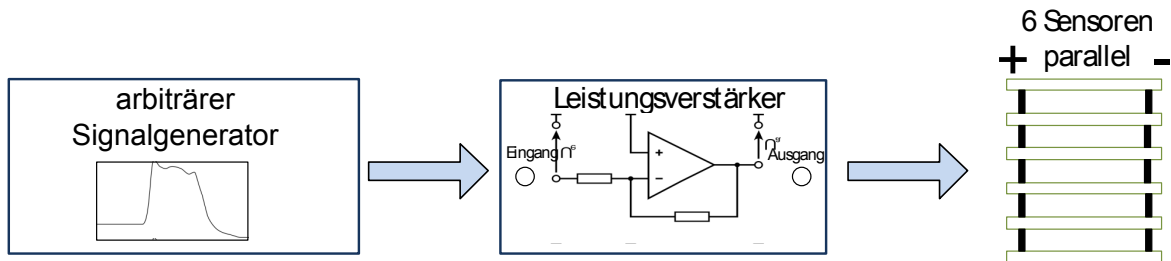


Abbildung 3.10.: Schematischer Aufbau bei der Laborerprobung

Die Aufnahme der Startvorgänge konnte mit hoher, zeitlicher Auflösung durchgeführt werden. Dem Signalgenerator ist es jedoch nur möglich bis zu etwa 130.000 Werte aufzunehmen. Dies erfordert das entsprechende Dezimieren der Messdaten. Das Signal wird dadurch störungsfreier und gilt somit nicht als vollwertiger Ersatz zu einer Erprobung am Kfz.

Abb.fig:messqueueperf zeigt die gemessene Auslastung des Zwischenspeichers im Sensor. Es zeigt sich sehr die Ähnlichkeit im Vergleich zu der Simulation in Abb. 2.19 und bestätigt die erfolgreiche Implementierung des Konzepts aus Abschnitt 1.10. Das Ergebnis ist noch nicht als ideal zu betrachten. Die Messung durch den Sensor zeigt bei genauerer Betrachtung zu Beginn einen geringen Spannungsfehler. Das Signal wurde hierbei der tatsächlichen Spannung durch einen Offset angenähert und durch Verschieben auf der Zeitachse am tatsächlichen Verlauf ausgerichtet. Der tiefste Spannungseinbruch der Sensormesswerte diente dabei als Bezugspunkt. Die genauere Messung, erfordert die noch nicht implementierte Kalibration der Spannungsmessung. Ebenso ist beim Betrieb mehrerer Sensoren der Datenverlust durch Übertragungsfehler immer noch zu erwarten. Treten solche Fehler bei steileren Signalverläufen auf, entstehen große Abweichungen zum tatsächlichen Zellsignal. Solch einen Fall zeigt Abb. 3.12. Bei 6 verwendeten Sensoren fallen hier deutlich fehlende Messwerte auf.

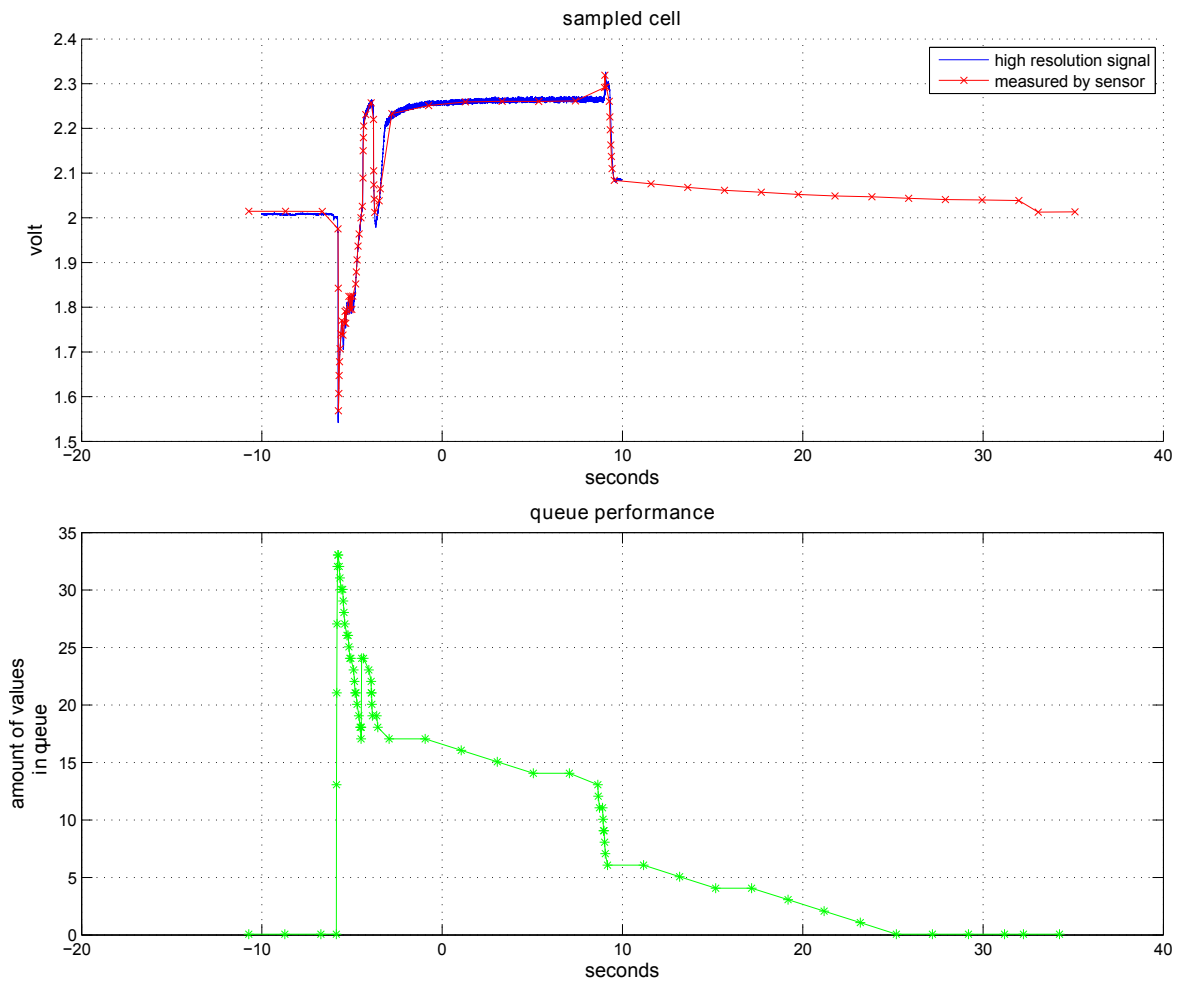


Abbildung 3.11.: Gemessenes Zeitverhalten der Zwischenspeichers

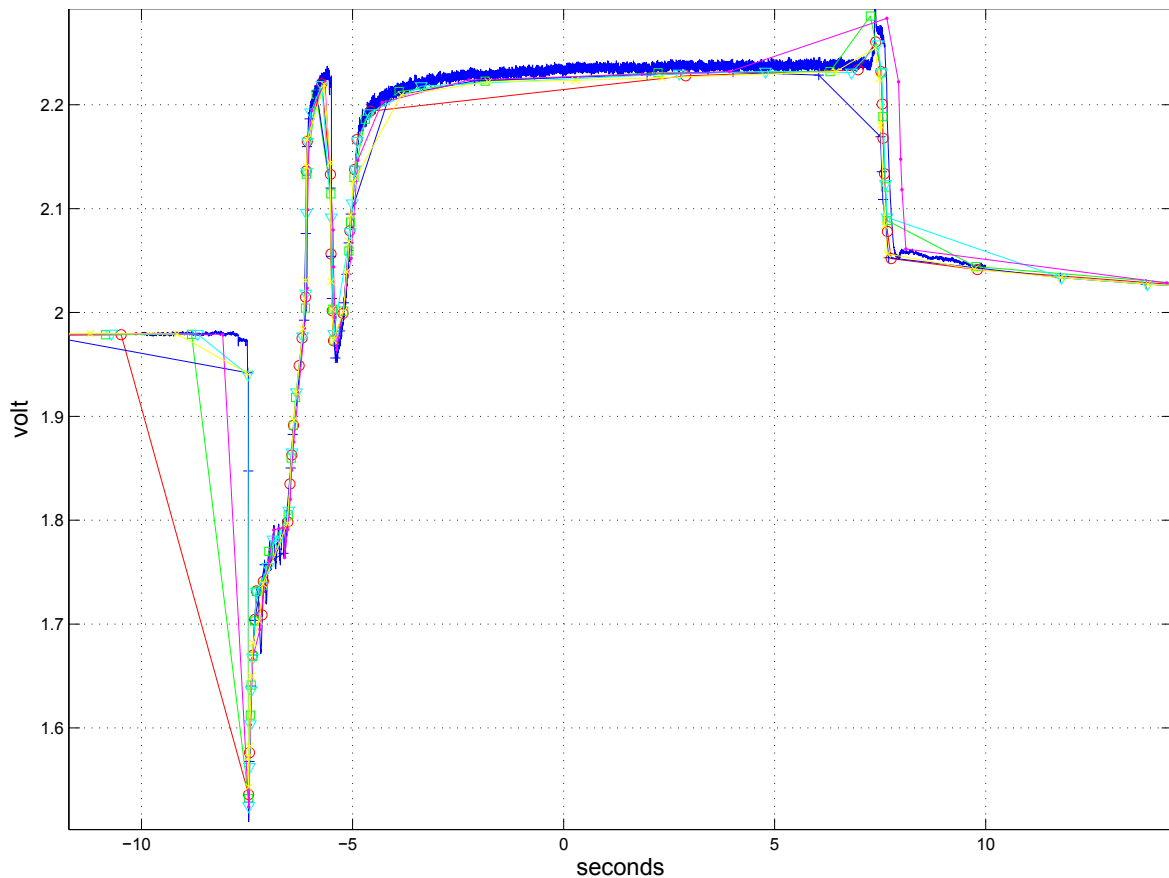


Abbildung 3.12.: Erprobung am Signalgenerator mit 6 Sensoren parallel

### 3.3.2. Betrieb am Kfz

Die Erprobung am Kfz bietet im Gegensatz zur Laborerprobung mit arbiträrem Signalgenerator viel realitätsnähere Bedingungen. Das Zellsignal enthält wieder alle Störungen und Schmutzeffekte. Jeder Sensor wird zudem an einer unterschiedlichen Zellspannung betrieben. Dies zeigt, inwiefern die Messdaten der Sensoren auseinander laufen können.

Zum Vergleich der Signaltreue der mit den Sensoren aufgenommenen Signalverläufe bietet sich wieder die Parallelmessung mit den Oszilloskopen an. Zu diesem Zweck wird der gleiche Aufbau wie aus Abschnitt 2.1.2 benutzt. Die verwendeten Messadapter lassen sich hierbei über Abstandsbolzen parallel zu den Sensoren auf der Starterbatterie anbringen. Zum Empfang der Sensordaten dient der Datenlogger. Die Messwerte werden in diesem Fall direkt über die serielle Schnittstelle an den PC weitergereicht. Start- und Messvorgang der Sensoren lassen sich bei der Durchführung nicht miteinander synchronisieren. Der Start des Datenempfangs durch den PC wird per Hand abgepasst. Es entsteht somit ein fester Zeitversatz beider Messungen. Die Sensordaten müssen später den Daten der Oszilloskope

angeglichen werden. Abbildung 3.13 zeigt ein Bild des Messaufbaus in der Fahrzeughalle der Hochschule für Angewandte Wissenschaften Hamburg.



Abbildung 3.13.: Praktischer Aufbau der Erprobung in der Fahrzeughalle

Die Messergebnisse 3.14 - 3.17 sind die Ergebnisse der Erprobung. Sie zeigen jeweils die Messwerte der 6 Sensoren und aus Gründen der Übersichtlichkeit nur Zelle 1, gemessen mit dem Oszilloskop. Sensor und Oszilloskop-Messung wurden wieder anhand des minimalen Sensormesswertes ausgerichtet. Erprobt wurde das System am Audi A4 und am VW Passat.

Abb. 3.14 zeigt die Messungen am Audi A4 über 20s. Die Sensor-Werte steigen am Ende der Oszilloskop-Werte, nach 20s, leicht an, bevor sie schlagartig abfallen. In diesem Fall liefen die Sensoren etwas länger und erfassten zusätzlich den Überschwinger beim Abschalten des Motors. Generell ist eine geringe Abweichung der Messgenauigkeit zu erkennen. Gerade Sensor 3 zeigt deutliche Abweichungen zum Oszilloskop. Hier sei nochmals zu erwähnen, dass zum Vergleich nur Zelle 1 dargestellt wurde. Die Zellspannungen sind generell unterschiedlich, sodass der Fehler bei Zelle 3 im Vergleich nicht zu schwerwiegend eingeschätzt werden sollte. Bei den verwendeten wurde bisher jedoch noch keine Kalibrierung der Spannungsmessung durchgeführt, weswegen kleinere Abweichungen nicht überraschen. Die Entscheidung über ein Hochstromereignis wird stets im Vergleich zum zuletzt in die

Queue aufgenommenen Wert gefällt. Dies hat zur Folge, dass steile Flanken im Zellsignal bei weit auseinanderliegenden Queue-Werten größere Fehler in der Signaltreue verursachen. Hinzu kommt noch die Verschlechterung durch Übertragungsfehler in diesem Moment. Abb. 3.15 zeigt dazu den Startzeitpunkt in hineingezoomter Ansicht. Es fällt hier auf, dass die Messwerte der Sensoren nicht exakt auf das tatsächliche Zellsignal ausgerichtet wurden. Die Zeitbasis der Messung weicht zum Teil noch sehr vom ideal ab. Die Rekonstruktion der Messintervalle nach der Zwischenspeicherung in der Queue ist mit dem Taktfehler des Sensors behaftet, der sich über die Zeit durch die verwendeten Zeitstempel aufaddiert. Der interne DCO des Sensors schwankt über die Zeit z.T. um etwa 2-3% und hängt von Temperatur und Versorgungsspannung ab. Dies fällt besonders bei Abb. 3.16 auf. Der Verlauf der Sensor-Messwerte fällt hier nach dem Abschalten des Motors etwas später ab. Der Fehler bleibt dabei jedoch im Bereich von Millisekunden. Abb. 3.17 zeigt besonders den Fall von hohen Übertragungsverlusten, da hier über eine größere Zeitspanne die Zellsignale stark schwanken. In diesem Fall wurde der VW Passat innerhalb von 40 Sekunden dreimal gestartet. Auf die kurzen Ladephasen zwischen den Starts entfallen zu wenig Messwerte, sodass größere Teile des Integrals verloren gehen.

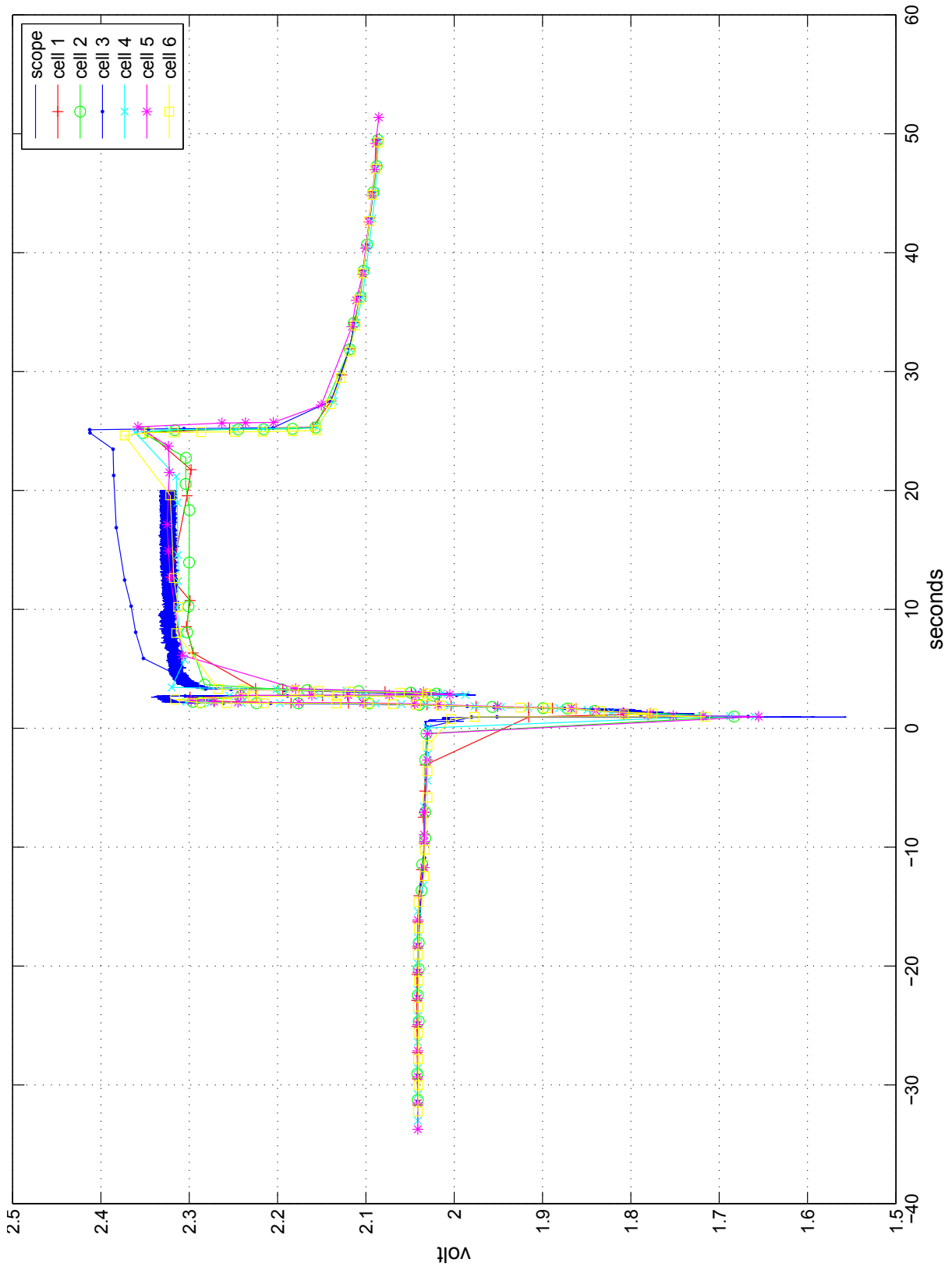


Abbildung 3.14.: Sensormessdaten beim Startvorgang im Vergleich, Audi A4 über 20s

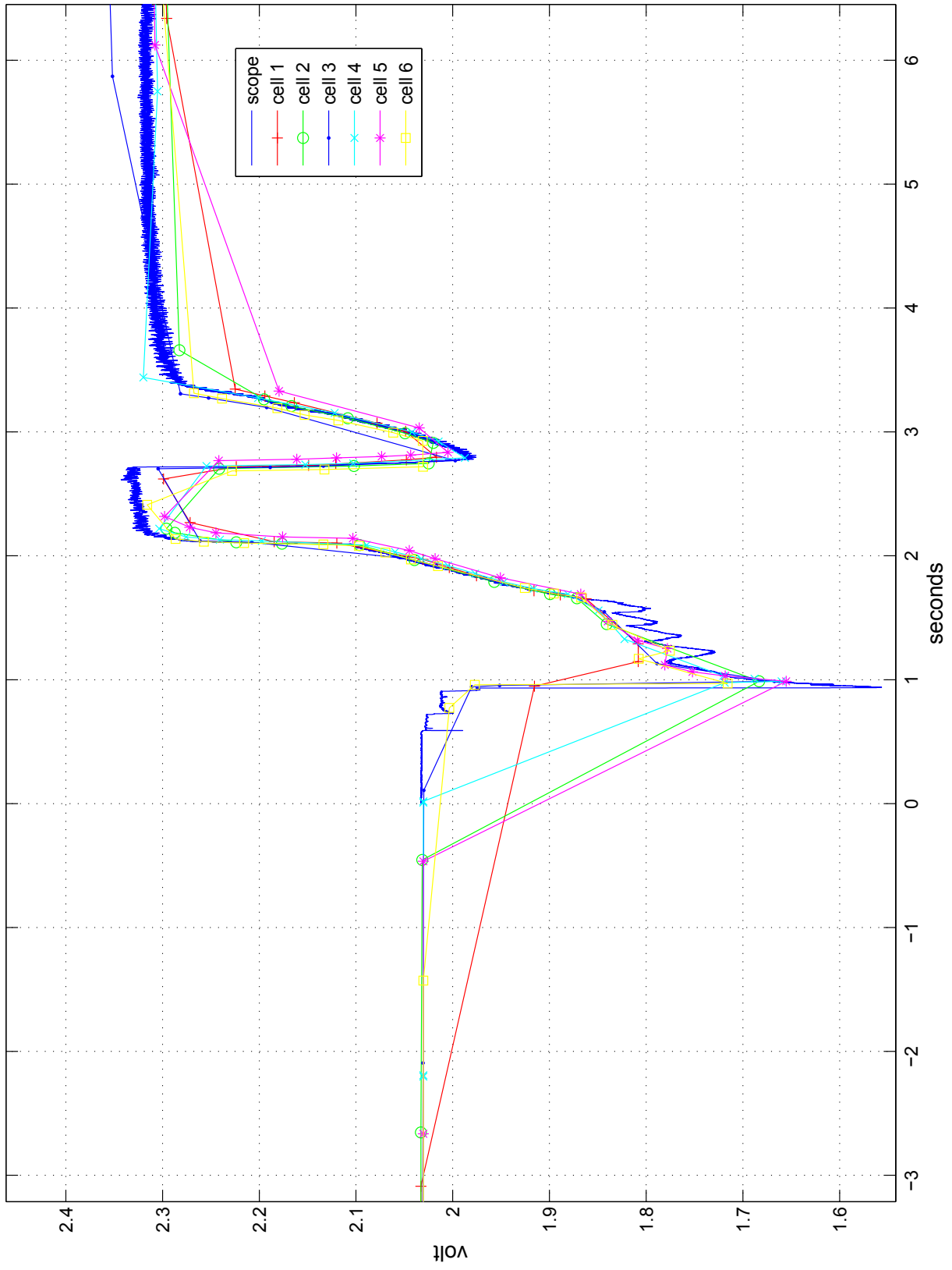


Abbildung 3.15.: Sensormessdaten beim Startvorgang im Vergleich, Audi A4 über 20s, gezoomt

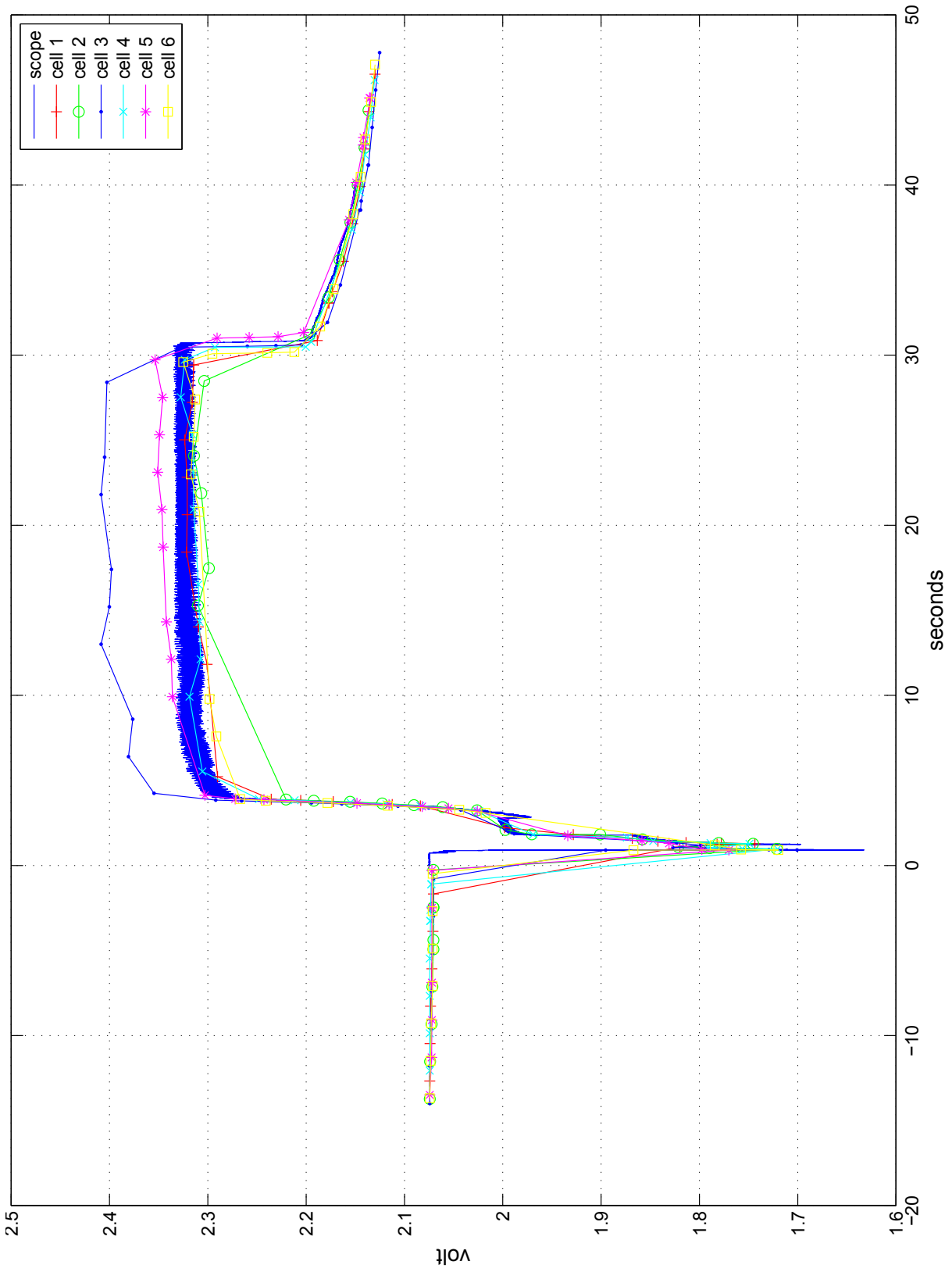


Abbildung 3.16.: Sensormessdaten beim Startvorgang im Vergleich, VW Passat über 40s

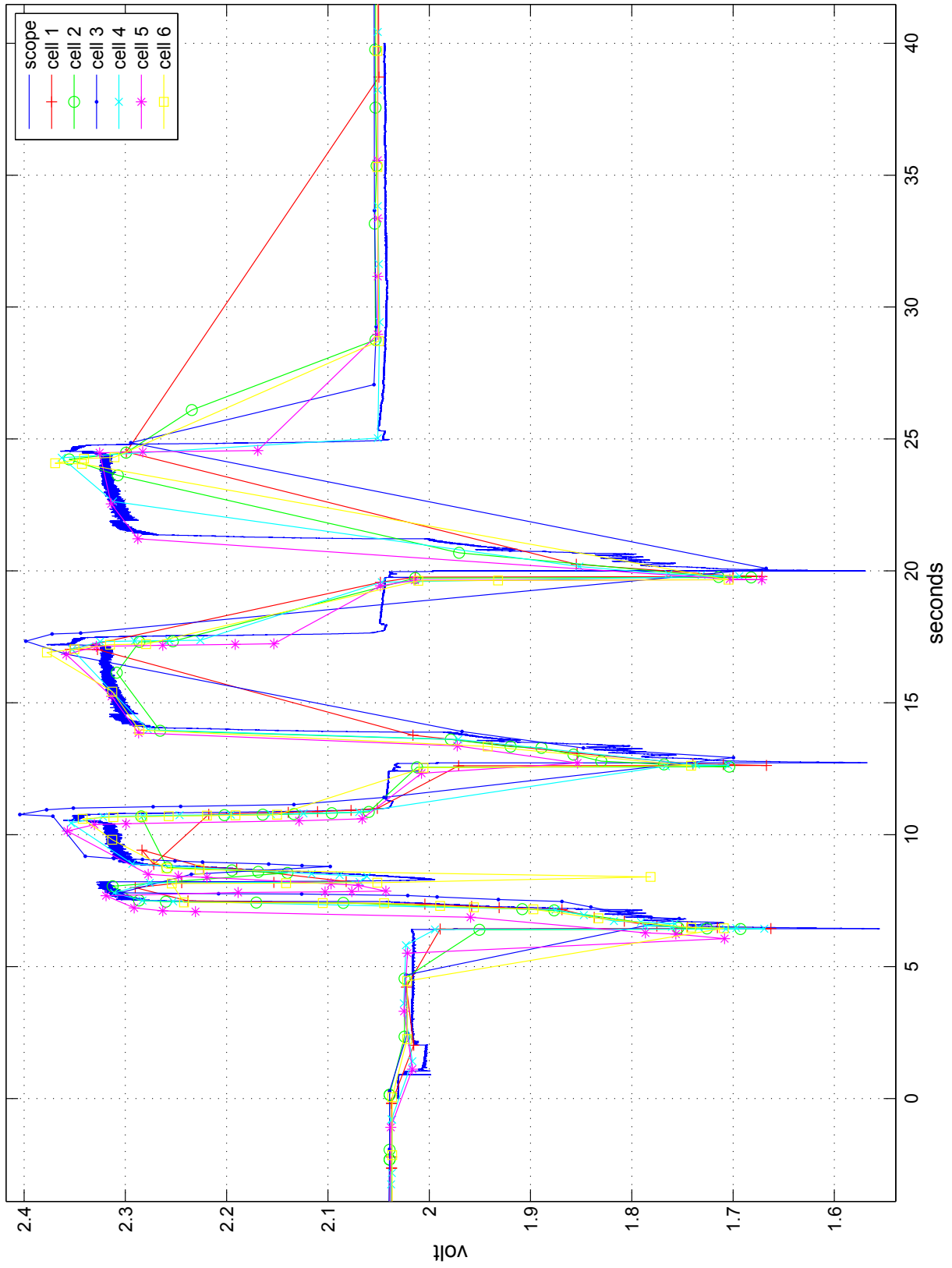


Abbildung 3.17.: Sensormessdaten beim Startvorgang im Vergleich, Audi A4 über 40s, 3-fach-Start

## 4. Auswertung und Fazit

Zum Abschluss dieser Arbeit sollen in diesem Kapitel, nach einer kurzen Zusammenfassung, erzielte Ergebnisse ausgewertet und im Gesamtüberblick dargestellt werden. Zuletzt wird daraus das Fazit abgeleitet.

### 4.1. Zusammenfassung

Am Anfang der vorliegenden Diplomarbeit stand ein drahtloses Sensorsystem, das im Rahmen vorangegangener Diplomarbeiten weiterentwickelt wurde. Das System zeigte bei der Anwendung auf Traktionsbatterien für Gabelstapler bereits seine Funktionalität. Umstand dieser Diplomarbeit war es, die Ausweitung der Anwendung auf Starterbatterien im Automotive-Bereich zu untersuchen. Das übernommene Sensorsystem sollte diesbezüglich entsprechend angepasst und erprobt werden.

Am Anfang der Untersuchungen stellte sich zunächst die Frage an die Geschwindigkeit der Datenübertragung. Um eine Aussage über die genauen, zeitlichen Anforderungen der Sensorik beim Starten von Kfz-Motoren zu erhalten war es wichtig, eine genaue Referenz zu erlangen. Zu diesem Zweck bot sich die hoch aufgelöste Aufnahme jeder Zellspannungen mittels Oszilloskopen an. Das praktische Messen an der Starterbatterie erforderte die Konstruktion entsprechender Messaufbauten und das Modifizieren der Batterie selbst. Um den Abgriff einzelner Zellspannungen zu ermöglichen, musste dazu die Batterie geöffnet werden. Nach dem Anbringen von Kontaktfahnen an jeder Zelle, ließ sich die Batterie anschließend mit einer eigens konstruierten Deckelplatte wieder verschließen, um das Austreten von Säure zu verhindern.

Die Ergebnisse der Batteriemessung ergaben in etwa eine Startzeit von 0,8 - 1,2s auf Basis von 3 verschiedenen Automobilen. Der Spannungsverlauf zeigte zudem das zu erwartende Störverhalten während und nach dem Start des Motors, wonach der Sensor entsprechend auszulegen war. Auf Basis der Zellmessungen konnten dann entsprechende Anforderungen an die Datenrate gestellt werden. Die bereits verwendete Übertragung eines Messwertes pro Zelle in einer Minute reichte nicht aus, um das kurze Hochstromereignis beim Start zu erfassen. Entsprechende Reserven des Systems waren jedoch zu erwarten, sodass die höchst mögliche Datenrate zu bestimmen war.

Die Datenübertragung erfolgt durch ein total asynchrones, statistisches Sendeverfahren,

ähnlich dem ALOHA Prinzip. Die Tatsache, dass jeder Sensor keine Daten empfangen kann, erfordert dabei das zufällige Senden eines Datenpakets innerhalb eines kurzen Zeitfensters. Maßgeblich für die Übertragungsgeschwindigkeit ist dabei die, aufgrund von Kollisionen auf dem Kanal, entstehende Framefehlerrate. Theoretische Untersuchungen des Sendeverfahrens und den damit verbundenen Anforderung an die Messgenauigkeit zeigten erste Ansätze zur Auslegung des Systems. Die errechnete Fehlerrate galt dabei als zu pessimistisch, da sie vom Senden eines jeden Sensors im selben Zeitfenster ausging. Bei dieser Betrachtung ergibt sich ein Worst-Case Fall extremster Überlagerung. Der Abgleich mit praktischen Messungen war dazu erforderlich. Die Messergebnisse sollten diesbezüglich ohne Einfluss sonstiger Faktoren aufgenommen werden. Demnach ergab sich die Notwendigkeit der Überprüfung der Hardware auf uneingeschränkte Funktionalität.

Die Darstellung des Zeitverhaltens vom zurückgewonnenen Digitalsignal am Empfänger zeigte ein hohes Maß an Störungen. Es stellte sich heraus, dass die Empfangseinheit an das Sendesignal falsch angepasst war. Das Ändern der Tiefpassfilterung und der Empfindlichkeit der Entscheiderstufe im Empfänger entstörten das zurückgewonnene Digitalsignal. Anschließende Messungen der Framefehlerrate ergaben im Gegensatz zum theoretischen Worst-Case-Fall von etwa 70% eine tatsächliche Framefehlerrate von 41,3%.

Durch die vorangegangenen Erkenntnisse über Daten- und Fehlerrate ließen sich die Anforderungen an die Messgenauigkeit weiter untersuchen. Das Sendeintervall war im Vergleich zur tatsächlichen Dauer des Hochstromereignisses zu gering. Das direkte Übertragen eines Messwerts erreichte somit keine hinreichend genaue Messgenauigkeit. Eine Möglichkeit viele Messpunkte zu übertragen bietet in diesem Zusammenhang die Vorverarbeitung im Sensor. Durch Quellkodierung, d.h. Datenkompression (Mittelung über 10ms) und Angleichung der Messdatenrate über einen Zwischenspeicher ermöglichen eine viel genauere zeitliche Auflösung der Zellspannungen. Das Konzept ließ sich durch die Simulation am PC, hinsichtlich der zur Verfügung stehenden Mittel, überprüfen. Der geringe Arbeitsspeicher des Mikrocontrollers auf dem Sensor stellt dabei die Grenze dar. Die simulativ erprobten Parameter wurden für die Implementierung im Sensor genutzt und im Labor mit einem arbiträren Signalgenerator überprüft. Schlussendlich ließ sich die Erprobung am Fahrzeug, parallel zur bereits durchgeführten Batteriemessung durchführen und zeigte weiterführende Ergebnisse.

## 4.2. Bewertung erzielter Ergebnisse

Ziel dieser Arbeit war die Untersuchung und Anpassung des zuvor entwickelten, drahtlosen Sensorkonzepts auf Automobil-Starterbatterien. Die drahtlos-Zellsensorik befindet sich wie zuvor in einem starken Entwicklungsprozess und erlaubte bisher das Erfassen der für eine Ladezustandsbestimmung nötigen Messwerte von Spannung, Temperatur und Strom bei Traktionsbatterien für Gabelstapler. Die hier verwendete Sensorik basiert auf drahtlosen

Sensoren ohne jegliche Synchronisation durch die Möglichkeit des Datenempfangs einer zentralen Steuereinheit. Das dadurch eingesetzte, statistische Sendeverfahren lässt schnellere Datenübertragungen nur in Verbindung mit hohen Fehlerraten zu. Messungen an der Starterbatterie zeigten jedoch sehr genau die Anforderungen an die Sensorik in Hinblick auf die erforderliche Messgenauigkeit. Gerade die kurze Hochstromphase erfordert dafür höhere Übertragungsgeschwindigkeiten, die von dem hier eingesetzten System nicht unterstützt werden können. Die Erprobung des im Laufe dieser Arbeit entwickelten Übertragungskonzepts zeigte jedoch, dass trotz der geringen Datenrate eine bereits gute Erfassung der Zellsignale möglich ist. Durch die Verwendung einer verlustbehafteten Quellkodierung im Sensor wurde die nötige Datenkompression erreicht. Messwerte mit besonderer Bedeutung werden dabei weiterhin mit hinreichender Genauigkeit übertragen. Als Gütefaktor für die zeitliche Messauflösung ergibt sich dadurch die Größe des RAM-Speichers des Mikrocontrollers auf dem Sensor. Das Datenaufkommen wird im Speicher über die notwendige Gesamtübertragungszeit gehalten. Schwächen zeigen sich bei dieser Methode besonders in Hinblick auf eine zeitnahe Beurteilung der Messdaten an der Empfangseinheit. Jeder Sensor benötigt entsprechend der Anzahl zwischengespeicherter Messwerte Zeit für die gesamte Übertragung des letzten Hochstromereignisses. Im Fall der Ladezustandsbestimmung der Starterbatterie ist dies jedoch eher unkritisch. Ist der Zwischenspeicher nur groß genug, werden auch folgende Spannungsschwankungen erfasst und übertragen.

Probleme bereitet das Verfahren bei der Wiederanordnung zuvor im Zwischenspeicher abgelegter Messwerte. Das Hinzufügen einer Zeitmarke zu jedem Messwert reicht nur bedingt aus. Das Generieren der Zeitmarken, sowie alle anderen Aktionen sind dem Takt des Mikrocontrollers auf dem Sensor unterworfen. Der Mikrocontroller bezieht seinen Takt durch seinen internen DCO. Sein Takt läuft somit nicht hinreichend stabil und belegt die erzeugte Zeitmarke mit einem zusätzlichen Fehler. Das Kalibrieren des Sensortaktes ist mit zusätzlichem Aufwand verbunden und erfordert entsprechende Reaktionen auf dem Empfänger. Durch das Messen der Sendeintervalle von unverzögert durch die Queue gesendeter Messwerte wurde bisher ein Korrekturfaktor bei der Auswertung errechnet. Dieser konnte die Abweichung des Taktes weiter verringern, ließ aber eine völlige Korrektur nicht zu. Eine Takt-Kalibration direkt bei der Auswertung im Empfänger wird hier als effektiver gesehen. An dieser Stelle wird auf Kapitel 5 verwiesen, das mögliche Lösungsansätze vorschlägt, die in der Bearbeitungszeit dieser Abschlussarbeit nicht mehr Erprobt werden konnte. Eine korrekte Zeitbasis stellt für das erstellte Verfahren ein wichtiges Kriterium dar. Besonders gilt dies bei der Weiterverwendung der Strommessung, die bisher völlig unsynchronisiert, zentral von dem Datenlogger erfasst wird. Ohne die korrekte zeitliche Anordnung der Messwerte entstehen erhebliche Abweichungen des Zellverlaufs. Spätere Auswertungen erzeugen so große Fehler bei der Ladezustandsbestimmung der Batterie. Den abschließenden Überblick aller auszulegenden Größen der letzten Diskussion zeigt Abb. 4.1.

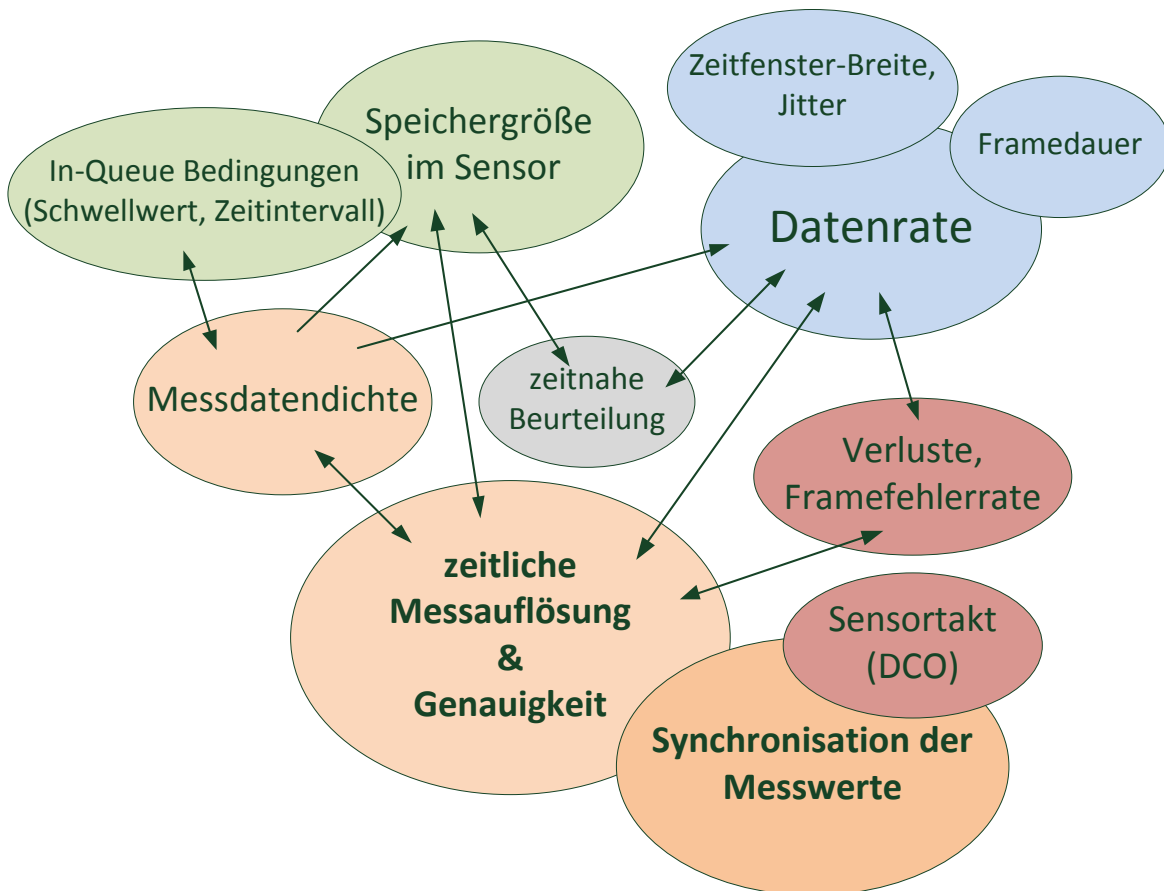


Abbildung 4.1.: Darstellung der Abhängigkeiten des gesamten Systems im Überblick

### 4.3. Fazit

Für das Forschungsprojekt BATSEN an der Hochschule für Angewandte Wissenschaften Hamburg hat diese Abschlussarbeit den ersten Schritt in Richtung Starterbatterie vollzogen. Es wurde gezeigt, dass das Konzept der einfachen Zellsensorik ohne Downlink durchaus Potenzial für die Anwendung im Automotive-Bereich besitzt. Die Durchführung und Erstellung der entwickelten Messmethodik ergab wertvolle Informationen über das Zellverhalten der Batterie im Betriebsfall. In Hinblick auf die Erhöhung der Datenrate wurde das Übertragungsverfahren weiterführend untersucht und die Hardware auf eine schnellere und fehlerfreie Übertragung angepasst. Es wurden die Anforderungen der Starterbatterie an die Sensorik aufgezeigt und ins Verhältnis zu den bestehenden Möglichkeiten gesetzt. Im Laufe der Arbeit entstand ein Konzept, um trotz geringer Datenraten eine hinreichend genaue Abtastung der Zellspannungen zu erreichen. Die Dokumentation der Ergebnisse zeigte hierbei

entstandene Schwächen und Probleme auf und gab Lösungsansätze an. Diese Arbeit war im Rahmen des Forschungsprojekts einem stetigen Entwicklungsprozess unterstellt, der neben motivierenden Erfolgen und auch ernüchternden Momente enthielt, die jedoch die Grundlagen für weiterführende Untersuchungen bildeten und den Ehrgeiz bei der Problemlösung weiter antrieben. Persönlich bereitete mich diese Abschlussarbeit durch ihren sehr praxisnahen Bezug sehr gut auf das anschließende Arbeitsleben vor und erlaubte einen guten Eindruck der projektbezogenen Arbeit.

## 5. Ausblick

Im Umfang des verwendeten Drahtlos-Systems sind noch an vielen Stellen Verbesserungen möglich, die durch diese Arbeit nicht mehr möglich waren. Im folgenden werden abschließend Ansätze aufgezeigt, anhand derer Optimierungen durchgeführt werden können.

- Die bisher entstandenen Quelltexte von Datenlogger und Sensor sollten weiter optimiert werden. Gerade die Software des Datenloggers ist bereits durch mehrere Arbeiten modifiziert und erfordert im Sinne des Forschungsprojektes und der Übersichtlichkeit eine Typenbereinigung.
- Die hier angepasste Strommessung wurde aufgrund von Schwierigkeiten bei der Zuordnung der Messwerte des Stroms zu den entsprechenden Zellspannungen nicht weiter untersucht. Ein Ansatz stellt das Puffern entsprechend vieler Stromwerte dar, mit dem ein Vorlauf erreicht wird, da Spannungswerte durch das Übertragungsverfahren verzögert werden. Die genaue Zuordnung kann offline nach dem Empfang geschehen. Das Verfahren ist in der Implementierung erwartungsgemäß sehr aufwendig und erfordert den häufigen, zwischenzeitlichen Abgleich zu jedem Sensor.
- Die Quellkodierung im Sensor erschwert die Rekonstruktion der Messwerte bezüglich zeitlicher Genauigkeiten. Der Sensortakt spielt dabei eine große Rolle. Die Kalibration des Taktfehlers ist ein weiterer Punkt, den es zu untersuchen gilt. Bisher entstand der Ansatz der Implementierung einer genaueren Zeitbasis im Empfänger. Im Fall von unverzögerten Datenframes ist es möglich Rückschlüsse auf den Sensortakt zu erlangen. Bei der Auswertung der Messdaten am PC fließen diese Informationen bereits in die Rückgewinnung der Zeitbasis ein. Die Genauigkeit lässt sich dabei noch erhöhen, indem dieser Abgleichprozess während des Datenempfangs vom Empfänger ausgeführt wird.
- Die realisierte Quellkodierung erfordert für eine hohe Messgenauigkeit einen ausreichend großen Zwischenspeicher. Die Abwägung des Kosten-Nutzen-Verhältnisses spricht in diesem Fall für den Einsatz erweiterter Hardware mit mehr physikalischen Möglichkeiten.
- Der Sensor lässt sich bezüglich der Bauteilkosten weiter optimieren. Ein quarz-loser Transmitter auf der Basis eines Silizium-LC-Oszillator wurde bereits im Laufe anderen Arbeiten erprobt und hat sich bewährt.

- Im Allgemeinen ist die Bitrate der Datenübertragung zu erhöhen. Diese hängt maßgeblich von der Taktrate des Mikrocontrollers ab. Der Empfänger an der Basisstation muss die Daten wieder auswerten. Die Folge einer Takterhöhung schlägt sich somit auch auf den auswertenden Mikrocontroller der Empfangseinheit nieder. Die Änderung der Bitrate erfordert hinterher die erneute Untersuchung auftretender Fehlerraten.
- Die Fehlerrate bei der Datenübertragung ist aufgrund des Sendeverfahrens sehr hoch und lässt sich nur zu Lasten der Übertragungsgeschwindigkeit senken. Die Messgenauigkeit ist jedoch stark von der Fehlerrate abhängig. Eine geeignete Kanalcodierung stellt hierfür einen guten Ansatz dar. Das Hinzufügen von Redundanzen kann die Fehlerrate bei dem verwendeten Sendeverfahren um einige Potenzen verringern. Dadurch wird zwangsweise das Sendeprotokoll vergrößert. In diesem Fall ändert sich die Betrachtung der Fehlerraten erneut, was im Verhältnis trotzdem einen Gewinn versprechen sollte..
- Der derzeitige Aufbau des Sensors erlaubt es nicht kontinuierlich, ohne Unterbrechungen die Zellspannung zu messen. Die Messvorgänge werden stets durch den Sendevorgang unterbrochen. Dies ist hardware-bedingt und lässt sich durch die großen Störungen des vorhandenen Step-Up-Konverters nicht vermeiden. Die kontinuierliche Messaufnahme ist jedoch zum Erreichen höherer Messgenauigkeit wichtig und bedarf daher der weiteren Untersuchung und einem eventuellen Redesign der Spannungsversorgung.
- Die Implementierung des zufälligen Sendens innerhalb eines Zeitfensters ist derzeit mit einem festen Zeitanteil versehen. Es wird so sichergestellt, die Zeitfenster eines Sensors sich nicht überlagern. Ein besserer Ansatz stellt möglicherweise das zusätzliche Warten über die verbleibende Zeit innerhalb des jeweiligen Zeitfensters dar (Abb. 5.1). Die Sendeintervalle können so deutlich reduziert und die Bitrate erhöht werden. Bezüglich der Fehlerrate bedarf diese Änderung einer neuen Untersuchung.

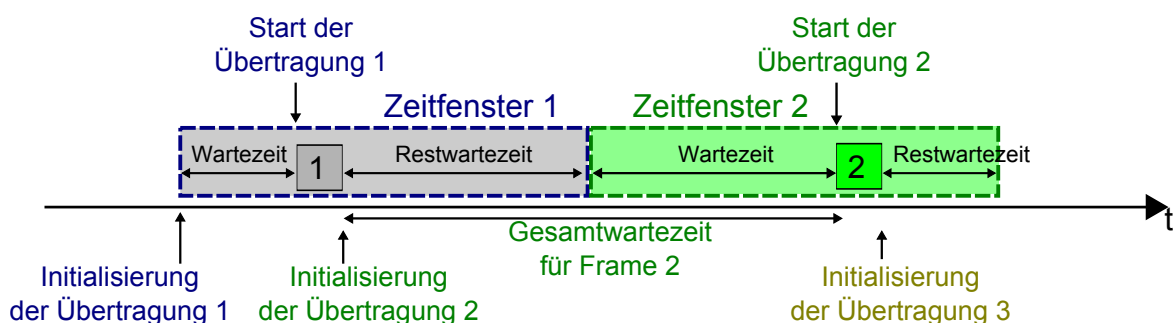


Abbildung 5.1.: Mögliches Sendeverfahren ohne festen Zeitanteil

# Literaturverzeichnis

- [1] ANLAUFT, Anna: *X-by-wire: Marktwachstum durch Vorteile entlang der gesamten Wertschöpfungskette*. Version: April 2008. <http://frosttest.com/uat/servlet/press-release.pag?docid=127858849>
- [2] BOHLEN, Oliver ; BLANKE, Holger ; BULLER, Stephan ; FRICKE, Birger ; HAMMOUCHE, Abderrezak ; LINZEN, Dirk ; THELE, Marc ; DONCKER, Rik W. D. ; SAUER, Dirk U.: *Battery Monitoring for Automotive Batteries is not a Miracle*. <http://www.isea.rwth-aachen.de>. Version: Mai 2005
- [3] BUCHMANN, Isidor: *Battery University*. <http://www.batteryuniversity.com>. Version: 2005
- [4] FORM, Thomas: *Vorlesung Fahrzeugelektronik*. <http://www.ifr.ing.tu-bs.de>. Version: Februar 2007
- [5] HOOPS, Alexander: *Praxissemesterbericht - Drahtlose Batteriesensorik und Batterie-test*. Februar 2010
- [6] KRANNICH, Tobias: *Experimentalsystem für einen Sensor-Controller mit drahtloser Energie- und Datenübertragung*, HAW Hamburg, Diplomarbeit, Oktober 2008. <http://opus.haw-hamburg.de/volltexte/2008/615/>
- [7] LEM (Hrsg.): *DHAB S/24 Current Transducer Datenblatt*. LEM, 2008. <http://www.lem.com>
- [8] MEISSNER, Eberhard ; RICHTER, Gerolf: *Battery Monitoring and Electrical Energy Management Precondition for future vehicle electric power systems*. In: *Journal of Power Sources* (2003), 79-98. <http://www.elsevier.com/locate/jpowsour>
- [9] OLIMEX LTD. (Hrsg.): *StarterKit MSP430-169STK schematics*. Olimex Ltd., 2004. <http://www.olimex.com/dev>
- [10] PLASCHKE, Stephan: *Experimentalsystem für drahtlose Batteriesensorik*, HAW Hamburg, Diplomarbeit, Oktober 2008. <http://opus.haw-hamburg.de/volltexte/2008/620/>

- [11] REIF, Conrad: *Batterien, Bordnetze und Vernetzung*. Vieweg+Teubner, 2010. – ISBN 978-3-8348-1310-7
- [12] RF MONOLITHICS, INC (Hrsg.): *RFM DevKit DR5100 Datenblatt*. RF Monolithics, Inc, 2008. <http://www.rfm.com>
- [13] RF MONOLITHICS, INC (Hrsg.): *RFM RX5000 Datenblatt*. RF Monolithics, Inc, 2008. <http://www.rfm.com>
- [14] RIEMSCHEIDER, Karl-Ragmar ; VOLLMER, Jürgen: BATSEN Förderantrag im Programm 'FHprofUnt 2010' des Bundesministeriums für Bildung und Forschung. (2010)
- [15] SAUER, Dirk U. ; KARDEN, Eckhard ; FRICKE, Birger ; BLANKE, Holger ; THELE, Marc ; BOHLEN, Oliver ; SCHIFFER, Julia ; GERSCHLER, Jochen B. ; KAISER, Rudi: Charging performance of automotive batteries. In: *Journal of Power Sources* (2007), 22-30. <http://www.isea.rwth-aachen.de>
- [16] SAUER, Dirk U. ; SCHIFFER, Julia ; THELE, Marc ; BOHLEN, Oliver: Review of Monitoring Technologies for Lead-acid Batteries. In: *Advanced Automotive Battery Conference*, 2005
- [17] SCHÖLLMANN, Matthias (Hrsg.): *Energiemanagement und Bordnetze*. Expert-Verlag, 2005 (Haus der Technik Fachbuch 41). – ISBN 3-8169-2466-2
- [18] SCHÖLLMANN, Matthias (Hrsg.): *Energiemanagement und Bordnetze II*. Expert-Verlag, 2007 (Haus der Technik 71). – ISBN 978-3-8169-2649-8
- [19] STURM, Matthias (Hrsg.): *Mikrocontrollertechnik : Am Beispiel der MSP430-Familie*. München : Hanser, 2011. – ISBN 978-3-446-42231-5
- [20] TEXAS INSTRUMENTS (Hrsg.): *MSP430x1xx Family User's Guide*. F. Texas Instruments, Februar 2006
- [21] TEXAS INSTRUMENTS (Hrsg.): *MSP430F12x2 Mixed Signal Microcontroller Datasheet*. D. Texas Instruments, August 2004
- [22] TEXAS INSTRUMENTS (Hrsg.): *MSP430F16x Mixed Signal Microcontroller Datasheet*. Texas Instruments, März 2011. <http://www.msp430.com>
- [23] WEYDANZ, Wolfgang ; JOSSEN, Andreas: *Moderne Akkumulatoren richtig einsetzen*. Reichardt Verlag, 2006. – ISBN 978-3-939359-11-1
- [24] WITTE, Erich: *Blei- und Stahllakkumulatoren*. Bd. 3. Krausskopf-Verlag, 1967
- [25] ZVEI: Publikationen / Fachverband Batterien. Version: April 2005. <http://www.zvei.org/fachverbaende/batterien/publikationen/>. 2005. – Forschungsbericht

# Anhang

## A. Quelltext

### A.1. Sensor

Listing 1: Quellcode des Sensorsystems (main.c)

```
1  /*
2  -----
3  Project:      BATSEN Sensorclass I
4  Discription:
5  Used components:  Wireless Battery Sensor without downlink
6
7  Author:      Simon Püttjer
8  Date:        04/01/2011
9  Last update:  16/04/2010
10
11 File:        main.c
12 -----
13
14 Headerfiles
15 -----*/
16 #include <io.h>
17 #include <signal.h>
18 #include "inline.h"
19 #include "main.h"
20 #include "isr.h"
21 /*-----
22 Globals
23 //-----*/
24 //tx stuff
25 //*****
26 unsigned short temp = 0; //temporary adcl0 mem register
27 state_1 txstate_main = CHECK_QUEUE_1; //transmission main state
28 unsigned char txCount = 0; //transmit count variable
29 unsigned char txNextOut = 0; //transmit level flag
30 unsigned char txByte = 0; //byte index
31 unsigned char txBit = 0x80; //bit index msb first
32 tx txState = SOF;
33 // init of random shift register
34 static unsigned long sr_r = 0x08000000;
35 //waiting queue - struct_array
36 volatile queue waiting_queue[QUEUE_LENGTH];
```

```

38 //sample stuff
39 //*****
40 unsigned char writeindex=0, readindex =0;
41 unsigned char livebit = 0;
42 sa saState = TIMING;
43 adc adc10_state = ADC_IDLE;

44
45 //transmission protocol
46 //-----
47 unsigned char txData[14] = {

48     0x00, 0x01, // RunIn (16 Bit)
49     0x00, 0x00, 0x00, 0x00, // parameters (version , live_bit, misc (1 byte)), jitter (2
50         byte), sensor address (1 byte)
51     //for frame error measurement the address is shortened to 1 byte
52     0x00, 0x00, // cell voltage (2 byte)
53     0x00, 0x00, // timelabel (2 byte)
54     0x00, 0x00, // current queuelength
55     0x00, // CRC XOR[2 .. 11]
56     0x00 //for stopbit
57 };

58
59 //sensor info
60 struct InfoBlock {
61     unsigned long magicID;
62     unsigned long sensorID;
63     // Daten für Kalibrierung
64     // unsigned short vFactor;
65     // unsigned short tOffset;
66     // unsigned short tFactor;
67 };

68
69 //store sensor information at memory address 0x1000
70 const struct InfoBlock * const infoBlock = (const struct InfoBlock *) 0x1000;

71
72 //variables for sensor address validation
73 const unsigned long magicID = 0x64490F01;
74 const unsigned char version = 0x01;

75
76 //inqueue variables
77 unsigned short val_diff = 1, //value difference
78     time_diff; //time difference

79
80 //prototypes
81 //-----
82 void ADC10init(void); // adc initialization
83 inline unsigned short transmit(unsigned short temperature, unsigned short battery,
84     unsigned short supply); //fill transmit protocol

85
86 //functions
87 /*-----
88  * prepare data buffer and initiate transmission
89 -----*/
90 unsigned short transmit(unsigned short temperature, unsigned short battery, unsigned
91     short supply)
92 {
93     unsigned char n; //loop index for parity
94     unsigned short max; //maximum wait time count

```

```

95 //transmission variables reset
96 //-----
97 P1OUT &= ~0x01; // P1.0 clear data pin
98 txNextOut = 0; //reset data output to low
99 txCount = 0; //initiate transmission
100 txByte = 0; //reset byte index
101 txBit = 0x80; //reset bit index
102 txState = SOF; //reset protocol
103 //waiting queue init
104 //never count transmission index
105 // number of interrupts to wait for next transmission
106 SR(); //random shift register macro (see main.h)

108 //calculate the current jitter from random number sr_r, (TXMID - (TXMID / TXFAC)) is
    the steady part
109 //
    *****

110 max = (unsigned short) (sr_r % (2 * (TXMID / TXFAC)) + (TXMID - (TXMID / TXFAC)));

112 //livebit - indicates a transmission without jitter
113 if(livebit) //check routine: see isr.c
114     txData[2] = livebit + BIT0;
115 else
116     txData[2] = BIT0;
117 //careful! txData[2] is for version ID! Leave the MSB alone! It's important for the
    receiver!

119 //Jitter
120 //*****
121 txData[3] = (unsigned char) (max>>8);
122 txData[4] = (unsigned char) (max & 0x00FF);
123 //*****
124 // temperature is used for cell voltage
125 txData[6] = (unsigned char) (temperature >> 8);
126 txData[7] = (unsigned char) (temperature & 0x00FF);
127 // cell is used for timelabel
128 txData[8] = (unsigned char) (battery >> 8);
129 txData[9] = (unsigned char) (battery & 0x00FF);
130 //supply is used for current inqueue length
131 txData[10] = (unsigned char) (supply >> 8);
132 txData[11] = (unsigned char) (supply & 0x00FF);

134 //generate parity
135 //*****
136 txData[12] = 0;
137 for (n = 2; n < 12; n++)
138     txData[12] ^= txData[n];
139 //*****

141 livebit = 0; //reset livebit, next value one might be from queue
142 return max; //return maximum wait time
143 }

145 /*-----
146 * initialize transmission
147 -----*/
148 void initTransmit(unsigned long id)
149 {

```

```

150 // P1.0 Data Transmit
151 // P1.1 Select Transmit
152 P1OUT &= ~(BIT1 + BIT0); // P1.0 + P1.1 clear
153 P1SEL &= ~(BIT1 + BIT0); // P1.0 + P1.1 => IO Port
154 P1DIR |= BIT1 + BIT0; // P1.0 + P1.1 => outputs

156 txCount = 0;
157 txNextOut = 0;

159 txData[2] = (unsigned char) (id >> 24); //version ID
160 txData[3] = (unsigned char) (id >> 16); //cal. values/address (--> is used for FER
    calc.)
161 txData[4] = (unsigned char) (id >> 8); //address --> (used for FER calc.)
162 txData[5] = (unsigned char) (id & 0x000000FF); //address
163 txData[12] = 0;
164 }
165 /*-----
166 * initialize ADC10
167 -----*/
168 void ADC10init(void/*unsigned char mode_adc*/) {

170 //initialize adc measurements
171 //-----
172 ADC10CTL0 &= ~ENC; // reset ENC
173 // ADC10CTL1 = INCH_2 + ADC10DIV_3; // Ch 2 ADC10CLK/4
174 // ADC10CTL1 = INCH_2 + ADC10DIV_2; // Ch 2 ADC10CLK/3
175 ADC10CTL1 = INCH_2 + ADC10DIV_0 + CONSEQ_0 + ADC10SSEL_3; // Ch 2 + ADC10CLK/1+ single
    conversion mode + SMCLK
176 // ADC10CTL0 = SREF_1 + ADC10SHT_3 + REFON + REF2_5V + ADC100N;
177 // ADC10CTL0 = SREF_1 + ADC10SHT_1 + REFON + REF2_5V + ADC100N;
178 ADC10CTL0 = SREF_1 + ADC10SHT_3 + REFON + REF2_5V + ADC100N;
179 // ADC10CTL0 = SREF_1 + ADC10SHT_1 + REFON + ADC100N + REF2_5V + ADC10IE; //
    reference: Vss, hold-time 8*ADC10CLK; reference on, ADC10 on
180 // ADC10CTL1 = INCH_2 + + ADC10DIV_7 + CONSEQ_2; //ADC10 Channel 2, ADC10CLK/8,
    repeating single channel

182 //old code: temperature and supply voltage currently not used
183 /* switch (mode_adc) {

185 case SET_TEMP:
186 //initialize temperature measurement
187 //-----
188 ADC10CTL0 &= ~ENC; // reset ENC
189 // ADC10CTL1 = INCH_10 + ADC10DIV_3; // Temp Sensor ADC10CLK/4
190 // ADC10CTL1 = INCH_10 + ADC10DIV_2; // Temp Sensor ADC10CLK/3
191 ADC10CTL1 = INCH_10 + ADC10DIV_2 + CONSEQ_0; // Temp Sensor
192 // ADC10CTL0 = SREF_1 + ADC10SHT_3 + REFON + ADC100N + ADC10IE;
193 // ADC10CTL0 = SREF_1 + ADC10SHT_3 + REFON + ADC100N;
194 // ADC10CTL0 = SREF_1 + ADC10SHT_1 + REFON + ADC100N;
195 ADC10CTL0 = SREF_1 + ADC10SHT_1 + REFON + ADC100N;
196 break;
197 case SET_SUPP:
198 //initialize supply voltage measurement
199 //-----
200 ADC10CTL0 &= ~ENC; // reset ENC
201 // ADC10CTL1 = INCH_11 + ADC10DIV_3; // Ch 11 ADC10CLK/4
202 // ADC10CTL1 = INCH_11 + ADC10DIV_2; // Ch 11 ADC10CLK/3
203 ADC10CTL1 = INCH_11 + ADC10DIV_2 + CONSEQ_0; // Ch 11
204 // ADC10CTL0 = SREF_1 + ADC10SHT_3 + REFON + REF2_5V + ADC100N;
205 // ADC10CTL0 = SREF_1 + ADC10SHT_1 + REFON + REF2_5V + ADC100N;

```

```

206     ADC10CTL0 = SREF_1 + ADC10SHT_1 + REFON + REF2_5V + ADC10ON;
207     for (n = 0; n < 3; n++)
208         x++;
209     break;
210 case SET_CELL:
211     //initialize cell voltage measurement
212     //-----
213     ADC10CTL0 &= ~ENC; // reset ENC
214     //     ADC10CTL1 = INCH_2 + ADC10DIV_3;           // Ch 2 ADC10CLK/4
215     //     ADC10CTL1 = INCH_2 + ADC10DIV_2;           // Ch 2 ADC10CLK/3
216     ADC10CTL1 = INCH_2 + ADC10DIV_0 + CONSEQ_2; // Ch 2 + ADC10CLK/1
217     //     ADC10CTL0 = SREF_1 + ADC10SHT_3 + REFON + REF2_5V + ADC10ON;
218     //     ADC10CTL0 = SREF_1 + ADC10SHT_1 + REFON + REF2_5V + ADC10ON;
219     ADC10CTL0 = SREF_1 + ADC10SHT_2 + REFON + REF2_5V + ADC10ON;
220     for (n = 0; n < 3; n++)
221         x++;
222     break;
223     }*/
224 }

226 int xy;
227 /*-----
228  * main routine
229  -----*/
230 int main(void) {

232     //init queue with 0 (for testing)
233     //*****
234     for (xy = 0; xy < QUEUE_LENGTH; xy++) {
235         waiting_queue[xy].value = 0;
236         waiting_queue[xy].val_reg = 0;
237     }

239     //set up sensor
240     //*****
241     //no match with magic ID --> sensor address 0
242     if (infoBlock->magicID != magicID)
243         initTransmit(0x00000000);
244     else
245     { //match with magic ID --> set sensor address written by debugger
246         unsigned long sensorID = infoBlock->sensorID; //take address from memory address
247         sensorID &= 0x000FFFFF; //Sensor address: 20 bits
248         unsigned long versionID = version;
249         versionID <<= 24; //version 1 byte
250         sensorID |= versionID;

252         sr_r = (sensorID << 1) | 0x08000000; //init shift register
253         initTransmit(sensorID); //initialize transmit with sensoraddress etc.
254     }

256     // avert Watchdog reset
257     WDTCTL = WDTPW + WDTHOLD;

259     // set DCO to 3MHz; RSEL=7 DOC=3 MOD=0 DCOR=0
260     DCOCTL = DCO1 | DCO0; // DOC=3 MOD=0
261     BCSTL1 = RSEL2 | RSEL1 | RSEL0; // RSEL=7
262     BCSTL2 = 0; // DCOR=0 (no external R)

264     // set up Timer A
265     // want SMCLK

```

```

266 // count up (sawtooth), period = COUNTS
267 TACTL = MC_1 | ID_0 | TASSEL_2;

269 // compare mode, interrupt enabled
270 TACCTL0 = CCIE; // other CCTLx regs not used

272 TACCR0 = 325; // cycle length

274 // other CCRx regs not used
275 // other CCTLx regs not used

277 ADC10init(); // initialize ADC10

279 eint(); // global interrupt enable

281 // P2.0 Output controls Step-Up-Converter
282 P2OUT |= 0x01; // P2.0 set - enable StepUp
283 P2SEL &= ~0x01; // P2.0 IO Port
284 P2DIR |= 0x01; // P2.0 output
285 // P3.3 Output for timing test pin (for testing)
286 P3OUT |= 0x08; // P3.3 set
287 P3SEL &= ~0x08; // P3.3 IO Port
288 P3DIR |= 0x08; // P3.3 output
289 // P3.6 Output für LED (function indication)
290 P3SEL &= ~BIT6; // P3.6 IO Port
291 P3DIR |= BIT6; // P3.6 output
292 LED_OFF; //init LED turned off

294 //main loop
295 //*****
296 for (;;)

298 //LED blinks when transmission is set
299 }

```

Listing 2: Quellcode des Sensorsystems (isr.c)

```

1  /*
   -----
2  Project:      BATSEN Sensorclass I
3  Discription:
4  Used components:  Wireless Basttery Sensor without downlink

6  Author:      Simon Püttjer
7  Date:        04/01/2011
8  Last update:  16/04/2010

10 File:        isr.c
11 -----

12 Timer ISR
13 -----
14 Headerfiles
15 -----*/
16 #include <io.h>
17 #include <signal.h>
18 #include "inline.h"
19 #include "main.h"
20 #include "isr.h"

```

```

22 //globals
23 //-----
24 extern unsigned char txCount; //transmit count variable
25 extern unsigned char txNextOut; //transmit level flag
26 extern unsigned char txByte; //byte index
27 extern unsigned char txBit; //bit index msb first
28 extern unsigned char mod_adc; //select adc mode register
29 extern unsigned char txData[14]; //transmit protocol
30 extern queue waiting_queue[QUEUE_LENGTH]; //queue structarray
31 extern unsigned char writeindex, readindex; //indices for queuing
32 extern unsigned long sr(void); //random shift register
33 extern tx txState; //transmission main state
34 extern sa saState; //sampling main state
35 extern adc adc10_state; //lower sampling state
36 extern state_1 txstate_main;
37 extern unsigned char livebit;
38 extern unsigned short temp;
39 extern unsigned short val_diff, time_diff;

41 //prototypes
42 //-----
43 extern unsigned long sr(void); //shift register
44 extern inline unsigned short transmit(unsigned short temperature,
45     unsigned short battery, unsigned short supply); //write measured data to tx buffer
46 /*-----
47 * Timer Interrupt sets output level for transmitter (see timer init in main function
48   (~100us))
49 -----*/
49 interrupt (TIMERA0_VECTOR) timerRoutine() {
50     static unsigned char adc10_count = 0, interval_count = 0; //time counter-variables
51     static unsigned short last_sample = 0; /*35000 is ~2V for high mode detection*/
52     static unsigned short timelabel = 0; //timelabel for buffered data
53     static unsigned short random_wait = 0; //random wait counter
54     /*##### sampling #####*/

55     switch(adc10_state)
56     {
57     case SAMPLE_BUSY:
58         if(ADC10CTL1 & ADC10BUSY)//still busy --> maybe in next ISR
59         {
60             saState = IDLE_STATE;
61             adc10_state = SAMPLE_BUSY;
62         }
63         else//pick sample
64         {
65             temp +=ADC10MEM;
66             saState = TIMING;
67             STEPUP_ON;
68             adc10_state = ADC_IDLE;
69         }
70         break;
71     case ADC_IDLE:
72         break;
73     }
74     // saState = IDLE_STATE;
75     if(!txCount){
76
77     // switch(adc10_state)
78     // {

```

```

80 // case SAMPLE_BUSY:
81 //   if(ADC10CTL1 & ADC10BUSY)//still busy --> maybe in next ISR
82 //   {
83 //     saState = IDLE_STATE;
84 //     adc10_state = SAMPLE_BUSY;
85 //   }
86 //   else//pick sample
87 //   {
88 //     temp +=ADC10MEM;
89 //     saState = TIMING;
90 //     STEPUP_ON;
91 //     adc10_state = ADC_IDLE;
92 //   }
93 //   break;
94 // case ADC_IDLE:
95 //   break;
96 // }

98 switch (saState)
99 {
100 case IDLE_STATE:
101 //do nothing
102 break;

104 case TIMING:
105 if (interval_count < SAMPLE_INTERVAL)//samples ready?
106 {
107 if (adc10_count < SAMPLE_TIME-1)//time to sample?
108 {
109 adc10_count++;
110 }
111 else
112 {
113 adc10_count = 0; //reset adc counter
114 interval_count++;
115 STEPUP_OFF;
116 ADC10CTL0 |= ENC + ADC10SC; //start adc10 sampling
117 adc10_state = SAMPLE_BUSY;
118 }
119 break;
120 }
121 //transmission in progress! do not compare! just count timelabel!
122 // else if(txCount)
123 // {
124 //   interval_count = 0;
125 //   timelabel++;
126 //   break;
127 // }
128 else
129 {
130 interval_count = 0;
131 timelabel++;
132 //no break here! compare samples right away!
133 // saState = SAMPLE_COMPARE;
134 }

136 case SAMPLE_COMPARE:
137 //compare samples to detect a voltage drop due to high current
138 if(temp > last_sample)
139 val_diff = temp - last_sample;

```

```
140     else
141         val_diff = last_sample - temp;

143     if(timelabel > waiting_queue[writeindex].val_reg)
144         time_diff = timelabel - waiting_queue[writeindex].val_reg;
145     else
146         time_diff = waiting_queue[writeindex].val_reg - timelabel;

148     if(val_diff>THRESHOLD)
149         //high current detected
150     {
151         //store sample in queue
152         val_diff = 0;
153         saState = SAVETOQUEUE;
154     }
155     else if(time_diff>=TIME_DIFF) //time difference since last inqueue
156     {
157         //normal transmission when transmitter is ready
158         saState = SAVETOQUEUE;
159     }
160     else
161     {
162         //transmission in progress --> discard sample
163         // last_sample = temp; //save last sample
164         saState = TIMING;
165         temp = 0;
166         break;
167     }

169     case SAVETOQUEUE:
170         //save sample to queue until queue is full
171         if ((writeindex + 1) % QUEUE_LENGTH) != readindex)
172         {
173             writeindex = (writeindex + 1) % QUEUE_LENGTH;
174             waiting_queue[writeindex].value = temp; //put element to buffer
175             waiting_queue[writeindex].val_reg = timelabel; //put time label
176         }
177         saState = TIMING;
178         last_sample = temp; //save last inqueue
179         temp = 0; //reset sum variable

181     }

183 }
184 else
185 {
186     if (interval_count < SAMPLE_INTERVAL)//samples ready?
187     {
188         if (adc10_count < SAMPLE_TIME-1)//time to sample?
189         {
190             adc10_count++;
191         }
192         else
193         {
194             adc10_count = 0; //reset adc counter
195             interval_count++;
196         }
197     }
198     else
199     {
```

```

200     timelabel++;
201     interval_count = 0;
202 }
203 /*##### sampling end#####*/
204 }

207 /*##### transmission #####*/
208 //%%%%%%%%%% tx main %%%%%%%%%%%
209 switch (txstate_main)
210 {
211     case CHECK_QUEUE_1:
212         //check queue for data to transmit
213         if ((readindex % QUEUE_LENGTH) != writeindex)
214         {
215             readindex = (readindex + 1) % QUEUE_LENGTH;
216             if ((timelabel == waiting_queue[readindex].val_reg) //not delayed by queue
217                 livebit = 2;

219             //actual queue volume
220             //*****
221             if (writeindex < readindex) //righthandside from writeindex
222             { //ignite transmission an put element to tx buffer
223                 random_wait = transmit(waiting_queue[readindex].value,
224                     waiting_queue[readindex].val_reg, (unsigned short)QUEUE_LENGTH-(readindex-
225                     writeindex));
226             }
227             //lefthandside from writecount
228             { //ignite transmission an put element to tx buffer
229                 random_wait = transmit(waiting_queue[readindex].value,
230                     waiting_queue[readindex].val_reg, (unsigned short)(writeindex-readindex));
231             }
232             //*****

233             txstate_main = WAIT_1; //wait state set
234         }
235         else
236         {
237             // saState = SAMPLE_BUSY; //new data please!
238             break;
239         }
240         //when queue contains a value do not break!

242         txstate_main = WAIT_1; //wait state set
243         //TEST_TOGGLE;

245     case WAIT_1:
246         //wait for random interval
247         if (random_wait)
248         {
249             random_wait--;
250             break;
251         }
252         else
253         {
254             //ignite transmission
255             //TEST_TOGGLE;

257             txCount = 1;
258             TX_ENABLE; //enable transmitter

```

```

259     txstate_main = TX_NOW;
260     //do not break after wait count is 0!
261     }
262     case TX_NOW:
263     //first set data out
264     if (txNextOut)
265         TXDATA_ON; //tx pin high
266     else
267         TXDATA_OFF; //tx pin low
268     //protocol timings
269     switch (txCount) {
270     //begin SOF low
271     case SOF_LOW:
272         txNextOut = 0;
273
274         LED_ON; //LED on
275         break;
276         //after 6 * 2 SOF high
277     case SOF_HIGH:
278         txNextOut = 1;
279         break;
280     //after SOF begin DATA transmission
281     case DATA_START:
282         txState = DATA;
283         break;
284     //end of frame
285     case EOF:
286         txState = END;
287     }
288     //%%%%%%%%%%%%%%%%%%%%%%%%%%%%%%%%%%%%%%%%%%%%%%%%%%%%%%%%%%%%%%%%%%%%%%%%%% transmission protocol %%%%%%%%%%%%%%%%%%%%%%%%%%%%%%%%%%%%%%%%%%%%%%%%%%%%%%%%%%%%%%%%%%%%%%%%%%%
289     switch (txState)
290     {
291     case DATA:
292         //take every second half of a bit
293         if (txCount & 0x01)
294             // Manchester Code
295             // second half of bit => negate signal
296             txNextOut = !txNextOut;
297             //other half is the data to transmit
298         else
299         {
300             txNextOut = txData[txByte] & txBit; //take bit X (txByte) of a byte Y (txBit
301             //end of byte reached --> reset bit index, count up byte index
302             if (txBit == 0x01)
303             {
304                 txBit = 0x80; //reset bit index to msb
305                 txByte++; //count up byte index
306             }
307             //no lsb --> next bit
308             else
309                 txBit = txBit >> 1; //next bit
310         }
311         break;
312     case END:
313         //end of transmission, reset all counters
314         txCount = 0;
315         TXDATA_OFF; //data output low
316         TX_DISABLE; //disable transmitter
317         txstate_main = CHECK_QUEUE_1; //go check waiting queue

```

```

318         saState = TIMING;
319         LED_OFF; //LED off
320         interval_count = 0;
321         adc10_count = 0;
322         temp = 0;
323         break;
324     case SOF:
325         break;
326     }
327     if (txState != END)
328         txCount++;
329     break;
330     //%%%%%%%%%%%%%%%%%%%%%%%%%%%%%%%%%%%%%%%%%%%%%%%%%%%%%%%%%%%%%%%%%%%%%%%% transmission protocol END %%%%%%%%%%%%%%%%%%%%%%%%%%%%%%%%%%%%%%%%%%%%%%%%%%%%%%%%%%%%%%%%%%%%%%%%%
331 }
332 //%%%%%%%%%%%%%%%%%%%%%%%%%%%%%%%%%%%%%%%%%%%%%%%%%%%%%%%%%%%%%%%%%%%%%%%% tx main END %%%%%%%%%%%%%%%%%%%%%%%%%%%%%%%%%%%%%%%%%%%%%%%%%%%%%%%%%%%%%%%%%%%%%%%%%
334 }

```

Listing 3: Quellcode des Sensorsystems (main.h)

```

1  /*
2  -----
3  Project:      BATSEN Sensorclass I
4  Discription:
5  Used components:  Wireless Battery Sensor without downlink
6
7  Author:      Simon Püttjer
8  Date:        04/01/2011
9  Last update:  16/04/2010
10
11 File:        main.h
12 -----
13 -----
14 Defines
15 -----*/
16 #ifndef MAIN_H_
17 #define MAIN_H_
18
19 #define TXFAC 3 //factor the time varies around average transmission time
20 #define TXMID 5000 //number of interrupt to wait
21 #define QUEUE_LENGTH 35 //waiting queue length
22
23 #define LED_OFF (P3OUT |= BIT6) // P3.6 set - LED off
24 #define LED_ON (P3OUT &= ~BIT6) // P3.6 clear - LED on
25 #define STEPUP_ON (P2OUT |= BIT0) // P2.0 set - StepUp on
26 #define STEPUP_OFF (P2OUT &= ~BIT0) // P2.0 clear - StepUp off
27 #define TEST_TOGGLE (P3OUT ^= BIT3) // P3.3 toggle
28 #define TXDATA_OFF (P1OUT &= ~BIT0) // P1.0 clear - data low
29 #define TXDATA_ON (P1OUT |= BIT0) // P1.0 set - data high
30 #define TX_ENABLE (P1OUT |= BIT1) // P1.1 set - enable transmitter
31 #define TX_DISABLE (P1OUT &= ~BIT1) // P1.1 clear - disable transmitter
32
33 //random shift register macro
34 //*****
35 #define SR() sr_r <<= 1;\
36     sr_r |= ((sr_r >> 28) ^ (sr_r >> 19)) & 0x00000001);\
37     sr_r &= 0xFFFFFFF;

```

```

38 //*****
40 //waiting queue struct
41 typedef struct {
42     unsigned short value; //measured value
43     unsigned short val_reg; //flagregister (high current (bit7: 1) and rest (bit7: 0))
44 }queue;
46 #endif /*MAIN_H_*/

```

Listing 4: Quellcode des Sensorsystems (isr.h)

```

1 /*
   -----
2 Project:      BATSEN Sensorclass I
3 Discription:
4 Used components:  Wireless Basttery Sensor without downlink
5
6 Author:      Simon Püttjer
7 Date:       04/01/2011
8 Last update:  16/04/2010
9
10 File:      isr.h
11 -----
12
13 -----
14 -----*/
15 #ifndef ISR_H_
16 #define ISR_H_
17 //##### transmission #####
18
19 //transmission main states
20 typedef enum
21 {
22     CHECK_QUEUE_1, //check queue for new data
23     WAIT_1, //wait given time interval
24     TX_NOW //transmit
25 }state_1;
26
27 /*##### state: transmit #####*/
28 //protocol timing defines (multiples of timer interrupts)
29 #define SOF_LOW 1 //StartOfFrame (frame delay)
30 #define SOF_HIGH (6 * 2)
31 #define DATA_START ((6 + 4) * 2)
32 #define EOF (((6 + 4) + 13 * 8) * 2 + 2+1) //EndOfFrame
33
34 //data pin status
35 typedef enum
36 {
37     SOF, //StartOfFrame
38     DATA, //data part
39     END //end
40 }tx;
41
42 //##### sampling #####*/
43
44 //timings (multiples of timer interrupts)
45 #define SAMPLE_TIME 10 //high sampling steps of 100us

```

```

46 #define SAMPLE_INTERVAL 10          //number of samples to summerize along (64 is max)
47 #define THRESHOLD (SAMPLE_INTERVAL * 7) //threshold for inqueeing (x * (1.5 * 2.4)mV)
48 #define TIME_DIFF 200 //inquee condition: threshold of time difference since last inquee

50 //sampling main states
51 typedef enum
52 {
53     IDLE_STATE,          //do nothing
54     TIMING,             //count timing variables
55     SAMPLE_COMPARE,     //compare samples
56     SAVETOQUEUE        //save to queue
57 }sa;

59 //adc states
60 typedef enum
61 {
62     SAMPLE_BUSY,       //check if adc ready and read value
63     ADC_IDLE          //adc is idle
64 }adc;

66 #endif /*ISR_H*/

```

## A.2. Datenlogger

Listing 5: Quellcode des Datenloggers

```

1  /*-----
2  Project:      MSP430 project source file
3  Used components:  MSP430-169STK
4  Date:        10/28/2007
5  Last Update:  04/04/2008
6  Author:      Stephan Plaschke

8  Modified by:  Alexander Hoops
9  Last modification:  19/01/2010
10 Modified by:  Simon Püttjer
11 Last modification:  05/05/2011
12 -----

14 -----
15 Headerfiles
16 -----*/

17 #include <ISR.h>
18 #include <RTC.h>
19 #include <ADC.h>
20 #include <main.h>
21 #include <flash.h>
22 #include <stdio.h>
23 #include <signal.h>
24 #include <lcd16x2.h>
25 #include <uart_menu.h>
26 #include <msp430x16x.h>
27 #include <MSP_functions.h>
28 #include <math.h>

30 /*-----

```

```

31 | Global variables
32 | -----*/
33 | unsigned char BATMON_control_reg; // global control register
34 | unsigned char BUTTON_state; // actual button state
35 | unsigned char RADIO_rx_state; // data receive state
36 | unsigned char UART_menu_position; // UART_menu position
37 | unsigned char WDT_function; // WDT function, BLINKY for RTC SETUP or RTC
38 | unsigned char RTC_menu_position; // menu position in RTC setup
39 | unsigned char Enable_clear_lcd; // clear first LCD row
40 | unsigned char show_sensornmb; // choice of LCD screening
41 | unsigned char measuring=0; // Datalogging activated = 1
42 | unsigned char scan_mode=0; // standard_measure =>0 /
43 | // scan mode sensor(1)/temp cal (2)
44 | unsigned long temp_correct_value; // temp value for calibration
45 | unsigned char SENSOR_addr_req[5]; // array for continuous mode,
46 | // shows required address
47 | unsigned char SENSOR_addr_receiv[5]; // array for checking if all sensors have
48 | // send a value
49 | unsigned char SENSOR_address[40]; // array with sensor address
50 | unsigned char SENSOR_active; // active sensor count
51 | unsigned char SENSOR_last_data[8][40]; // last received data from each sensor
52 | unsigned char SENSOR_low; // number of sensors under min voltage
53 | /*-----Sensor temperature calibration data-----*/
54 | signed char SENSOR_temp_cal_b[41]={
55 | 0,27,22,-5,10,15,-14,2,9,
56 | -34,81,32,0,-24,38,0,0,0,0,0,0,
57 | 0,0,0,0,0,0,0,0,0,0,0,0,0,0,0,
58 | 0,0,0,0,0}; // sensor address 0..40

60 | /*-----Current Measuring-----*/
61 | unsigned long CURRENT_last_data; // stored current value
62 | unsigned char CURRENT_IN_OUT; // 1 = charge 0 = discharge
63 | unsigned long CURRENT_tara; // tara for current value reset = 0
64 | unsigned char CURRENT_INVERT=0; // variable to setup sensor
65 | unsigned long AH_last_minute=0; // AH last minute
66 | unsigned long AH_last_sec=0; //AH last second
67 | unsigned char AH_last_minute_IN_OUT=0; // 1 = charge 0 = discharge
68 | unsigned long AH_MASTER; // AH picker *0.44 = AH
69 | unsigned char U_MASTER_CAPACITY; // Capacity created by voltage
70 | // values in percent DOC
71 | unsigned char CURRENT_channel = 0; //used sensor channel (1: chl(low), 2: ch2(high))

73 | /*-----Battery Parameters-----*/
74 | unsigned long CELL_VOLT_MAX=214; // Cell voltage max 2.10V = 210
75 | unsigned long CELL_VOLT_MIN=189; // Cell voltage min 1.88V = 188
76 | unsigned long BATT_CAPACITY=88; // Battery capacity 500Ah = 500

78 | RADIO_FRAME_STRUCT RADIO_frame; // received data frame
79 | RTC_MSP430 RTC_values; // global RTC values

81 | unsigned char global_string[MAX_STRING_LENGTH]; // global command string

83 | //alles für den Flash
84 | unsigned char WRITE_BUF [BUF_SIZE];
85 | unsigned char READ_BUF [BUF_SIZE];
86 | unsigned char Ring_Full;
87 | unsigned short Index_Ring;
88 | unsigned short Count_Ring;
89 | unsigned short Index_Last;

```

```

91 //frame error calculations
92 // int long txErrorCountActual[6];
93 // int long txErrorCountOld[6] = {0,0,0,0,0,0};
94 // int long txError[6][2];
95 unsigned char fer = 0;

98 /*-----
99 MAIN LOOP
100 -----*/
101 int main (void)
102 {
103     unsigned char OSC_error;
104     unsigned char UART_error;

106     RTC_MSP430 RTC_tmp={0,0,0,0};

108 /*-----
109 Set local/global variables
110 -----*/
111     // initialize clock
112     RTC_values.day    = 22;
113     RTC_values.month  = 01;
114     RTC_values.year   = 2009;
115     RTC_values.wday   = TUE;
116     RTC_values.hr     = 23;
117     RTC_values.min    = 59;
118     RTC_values.sec    = 55;

120     Index_Ring = 256;        // default address in flash
121     Index_Last = 256;

123     UART_menu_position = UART_MENU_FIRSTCHAR;
124     Enable_clear_lcd = STATUS;
125     show_sensornmb = 0;
126 /*-----

128     //OSC_error = DCO_set(uc_FREQUENCY);    // internal oscillator
129     OSC_error = XT2_set(uc_FREQUENCY);    // external oscillator
130     // initialize USART, enable RX&TX interrupt and RX&TX modul
131     USART0_init(RX_INT, RX_TX);
132     // initialize PORT direction/function
133     PORTS_init();
134     // initialize 16x2 character LCD
135     LCD_init();
136     // initialize TIMERB, debounce function for button B1-B3
137     // TIMERB_init();
138     // initialize LEDs+Tara value
139     LED1_OFF;
140     LED2_OFF;
141     // global interrupt enable
142     _EINT();
143     //CURRENT_tara = 0;
144     // initialize RTC
145     RTC_startup();
146     // initialize Flash
147     init_Flash();
148     // Initialize radio unit
149     RADIO_init();
150     // read control data from flash?

```

```
151 FLASH_read_at_startup();
152 // display time on LCD
153 LCD_send_time();
154 // stop measurement
155 UART_menu_stop();
156 // switch LEDS off
157 ADC_init();
158 // initialize ADC

160 LED1_OFF;
161 LED2_OFF;
162 while(1)
163 {
164     RTC_compare(&RTC_tmp);
165     // look if real time clock values changed

167     if (BATMON_control_reg & GLOBAL_STRING_RECEIVED)
168     // string from UART received
169     {
170         UART_error = UART0_cmp_string();
171         // compare string with valid commands

173         if (UART_error)
174             UART0_send_text("NOK\r\n");
175         else
176             UART0_send_text("OK\r\n");

178         BATMON_control_reg &= !GLOBAL_STRING_RECEIVED;
179         // clear global value
180     }

182     if (BATMON_control_reg & VALID_DATA_RECEIVED)
183     // data received from sensor
184     {

186         if (scan_mode < 1)
187         {

189             // RADIO_store_frame();
190             // store valid frame in flash
191         }
192         RADIO_enable();
193         // enable radio module
194         if (show_sensornmb == 0)
195         {
196             LCD_send_sensor(RADIO_frame.frame_byte[3], RADIO_frame.frame_byte[6],
197                             RADIO_frame.frame_byte[7]);
198             // show sensor address on LCD was 3
199         }

201         BATMON_control_reg &= !VALID_DATA_RECEIVED;
202         // clear global value
203     }

205     if (BATMON_control_reg & CLEAR_FIRST_LCD_ROW)
206     // show sensor data in first LCD row
207     {

209         LCD_show_voltage(show_sensornmb);
```

```

210     BATMON_control_reg &= !CLEAR_FIRST_LCD_ROW;
211     }

213     if((BATMON_control_reg & B1) ||
214        (BATMON_control_reg & B2))
215         // Button pressed jump into menu
216     {
217         BATMON_control_reg &= ~(B1|B2|B3);
218         // clear button state
219         BATMON_menu_options();
220     }
221     if(BATMON_control_reg & B3)
222         // Button pressed show next info menu
223     {
224         show_sensornmb++;
225         BATMON_control_reg &= (~B3); //clear Button3 flag
226         BATMON_control_reg |= CLEAR_FIRST_LCD_ROW;
227         if (show_sensornmb > (SENSOR_active+6)){
228             show_sensornmb = 0;
229         }
230     }
231 }
232 return (0);
233 }

```

Listing 6: Quellcode des Datenloggers (adc.c)

```

1  /*-----
2  Project:      ADC functions
3  Used components:  MSP430-169STK
4  Date:        11/04/2009
5  Last update:  12/02/2010
6  Author:      Alexander Hoops
7  -----
8
9  -----
10 Headerfiles
11 -----*/
12 #include <ISR.h>
13 #include <main.h>
14 #include <signal.h>
15 #include <msp430x16x.h>
16 #include <MSP_functions.h>
17 #include <ADC.h>
18
19 /*-----
20 Init ADC
21 -----*/
22 void ADC_init(void)
23 /*-----*/
24 {
25     P6SEL = 0x0f; /* P6.0 from P6.3 ADC12 function */
26     ADC12CTL0 = 0x0000;
27     ADC12CTL1 = 0x0000;
28     ADC12MCTL2 = 0x0000;
29     ADC12IE = 0x0000;
30     ADC12CTL1 = CSTARTADD_0 + ADC12DIV_4 + SHP + CONSEQ_3;
31     /* Conv start add = 0, use SH, */
32     ADC12MCTL0 = SREF_1 + INCH_0;
33     ADC12MCTL1 = SREF_1 + INCH_1;

```

```

34  /* Vr+ = Vref+ and Vr- = AVss, Input Channel = A2 */
35  ADC12IE = 0x03;
36  /* enable Interrupt A0-1 */
37  _EINT();
38  ADC12CTL0 = SHT0_12 + REF2_5V + REFON + ADC12ON + MSC;
39  /* SH-Time 1024*ADC12CLK, URef+=2,5V, Uref ON, ADC12 ON */
40  }

42  /*-----
43  Start ADC
44  -----*/
45  void ADC_start(void)
46  /*-----*/
47  {
48  ADC12CTL0 |= ADC12SC + ENC;
49  /* Enable conversion, Start sample and conversion */
50  }

52  /*-----
53  Stop ADC
54  -----*/
55  void ADC_stop(void)
56  /*-----*/
57  {
58  ADC12CTL0 &= ~(ADC12SC + ENC);
59  /* Disable conversion, Start sample and conversion */
60  LED1_OFF;
61  }

63  /*-----
64  Disable ADC
65  -----*/
66  void ADC_disable(void)
67  /*-----*/
68  {
69  ADC12CTL0 &= ~(ADC12ON + REFON);
70  /* ADCOFF + U REF OFF */
71  }

73  /*-----
74  Check BAT
75  -----*/
76  void Check_BAT(void)
77  /*-----*/
78  {
79  unsigned char v, t=0;
80  unsigned long test_value, test_value_2;
81  static unsigned char index_last_minutes_low_consumption = 0;
82  static unsigned char Capacity_write = 0;

85  // check consumption of last minute > 0,2 AH
86  if (AH_last_minute < 20)
87  {
88  index_last_minutes_low_consumption++;
89  if (index_last_minutes_low_consumption >= 3)
90  {
91  index_last_minutes_low_consumption = 3;
92  Capacity_write = 1;
93  // write voltage based cap. in main cap.

```

```

94     }
95   }
96   else
97   {
98     index_last_minutes_low_consumption = 0;
99     Capacity_write = 0;
100  }
101  // find depth cell
102  test_value = (SENSOR_last_data[3][t]<<8);
103  test_value |= (SENSOR_last_data[4][t]);
104
105  for (v=1;v<SENSOR_active;v++)
106  {
107    test_value_2 = (SENSOR_last_data[3][v]<<8);
108    test_value_2 |= (SENSOR_last_data[4][v]);
109    if (test_value_2 < test_value)
110    {
111      t=v;
112      test_value = test_value_2;
113    }
114  }
115
116  // check if lowest is depth discharged => capacity = 0
117  if ((test_value/40.96) < CELL_VOLT_MIN)
118  {
119    U_MASTER_CAPACITY = 0;
120  }
121  // voltage value from lowest sensor over max voltage (charging for example)
122  // capacity = 100
123  else if ((test_value/40.96) > CELL_VOLT_MAX)
124  {
125    U_MASTER_CAPACITY = 100;
126  }
127  // generate capacity based on voltage value from lowest cell
128  else
129  {
130    U_MASTER_CAPACITY = (((test_value/40.96)-CELL_VOLT_MIN)/
131      (CELL_VOLT_MAX-CELL_VOLT_MIN)*100);
132  }
133  // if low current consumption write voltage based capacity to main cap.
134  if (Capacity_write == 1)
135  {
136
137    AH_MASTER = U_MASTER_CAPACITY * BATT_CAPACITY / 44 ;
138    Capacity_write = 0;
139  }
140 }

```

Listing 7: Quellcode des Datenloggers (Flash.c)

```

1  /*-----
2  Project:      MSP430-169STK onboard nand-flash functions
3  Used components:  MSP430-169STK
4  Date:        12/01/2007
5  Last update:  09/05/2008
6  Author:      Tobias Krannich
7  Modified:    Stephan Plaschke
8
9  Modified by:  Alexander Hoops
10 Last modification: 12/02/2010

```

```
11 -----
13 -----
14 Headerfiles
15 -----*/
16 #include <main.h>
17 #include <Flash.h>
18 #include <stdio.h>
19 #include <lcd16x2.h>
20 #include <msp430x16x.h>
21 #include <MSP_functions.h>
22
23
24
25 static unsigned char *FLASH_clear_frame[] = {
26     "
27     " Clear flash "
28 };
29
30 //-----NAND FLASH-----
31 //-----
32 void init_Flash (void)
33 //-----
34 {
35     P2OUT = 0x07;           //NAND FLASH ini
36     P2DIR = 0x1F;
37 }
38
39 //-----
40 // pull flash pins to inactive condition
41 void Inactive_Flash(void)
42 //-----
43 {
44     IO_DIR=INPUT;         //IO is inputs
45     _CE_OFF;              //!=1
46     _RE_OFF;              //!=1
47     _WE_OFF;              //!=1
48     ALE_OFF;              //!=0
49     CLE_OFF;              //!=0
50 }
51
52 //-----
53 void Write_Data(unsigned char a)
54 //-----
55 {
56     IO_DIR=OUTPUT;        //IO is outputs
57     _WE_ON;
58     OUT_PORT=a;
59     _WE_OFF;              //latch data
60 }
61
62 //-----
63 unsigned char Read_Data(void)
64 //-----
65 {
66     unsigned char f;
67     IO_DIR=INPUT;         //IO is inputs
68     _RE_ON;
69     f=IN_PORT;
70     _RE_OFF;              //read data
```

```
71     return (f);
72 }
73
74 //-----
75 unsigned char Programm_Bytes(unsigned char COL_ADD,
76                             unsigned char ROW_ADDL,
77                             unsigned char ROW_ADDH,
78                             unsigned char NUMBER)
79 {
80 //-----
81     unsigned char k, l;
82     Inactive_Flash();
83     CLE_ON;
84     _CE_ON;
85     Write_Data(WRITE_PAGE);
86     CLE_OFF;
87     ALE_ON;
88     Write_Data(COL_ADD);
89     Write_Data(ROW_ADDL);
90     Write_Data(ROW_ADDH);
91     ALE_OFF;
92     for (k=0; k != NUMBER; k++)
93     {
94         l=WRITE_BUF[k];
95         Write_Data(l);
96     }
97     CLE_ON;
98     Write_Data(WRITE_AKN);
99     while ((R_B) == 0);
100    Write_Data(READ_STATUS);
101    CLE_OFF;
102    l = Read_Data();
103    Inactive_Flash();
104    return(l);
105 }
106
107 //-----
108 void Read_Bytes (unsigned char COL_ADD,
109                unsigned char ROW_ADDL,
110                unsigned char ROW_ADDH,
111                unsigned char NUMBER)
112 {
113 //-----
114     unsigned char n, r;
115     Inactive_Flash();
116     CLE_ON;
117     _CE_ON;
118     Write_Data(READ_0);
119     CLE_OFF;
120     ALE_ON;
121     Write_Data(COL_ADD);
122     Write_Data(ROW_ADDL);
123     Write_Data(ROW_ADDH);
124     ALE_OFF;
125     while ((R_B) == 0);
126     for (n=0; n != NUMBER; n++)
127     {
128         r=Read_Data();
129         READ_BUF[n] = r;
130     }
```

```

131     Inactive_Flash();
132 }

134 //-----
135 void Data_Struct_To_Write_Buffer(DATA_STRUCT *pData)
136 //-----
137 {
138     WRITE_BUF[0] = pData->C0;
139     WRITE_BUF[1] = pData->C1;
140     WRITE_BUF[2] = pData->C2;
141     WRITE_BUF[3] = pData->C3;
142     WRITE_BUF[4] = pData->C4;
143     WRITE_BUF[5] = pData->C5;
144     WRITE_BUF[6] = pData->C6;
145     WRITE_BUF[7] = pData->C7;
146     WRITE_BUF[8] = pData->C8;
147     WRITE_BUF[9] = pData->C9;
148     WRITE_BUF[10] = pData->C10;
149     WRITE_BUF[11] = pData->C11;
150     WRITE_BUF[12] = pData->C12;
151     WRITE_BUF[13] = pData->C13;
152     WRITE_BUF[14] = pData->C14;
153     WRITE_BUF[15] = pData->C15;
154 }

156 //-----
157 void Val_To_Data(DATA_STRUCT *pData, unsigned long i)
158 //-----
159 {
160     if(i >= 527)
161     {
162         _NOP();
163     }
164     pData->C0 = (unsigned char)((i>>0) & 0xFF);
165     pData->C1 = (unsigned char)((i>>8) & 0xFF);
166     pData->C2 = (unsigned char)((i>>16) & 0xFF);
167     pData->C3 = (unsigned char)((i>>24) & 0xFF);
168 }

170 //-----
171 // Es wird der Block gelöscht, in dem die Adresse liegt
172 unsigned char Erase_Flash(unsigned char BLOCK_ADDL, unsigned char BLOCK_ADDH)
173 //-----
174 {
175     unsigned char m;
176     Inactive_Flash();
177     CLE_ON;
178     _CE_ON;
179     Write_Data(ERASE_BLOCK);
180     CLE_OFF;
181     ALE_ON;
182     Write_Data(BLOCK_ADDL);
183     Write_Data(BLOCK_ADDH);
184     ALE_OFF;
185     CLE_ON;
186     Write_Data(ERASE_AKN);
187     while((R_B) == 0);
188     Write_Data(READ_STATUS);
189     CLE_OFF;
190     m = Read_Data();

```

```

191     Inactive_Flash();
192     return (m);
193 }

195 //-----
196 DATA_STRUCT * Read_Ring_Flash(void)
197 //-----
198 {
199     //unsigned short Index_Last = 0;
200     unsigned short ADD = 0;
201     unsigned char ADDH = 0;
202     unsigned char ADDL = 0;
203     unsigned char COL = 0;
204     static DATA_STRUCT Data = {0,0,0,0,0,0,0,0,0,0,0,0,0,0,0,0};
205     DATA_STRUCT *pData = &Data;

207     // Letztes Element im Ringbuffer ermitteln
208     if(Ring_Full == 0) // Ringbuffer hatte noch keinen Überlauf
209     {
210         // Keine Daten im Ringspeicher???
211         if(Count_Ring == 0)
212         {
213             return NULL;
214         }
215         Index_Last = Index_Ring - Count_Ring;
216     }
217     else // Es gab schon einen Überlauf -> lese ab dem ersten Struct
218     {
219         // Keine Daten im Ringspeicher???
220         if((Count_Ring - 255) == 0) //
221         {
222             return NULL;
223         }
224         Index_Last = Index_Ring - (Count_Ring + 1 - 255)/* -
225         (Index_Ring%256)*/; // +1 um auf 0x10000 zu kommen
226     }
227     Count_Ring--;

229     // Adresse berechnen
230     ADD = Index_Last / 16;
231     COL = Index_Last % 16;
232     ADDL = (unsigned char)(ADD & 0xFF);
233     ADDH = (unsigned char)((ADD>>8) & 0xFF);

235     // Speicher auslesen
236     Read_Bytes(COL*16, ADDL, ADDH, BUF_SIZE);

238     // Read_BUF in das Datenstruct schreiben
239     pData->C0 = READ_BUF[0];
240     pData->C1 = READ_BUF[1];
241     pData->C2 = READ_BUF[2];
242     pData->C3 = READ_BUF[3];
243     pData->C4 = READ_BUF[4];
244     pData->C5 = READ_BUF[5];
245     pData->C6 = READ_BUF[6];
246     pData->C7 = READ_BUF[7];
247     pData->C8 = READ_BUF[8];
248     pData->C9 = READ_BUF[9];
249     pData->C10 = READ_BUF[10];
250     pData->C11 = READ_BUF[11];

```

```
251   pData->C12 = READ_BUF[12];
252   pData->C13 = READ_BUF[13];
253   pData->C14 = READ_BUF[14];
254   pData->C15 = READ_BUF[15];

257   return pData;
258 }

260 //-----
261 //-----
262 //   These functions are modified/created by Stephan Plaschke
263 //-----
264 //-----

266 //-----
267 void Erase_Flash_All(void)
268 //-----
269 {
270   int i = 0;
271   unsigned char j=0;
272   unsigned char ADDL;
273   unsigned char ADDH;

275   // show splash screen on LCD and send via UART
276   LCD_send_cmd(LCD_LINE1);
277   LCD_send_text(FLASH_clear_frame[1]);
278   UART0_send(' ');

280   for(i=0; i<0x1000; i++)
281   {
282     //ADD = i * 16;
283     ADDL = (unsigned char)(i & 0xFF);
284     ADDH = (unsigned char)((i>>8) & 0xFF);
285     Erase_Flash(ADDL,ADDH);

287     // show splash screen on LCD and send via UART
288     if (!(i%200))
289     {
290       if(j^=0x01)
291       {
292         LCD_send_cmd(LCD_LINE1);
293         LCD_send_text(FLASH_clear_frame[1]);
294         UART0_send(' ');
295       }
296       else
297       {
298         LCD_send_cmd(LCD_LINE1);
299         LCD_send_text(FLASH_clear_frame[0]);
300       }
301     }
302   }
303   // set all index to the first frame in flash
304   Count_Ring = 0;
305   Ring_Full = 0;
306   // set pointer on the address 256, first block used for controll data
307   Index_Ring = 256;
308   Index_Last = 256;

310   LCD_send_cmd(LCD_LINE1);
```

```

311 LCD_send_text (FLASH_clear_frame[0]);
312 UART0_send_text ("\r\n");

314 RADIO_init_frame(); // set first frame
315 }

317 //-----
318 void Write_Ring_Flash(DATA_STRUCT *pData)
319 //-----
320 {
321     unsigned char ADDL;
322     unsigned char ADDH;
323     unsigned short ADD;
324     unsigned char COL;

327     ADD = Index_Ring / 16;
328     COL = Index_Ring % 16;
329     ADDL = (unsigned char) (ADD & 0xFF);
330     ADDH = (unsigned char) ((ADD>>8) & 0xFF);

332     // Lösche den nächsten Block
333     if( (Index_Ring%256) == 0)
334     {
335         Erase_Flash(ADDL,ADDH);
336     }

338     Data_Struct_To_Write_Buffer(pData);
339     Programm_Bytes(COL*16,ADDL,ADDH,BUF_SIZE);

341     if(Count_Ring < 65279) // address space: 65535 - 256
342     {
343         Count_Ring++;
344     }
345     else
346     {
347         Ring_Full = 1;
348     }

350     Index_Ring++;
351     if(Index_Ring >= 65535)
352     {
353         Index_Ring = 256;
354         // set pointer on the address 256, first block used for controll data
355     }
356 }

358 //-----
359 void FLASH_Write_Controller_Data(void)
360 //-----
361 {
362     Erase_Flash(0,0);

364     WRITE_BUF[0] = (unsigned char) (Index_Ring >> 8);
365     WRITE_BUF[1] = (unsigned char) Index_Ring;
366     WRITE_BUF[2] = (unsigned char) (Index_Last >> 8);
367     WRITE_BUF[3] = (unsigned char) Index_Last;
368     WRITE_BUF[4] = (unsigned char) (Count_Ring >> 8);
369     WRITE_BUF[5] = (unsigned char) Count_Ring;
370     WRITE_BUF[6] = Ring_Full;

```

```
371 WRITE_BUF[7] = SENSOR_active;
372 WRITE_BUF[8] = SENSOR_address[0];
373 WRITE_BUF[9] = SENSOR_address[1];
374 WRITE_BUF[10] = SENSOR_address[2];
375 WRITE_BUF[11] = SENSOR_address[3];
376 WRITE_BUF[12] = SENSOR_address[4];
377 WRITE_BUF[13] = SENSOR_address[5];
378 WRITE_BUF[14] = SENSOR_address[6];
379 WRITE_BUF[15] = SENSOR_address[7];

381 Programm_Bytes(0,0,0,BUF_SIZE);

383 WRITE_BUF[0] = SENSOR_address[8];
384 WRITE_BUF[1] = SENSOR_address[9];
385 WRITE_BUF[2] = SENSOR_address[10];
386 WRITE_BUF[3] = SENSOR_address[11];
387 WRITE_BUF[4] = SENSOR_address[12];
388 WRITE_BUF[5] = SENSOR_address[13];
389 WRITE_BUF[6] = SENSOR_address[14];
390 WRITE_BUF[7] = SENSOR_address[15];
391 WRITE_BUF[8] = SENSOR_address[16];
392 WRITE_BUF[9] = SENSOR_address[17];
393 WRITE_BUF[10] = SENSOR_address[18];
394 WRITE_BUF[11] = SENSOR_address[19];
395 WRITE_BUF[12] = SENSOR_address[20];
396 WRITE_BUF[13] = SENSOR_address[21];
397 WRITE_BUF[14] = SENSOR_address[22];
398 WRITE_BUF[15] = SENSOR_address[23];

400 Programm_Bytes(0,1,0,BUF_SIZE);

402 WRITE_BUF[0] = SENSOR_address[24];
403 WRITE_BUF[1] = SENSOR_address[25];
404 WRITE_BUF[2] = SENSOR_address[26];
405 WRITE_BUF[3] = SENSOR_address[27];
406 WRITE_BUF[4] = SENSOR_address[28];
407 WRITE_BUF[5] = SENSOR_address[29];
408 WRITE_BUF[6] = SENSOR_address[30];
409 WRITE_BUF[7] = SENSOR_address[31];
410 WRITE_BUF[8] = SENSOR_address[32];
411 WRITE_BUF[9] = SENSOR_address[33];
412 WRITE_BUF[10] = SENSOR_address[34];
413 WRITE_BUF[11] = SENSOR_address[35];
414 WRITE_BUF[12] = SENSOR_address[36];
415 WRITE_BUF[13] = SENSOR_address[37];
416 WRITE_BUF[14] = SENSOR_address[38];
417 WRITE_BUF[15] = SENSOR_address[39];

419 Programm_Bytes(0,2,0,BUF_SIZE);

421 WRITE_BUF[0] = SENSOR_temp_cal_b[1];
422 WRITE_BUF[1] = SENSOR_temp_cal_b[2];
423 WRITE_BUF[2] = SENSOR_temp_cal_b[3];
424 WRITE_BUF[3] = SENSOR_temp_cal_b[4];
425 WRITE_BUF[4] = SENSOR_temp_cal_b[5];
426 WRITE_BUF[5] = SENSOR_temp_cal_b[6];
427 WRITE_BUF[6] = SENSOR_temp_cal_b[7];
428 WRITE_BUF[7] = SENSOR_temp_cal_b[8];
429 WRITE_BUF[8] = SENSOR_temp_cal_b[9];
430 WRITE_BUF[9] = SENSOR_temp_cal_b[10];
```

```
431 WRITE_BUF[10] = SENSOR_temp_cal_b[11];
432 WRITE_BUF[11] = SENSOR_temp_cal_b[12];
433 WRITE_BUF[12] = SENSOR_temp_cal_b[13];
434 WRITE_BUF[13] = SENSOR_temp_cal_b[14];
435 WRITE_BUF[14] = SENSOR_temp_cal_b[15];
436 WRITE_BUF[15] = SENSOR_temp_cal_b[16];

438 Programm_Bytes(0,3,0,BUF_SIZE);

440 WRITE_BUF[0] = SENSOR_temp_cal_b[17];
441 WRITE_BUF[1] = SENSOR_temp_cal_b[18];
442 WRITE_BUF[2] = SENSOR_temp_cal_b[19];
443 WRITE_BUF[3] = SENSOR_temp_cal_b[20];
444 WRITE_BUF[4] = SENSOR_temp_cal_b[21];
445 WRITE_BUF[5] = SENSOR_temp_cal_b[22];
446 WRITE_BUF[6] = SENSOR_temp_cal_b[23];
447 WRITE_BUF[7] = SENSOR_temp_cal_b[24];
448 WRITE_BUF[8] = SENSOR_temp_cal_b[25];
449 WRITE_BUF[9] = SENSOR_temp_cal_b[26];
450 WRITE_BUF[10] = SENSOR_temp_cal_b[27];
451 WRITE_BUF[11] = SENSOR_temp_cal_b[28];
452 WRITE_BUF[12] = SENSOR_temp_cal_b[29];
453 WRITE_BUF[13] = SENSOR_temp_cal_b[30];
454 WRITE_BUF[14] = SENSOR_temp_cal_b[31];
455 WRITE_BUF[15] = SENSOR_temp_cal_b[32];

457 Programm_Bytes(0,4,0,BUF_SIZE);

459 WRITE_BUF[0] = SENSOR_temp_cal_b[33];
460 WRITE_BUF[1] = SENSOR_temp_cal_b[34];
461 WRITE_BUF[2] = SENSOR_temp_cal_b[35];
462 WRITE_BUF[3] = SENSOR_temp_cal_b[36];
463 WRITE_BUF[4] = SENSOR_temp_cal_b[37];
464 WRITE_BUF[5] = SENSOR_temp_cal_b[38];
465 WRITE_BUF[6] = SENSOR_temp_cal_b[39];
466 WRITE_BUF[7] = SENSOR_temp_cal_b[40];
467 WRITE_BUF[8] = (unsigned char)(AH_MASTER>>8);
468 WRITE_BUF[9] = (unsigned char)AH_MASTER;
469 WRITE_BUF[10] = (unsigned char)(CELL_VOLT_MAX>>8);
470 WRITE_BUF[11] = (unsigned char)CELL_VOLT_MAX;
471 WRITE_BUF[12] = (unsigned char)(CELL_VOLT_MIN>>8);
472 WRITE_BUF[13] = (unsigned char)CELL_VOLT_MIN;
473 WRITE_BUF[14] = (unsigned char)(BATT_CAPACITY>>8);
474 WRITE_BUF[15] = (unsigned char)BATT_CAPACITY;

476 Programm_Bytes(0,5,0,BUF_SIZE);

478 WRITE_BUF[0] = (unsigned char)(CURRENT_tara>>8);
479 WRITE_BUF[1] = (unsigned char)CURRENT_tara;
480 WRITE_BUF[2] = CURRENT_INVERT;
481 WRITE_BUF[3] = 0;
482 WRITE_BUF[4] = 0;
483 WRITE_BUF[5] = 0;
484 WRITE_BUF[6] = 0;
485 WRITE_BUF[7] = 0;
486 WRITE_BUF[8] = 0;
487 WRITE_BUF[9] = 0;
488 WRITE_BUF[10] = 0;
489 WRITE_BUF[11] = 0;
490 WRITE_BUF[12] = 0;
```

```
491 WRITE_BUF[13] = 0;
492 WRITE_BUF[14] = 0;
493 WRITE_BUF[15] = 0;

495 Programm_Bytes(0,6,0,BUF_SIZE);

497 }
498 //-----
499 void FLASH_Read_ControlData(void)
500 //-----
501 {
502     //unsigned short i;
503     // Speicher auslesen
504     Read_Bytes(0,0,0,BUF_SIZE);

506     Index_Ring      = (READ_BUF[0] << 8) | READ_BUF[1];
507     Index_Last     = (READ_BUF[2] << 8) | READ_BUF[3];
508     Count_Ring     = (READ_BUF[4] << 8) | READ_BUF[5];
509     Ring_Full      = READ_BUF[6];
510     SENSOR_active  = READ_BUF[7];
511     SENSOR_address[0] = READ_BUF[8];
512     SENSOR_address[1] = READ_BUF[9];
513     SENSOR_address[2] = READ_BUF[10];
514     SENSOR_address[3] = READ_BUF[11];
515     SENSOR_address[4] = READ_BUF[12];
516     SENSOR_address[5] = READ_BUF[13];
517     SENSOR_address[6] = READ_BUF[14];
518     SENSOR_address[7] = READ_BUF[15];

520     // Speicher auslesen
521     Read_Bytes(0,1,0,BUF_SIZE);

523     SENSOR_address[8] = READ_BUF[0];
524     SENSOR_address[9] = READ_BUF[1];
525     SENSOR_address[10] = READ_BUF[2];
526     SENSOR_address[11] = READ_BUF[3];
527     SENSOR_address[12] = READ_BUF[4];
528     SENSOR_address[13] = READ_BUF[5];
529     SENSOR_address[14] = READ_BUF[6];
530     SENSOR_address[15] = READ_BUF[7];
531     SENSOR_address[16] = READ_BUF[8];
532     SENSOR_address[17] = READ_BUF[9];
533     SENSOR_address[18] = READ_BUF[10];
534     SENSOR_address[19] = READ_BUF[11];
535     SENSOR_address[20] = READ_BUF[12];
536     SENSOR_address[21] = READ_BUF[13];
537     SENSOR_address[22] = READ_BUF[14];
538     SENSOR_address[23] = READ_BUF[15];

540     // Speicher auslesen
541     Read_Bytes(0,2,0,BUF_SIZE);

543     SENSOR_address[24] = READ_BUF[0];
544     SENSOR_address[25] = READ_BUF[1];
545     SENSOR_address[26] = READ_BUF[2];
546     SENSOR_address[27] = READ_BUF[3];
547     SENSOR_address[28] = READ_BUF[4];
548     SENSOR_address[29] = READ_BUF[5];
549     SENSOR_address[30] = READ_BUF[6];
550     SENSOR_address[31] = READ_BUF[7];
```

```
551 SENSOR_address[32] = READ_BUF[8];
552 SENSOR_address[33] = READ_BUF[9];
553 SENSOR_address[34] = READ_BUF[10];
554 SENSOR_address[35] = READ_BUF[11];
555 SENSOR_address[36] = READ_BUF[12];
556 SENSOR_address[37] = READ_BUF[13];
557 SENSOR_address[38] = READ_BUF[14];
558 SENSOR_address[39] = READ_BUF[15];

560 // Speicher auslesen
561 Read_Bytes(0,3,0,BUF_SIZE);

563 SENSOR_temp_cal_b[1] = READ_BUF[0];
564 SENSOR_temp_cal_b[2] = READ_BUF[1];
565 SENSOR_temp_cal_b[3] = READ_BUF[2];
566 SENSOR_temp_cal_b[4] = READ_BUF[3];
567 SENSOR_temp_cal_b[5] = READ_BUF[4];
568 SENSOR_temp_cal_b[6] = READ_BUF[5];
569 SENSOR_temp_cal_b[7] = READ_BUF[6];
570 SENSOR_temp_cal_b[8] = READ_BUF[7];
571 SENSOR_temp_cal_b[9] = READ_BUF[8];
572 SENSOR_temp_cal_b[10] = READ_BUF[9];
573 SENSOR_temp_cal_b[11] = READ_BUF[10];
574 SENSOR_temp_cal_b[12] = READ_BUF[11];
575 SENSOR_temp_cal_b[13] = READ_BUF[12];
576 SENSOR_temp_cal_b[14] = READ_BUF[13];
577 SENSOR_temp_cal_b[15] = READ_BUF[14];
578 SENSOR_temp_cal_b[16] = READ_BUF[15];

580 // Speicher auslesen
581 Read_Bytes(0,4,0,BUF_SIZE);

583 SENSOR_temp_cal_b[17] = READ_BUF[0];
584 SENSOR_temp_cal_b[18] = READ_BUF[1];
585 SENSOR_temp_cal_b[19] = READ_BUF[2];
586 SENSOR_temp_cal_b[20] = READ_BUF[3];
587 SENSOR_temp_cal_b[21] = READ_BUF[4];
588 SENSOR_temp_cal_b[22] = READ_BUF[5];
589 SENSOR_temp_cal_b[23] = READ_BUF[6];
590 SENSOR_temp_cal_b[24] = READ_BUF[7];
591 SENSOR_temp_cal_b[25] = READ_BUF[8];
592 SENSOR_temp_cal_b[26] = READ_BUF[9];
593 SENSOR_temp_cal_b[27] = READ_BUF[10];
594 SENSOR_temp_cal_b[28] = READ_BUF[11];
595 SENSOR_temp_cal_b[29] = READ_BUF[12];
596 SENSOR_temp_cal_b[30] = READ_BUF[13];
597 SENSOR_temp_cal_b[31] = READ_BUF[14];
598 SENSOR_temp_cal_b[32] = READ_BUF[15];

600 // Speicher auslesen
601 Read_Bytes(0,5,0,BUF_SIZE);

603 SENSOR_temp_cal_b[33] = READ_BUF[0];
604 SENSOR_temp_cal_b[34] = READ_BUF[1];
605 SENSOR_temp_cal_b[35] = READ_BUF[2];
606 SENSOR_temp_cal_b[36] = READ_BUF[3];
607 SENSOR_temp_cal_b[37] = READ_BUF[4];
608 SENSOR_temp_cal_b[38] = READ_BUF[5];
609 SENSOR_temp_cal_b[39] = READ_BUF[6];
610 SENSOR_temp_cal_b[40] = READ_BUF[7];
```

```

611 AH_MASTER          = (READ_BUF[8]<<8) | READ_BUF[9];
612 CELL_VOLT_MAX     = (READ_BUF[10]<<8) | READ_BUF[11];
613 CELL_VOLT_MIN     = (READ_BUF[12]<<8) | READ_BUF[13];
614 BATT_CAPACITY     = (READ_BUF[14]<<8) | READ_BUF[15];

616 // Speicher auslesen
617 Read_Bytes(0,6,0,BUF_SIZE);

619 CURRENT_tara      = (READ_BUF[0]<<8) | READ_BUF[1];
620 CURRENT_INVERT    = READ_BUF[2];
621 // 0 = READ_BUF[3];
622 // 0 = READ_BUF[4];
623 // 0 = READ_BUF[5];
624 // 0 = READ_BUF[6];
625 // 0 = READ_BUF[7];
626 // 0 = READ_BUF[8];
627 // 0 = READ_BUF[9];
628 // 0 = READ_BUF[10];
629 // 0 = READ_BUF[11];
630 // 0 = READ_BUF[12];
631 // 0 = READ_BUF[13];
632 // 0 = READ_BUF[14];
633 // 0 = READ_BUF[15];
634 // 0 = READ_BUF[16];

636 }

638 /*-----
639 read data at startup
640 -----*/
641 void FLASH_read_at_startup(void)
642 /*-----
643 {
644 LCD_send_cmd(LCD_LINE1);
645 LCD_send_text("Read contr.data ");
646 LCD_send_cmd(LCD_LINE2);
647 LCD_send_text("YES NO ");

649 while(1)
650 {
651     if(BATMON_control_reg & B1)
652         // Button 1 = YES, read controll data from flash
653         {
654             UART0_send_text("Read data\r\n");
655             FLASH_Read_Controll_Data();
656             BATMON_control_reg &= ~(B1|B2|B3);
657             // clear button state
658             break;
659             // exit while loop
660         }
661     if(BATMON_control_reg & B2)
662         // Button 2 = NO, write init sequence
663         {
664             RADIO_init_frame();
665             // write first frame with actual time and 0 as data
666             BATMON_control_reg &= ~(B1|B2|B3);
667             // clear button state
668             break;
669             // exit while loop
670         }

```

```
671 }
672 }
```

Listing 8: Quellcode des Datenloggers (ISR.c)

```
1  /*-----
2  Project:      ISR functions
3  Used components:  MSP430-169STK
4  Date:        12/15/2007
5  Last update:  04/04/2008
6  Author:      Stephan Plaschke
7
8  Modified by:  Alexander Hoops
9  Last modification: 12/02/2010
10 Modified by:  Simon Püttjer
11 Last modification: 05/05/2011
12 -----
13
14 -----
15 Headerfiles
16 -----*/
17 #include <ISR.h>
18 #include <ADC.h>
19 #include <main.h>
20 #include <signal.h>
21 #include <stdio.h>
22 #include <lcd16x2.h>
23 #include <msp430x16x.h>
24 #include <MSP_functions.h>
25 #include <uart_menu.h>
26 #include <math.h>
27
28 /*-----
29 Global variables
30 -----*/
31 extern unsigned char BUTTON_state; // actual button state
32 unsigned char BATMON_control_reg; //control register
33 extern unsigned char RADIO_rx_state; // data receive state
34 extern unsigned char global_string[MAX_STRING_LENGTH];
35 extern RADIO_FRAME_STRUCT RADIO_frame; // received data frame
36 extern unsigned char SENSOR_addr_req[5]; // required sensor addresses
37 extern unsigned char SENSOR_addr_receiv[5]; // check all sensors send value
38 extern unsigned char SENSOR_address[40]; // stored sensor addresses
39 extern unsigned char SENSOR_last_data[8][40]; // last received data from each sensor
40 extern unsigned char CURRENT_INVERT; // variable to setup sensor
41 extern unsigned long CURRENT_last_data; //stored current value
42 extern unsigned char CURRENT_IN_OUT; // 1 = charge 0 = discharge
43 extern unsigned long AH_last_minute; // AH last minute
44 extern unsigned long AH_last_sec; // AH last second
45 extern unsigned char AH_last_minute_IN_OUT; // 1 = charge 0 = discharge
46 extern unsigned long AH_MASTER; // AH picker
47 extern unsigned char scan_mode; // scan mode => 1
48 extern unsigned long temp_correct_value; // temp value for calibration
49 extern signed char SENSOR_temp_cal_b[41]; // Sensor calibration data b
50
51 extern unsigned long CELL_VOLT_MAX; // Cell voltage max 2.78V = 278
52 extern unsigned long CELL_VOLT_MIN; // Cell voltage min 1.88V = 188
53 extern unsigned long BATT_CAPACITY; // Battery capacity 500Ah = 500
54 extern unsigned char SENSOR_low; // Sensor under min voltage
55 extern unsigned char SOC; // State of charge
```

```

56 extern unsigned char SOH; // State of health
57 extern int long lost_frames[6]; //number of lost frames for each sensor
58 extern unsigned char fer; //Frame error calc. control register

60 extern unsigned char CURRENT_channel;

62 //calculate current frame error
63 //-----
64 void countFER(unsigned char sensor_number, unsigned char crc_error,
65 unsigned short bit_too_long, unsigned short bit_too_short,
66 unsigned short wrong_RunIn) {

68 volatile short lost_frames = 0;
69 unsigned short temp_error = 0, temp_error_old = 0;

71 switch (fer) {

73 //init frame error calc.
74 case 1:
75     fer = 2;
76     //frame error calc.
77 case 2:
78     temp_error = (short) (RADIO_frame.frame_byte[1]);
79     temp_error <<= 8;
80     temp_error |= (short) (RADIO_frame.frame_byte[2]);
81     temp_error_old = (short) (SENSOR_last_data[1][sensor_number]);
82     temp_error_old <<= 8;
83     temp_error_old |= (short) (SENSOR_last_data[2][sensor_number]);

85     //lost frames is the difference of the current and the last transmission count
86     lost_frames = temp_error - temp_error_old - 1;

88     //matlab binblock protocoll #<N><D><A>
89     UART0_send('#'); //doublecross terminates transmission
90     UART0_send('2'); //number of digits that follows in D
91     UART0_send('1'); //number of bytes that follows in A
92     UART0_send('0');
93     UART0_send(SENSOR_address[sensor_number]);
94     UART0_send((unsigned char) (bit_too_long >> 8));
95     UART0_send((unsigned char) (bit_too_long & 0x00FF));
96     UART0_send((unsigned char) (bit_too_short >> 8));
97     UART0_send((unsigned char) (bit_too_short & 0x00FF));
98     UART0_send((unsigned char) (wrong_RunIn >> 8));
99     UART0_send((unsigned char) (wrong_RunIn & 0x00FF));
100    UART0_send((unsigned char) (lost_frames >> 8));
101    UART0_send((unsigned char) (lost_frames & 0x00FF));
102    UART0_send(crc_error);

104    //send new line
105    UART0_send_text ("\n");

108    break;
109 default:
110     fer = 0;
111 }

113 }

115 //-----

```



```
176 {
177     case SE_SEQ_PREPARE:
178
179         // first interrupt, nothing to do
180         RADIO_frame.frame_bit_counter = 0; // actual bit position
181         RADIO_frame.frame_byte_counter = 0; // actual byte in frame
182         BATMON_control_reg &= !VALID_DATA_RECEIVED; // clear global value
183         RADIO_rx_state = SE_SEQ_START; //start sequence next time
184         //break; // exit switch-case block
185
186     case SE_SEQ_START:
187         // look if start sequence detected, SoF width is 700..1200us
188         if((RADIO_capture_interval < START_SEQ_LENGTH_MAX)
189             && (RADIO_capture_interval > START_SEQ_LENGTH_MIN))
190         {
191             RADIO_rx_state = SE_SEQ_PRE_WAIT; //set wait flag
192             RADIO_capture_counter = 14;
193             // waitcounter 14 bit until second byte received
194         }
195         break; // exit switch-case block
196
197     case SE_SEQ_PRE_WAIT:
198         // check next 14 bits for valid length
199         /*if((RADIO_capture_interval < TWO_BIT_LENGTH)
200             && (RADIO_capture_interval > ONE_BIT_LENGTH))
201         {
202             RADIO_capture_counter--;
203             if(RADIO_capture_counter == 0)
204                 RADIO_rx_state = SE_SEQ_DATA_START;
205         }
206         else {
207             RADIO_rx_state = SE_SEQ_PREPARE;
208             break;
209         }*/
210
211         RADIO_capture_counter--;
212
213         //calibrate bitrate - cal. bit pattern is 0x00,0x01
214         //
215
216         if (RADIO_capture_counter == 0)
217         {
218             RADIO_bit_length += RADIO_capture_interval;
219             RADIO_bit_length /= 2;
220
221             RADIO_one_bit_length = RADIO_bit_length - 50;
222             RADIO_two_bit_length = RADIO_bit_length + 50;
223             RADIO_three_bit_length = RADIO_bit_length * 2 - 50;
224             RADIO_four_bit_length = RADIO_bit_length * 2 + 50;
225
226             RADIO_rx_state = SE_SEQ_DATA_START;
227         }
228         else
229         {
230             //floating average?
231             RADIO_bit_length += RADIO_capture_interval;
232             RADIO_bit_length /= 2;
233         }
234
235         break; // exit switch-case block
```

```
237 case SE_SEQ_DATA_START:
238     // end of second byte (cal. pattern), check second byte (detect a '1' at the end)

240     //min < bitwidth < max double bitwidth --> '10' is detected case
241     if((RADIO_capture_interval < RADIO_four_bit_length)
242         && (RADIO_capture_interval > RADIO_three_bit_length))
243     {
244         RADIO_rx_state = SE_SEQ_RXDATA;
245         //enable receive data flag
246         RADIO_frame.frame_bit_counter = 1;
247         // actual bit position
248         RADIO_frame.frame_byte_counter = 0;
249         // actual byte in frame
250         RADIO_frame.frame_last_bit = 0;
251         // last bit state, equals actual bit
252         RADIO_frame.frame_byte[0] = 0x00;
253         // set actual bit
254     }
255     //nothing detected
256     else
257         RADIO_rx_state = SE_SEQ_PREPARE;
258         // second byte not 0x01, error
259         wrong_RunIn++;
260     break; // exit switch-case block

262 case SE_SEQ_RXDATA:
263     // receive data, for this cases see documentation

265     if(RADIO_capture_interval < RADIO_one_bit_length)
266         // intervall to short, exit
267     {
268         bit_too_short++;
269         RADIO_rx_state = SE_SEQ_PREPARE; //error start again
270         break; // exit switch-case block
271     }

273     else if(RADIO_capture_interval < RADIO_two_bit_length)
274         // same value like the one before
275     {
276         RADIO_frame.frame_byte_counter = RADIO_frame.frame_bit_counter / 8; //count every
           8 bit up
277         RADIO_frame.frame_byte[RADIO_frame.frame_byte_counter] <<= 1; //go to next bit
278         RADIO_frame.frame_byte[RADIO_frame.frame_byte_counter] |= RADIO_frame.
           frame_last_bit; //set bit
279         RADIO_frame.frame_bit_counter++; //count up bit counter
280     }

282     else if(RADIO_capture_interval < RADIO_three_bit_length)
283     {
284         if(RADIO_frame.frame_last_bit)
285             // a one and a following zero detected '10'
286         {
287             //set the '1'
288             RADIO_frame.frame_byte_counter = RADIO_frame.frame_bit_counter / 8;
289             RADIO_frame.frame_byte[RADIO_frame.frame_byte_counter]<<= 1;
290             RADIO_frame.frame_byte[RADIO_frame.frame_byte_counter] |= 0x01; //set bit
291             RADIO_frame.frame_bit_counter++;

293             //set the '0'
```

```
294     RADIO_frame.frame_byte_counter = RADIO_frame.frame_bit_counter / 8;
295     RADIO_frame.frame_byte[RADIO_frame.frame_byte_counter] <<= 1;
296     RADIO_frame.frame_last_bit = 0;
297     RADIO_frame.frame_bit_counter++;
298 }
299 else // a '1' detected
300 {
301     RADIO_frame.frame_byte_counter = RADIO_frame.frame_bit_counter / 8;
302     RADIO_frame.frame_byte[RADIO_frame.frame_byte_counter] <<= 1;
303     RADIO_frame.frame_byte[RADIO_frame.frame_byte_counter] |= 0x01;
304     RADIO_frame.frame_last_bit = 1;
305     RADIO_frame.frame_bit_counter++;
306 }
307 }
308
309 else if(RADIO_capture_interval < RADIO_four_bit_length)
310 // a one with a following zero detected '10'
311 {
312 //set the '1'
313     RADIO_frame.frame_byte_counter = RADIO_frame.frame_bit_counter / 8;
314     RADIO_frame.frame_byte[RADIO_frame.frame_byte_counter] <<= 1;
315     RADIO_frame.frame_byte[RADIO_frame.frame_byte_counter] |= 0x01;
316     RADIO_frame.frame_bit_counter++;
317
318 //set the '0'
319     RADIO_frame.frame_byte_counter = RADIO_frame.frame_bit_counter / 8;
320     RADIO_frame.frame_byte[RADIO_frame.frame_byte_counter] <<= 1;
321     RADIO_frame.frame_bit_counter++;
322 }
323
324 else // intervall to long, exit with error
325 {
326     if (RADIO_frame.frame_bit_counter == 87)
327 // last byte(CRC) is odd
328     {
329         RADIO_frame.frame_byte_counter = RADIO_frame.frame_bit_counter / 8;
330         RADIO_frame.frame_byte[RADIO_frame.frame_byte_counter] <<= 1;
331         RADIO_frame.frame_byte[RADIO_frame.frame_byte_counter] |= 0x01;
332         RADIO_frame.frame_bit_counter++;
333     }
334 //error
335     else
336     {
337         RADIO_rx_state = SE_SEQ_PREPARE;
338         bit_too_long++;
339         break; // exit switch-case block
340     }
341 }
342
343 if (RADIO_frame.frame_bit_counter == 88)
344 // end of bitstream
345 {
346     i=0; // init address counter
347
348 //scan mode
349 //-----
350     if (scan_mode == 1)
351 // Scan mode started
352     {
```

```
353     while((SENSOR_address[i] != 0) && (SENSOR_address[i] != RADIO_frame.frame_byte
354           [3]))
355     // check if address valid ( if it is already existent ), skip Address 0
356     {
357         i++;
358     }
359
360     //Sensor not yet existant - print info to uart
361     if (SENSOR_address[i] != RADIO_frame.frame_byte[3])
362     {
363         PRINTF_UART;
364         printf("Sensor: %2x => Adresse: %2x\r\n",
365               i+1, RADIO_frame.frame_byte[3]);
366     }
367
368     SENSOR_address[i] = RADIO_frame.frame_byte[3]; //save sensor address
369
370     //desired number of sensors found
371     if (i >= SENSOR_active-1)
372     {
373         scan_mode = 0; //stop scan mode
374         LCD_send_cmd(LCD_LINE1);
375         UART_menu_stop();
376         // disable radio unit
377         LCD_send_text(" Scan complete ");
378         UART0_send_text("Scan complete \r\n");
379         BATMON_control_reg &= ~VALID_DATA_RECEIVED;
380         // set global value
381         FLASH_Write_ControlData(); //write gathered control data to flash
382         RADIO_disable(); //stop reveiver
383         for (i=0; i<SENSOR_active; i++)
384         {
385             SENSOR_last_data[0][i] = SENSOR_address[i];
386         }
387         // set sensors active
388
389         switch(SENSOR_active)
390         {
391             case 12:
392                 SENSOR_addr_req[0] = 0xFF;
393                 // 12 sensors are configured
394                 SENSOR_addr_req[1] = 0x0F;
395                 SENSOR_addr_receiv[0] = 0xFF;
396                 SENSOR_addr_receiv[1] = 0x0F;
397                 break;
398             case 24:
399                 SENSOR_addr_req[0] = 0xFF;
400                 // 24 sensors are configured
401                 SENSOR_addr_req[1] = 0xFF;
402                 SENSOR_addr_req[2] = 0xFF;
403                 SENSOR_addr_req[3] = 0x00;
404                 SENSOR_addr_req[4] = 0x00;
405                 SENSOR_addr_receiv[0] = 0xFF;
406                 SENSOR_addr_receiv[1] = 0xFF;
407                 SENSOR_addr_receiv[2] = 0xFF;
408                 SENSOR_addr_receiv[3] = 0x00;
409                 SENSOR_addr_receiv[4] = 0x00;
410                 break;
411             case 40:
412                 SENSOR_addr_req[0] = 0xFF;
```

```

412         // 40 sensors are configured
413         SENSOR_addr_req[1] = 0xFF;
414         SENSOR_addr_req[2] = 0xFF;
415         SENSOR_addr_req[3] = 0xFF;
416         SENSOR_addr_req[4] = 0xFF;
417         SENSOR_addr_receiv[0] = 0xFF;
418         SENSOR_addr_receiv[1] = 0xFF;
419         SENSOR_addr_receiv[2] = 0xFF;
420         SENSOR_addr_receiv[3] = 0xFF;
421         SENSOR_addr_receiv[4] = 0xFF;
422         break;
423     default:
424         SENSOR_addr_req[0] = 0x3F;
425         // 6 sensors are configured
426         SENSOR_addr_receiv[0] = 0x3F;
427         break;
428     }
429 }
430 //-----
431 }
432 else if(scan_mode == 2)
433     // Calibration initialization
434     //-----
435     {
436         //clear temp variables
437         for (sens=0;sens<41;sens++)
438         {
439             Temp_cal_counter[sens]=0;
440         }
441         scan_mode = 3;
442         RADIO_enable();
443     }
444 else if(scan_mode == 3)
445     // Calibration started
446     {
447         real_Temp = (RADIO_frame.frame_byte[4]);
448         real_Temp = real_Temp << 8;
449         real_Temp |= RADIO_frame.frame_byte[5];
450         ex = Temp_cal_counter[RADIO_frame.frame_byte[3]];
451         if (ex==0)
452         {
453             SENSOR_temp_cal_b[RADIO_frame.frame_byte[3]]=
454                 temp_correct_value-real_Temp;
455         }
456         else if((ex>=1) && (ex<20))
457         {
458             temp_diff = (temp_correct_value-real_Temp)+
459                 (ex*SENSOR_temp_cal_b[RADIO_frame.frame_byte[3]]);
460             SENSOR_temp_cal_b[RADIO_frame.frame_byte[3]] =
461                 temp_diff/(ex+1);
462         }
463         Temp_cal_counter[RADIO_frame.frame_byte[3]]++;
464         sensor_calibrated=0;
465         for (sens=0;sens<SENSOR_active;sens++)
466         {
467             if (Temp_cal_counter[SENSOR_address[sens]]>5)
468             {
469                 sensor_calibrated++;
470             }
471         }

```

```
473     }
474     if (sensor_calibrated == SENSOR_active)
475     {
476         scan_mode = 0;
477         LCD_send_cmd(LCD_LINE1);
478         UART_menu_stop();
479         // disable radio unit
480         LCD_send_text("Calibr. complete");
481         UART0_send_text("Calibration complete \r\n");
482
483         RADIO_init_frame();
484         FLASH_Write_Controller_Data();
485     }
486     else
487     {
488         BATMON_control_reg &= ~VALID_DATA_RECEIVED;
489         // clear global value
490     }
491 }
492 //-----
493
494 //scan mode '0' no certain mode
495 else
496 {
497
498     do // check if valid sensor
499     {
500         if (SENSOR_address[i] == RADIO_frame.frame_byte[3]) //compare if sensor
501             address is allowed
502             break;
503         // exit do-while loop
504         i++;
505     }
506     while(i<40); //get sensor address index
507
508
509     if (i<40) // if sensor address valid, maximum of 40 sensors
510     {
511         j = 0;
512         frame_error = 0;
513
514         while(j<11) // check CRC
515         {
516             frame_error = frame_error ^ RADIO_frame.frame_byte[j];
517             j++;
518         }
519
520         if (frame_error) // CRC not valid, exit
521         {
522             // CRC not valid return to the beginning
523             RADIO_rx_state = SE_SEQ_PREPARE;
524             crc_error[i]++;
525             break; // exit switch-case block
526         }
527
528         if(fer==1)
529         {
530             //reset all error count variables
```

```

531         //for startup
532         bit_too_short = 0;
533         bit_too_long = 0;
534         wrong_RunIn = 0;
535     }

537     if(fer>0)
538     {
539         countFER(i,crc_error[i], bit_too_long, bit_too_short, wrong_RunIn); //FER calc
540     }

542     //reset error count variables
543     crc_error[i] = 0;
544     wrong_RunIn = 0;
545     bit_too_short = 0;
546     bit_too_long = 0;

548     // calculate position in sensor_addr_req array
549     //address_bit = (SENSOR_address[i] - 1) % 8 ;
550     //address_byte = (SENSOR_address[i] - 1) / 8;
551     address_bit = i % 8 ; //--> sensor addr bit is 'i'
552     address_byte = i / 8; //--> sensor addr byte is every 8 bit

554     // check if sensor data needed
555     /*if ((SENSOR_addr_req[address_byte] >> address_bit) & 0x01)
556     {*/
557         // clear sensor request and receive flag
558         SENSOR_addr_req[address_byte] &= ~(0x01 << address_bit);
559         SENSOR_addr_receiv[address_byte] &= ~(0x01 << address_bit);

562         //save last data received for sensor X
563         for (j=0; j<8; j++)
564         {
565             if (j==1)
566             {
567                 // temperature offset
568                 if (RADIO_frame.frame_byte[3]!=0) //offset?
569                 {
570                     cal_temperature = (RADIO_frame.frame_byte[j+3]);
571                     cal_temperature = cal_temperature << 8;
572                     cal_temperature |= RADIO_frame.frame_byte[j+4];
573                 }
574                 cal_temperature += SENSOR_temp_cal_b[SENSOR_address[i]];
575                 SENSOR_last_data[j][i] = (cal_temperature>>8);
576                 RADIO_frame.frame_byte[j+3] = cal_temperature>>8; //overwrite temp
with cal. temp
577             }
578             else
579             {
580                 SENSOR_last_data[j][i] = RADIO_frame.frame_byte[j+3];
581             }
582         }
583         else if (j==2)
584         {
585             if (RADIO_frame.frame_byte[3]!=0)
586             {
587                 SENSOR_last_data[j][i] = (unsigned char)cal_temperature;

```

```

588 //          RADIO_frame.frame_byte[j+3] = (unsigned char)cal_temperature; //
        overwrite temp with cal. temp
589 //      }
590 //      else
591 //      {
592 //          SENSOR_last_data[j][i] = RADIO_frame.frame_byte[j+3];
593 //      }
594 //  }
595 //  else
596 //  {
597 //      SENSOR_last_data[j][i] = RADIO_frame.frame_byte[j+3];
598 //  }
599      SENSOR_last_data[j][i]=RADIO_frame.frame_byte[j];
600  }

602 //      // check depth discharge
603 //      check_voltage = (SENSOR_last_data[3][i]<<8);
604 //      check_voltage |= SENSOR_last_data[4][i];
605 //      if ((check_voltage/4.096) <=
606 //          ((CELL_VOLT_MIN*10)+100))
607 //      {
608 //          if ((check_voltage/4.096) <=
609 //              (CELL_VOLT_MIN*10))
610 //          {
611 //              SENSOR_low++;
612 //              // don t leave next value
613 //              // SENSOR_addr_req[address_byte] |=
614 //              // (0x01 << address_bit);
615 //          }
616 //      }

618      //RADIO_disable(); // disable radio unit
619      unsigned short tempus = RADIO_frame.frame_byte[4]<<8;
620      tempus |= RADIO_frame.frame_byte[5];
621      unsigned short tempus1 = RADIO_frame.frame_byte[6]<<8;
622      tempus1 |= RADIO_frame.frame_byte[7];
623      unsigned short tempus2 = RADIO_frame.frame_byte[8]<<8;
624      tempus2 |= RADIO_frame.frame_byte[9];
625      printf("ADD: %x LIVE: %x VOLTAGE: %i COUNTER: %i TEMP: %i\r\n",RADIO_frame.
        frame_byte[3], RADIO_frame.frame_byte[0]&BIT6,tempus, tempus1, tempus2)
        ;

628      BATMON_control_reg |= VALID_DATA_RECEIVED;
629      // set global value
630      //}
631  }

633  }
634  // Receiving frame completed(valid or not),
635  // return to the beginning
636  RADIO_rx_state = SE_SEQ_PREPARE;

638  }
639  break; // exit switch-case block

641  default: RADIO_rx_state = SE_SEQ_PREPARE;
642  break; // exit switch-case block
643  }
644  TACCTL0 &= ~(CCIFG|COV); /* reset timer occured flag, for up mode */

```

```

645     /*CCR0 += 410; */      /* add value to timer, continous mode */
647 }
649 /*-----
650     Timer A1 interrupt service routine
651 -----*/
652 interrupt (TIMER_A1_VECTOR) TIMER_A1(void)
653 /*-----*/
654 {
655     switch(TAIV)
656     {
657         /* Capture/compare1 interrupt */
658         case 0x02:
659             TACCTL1 &= ~(CCIFG|COV);
660             /* reset timer occured flag */
661             /*TACCR1 += 410; */
662             /* add value to timer, continous mode */
663             break;
665         /* Capture/compare2 interrupt */
666         case 0x04:
667             TACCTL2 &= ~(CCIFG|COV);
668             /* reset timer occured flag */
669             /*TACCR2 += 410; */
670             /* add value to timer, continous mode */
671             break;
673         /* Timeroverflow interrupt */
674         case 0x0A: TACTL &= ~TAIFG;
675             /* reset timer occured flag */
676             break;
677     }
679 }
681 /*-----
682     Timer B0 interrupt service routine (button debounce)
683 -----*/
684 interrupt (TIMERB0_VECTOR) TIMER_B0(void)
685 /*-----*/
686 {
687     static char TB0_ct0, TB0_ct1;
688     char TB0_i;
689     static unsigned char x,y;
692     TB0_i = BUTTON_state ^ BUTTON_INPUT;
693     // input changed ?
694     TB0_ct0 = ~( TB0_ct0 & TB0_i );
695     // reset or count ct0
696     TB0_ct1 = (TB0_ct0 ^ (TB0_ct1 & TB0_i));
697     // reset or count ct1
698     TB0_i &= (TB0_ct0 & TB0_ct1);
699     // count until roll over
700     BUTTON_state ^= TB0_i;
701     // toggle debounced state
702     BATMON_control_reg |= BUTTON_state & TB0_i;
703     // only 0->1:key pressing detect
704     TBCCTL0 &= ~CCIFG;

```

```

705 // reset timer occured flag, for up mode
706 //TBCCR0 += 410;
707 // add value to timer, continous mode
708 if (x<4)
709 {
710     x++;
711 }
712 else
713 {
714     x=1;
715     //ADC12CTL0 |= ADC12SC;
716     // start ADC-conversion
717     if (y<8)
718     {
719         y++;
720     }
721     else
722     {
723         y=1;
724     }
725 }
726 }
727 }
728
729 /*-----
730 Timer B1 interrupt service routine
731 -----*/
732 interrupt (TIMERB1_VECTOR) TIMER_B1(void)
733 /*-----*/
734 {
735     switch(TBIV)
736     {
737         /* Capture/compare1 interrupt */
738         case 0x02:
739
740             TBCCTL1 &= ~(CCIFG|COV);
741             /* reset timer occured flag */
742             //TBCCR1 += 2;
743             /* add value to timer, continous mode */
744             break;
745
746         /* Capture/compare2 interrupt */
747         case 0x04:
748             TBCCTL2 &= ~(CCIFG|COV);
749             /* reset timer occured flag */
750             //TBCCR2 += 410; /*
751             /* add value to timer, continous mode */
752             break;
753
754         /* Timeroverflow interrupt */
755         case 0x0E:
756             TBCTL &= ~TAIFG;
757             /* reset timer occured flag */
758             break;
759     }
760 }
761 }
762
763 /*-----
764 UART0 RX interrupt service routine

```

```
765 -----*/
766 interrupt (USART0RX_VECTOR) USART0_RX(void)
767 /*-----*/
768 {
769     static unsigned char rx_string[MAX_STRING_LENGTH];
770     static unsigned char i;
771
772     switch (RXBUF0)
773     {
774     case (RETURN):
775         // if carriage return jump to next line first position and
776         // store string global
777         USART0_send(NEWLINE);
778         USART0_send(RETURN);
779
780         rx_string[i] = NULLTERMINATOR;    // terminate string
781         i++;
782
783         for (; i>0; i--)
784             // copy string
785             {
786                 global_string[i-1] = rx_string[i-1];
787             };
788         BATMON_control_reg |= GLOBAL_STRING_RECEIVED;
789         // set control register to global string received
790         break;
791
792     case ('%'):
793         // if '%' jump to next line first position and store string global
794         USART0_send(NEWLINE);
795         USART0_send(RETURN);
796
797         rx_string[i] = NULLTERMINATOR;
798         // terminate string
799         i++;
800
801         for (; i>0; i--)
802             // copy string
803             {
804                 global_string[i-1] = rx_string[i-1];
805             };
806         BATMON_control_reg |= GLOBAL_STRING_RECEIVED;
807         // set control register to global string received
808         break;
809
810     case (BACKSPACE):
811         // backspace, delete last char
812         USART0_send(BACKSPACE);
813         USART0_send(SPACE);
814         USART0_send(BACKSPACE);
815         i--;
816         break;
817
818     default:
819         // echo
820         if(i<(MAX_STRING_LENGTH-1))
821             // string length reached?
822             {
823                 USART0_send(RXBUF0);
824                 // string length not reached store received char
```

```
825     rx_string[i] = RXBUF0;
826     i++;
827 }
828 else
829     // string length reached, save string in global variable
830 {
831     rx_string[i] = NULLTERMINATOR;
832     // terminate string
833     for (; i>0; i--)
834         // copy string
835         {
836             global_string[i-1] = rx_string[i-1];
837         };
838     BATMON_control_reg |= GLOBAL_STRING_RECEIVED;
839     // set control register to global string received
840 }
841 break;
842 }
843 }

844 /*-----
845     USART0 TX interrupt service routine
846 -----*/
847 interrupt (USART0TX_VECTOR) USART0_TX(void)
848 /*-----*/
849 {
850
851 }
852 /*
853
854 -----
855     PORT1 interrupt service routine
856 -----
857
858 interrupt (PORT1_VECTOR) PORT_1(void)
859 -----
860 {
861
862 }
863
864 -----
865     PORT2 interrupt service routine
866 -----
867
868 interrupt (PORT2_VECTOR) PORT_2(void)
869 -----
870 {
871
872 */
873
874 /*-----
875     DAC12 interrupt service routine
876 -----*/
877 interrupt (DACDMA_VECTOR) DAC12(void)
878 /*-----*/
879 {
880
881 }
882
883 /*-----
884     ADC12 interrupt service routine (current measuring)
```

```

885 -----*/
886 interrupt (ADC12_VECTOR) ADC12(void)
887 /*-----*/
888 {
889     //actual tared current value
890     unsigned long CURRENT_work;
891     //current sum for tara
892     static unsigned long current_sum;
893     //counter for tara
894     static char current_sum_counter;

896     static char x_low=0,x_mid=0,x_high=0,x_min=0;

898     //actual current directions for each interval
899     static char x_low_IN_OUT, x_mid_IN_OUT, x_high_IN_OUT, x_min_IN_OUT;
900     //current value sum for each interval and sensor channel
901     static unsigned long x_low_level_sum, x_mid_level_sum;
902     unsigned long x_mid_level_sum_tmp = 0;
903     static unsigned long x_min_level_sum, x_high_level_sum[2];
904     static unsigned short x_high_level_sum_count[2];

906     static char i,w;
907     static char x,z;
908     static long y;
909     unsigned short j=0;
910     PRINTF_UART;    // set printf to UART

912     //*****
913     // measuring range decision
914     //*****

916     static unsigned int channel1, channel2;
917     static unsigned long current_value;

919     channel2 = (unsigned int) (ADC12MEM0);
920     channel1 = (unsigned int) (ADC12MEM1);

922     //switch to channel 2 if channel 1 out of range (channel1: -70 - +70 A)
923     if((channel1<3578) && (channel1>1033))
924     {
925         current_value = channel1;

927         if((current_value < 3560) && (current_value > 1048))
928         {
929             current_value = channel1;
930             //set channel flag to ch1
931             CURRENT_channel = 1;
932         }
933     }
934     else
935     {
936         current_value = channel2;
937         //set channel flag to ch2
938         CURRENT_channel = 2;
939     }

941     //*****
942     // init Current tara
943     //*****
944     if (scan_mode == 4)

```

```
945     {
946         scan_mode = 5;
947         current_sum = current_value;
948         current_sum_counter = 0;
949     }
950     // Current tara 20 values (scan_mode 5)
951     else if (scan_mode == 5)
952     {
953         if (current_sum_counter==0) //first current value (no current value so far)
954         {
955             current_sum += current_value;
956             current_sum_counter++;
957         }
958         else if((current_sum_counter>=1) && (current_sum_counter<19)) //take 19 values left
959         {
960             current_sum += current_value;
961             current_sum_counter++;
962         }
963         else //all data received --> take average of 20 values as tara value
964         {
965             current_sum /= (current_sum_counter + 1);
966             CURRENT_tara = current_sum;
967             scan_mode = 0; //reset scan mode to normal
968             printf("Current Tara value: %3li \r\n", CURRENT_tara);
969             if (measuring == 0)
970             {
971                 ADC_stop();
972             }
973         }
974     }
975     //*****
976     // normal consumption recording (scan_mode 0)
977     //*****
978     else
979     {
980
981         // init new tara
982         if (CURRENT_tara == 0)
983         {
984             i=0;
985             x=0;
986             z=0;
987             y=0;
988             w=0;
989             CURRENT_tara = current_sum; //2007 --DEFAULT= 0V
990             AH_last_minute = 0;
991         }
992
993         // consumption recording
994         else
995         {
996             // current inverted?
997             if (CURRENT_INVERT == 0)
998             {
999                 CURRENT_work = current_value;
1000             }
1001             else
1002             {
1003                 //invert current value
1004                 if(current_value<=CURRENT_tara)
```

```
1005     CURRENT_work = CURRENT_tara + (CURRENT_tara - current_value);
1006     else
1007     CURRENT_work = CURRENT_tara - (current_value - CURRENT_tara);
1008 }
1009 // Zero Point definition
1010 if (((CURRENT_work)<=(CURRENT_tara+10))&&((CURRENT_work)>=(CURRENT_tara-10)))
1011 {
1012     CURRENT_work = CURRENT_tara;
1013 }
1014 //actual current! For LCD!
1015 //Attention! CURRENT_last_data is not signed!
1016 if(CURRENT_work > CURRENT_tara)
1017     CURRENT_last_data = CURRENT_work - CURRENT_tara;
1018 else
1019     CURRENT_last_data = CURRENT_tara - CURRENT_work;

1021 //kHz level
1022 if (x_high < 29)
1023 {
1024     x_high++;
1025     x_high_level_sum_count[CURRENT_channel-1]++;
1026     // discharge
1027     if ((CURRENT_work) >= CURRENT_tara)
1028     {
1029         CURRENT_last_data = CURRENT_work - CURRENT_tara;
1030         CURRENT_IN_OUT = 0; //set global discharge
1031         //high level measurement is ~30ms interval
1032         //get first value, set this kHz level to discharge

1034         if (x_high == 1)
1035         {
1036             x_high_level_sum[0] = 0;
1037             x_high_level_sum[1] = 0;
1038             x_high_level_sum_count[0] = 0;
1039             x_high_level_sum_count[1] = 0;
1040             x_high_level_sum_count[CURRENT_channel-1]++;

1042             x_high_level_sum[CURRENT_channel-1] = CURRENT_last_data;

1044             x_high_IN_OUT = 0; //high level is set to discharge
1045         }
1046         //if discharge in this level, summarize measured data
1047         else if(x_high_IN_OUT == 0)
1048         {
1049             x_high_level_sum[CURRENT_channel-1] += CURRENT_last_data;
1050         }
1051         //if charge state changes within the kHz periode high
1052         //necessary to avoid negatives
1053         else
1054         {
1055             if (x_high_level_sum[CURRENT_channel-1] > CURRENT_last_data)
1056             {
1057                 x_high_level_sum[CURRENT_channel-1] -= CURRENT_last_data;
1058             }

1060             else
1061             {
1062                 x_high_level_sum[CURRENT_channel-1] = CURRENT_last_data - x_high_level_sum
                    [CURRENT_channel-1];
```

```
1064         x_high_IN_OUT = 0; //set state to discharge
1065     }
1066 }
1067 }
1068 //charge
1069 else
1070 {
1071     CURRENT_last_data = CURRENT_tara - CURRENT_work;
1072     CURRENT_IN_OUT = 1; //set charge state
1073     if (x_high == 1)
1074     {
1075         x_high_level_sum[0] = 0;
1076         x_high_level_sum[1] = 0;
1077         x_high_level_sum_count[0] = 0;
1078         x_high_level_sum_count[1] = 0;
1079         x_high_level_sum_count[CURRENT_channel-1]++;
1081
1082         x_high_level_sum[CURRENT_channel-1] = CURRENT_last_data;
1083
1084         x_high_IN_OUT = 1; //high level is set to charge
1085     }
1086     //summarize measured data in charge mode
1087     else if(x_high_IN_OUT == 1)
1088     {
1089         x_high_level_sum[CURRENT_channel-1] += CURRENT_last_data;
1090     }
1091     //distinguish between charge states
1092     //again: avoid the negatives!
1093     else
1094     {
1095         if (x_high_level_sum[CURRENT_channel-1] > CURRENT_last_data)
1096         {
1097             x_high_level_sum[CURRENT_channel-1] -= CURRENT_last_data;
1098         }
1099         else
1100         {
1101             x_high_level_sum[CURRENT_channel-1] = CURRENT_last_data - x_high_level_sum
1102             [CURRENT_channel-1];
1103         }
1104         x_high_IN_OUT = 1;
1105     }
1106 }
1107 else
1108 {
1110 //medium khz level
1111 if (x_mid < 33)
1112 {
1113     x_mid++;
1115 //calculate average of high level
1116 //don't divide by 0!
1117 for (j=0; j<2; j++)
1118 {
1119     if(x_high_level_sum_count[j]>0)
1120         x_high_level_sum[j] += x_high_level_sum[j]/x_high_level_sum_count[j];
1121     else
1122         x_mid_level_sum_tmp += 0;
```

```
1123         if(j == 0)
1124             x_high_level_sum[0] *= 45.7;
1125         else
1126             x_high_level_sum[1] *= 305.3;

1128         x_mid_level_sum_tmp += x_high_level_sum[j];
1129     }

1131     if(x_high_level_sum[0] && x_high_level_sum[1])
1132         x_mid_level_sum_tmp /= 2;

1134     x_high_level_sum[0] = 0;
1135     x_high_level_sum[1] = 0;

1138     // discharge
1139     if (x_high_IN_OUT == 0)
1140     {
1141         // first value
1142         if (x_mid == 1)
1143         {
1144             x_mid_level_sum = x_mid_level_sum_tmp;

1146             x_mid_IN_OUT = 0;
1147         }
1148         else if(x_mid_IN_OUT == 0)
1149         {
1150             x_mid_level_sum += x_mid_level_sum_tmp;
1151         }
1152         else
1153         {
1154             if (x_mid_level_sum > x_mid_level_sum_tmp)
1155             {
1156                 x_mid_level_sum -= x_mid_level_sum_tmp;
1157             }
1158             else
1159             {
1160                 x_mid_level_sum = x_mid_level_sum_tmp-x_mid_level_sum;

1162                 x_mid_IN_OUT = 0;
1163             }
1164         }
1165     }
1166     //charge
1167     else
1168     {
1169         if (x_mid == 1)
1170         {
1171             x_mid_level_sum = x_mid_level_sum_tmp;

1173             x_mid_IN_OUT = 1;
1174         }
1175         else if(x_mid_IN_OUT == 1)
1176         {
1177             x_mid_level_sum += x_mid_level_sum_tmp;
1178         }

1180         else
1181         {
1182             if (x_mid_level_sum > x_mid_level_sum_tmp)
```

```
1183         {
1184             x_mid_level_sum -= x_mid_level_sum_tmp;
1185         }
1186         else
1187         {
1188             x_mid_level_sum = x_mid_level_sum_tmp - x_mid_level_sum;
1189
1190             x_mid_IN_OUT = 1;
1191         }
1192     }
1193 }
1194 }
1195 else
1196     //low khz level
1197     {
1198         AH_last_sec = x_mid_level_sum/33;
1199
1200         BATMON_control_reg |= CLEAR_FIRST_LCD_ROW;
1201         if (x_low < 30)
1202         {
1203             x_low++;
1204             // discharge
1205             if (x_mid_IN_OUT == 0)
1206             {
1207                 if (x_low == 1)
1208                 {
1209                     x_low_level_sum = AH_last_sec;
1210                     x_low_IN_OUT = 0;
1211                 }
1212                 else if(x_low_IN_OUT == 0)
1213                 {
1214                     x_low_level_sum += AH_last_sec;
1215                 }
1216                 else
1217                 {
1218                     if (x_low_level_sum > AH_last_sec)
1219                     {
1220                         x_low_level_sum -= AH_last_sec;
1221                     }
1222                     else
1223                     {
1224                         x_low_level_sum = AH_last_sec - x_low_level_sum;
1225                         x_low_IN_OUT = 0;
1226                     }
1227                 }
1228             }
1229             //charge
1230             else
1231             {
1232                 if (x_low == 1)
1233                 {
1234                     x_low_level_sum = AH_last_sec;
1235                     x_low_IN_OUT = 1;
1236                 }
1237                 else if(x_low_IN_OUT == 1)
1238                 {
1239                     x_low_level_sum += AH_last_sec;
1240                 }
1241                 else
1242                 {
```

```
1243         if (x_low_level_sum > AH_last_sec)
1244         {
1245             x_low_level_sum -= AH_last_sec;
1246         }
1247         else
1248         {
1249             x_low_level_sum = AH_last_sec - x_low_level_sum;
1250             x_low_IN_OUT = 1;
1251         }
1252     }
1253 }
1254 }
1255 else
1256 {
1257
1258     if (x_min == 0)
1259     {
1260         x_min_level_sum = x_low_level_sum/30;
1261         x_min_IN_OUT = x_low_IN_OUT;
1262         x_min++;
1263     }
1264     else
1265     {
1266         //same current direction
1267         LED1_TOGGLE;
1268
1269         if (x_low_IN_OUT == x_min_IN_OUT)
1270         {
1271             AH_last_minute_IN_OUT = x_min_IN_OUT;
1272             AH_last_minute = x_min_level_sum + x_low_level_sum/30;
1273         }
1274         else
1275         {
1276             if (x_min_level_sum > x_low_level_sum/30)
1277             {
1278                 AH_last_minute_IN_OUT = x_low_IN_OUT;
1279                 AH_last_minute = ((x_low_level_sum/30)-x_min_level_sum);
1280             }
1281
1282             else
1283             {
1284                 AH_last_minute_IN_OUT = x_min_IN_OUT;
1285                 AH_last_minute = (x_min_level_sum-(x_low_level_sum/30));
1286             }
1287         }
1288         x_min = 0;
1289     }
1290     x_low = 0;
1291 }
1292 x_mid = 0;
1293 }
1294 x_high = 0;
1295 }
1296 }
1297 }
1298 }
1299
1300 /*-----*/
1301 /* DAC12 interrupt service routine
1302 /*-----*/
```

```

1303 | interrupt (COMPARATORA_VECTOR) COMPERATOR(void)
1304 | /*-----*/
1305 | {
1307 | }

```

Listing 9: Quellcode des Datenloggers (isr\_ports.c)

```

1  /*-----*/
2  Project:      MSP430-169STK onboard nand-flash functions
3  Used components:  MSP430-169STK
4  Date:        12/01/2007
5  Last update:  09/05/2008
6  Author:      Tobias Krannich
7  Modified:    Stephan Plaschke
8
9  Modified by:  Alexander Hoops
10 Last modification: 12/02/2010
11 -----
12
13 -----
14 Headerfiles
15 -----*/
16 #include <main.h>
17 #include <Flash.h>
18 #include <stdio.h>
19 #include <lcd16x2.h>
20 #include <msp430x16x.h>
21 #include <MSP_functions.h>
22
23
24
25 static unsigned char *FLASH_clear_frame[] = {
26     "      ",
27     " Clear flash "
28 };
29
30 //-----NAND FLASH-----
31 //-----
32 void init_Flash (void)
33 //-----
34 {
35     P2OUT = 0x07;           //NAND FLASH ini
36     P2DIR = 0x1F;
37 }
38
39 //-----
40 // pull flash pins to inactive condition
41 void Inactive_Flash(void)
42 //-----
43 {
44     IO_DIR=INPUT;         //IO is inputs
45     _CE_OFF;             //!=1
46     _RE_OFF;             //!=1
47     _WE_OFF;             //!=1
48     ALE_OFF;             //!=0
49     CLE_OFF;             //!=0
50 }
51
52 //-----

```

```

53 void Write_Data(unsigned char a)
54 //-----
55 {
56   IO_DIR=OUTPUT;      //IO is outputs
57   _WE_ON;
58   OUT_PORT=a;
59   _WE_OFF;           //latch data
60 }
61
62 //-----
63 unsigned char Read_Data(void)
64 //-----
65 {
66   unsigned char f;
67   IO_DIR=INPUT;      //IO is inputs
68   _RE_ON;
69   f=IN_PORT;
70   _RE_OFF;          //read data
71   return (f);
72 }
73
74 //-----
75 unsigned char Programm_Bytes(unsigned char COL_ADD,
76                               unsigned char ROW_ADDL,
77                               unsigned char ROW_ADDH,
78                               unsigned char NUMBER)
79 {
80 //-----
81   unsigned char k, l;
82   Inactive_Flash();
83   CLE_ON;
84   _CE_ON;
85   Write_Data(WRITE_PAGE);
86   CLE_OFF;
87   ALE_ON;
88   Write_Data(COL_ADD);
89   Write_Data(ROW_ADDL);
90   Write_Data(ROW_ADDH);
91   ALE_OFF;
92   for (k=0; k != NUMBER; k++)
93     {
94       l=WRITE_BUF[k];
95       Write_Data(l);
96     }
97   CLE_ON;
98   Write_Data(WRITE_AKN);
99   while ((R_B) == 0);
100  Write_Data(READ_STATUS);
101  CLE_OFF;
102  l = Read_Data();
103  Inactive_Flash();
104  return(l);
105 }
106
107 //-----
108 void Read_Bytes (unsigned char COL_ADD,
109                 unsigned char ROW_ADDL,
110                 unsigned char ROW_ADDH,
111                 unsigned char NUMBER)
112 {

```

```

113 //-----
114     unsigned char n, r;
115     Inactive_Flash();
116     CLE_ON;
117     _CE_ON;
118     Write_Data(READ_0);
119     CLE_OFF;
120     ALE_ON;
121     Write_Data(COL_ADD);
122     Write_Data(ROW_ADDL);
123     Write_Data(ROW_ADDH);
124     ALE_OFF;
125     while ((R_B) == 0);
126     for (n=0; n != NUMBER; n++)
127     {
128         r=Read_Data();
129         READ_BUF[n] = r;
130     }
131     Inactive_Flash();
132 }
133
134 //-----
135 void Data_Struct_To_Write_Buffer(DATA_STRUCT *pData)
136 //-----
137 {
138     WRITE_BUF[0] = pData->C0;
139     WRITE_BUF[1] = pData->C1;
140     WRITE_BUF[2] = pData->C2;
141     WRITE_BUF[3] = pData->C3;
142     WRITE_BUF[4] = pData->C4;
143     WRITE_BUF[5] = pData->C5;
144     WRITE_BUF[6] = pData->C6;
145     WRITE_BUF[7] = pData->C7;
146     WRITE_BUF[8] = pData->C8;
147     WRITE_BUF[9] = pData->C9;
148     WRITE_BUF[10] = pData->C10;
149     WRITE_BUF[11] = pData->C11;
150     WRITE_BUF[12] = pData->C12;
151     WRITE_BUF[13] = pData->C13;
152     WRITE_BUF[14] = pData->C14;
153     WRITE_BUF[15] = pData->C15;
154 }
155
156 //-----
157 void Val_To_Data(DATA_STRUCT *pData, unsigned long i)
158 //-----
159 {
160     if(i >= 527)
161     {
162         _NOP();
163     }
164     pData->C0 = (unsigned char)((i>>0) & 0xFF);
165     pData->C1 = (unsigned char)((i>>8) & 0xFF);
166     pData->C2 = (unsigned char)((i>>16) & 0xFF);
167     pData->C3 = (unsigned char)((i>>24) & 0xFF);
168 }
169
170 //-----
171 // Es wird der Block gelöscht, in dem die Adresse liegt
172 unsigned char Erase_Flash(unsigned char BLOCK_ADDL, unsigned char BLOCK_ADDH)

```

```

173 //-----
174 {
175     unsigned char m;
176     Inactive_Flash();
177     CLE_ON;
178     _CE_ON;
179     Write_Data(ERASE_BLOCK);
180     CLE_OFF;
181     ALE_ON;
182     Write_Data(BLOCK_ADDL);
183     Write_Data(BLOCK_ADDH);
184     ALE_OFF;
185     CLE_ON;
186     Write_Data(ERASE_AKN);
187     while ((R_B) == 0);
188     Write_Data(READ_STATUS);
189     CLE_OFF;
190     m = Read_Data();
191     Inactive_Flash();
192     return (m);
193 }

195 //-----
196 DATA_STRUCT * Read_Ring_Flash(void)
197 //-----
198 {
199     //unsigned short Index_Last = 0;
200     unsigned short ADD = 0;
201     unsigned char ADDH = 0;
202     unsigned char ADDL = 0;
203     unsigned char COL = 0;
204     static DATA_STRUCT Data = {0,0,0,0,0,0,0,0,0,0,0,0,0,0,0,0};
205     DATA_STRUCT *pData = &Data;

207     // Letztes Element im Ringbuffer ermitteln
208     if(Ring_Full == 0) // Ringbuffer hatte noch keinen Überlauf
209     {
210         // Keine Daten im Ringspeicher???
211         if(Count_Ring == 0)
212         {
213             return NULL;
214         }
215         Index_Last = Index_Ring - Count_Ring;
216     }
217     else // Es gab schon einen Überlauf -> lese ab dem ersten Struct
218     {
219         // Keine Daten im Ringspeicher???
220         if((Count_Ring - 255) == 0) //
221         {
222             return NULL;
223         }
224         Index_Last = Index_Ring - (Count_Ring + 1 - 256)/* -
225         (Index_Ring%256)*/; // +1 um auf 0x10000 zu kommen
226     }
227     Count_Ring--;

229     // Adresse berechnen
230     ADD = Index_Last / 16;
231     COL = Index_Last % 16;
232     ADDL = (unsigned char)(ADD & 0xFF);

```

```

233     ADDH = (unsigned char)((ADD>>8) & 0xFF);
234
235     // Speicher auslesen
236     Read_Bytes(COL*16,ADDL,ADDH,BUF_SIZE);
237
238     // Read_BUF in das Datenstruct schreiben
239     pData->C0 = READ_BUF[0];
240     pData->C1 = READ_BUF[1];
241     pData->C2 = READ_BUF[2];
242     pData->C3 = READ_BUF[3];
243     pData->C4 = READ_BUF[4];
244     pData->C5 = READ_BUF[5];
245     pData->C6 = READ_BUF[6];
246     pData->C7 = READ_BUF[7];
247     pData->C8 = READ_BUF[8];
248     pData->C9 = READ_BUF[9];
249     pData->C10 = READ_BUF[10];
250     pData->C11 = READ_BUF[11];
251     pData->C12 = READ_BUF[12];
252     pData->C13 = READ_BUF[13];
253     pData->C14 = READ_BUF[14];
254     pData->C15 = READ_BUF[15];
255
256
257     return pData;
258 }
259
260 //-----
261 //-----
262 //   These functions are modified/created by Stephan Plaschke
263 //-----
264 //-----
265
266 //-----
267 void Erase_Flash_All(void)
268 //-----
269 {
270     int i = 0;
271     unsigned char j=0;
272     unsigned char ADDL;
273     unsigned char ADDH;
274
275     // show splash screen on LCD and send via UART
276     LCD_send_cmd(LCD_LINE1);
277     LCD_send_text(FLASH_clear_frame[1]);
278     UART0_send(' ');
279
280     for(i=0; i<0x1000; i++)
281     {
282         //ADD = i * 16;
283         ADDL = (unsigned char)(i & 0xFF);
284         ADDH = (unsigned char)((i>>8) & 0xFF);
285         Erase_Flash(ADDL,ADDH);
286
287         // show splash screen on LCD and send via UART
288         if (!(i%200))
289         {
290             if(j^=0x01)
291             {
292                 LCD_send_cmd(LCD_LINE1);

```

```
293     LCD_send_text(FLASH_clear_frame[1]);
294     UART0_send(' ');
295 }
296 else
297 {
298     LCD_send_cmd(LCD_LINE1);
299     LCD_send_text(FLASH_clear_frame[0]);
300 }
301 }
302 }
303 // set all index to the first frame in flash
304 Count_Ring = 0;
305 Ring_Full = 0;
306 // set pointer on the address 256, first block used for controll data
307 Index_Ring = 256;
308 Index_Last = 256;
309
310 LCD_send_cmd(LCD_LINE1);
311 LCD_send_text(FLASH_clear_frame[0]);
312 UART0_send_text("\r\n");
313
314 RADIO_init_frame(); // set first frame
315 }
316
317 //-----
318 void Write_Ring_Flash(DATA_STRUCT *pData)
319 //-----
320 {
321     unsigned char ADDL;
322     unsigned char ADDH;
323     unsigned short ADD;
324     unsigned char COL;
325
326
327     ADD = Index_Ring / 16;
328     COL = Index_Ring % 16;
329     ADDL = (unsigned char)(ADD & 0xFF);
330     ADDH = (unsigned char)((ADD>>8) & 0xFF);
331
332     // Lösche den nächsten Block
333     if( (Index_Ring%256) == 0)
334     {
335         Erase_Flash(ADDL,ADDH);
336     }
337
338     Data_Struct_To_Write_Buffer(pData);
339     Programm_Bytes(COL*16,ADDL,ADDH,BUF_SIZE);
340
341     if(Count_Ring < 65279) // address space: 65535 - 256
342     {
343         Count_Ring++;
344     }
345     else
346     {
347         Ring_Full = 1;
348     }
349
350     Index_Ring++;
351     if(Index_Ring >= 65535)
352     {
```

```
353     Index_Ring = 256;
354     // set pointer on the address 256, first block used for controll data
355 }
356 }

358 //-----
359 void FLASH_Write_Contrroll_Data(void)
360 //-----
361 {
362     Erase_Flash(0,0);

364     WRITE_BUF[0] = (unsigned char) (Index_Ring >> 8);
365     WRITE_BUF[1] = (unsigned char) Index_Ring;
366     WRITE_BUF[2] = (unsigned char) (Index_Last >> 8);
367     WRITE_BUF[3] = (unsigned char) Index_Last;
368     WRITE_BUF[4] = (unsigned char) (Count_Ring >> 8);
369     WRITE_BUF[5] = (unsigned char) Count_Ring;
370     WRITE_BUF[6] = Ring_Full;
371     WRITE_BUF[7] = SENSOR_active;
372     WRITE_BUF[8] = SENSOR_address[0];
373     WRITE_BUF[9] = SENSOR_address[1];
374     WRITE_BUF[10] = SENSOR_address[2];
375     WRITE_BUF[11] = SENSOR_address[3];
376     WRITE_BUF[12] = SENSOR_address[4];
377     WRITE_BUF[13] = SENSOR_address[5];
378     WRITE_BUF[14] = SENSOR_address[6];
379     WRITE_BUF[15] = SENSOR_address[7];

381     Programm_Bytes(0,0,0,BUF_SIZE);

383     WRITE_BUF[0] = SENSOR_address[8];
384     WRITE_BUF[1] = SENSOR_address[9];
385     WRITE_BUF[2] = SENSOR_address[10];
386     WRITE_BUF[3] = SENSOR_address[11];
387     WRITE_BUF[4] = SENSOR_address[12];
388     WRITE_BUF[5] = SENSOR_address[13];
389     WRITE_BUF[6] = SENSOR_address[14];
390     WRITE_BUF[7] = SENSOR_address[15];
391     WRITE_BUF[8] = SENSOR_address[16];
392     WRITE_BUF[9] = SENSOR_address[17];
393     WRITE_BUF[10] = SENSOR_address[18];
394     WRITE_BUF[11] = SENSOR_address[19];
395     WRITE_BUF[12] = SENSOR_address[20];
396     WRITE_BUF[13] = SENSOR_address[21];
397     WRITE_BUF[14] = SENSOR_address[22];
398     WRITE_BUF[15] = SENSOR_address[23];

400     Programm_Bytes(0,1,0,BUF_SIZE);

402     WRITE_BUF[0] = SENSOR_address[24];
403     WRITE_BUF[1] = SENSOR_address[25];
404     WRITE_BUF[2] = SENSOR_address[26];
405     WRITE_BUF[3] = SENSOR_address[27];
406     WRITE_BUF[4] = SENSOR_address[28];
407     WRITE_BUF[5] = SENSOR_address[29];
408     WRITE_BUF[6] = SENSOR_address[30];
409     WRITE_BUF[7] = SENSOR_address[31];
410     WRITE_BUF[8] = SENSOR_address[32];
411     WRITE_BUF[9] = SENSOR_address[33];
412     WRITE_BUF[10] = SENSOR_address[34];
```

```
413 WRITE_BUF[11] = SENSOR_address[35];
414 WRITE_BUF[12] = SENSOR_address[36];
415 WRITE_BUF[13] = SENSOR_address[37];
416 WRITE_BUF[14] = SENSOR_address[38];
417 WRITE_BUF[15] = SENSOR_address[39];

419 Programm_Bytes(0,2,0,BUF_SIZE);

421 WRITE_BUF[0] = SENSOR_temp_cal_b[1];
422 WRITE_BUF[1] = SENSOR_temp_cal_b[2];
423 WRITE_BUF[2] = SENSOR_temp_cal_b[3];
424 WRITE_BUF[3] = SENSOR_temp_cal_b[4];
425 WRITE_BUF[4] = SENSOR_temp_cal_b[5];
426 WRITE_BUF[5] = SENSOR_temp_cal_b[6];
427 WRITE_BUF[6] = SENSOR_temp_cal_b[7];
428 WRITE_BUF[7] = SENSOR_temp_cal_b[8];
429 WRITE_BUF[8] = SENSOR_temp_cal_b[9];
430 WRITE_BUF[9] = SENSOR_temp_cal_b[10];
431 WRITE_BUF[10] = SENSOR_temp_cal_b[11];
432 WRITE_BUF[11] = SENSOR_temp_cal_b[12];
433 WRITE_BUF[12] = SENSOR_temp_cal_b[13];
434 WRITE_BUF[13] = SENSOR_temp_cal_b[14];
435 WRITE_BUF[14] = SENSOR_temp_cal_b[15];
436 WRITE_BUF[15] = SENSOR_temp_cal_b[16];

438 Programm_Bytes(0,3,0,BUF_SIZE);

440 WRITE_BUF[0] = SENSOR_temp_cal_b[17];
441 WRITE_BUF[1] = SENSOR_temp_cal_b[18];
442 WRITE_BUF[2] = SENSOR_temp_cal_b[19];
443 WRITE_BUF[3] = SENSOR_temp_cal_b[20];
444 WRITE_BUF[4] = SENSOR_temp_cal_b[21];
445 WRITE_BUF[5] = SENSOR_temp_cal_b[22];
446 WRITE_BUF[6] = SENSOR_temp_cal_b[23];
447 WRITE_BUF[7] = SENSOR_temp_cal_b[24];
448 WRITE_BUF[8] = SENSOR_temp_cal_b[25];
449 WRITE_BUF[9] = SENSOR_temp_cal_b[26];
450 WRITE_BUF[10] = SENSOR_temp_cal_b[27];
451 WRITE_BUF[11] = SENSOR_temp_cal_b[28];
452 WRITE_BUF[12] = SENSOR_temp_cal_b[29];
453 WRITE_BUF[13] = SENSOR_temp_cal_b[30];
454 WRITE_BUF[14] = SENSOR_temp_cal_b[31];
455 WRITE_BUF[15] = SENSOR_temp_cal_b[32];

457 Programm_Bytes(0,4,0,BUF_SIZE);

459 WRITE_BUF[0] = SENSOR_temp_cal_b[33];
460 WRITE_BUF[1] = SENSOR_temp_cal_b[34];
461 WRITE_BUF[2] = SENSOR_temp_cal_b[35];
462 WRITE_BUF[3] = SENSOR_temp_cal_b[36];
463 WRITE_BUF[4] = SENSOR_temp_cal_b[37];
464 WRITE_BUF[5] = SENSOR_temp_cal_b[38];
465 WRITE_BUF[6] = SENSOR_temp_cal_b[39];
466 WRITE_BUF[7] = SENSOR_temp_cal_b[40];
467 WRITE_BUF[8] = (unsigned char) (AH_MASTER>>8);
468 WRITE_BUF[9] = (unsigned char) AH_MASTER;
469 WRITE_BUF[10] = (unsigned char) (CELL_VOLT_MAX>>8);
470 WRITE_BUF[11] = (unsigned char) CELL_VOLT_MAX;
471 WRITE_BUF[12] = (unsigned char) (CELL_VOLT_MIN>>8);
472 WRITE_BUF[13] = (unsigned char) CELL_VOLT_MIN;
```

```
473 WRITE_BUF[14] = (unsigned char) (BATT_CAPACITY>>8);
474 WRITE_BUF[15] = (unsigned char) BATT_CAPACITY;

476 Programm_Bytes(0,5,0,BUF_SIZE);

478 WRITE_BUF[0] = (unsigned char) (CURRENT_tara>>8);
479 WRITE_BUF[1] = (unsigned char) CURRENT_tara;
480 WRITE_BUF[2] = CURRENT_INVERT;
481 WRITE_BUF[3] = 0;
482 WRITE_BUF[4] = 0;
483 WRITE_BUF[5] = 0;
484 WRITE_BUF[6] = 0;
485 WRITE_BUF[7] = 0;
486 WRITE_BUF[8] = 0;
487 WRITE_BUF[9] = 0;
488 WRITE_BUF[10] = 0;
489 WRITE_BUF[11] = 0;
490 WRITE_BUF[12] = 0;
491 WRITE_BUF[13] = 0;
492 WRITE_BUF[14] = 0;
493 WRITE_BUF[15] = 0;

495 Programm_Bytes(0,6,0,BUF_SIZE);

497 }
498 //-----
499 void FLASH_Read_ControlData(void)
500 //-----
501 {
502     //unsigned short i;
503     // Speicher auslesen
504     Read_Bytes(0,0,0,BUF_SIZE);

506     Index_Ring      = (READ_BUF[0] << 8) | READ_BUF[1];
507     Index_Last     = (READ_BUF[2] << 8) | READ_BUF[3];
508     Count_Ring     = (READ_BUF[4] << 8) | READ_BUF[5];
509     Ring_Full      = READ_BUF[6];
510     SENSOR_active  = READ_BUF[7];
511     SENSOR_address[0] = READ_BUF[8];
512     SENSOR_address[1] = READ_BUF[9];
513     SENSOR_address[2] = READ_BUF[10];
514     SENSOR_address[3] = READ_BUF[11];
515     SENSOR_address[4] = READ_BUF[12];
516     SENSOR_address[5] = READ_BUF[13];
517     SENSOR_address[6] = READ_BUF[14];
518     SENSOR_address[7] = READ_BUF[15];

520     // Speicher auslesen
521     Read_Bytes(0,1,0,BUF_SIZE);

523     SENSOR_address[8] = READ_BUF[0];
524     SENSOR_address[9] = READ_BUF[1];
525     SENSOR_address[10] = READ_BUF[2];
526     SENSOR_address[11] = READ_BUF[3];
527     SENSOR_address[12] = READ_BUF[4];
528     SENSOR_address[13] = READ_BUF[5];
529     SENSOR_address[14] = READ_BUF[6];
530     SENSOR_address[15] = READ_BUF[7];
531     SENSOR_address[16] = READ_BUF[8];
532     SENSOR_address[17] = READ_BUF[9];
```

```
533 SENSOR_address[18] = READ_BUF[10];
534 SENSOR_address[19] = READ_BUF[11];
535 SENSOR_address[20] = READ_BUF[12];
536 SENSOR_address[21] = READ_BUF[13];
537 SENSOR_address[22] = READ_BUF[14];
538 SENSOR_address[23] = READ_BUF[15];

540 // Speicher auslesen
541 Read_Bytes(0,2,0,BUF_SIZE);

543 SENSOR_address[24] = READ_BUF[0];
544 SENSOR_address[25] = READ_BUF[1];
545 SENSOR_address[26] = READ_BUF[2];
546 SENSOR_address[27] = READ_BUF[3];
547 SENSOR_address[28] = READ_BUF[4];
548 SENSOR_address[29] = READ_BUF[5];
549 SENSOR_address[30] = READ_BUF[6];
550 SENSOR_address[31] = READ_BUF[7];
551 SENSOR_address[32] = READ_BUF[8];
552 SENSOR_address[33] = READ_BUF[9];
553 SENSOR_address[34] = READ_BUF[10];
554 SENSOR_address[35] = READ_BUF[11];
555 SENSOR_address[36] = READ_BUF[12];
556 SENSOR_address[37] = READ_BUF[13];
557 SENSOR_address[38] = READ_BUF[14];
558 SENSOR_address[39] = READ_BUF[15];

560 // Speicher auslesen
561 Read_Bytes(0,3,0,BUF_SIZE);

563 SENSOR_temp_cal_b[1] = READ_BUF[0];
564 SENSOR_temp_cal_b[2] = READ_BUF[1];
565 SENSOR_temp_cal_b[3] = READ_BUF[2];
566 SENSOR_temp_cal_b[4] = READ_BUF[3];
567 SENSOR_temp_cal_b[5] = READ_BUF[4];
568 SENSOR_temp_cal_b[6] = READ_BUF[5];
569 SENSOR_temp_cal_b[7] = READ_BUF[6];
570 SENSOR_temp_cal_b[8] = READ_BUF[7];
571 SENSOR_temp_cal_b[9] = READ_BUF[8];
572 SENSOR_temp_cal_b[10] = READ_BUF[9];
573 SENSOR_temp_cal_b[11] = READ_BUF[10];
574 SENSOR_temp_cal_b[12] = READ_BUF[11];
575 SENSOR_temp_cal_b[13] = READ_BUF[12];
576 SENSOR_temp_cal_b[14] = READ_BUF[13];
577 SENSOR_temp_cal_b[15] = READ_BUF[14];
578 SENSOR_temp_cal_b[16] = READ_BUF[15];

580 // Speicher auslesen
581 Read_Bytes(0,4,0,BUF_SIZE);

583 SENSOR_temp_cal_b[17] = READ_BUF[0];
584 SENSOR_temp_cal_b[18] = READ_BUF[1];
585 SENSOR_temp_cal_b[19] = READ_BUF[2];
586 SENSOR_temp_cal_b[20] = READ_BUF[3];
587 SENSOR_temp_cal_b[21] = READ_BUF[4];
588 SENSOR_temp_cal_b[22] = READ_BUF[5];
589 SENSOR_temp_cal_b[23] = READ_BUF[6];
590 SENSOR_temp_cal_b[24] = READ_BUF[7];
591 SENSOR_temp_cal_b[25] = READ_BUF[8];
592 SENSOR_temp_cal_b[26] = READ_BUF[9];
```

```

593 SENSOR_temp_cal_b[27] = READ_BUF[10];
594 SENSOR_temp_cal_b[28] = READ_BUF[11];
595 SENSOR_temp_cal_b[29] = READ_BUF[12];
596 SENSOR_temp_cal_b[30] = READ_BUF[13];
597 SENSOR_temp_cal_b[31] = READ_BUF[14];
598 SENSOR_temp_cal_b[32] = READ_BUF[15];

600 // Speicher auslesen
601 Read_Bytes(0,5,0,BUF_SIZE);

603 SENSOR_temp_cal_b[33] = READ_BUF[0];
604 SENSOR_temp_cal_b[34] = READ_BUF[1];
605 SENSOR_temp_cal_b[35] = READ_BUF[2];
606 SENSOR_temp_cal_b[36] = READ_BUF[3];
607 SENSOR_temp_cal_b[37] = READ_BUF[4];
608 SENSOR_temp_cal_b[38] = READ_BUF[5];
609 SENSOR_temp_cal_b[39] = READ_BUF[6];
610 SENSOR_temp_cal_b[40] = READ_BUF[7];
611 AH_MASTER          = (READ_BUF[8]<<8) | READ_BUF[9];
612 CELL_VOLT_MAX      = (READ_BUF[10]<<8) | READ_BUF[11];
613 CELL_VOLT_MIN      = (READ_BUF[12]<<8) | READ_BUF[13];
614 BATT_CAPACITY      = (READ_BUF[14]<<8) | READ_BUF[15];

616 // Speicher auslesen
617 Read_Bytes(0,6,0,BUF_SIZE);

619 CURRENT_tara       = (READ_BUF[0]<<8) | READ_BUF[1];
620 CURRENT_INVERT     = READ_BUF[2];
621 // 0 = READ_BUF[3];
622 // 0 = READ_BUF[4];
623 // 0 = READ_BUF[5];
624 // 0 = READ_BUF[6];
625 // 0 = READ_BUF[7];
626 // 0 = READ_BUF[8];
627 // 0 = READ_BUF[9];
628 // 0 = READ_BUF[10];
629 // 0 = READ_BUF[11];
630 // 0 = READ_BUF[12];
631 // 0 = READ_BUF[13];
632 // 0 = READ_BUF[14];
633 // 0 = READ_BUF[15];
634 // 0 = READ_BUF[16];

636 }

638 /*-----
639 read data at startup
640 -----*/
641 void FLASH_read_at_startup(void)
642 /*-----*/
643 {
644     LCD_send_cmd(LCD_LINE1);
645     LCD_send_text("Read contr.data ");
646     LCD_send_cmd(LCD_LINE2);
647     LCD_send_text("YES  NO      ");

649     while(1)
650     {
651         if(BATMON_control_reg & B1)
652             // Button 1 = YES, read controll data from flash

```

```

653     {
654         UART0_send_text("Read data\r\n");
655         FLASH_Read_Controller_Data();
656         BATMON_control_reg &= ~(B1|B2|B3);
657         // clear button state
658         break;
659         // exit while loop
660     }
661     if(BATMON_control_reg & B2)
662         // Button 2 = NO, write init sequence
663     {
664         RADIO_init_frame();
665         // write first frame with actual time and 0 as data
666         BATMON_control_reg &= ~(B1|B2|B3);
667         // clear button state
668         break;
669         // exit while loop
670     }
671 }
672 }

```

Listing 10: Quellcode des Datenloggers (MSP\_functions.c)

```

1  /*-----
2  Project:      Specialfunctions for the MSP430x1232 and
3               MSP430x169
4  Used components:  MSP430-169STK
5  Date:        10/28/2007
6  Last update:   09/05/2008
7  Author:       Stephan Plaschke
8
9  Modified by:   Alexander Hoops
10 Last modification: 12/02/2010
11 -----
12
13 -----
14 Headerfiles
15 -----*/
16 #include <ISR.h>
17 #include <ADC.h>
18 #include <RTC.h>
19 #include <main.h>
20 #include <flash.h>
21 #include <stdio.h>
22 #include <flash.h>
23 #include <stdlib.h>
24 #include <string.h>
25 #include <signal.h>
26 #include <lcd16x2.h>
27 #include <msp430x16x.h>
28 #include <uart_menu.h>
29 #include <MSP_functions.h>
30
31 /*-----
32 Static
33 -----*/
34 static unsigned char *BATMON_menu_msg[17]={
35     " Show sensors  ",
36     " Start recording",
37     " Stop recording ",

```

```

38     " Load contr.data",
39     " Save contr.data",
40     " Set date/time ",
41     " Backlight     ",
42     " Current tara  ",
43     " Current invert ",
44     " Scan sensors  ",
45     " Calibrate temp ",
46     "NEXT  OK   EXIT",
47     "YES   NO    ",
48     "OFF   ON    ",
49     "6     12   MORE",
50     "24    40  EXIT",
51     "+     OK   EXIT"
52 };

54 /*-----
55  Functions
56 -----*/

58 /*-----
59  Set DCO to selected frequency
60  clk_multi is the multiplier of the A_clk (32768KHz)
61  Error_code:
62  0 -> no error
63  1 -> oscillator error
64 -----*/
65 unsigned char DCO_set (unsigned int clk_multi)
66 /*-----*/
67 {
68     unsigned int Compare, Oldcapture = 0;
69     unsigned int Max_turns=10000;
70     unsigned char Error_code=0;

72     BCSTL1 |= DIVA_3;           // ACLK= LFXT1CLK/8
73     CCTL2 = CM_1 + CCIS_1 + CAP; // CAP, ACLK
74     TACTL = TASSEL_2 + MC_2 + TACLK; // SMCLK, cont-mode, clear

76     while (1)
77     {
78         while (!(CCIFG & CCTL2)); // Wait until capture occurred
79         CCTL2 &= ~CCIFG; // Clear flag
80         Compare = CCR2; // Get current captured SMCLK
81         Compare = Compare - Oldcapture; // SMCLK difference
82         Oldcapture = CCR2; // get current captured SMCLK
83         if (clk_multi == Compare) // clk_multi = compare then exit
84         {
85             Error_code = 0; // no error occurs
86             break;
87         }
88         else if (clk_multi < Compare) // too fast, slow it down
89         {
90             DCOCTL--;
91             /* decrease DCOCTL register
92             * if DCOCTL overrun and basic clock register RSELx bits are not equal 0
93             * decrease RSELx bits */
94             if ((DCOCTL == 0xFF) && (!(BCSTL1 == (XT2OFF + DIVA_3)))
95                 BCSTL1--;
96         }
97         else // too slow, fast it up

```

```

98     {
99         DCOCTL++;
100         /* increase DCOCTL register if DCOCTL overrun and basic clock
101         register RSELx bits are equal 1 increase RSELx bits */
102         if ((DCOCTL == 0x00) && (!(BCSCTL1 == (XT2OFF + 0x07 + DIVA_3))))
103             BCSCTL1++;
104     }

106     if (!(--Max_turns)) // if 10k turns reached exit with error
107     {
108         Error_code = 1;
109         break;
110     }
111 }
112 CCTL2 = 0;           // Stop CCR2
113 TACTL = 0;          // Stop Timer_A
114 BCSCTL1 &= ~DIVA_3; // restore BCSCTL1
115 BCSCTL2 &= ~(DIVS_3 | DIVM_3); // restore BCSCTL2

117     return (Error_code);
118 }

120 /*-----
121 Set XT2 to selected frequency
122 clk_multi is the multiplier of the A_clk (32768KHz)
123 Error_code:
124 0 -> no error
125 1 -> external oscillator error
126 2 -> clock wrong, set to 4MHZ
127 -----*/
128 unsigned char XT2_set (unsigned int clk_multi)
129 /*-----*/
130 {
131     unsigned int Max_turns = 1000;
132     unsigned char i, Error_code = 0;

134     _BIC_SR(OSCOFF); // switch LFXT on
135     BCSCTL1 &= ~XT2OFF; // XT2on

137     do
138     {
139         IFG1 &= ~OFIFG; // Clear OSCFault flag
140         for (i = 0xFF; i > 0; i--); // Time for flag to set

142         if (!(--Max_turns)) // stop after 1k tries, error with ext osc!
143         {
144             Error_code = 1;
145             break;
146         }
147     }
148     while ((IFG1 & OFIFG)); // OSCFault flag still set?

150     BCSCTL2 |= SELM_2 | SELS; // MCLK = SMCLK = XT2 (safe)

152     switch (clk_multi)
153     {
154     case MHZ_8:
155         BCSCTL2 &= ~(DIVS_3 | DIVM_3); // SMCLK&MCLK = XT2 / 1
156         break;
157     case MHZ_4:

```

```

158     BCSCCTL2 |= DIVS_1 | DIVM_1;    // SMCLK&MCLK = XT2 / 2
159     break;
160     case MHZ_2:
161         BCSCCTL2 |= DIVS_2 | DIVM_2;    // SMCLK&MCLK = XT2 / 4
162         break;
163     case MHZ_1:
164         BCSCCTL2 |= DIVS_3 | DIVM_3;    // SMCLK&MCLK = XT2 / 8
165         break;
166     default:
167         Error_code = 2;
168         BCSCCTL2 |= DIVS_1 | DIVM_1;    // SMCLK&MCLK = XT2 / 2
169         break;
170     }
171     return (Error_code);
172 }

174 /*-----
175 putchar() defined for use with printf
176 PRINTF_LCD : output on LCD of the MSP430x169STK board
177 PRINTF_UART: output through RS232
178 -----*/
179 int putchar(int c)
180 //-----
181 {
182     UART0_send((unsigned char)c);
183     return(c);
184 }

186 //*****
187 /*-----
188 MSP430x169 specific functions
189 -----*/

191 /*-----
192 PORTS init
193 -----*/
194 void PORTS_init(void)
195 /*-----*/
196 {

198     P1SEL = PORT1_SEL;    // Port1 I/O Funktion
199     P1DIR = PORT1_DIR;    // Port1 Ausgang
200     P1IES = PORT1_IES;    // Port1 interrupt edge select
201     P1IE  = PORT1_IE;    // Port1 interrupt enable

203     P2SEL = PORT2_SEL;    // Port2 I/O Funktion
204     P2DIR = PORT2_DIR;    // Port2 Ausgang
205     P2IES = PORT2_IES;    // Port2 interrupt edge select
206     P2IE  = PORT2_IE;    // Port2 interrupt enable

208     P3SEL = PORT3_SEL;    // enable special funktion on PIN3.4, 3.5
209     P3DIR = PORT3_DIR;    // set direction, PIN3.4 OUTPUT

211     P4OUT = PORT4_SEL;    // LCD ini, set PORT4 as output
212     P4DIR = PORT4_DIR;

214     P5SEL = PORT5_SEL;    // Port5 I/O Funktion
215     P5DIR = PORT5_DIR;    // Port5 Ausgang

217     P6SEL = PORT6_SEL;    // P6.x ADC option select

```

```

218 | P6DIR = PORT6_DIR;
219 | }
221 | /*-----
222 | ADC0 init
223 | -----*/
224 | void ADC0_init(void)
225 | /*-----*/
226 | {
227 |     ADC12CTL0 = ADC12ON+SHT0_0+REFON+REF2_5V; // ADC12ON / reference on 2.5V
228 |     ADC12CTL1 = SHP; // SHP benutzen
229 |     ADC12MCTL0 = SREF_1+ADC0_BS; // Vr+=Vref+, ADC0 bitselect
230 | }
232 | /*-----
233 | get ADC0 result
234 | -----*/
235 | int ADC0_sampling(void)
236 | /*-----*/
237 | {
238 |     ADC12CTL0 |= ADC12SC + ENC; // Sampling open
239 |     ADC12CTL0 &= ~ADC12SC; // Sampling closed, start conversion
240 |     while ((ADC12CTL1 & ADC12BUSY) == 1); // ADC12 busy?
241 |     return(*ADC12MEM); // return the value read from ADC
242 | }
244 | /*-----
245 | Init USART0, automatic baud rate generation for selected uC frequency
246 | -----*/
247 | void USART0_init(unsigned char USART0_IRQ, unsigned char USART0_MODE)
248 | /*-----*/
249 | {
250 |     UCTL0 = SWRST + CHAR; // set 8bit, none parity and 1 stoppbit
251 |     UTCTL0 |= SSEL_2; // set SMCLK as USART0_CLK
253 |     switch (uC_FREQUENCY) // set UART to selected mode with selected
254 |         // uC frequency
255 |     {
256 |     case MHZ_1:
257 |         switch (USART_BAUD)
258 |         {
259 |         case BAUD_19k2: UBR00 = 0x34; // see manual
260 |             UBR10 = 0x00;
261 |             UMCTL0 = 0x20;
262 |             break;
263 |         case BAUD_9600: UBR00 = 0x68; // see manual
264 |             UBR10 = 0x00;
265 |             UMCTL0 = 0x04;
266 |             break;
267 |         case BAUD_4800: UBR00 = 0xd0; // see manual
268 |             UBR10 = 0x00;
269 |             UMCTL0 = 0x92;
270 |             break;
271 |         default: UBR00 = 0x68; // see manual
272 |             UBR10 = 0x00;
273 |             UMCTL0 = 0x04;
274 |             break;
275 |         };
276 |         break;
277 |     case MHZ_2:

```

```
278     switch (USART_BAUD)
279     {
280     case BAUD_115k2: UBR00 = 0x11;      // see manual
281         UBR10 = 0x00;
282         UMCTL0 = 0x52;
283         break;
284     case BAUD_19k2: UBR00 = 0x68;      // see manual
285         UBR10 = 0x00;
286         UMCTL0 = 0x04;
287         break;
288     case BAUD_9600: UBR00 = 0xD0;     // see manual
289         UBR10 = 0x00;
290         UMCTL0 = 0x92;
291         break;
292     case BAUD_4800: UBR00 = 0xA0;     // see manual
293         UBR10 = 0x01;
294         UMCTL0 = 0x6D;
295         break;
296     default: UBR00 = 0x68;            // see manual
297         UBR10 = 0x00;
298         UMCTL0 = 0x04;
299     break;
300     };
301     break;
302 case MHZ_4:
303     switch (USART_BAUD)
304     {
305     case BAUD_115k2: UBR00 = 0x22;    // see manual
306         UBR10 = 0x00;
307         UMCTL0 = 0xDD;
308         break;
309     case BAUD_19k2: UBR00 = 0xD0;    // see manual
310         UBR10 = 0x00;
311         UMCTL0 = 0x92;
312         break;
313     case BAUD_9600: UBR00 = 0xA0;    // see manual
314         UBR10 = 0x01;
315         UMCTL0 = 0x6D;
316         break;
317     case BAUD_4800: UBR00 = 0x41;    // see manual
318         UBR10 = 0x03;
319         UMCTL0 = 0x92;
320         break;
321     default: UBR00 = 0x68;            // see manual
322         UBR10 = 0x00;
323         UMCTL0 = 0x04;
324     break;
325     };
326     break;
327 case MHZ_8:
328     switch (USART_BAUD)
329     {
330     case BAUD_115k2: UBR00 = 0x45;    // see manual
331         UBR10 = 0x00;
332         UMCTL0 = 0xAA;
333         break;
334     case BAUD_19k2: UBR00 = 0xA0;    // see manual
335         UBR10 = 0x01;
336         UMCTL0 = 0x6D;
337         break;
```

```

338     case BAUD_9600: UBR00 = 0x41;      // see manual
339         UBR10 = 0x03;
340         UMCTL0 = 0x92;
341         break;
342     case BAUD_4800: UBR00 = 0x82;      // see manual
343         UBR10 = 0x6;
344         UMCTL0 = 0x6D;
345         break;
346     default: UBR00 = 0x68;             // see manual
347         UBR10 = 0x00;
348         UMCTL0 = 0x04;
349         break;
350     };
351     break;
352 }

354 switch (USART0_MODE)
355 {
356     case RX: ME1 |= URXE0;           // enable UART0 RX
357         break;
358     case TX: ME1 |= UTXE0;           // enable UART0 TX
359         break;
360     case RX_TX: ME1 |= (URXE0 | UTXE0); // enable UART0 TX&RX
361         break;
362     default: ME1 &= ~(UTXE0 | URXE0); // disable UART0 TX&RX
363         break;
364 }

366 UCTL0    &= ~SWRST;                // clear SWRST

368 switch (USART0_IRQ)
369 {
370     case RX_INT: IE1 |= URXIE0;      // enable UART0 RX ISR
371         break;
372     case TX_INT: IE1 |= UTXIE0;      // enable UART0 TX ISR
373         break;
374     case RX_TX_INT: IE1 |= UTXIE0+URXIE0; // enable UART0 TX&RX ISR
375         break;
376     default: IE1 &= ~UTXIE0+URXIE0;  // disable UART0 TX&RX ISR
377         break;
378 }
379 }

381 /*-----
382  send character
383 -----*/
384 void USART0_send(unsigned char out_char)
385 /*-----*/
386 {
387     while(!(UTCTL0&TXEPT)); // look if USART0 still busy
388     TXBUFO = out_char;     // write char in transmit buffer
389 }

391 /*-----
392  Send string to USART
393 -----*/
394 void USART0_send_text(char *out_string)
395 /*-----*/
396 {
397     while (*out_string) // *out_string != '\0'

```

```

398     {
399         UART0_send(*out_string);    // send byte to LCD
400         out_string++;
401     }
402 }

404 /*-----
405     TIMERB init
406 -----*/
407 void TIMERB_init(void)
408 /*-----*/
409 {
410     // initialise TIMERB0, ACLK/1, up mode, capture/compare0 int
411     TBCTL  &= ~MC_3;    // disable Timer_B
412     TBCTL  = TBSSEL_1 | TBCLR;    // set timer register, clear TAR
413     TBCCTL0 = CCIE;    // set control register
414     TBCCR0  = 500;
415     TBCTL  |= MC_1;    // start Timer_B

417     _EINT();    // enable interrupts
418 }

420 /*-----
421     store receive frame
422 -----*/
423 void RADIO_store_frame(void)
424 /*-----*/
425 {
426     static DATA_STRUCT Data;
427     DATA_STRUCT *pData = &Data;

429     pData->C0  = RTC_values.day;
430     pData->C1  = RTC_values.month;
431     pData->C2  = (unsigned char)(RTC_values.year >> 8);
432     pData->C3  = (unsigned char)RTC_values.year;
433     pData->C4  = RTC_values.wday;
434     pData->C5  = RTC_values.hr;
435     pData->C6  = RTC_values.min;
436     pData->C7  = RTC_values.sec;
437     pData->C8  = RADIO_frame.frame_byte[3]; //Address
438     pData->C9  = RADIO_frame.frame_byte[4]; //Temp
439     pData->C10 = RADIO_frame.frame_byte[5]; //Temp
440     pData->C11 = RADIO_frame.frame_byte[6]; //Supp
441     pData->C12 = RADIO_frame.frame_byte[7]; //Supp
442     pData->C13 = RADIO_frame.frame_byte[8]; //Cell
443     pData->C14 = RADIO_frame.frame_byte[9]; //Cell
444     pData->C15 = RADIO_frame.frame_byte[10]; //CRC

446     Write_Ring_Flash(pData);
447 }

449 /*-----
450     init receive frame
451 -----*/
452 void RADIO_init_frame(void)
453 /*-----*/
454 {
455     static DATA_STRUCT Data;
456     DATA_STRUCT *pData;

```

```

458 | pData = &Data;
460 | // store time and data
461 | pData->C0 = RTC_values.day;
462 | pData->C1 = RTC_values.month;
463 | pData->C2 = (unsigned char)(RTC_values.year >> 8);
464 | pData->C3 = (unsigned char)RTC_values.year;
465 | pData->C4 = RTC_values.wday;
466 | pData->C5 = RTC_values.hr;
467 | pData->C6 = RTC_values.min;
468 | pData->C7 = RTC_values.sec;
469 | pData->C8 = 0x00;
470 | pData->C9 = 0x00;
471 | pData->C10 = 0x00;
472 | pData->C11 = 0x00;
473 | pData->C12 = 0x00;
474 | pData->C13 = 0x00;
475 | pData->C14 = 0x00;
476 | pData->C15 = 0x00;
478 | // write data to flash
479 | Write_Ring_Flash(pData);
480 | }
482 | /*-----
483 |   init radio unit
484 | -----*/
485 | void RADIO_init(void)
486 | /*-----*/
487 | {
488 |   // initialise TIMERA0, SMCLK/8, continous mode, capture on rising edge,
489 |   // capture/compare0 int
490 |   TACTL = TASSEL_2 | ID_3 | TACLK; // set timer register, clear TAR
491 |   TACCTL0 = CM_1 | CAP | SCS | CCIE; // set control register
492 |   TACTL |= MC_2; // start Timer_A
493 | }
495 | /*-----
496 |   enable radio unit
497 | -----*/
498 | void RADIO_enable(void)
499 | /*-----*/
500 | {
501 |   // begin with new frame
502 |   global_string[0] = NULLTERMINATOR;
503 |   BATMON_control_reg &= ~VALID_DATA_RECEIVED; // clear global value
504 |   RADIO_rx_state = SE_SEQ_PREPARE;
506 |   TACCTL0 |= CCIE | CAP; // enable capture interrupt
507 |   TACTL |= MC_2; // stop Timer_A
508 | }
510 | /*-----
511 |   disable radio unit
512 | -----*/
513 | void RADIO_disable(void)
514 | /*-----*/
515 | {
516 |   TACTL &= ~MC_2; // stop Timer_A
517 |   TACCTL0 &= ~CAP;

```

```
518 TACCTLO &= ~CCIE; // disable interrupt
519 }

521 /*-----
522 batmon main menu
523 -----*/
524 void BATMON_menu_options(void)
525 /*-----*/
526 {
527     unsigned char BATMON_menu_position;
528     unsigned char BATMON_menu_counter;
529     unsigned char time_tmp, i;

531     BATMON_menu_position = BATMON_MENU_MAIN;
532     BATMON_menu_counter = 0;

534     while(BATMON_menu_position != BATMON_MENU_EXIT)
535     {
536         switch(BATMON_menu_position)
537         {
538             case BATMON_MENU_START:
539                 LCD_send_cmd(LCD_LINE1);
540                 LCD_send_text(BATMON_menu_msg[1]);
541                 LCD_send_cmd(LCD_LINE2);
542                 LCD_send_text(BATMON_menu_msg[12]);

544                 while(1)
545                 {
546                     if(BATMON_control_reg & B1) // Button 1 = YES,
547                     {
548                         UART_menu_start();
549                         BATMON_control_reg &= ~(B1|B2|B3); // clear button state
550                         break; // exit while loop
551                     }
552                     if(BATMON_control_reg & B2) // Button 2 = NO,
553                     {
554                         BATMON_control_reg &= ~(B1|B2|B3); // clear button state
555                         break; // exit while loop
556                     }
557                 }

559                 BATMON_menu_position = BATMON_MENU_EXIT;
560                 break; // exit switch case

562             case BATMON_MENU_STOP:
563                 LCD_send_cmd(LCD_LINE1);
564                 LCD_send_text(BATMON_menu_msg[2]);
565                 LCD_send_cmd(LCD_LINE2);
566                 LCD_send_text(BATMON_menu_msg[12]);

568                 while(1)
569                 {
570                     if(BATMON_control_reg & B1) // Button 1 = YES,
571                     {
572                         UART_menu_stop();
573                         BATMON_control_reg &= ~(B1|B2|B3);
574                         // clear button state
575                         break; // exit while loop
576                     }
577                     if(BATMON_control_reg & B2) // Button 2 = NO,
```

```
578     {
579         BATMON_control_reg &= ~(B1|B2|B3);
580         // clear button state
581         break;    // exit while loop
582     }
583 }

585     BATMON_menu_position = BATMON_MENU_EXIT;
586     break;    // exit switch case

588 case BATMON_MENU_SAVE:
589     LCD_send_cmd(LCD_LINE1);
590     LCD_send_text(BATMON_menu_msg[4]);
591     LCD_send_cmd(LCD_LINE2);
592     LCD_send_text(BATMON_menu_msg[12]);

594     while(1)
595     {
596         if(BATMON_control_reg & B1) // Button 1 = YES
597         {
598             UART_menu_write_controll();
599             BATMON_control_reg &= ~(B1|B2|B3);
600             // clear button state
601             break;    // exit while loop
602         }
603         if(BATMON_control_reg & B2) // Button 2 = NO
604         {
605             BATMON_control_reg &= ~(B1|B2|B3);
606             // clear button state
607             break;    // exit while loop
608         }
609     }

611     BATMON_menu_position = BATMON_MENU_EXIT;
612     break;    // exit switch case

614 case BATMON_MENU_LOAD:
615     LCD_send_cmd(LCD_LINE1);
616     LCD_send_text(BATMON_menu_msg[3]);
617     LCD_send_cmd(LCD_LINE2);
618     LCD_send_text(BATMON_menu_msg[12]);

620     while(1)
621     {
622         if(BATMON_control_reg & B1) // Button 1 = YES
623         {
624             UART_menu_read_controll();
625             BATMON_control_reg &= ~(B1|B2|B3);
626             // clear button state
627             break;    // exit while loop
628         }
629         if(BATMON_control_reg & B2) // Button 2 = NO,
630         {
631             BATMON_control_reg &= ~(B1|B2|B3);
632             // clear button state
633             break;    // exit while loop
634         }
635     }

637     BATMON_menu_position = BATMON_MENU_EXIT;
```

```

638     break;    // exit switch case

640 case BATMON_MENU_RTC:
641     LCD_send_cmd(LCD_LINE1); // clear first LCD row
642     LCD_send_text("                ");
643     RTC_init();    // enter RTC init mode

645     BATMON_menu_position = BATMON_MENU_EXIT;
646     break;    // exit switch case

648 case BATMON_MENU_SHOW:
649     time_tmp = RTC_values.sec + 5;

651     if (time_tmp > 59)
652         time_tmp -= 60;

654     LCD_send_cmd(LCD_LINE1);
655     LCD_send_text("                ");
656     LCD_send_cmd(LCD_LINE2);
657     LCD_send_text("                ");
658     LCD_send_cmd(LCD_LINE1);

660     while(time_tmp != RTC_values.sec)
661     {
662         for(i=0; i<SENSOR_active; i++)
663         {
664             // jump to second line if maximum of line
665             // one reached
666             if(((i%16) == 0) &&
667                 (i!=0)) LCD_send_cmd(LCD_LINE2);

669             // i/8 = byte-, i%8 = bit position in array
670             if((SENSOR_addr_req[i/8] >> (i%8)) & 0x01)
671                 LCD_send_data(' ');
672             else
673                 LCD_send_data('* ');
674         }

676         LCD_send_cmd(LCD_LINE1);
677     }

679     LCD_send_cmd(LCD_LINE1);
680     LCD_send_text("                ");

682     BATMON_menu_position = BATMON_MENU_EXIT;
683     break;    // exit switch case

685 case BATMON_MENU_MAIN:
686     LCD_send_cmd(LCD_LINE1);
687     LCD_send_text(BATMON_menu_msg[0]);
688     LCD_send_cmd(LCD_LINE2);
689     LCD_send_text(BATMON_menu_msg[11]);

691     while(1)
692     {
693         // Button B1 pressed, scroll through menu
694         if(BATMON_control_reg & B1)
695         {
696             if (++BATMON_menu_counter > 10)
697                 {

```

```
698         BATMON_menu_counter = 0;
699     }

701     LCD_send_cmd(LCD_LINE1);
702     LCD_send_text(BATMON_menu_msg
703                 [BATMON_menu_counter]);
704     BATMON_control_reg &= ~(B1|B2|B3);
705     // clear button state
706 }

708 // Button B2 pressed, accept menu item
709 else if(BATMON_control_reg & B2)
710 {
711     switch (BATMON_menu_counter)
712     {
713     case 0:
714         BATMON_menu_position =
715             BATMON_MENU_SHOW;
716         break; // exit switch case
717     case 1:
718         BATMON_menu_position =
719             BATMON_MENU_START;
720         break; // exit switch case
721     case 2:
722         BATMON_menu_position =
723             BATMON_MENU_STOP;
724         break; // exit switch case
725     case 3:
726         BATMON_menu_position =
727             BATMON_MENU_LOAD;
728         break; // exit switch case
729     case 4:
730         BATMON_menu_position =
731             BATMON_MENU_SAVE;
732         break; // exit switch case
733     case 5:
734         BATMON_menu_position =
735             BATMON_MENU_RTC;
736         break; // exit switch case
737     case 6:
738         BATMON_menu_position =
739             BATMON_MENU_BL;
740         break; // exit switch case
741     case 7:
742         BATMON_menu_position =
743             BATMON_MENU_CTAR;
744         break; // exit switch case
745     case 8:
746         BATMON_menu_position =
747             BATMON_MENU_CINV;
748         break; // exit switch case
749     case 9:
750         BATMON_menu_position =
751             BATMON_MENU_SCAN;
752         break; // exit switch case
753     case 10:
754         BATMON_menu_position =
755             BATMON_MENU_CALI;
756         break; // exit switch case
757     }
```

```
759     BATMON_control_reg &= ~(B1|B2|B3);
760     // clear button state
761     break; // exit while loop
762 }
763 // Button B3 pressed, exit menu
764 else if(BATMON_control_reg & B3)
765 {
766     if (Enable_clear_lcd == ON)
767     {
768         LCD_send_cmd(LCD_LINE1);
769         LCD_send_text(" ");
770     }
771     else if (Enable_clear_lcd == STATUS)
772     {
773         LCD_send_cmd(LCD_LINE1);
774         LCD_send_text(" Radio disabled ");
775     }
776     LCD_send_time();
777     BATMON_menu_position = BATMON_MENU_EXIT;
778     BATMON_control_reg &= ~(B1|B2|B3);
779     // clear button state
780     break; // exit while loop
781 }
782 }
783
784 break; // exit switch case
785 // switch Backlight ON/OFF
786 case BATMON_MENU_BL:
787     LCD_send_cmd(LCD_LINE1);
788     LCD_send_text(BATMON_menu_msg[6]);
789     LCD_send_cmd(LCD_LINE2);
790     LCD_send_text(BATMON_menu_msg[13]);
791
792 while(1)
793 {
794     // Button B1 pressed, Backlight ON
795     if(BATMON_control_reg & B1)
796     {
797         BL_OFF;
798         LCD_send_time();
799         UART0_send_text("Backlight OFF\r\n");
800         BATMON_menu_position = BATMON_MENU_EXIT;
801         BATMON_control_reg &= ~(B1|B2|B3);
802         // clear button state
803         break; // exit while loop
804     }
805
806     // Button B2 pressed, Backlight OFF
807     else if(BATMON_control_reg & B2)
808     {
809         BL_ON;
810         LCD_send_time();
811         UART0_send_text("Backlight ON\r\n");
812         BATMON_menu_position = BATMON_MENU_EXIT;
813         BATMON_control_reg &= ~(B1|B2|B3);
814         // clear button state
815         break; // exit while loop
816     }
817 }
```

```
818     break;
819 // Set actual current value at zero Current TARA
820 case BATMON_MENU_CTAR:
821     LCD_send_cmd(LCD_LINE1);
822     LCD_send_text(BATMON_menu_msg[7]);
823     LCD_send_cmd(LCD_LINE2);
824     LCD_send_text(BATMON_menu_msg[12]);

825     while(1)
826     {
827         // Button B1 pressed, set zero
828         if(BATMON_control_reg & B1)
829         {
830             CURRENT_tara = 0;
831             scan_mode = 4;
832             ADC_start();
833             LCD_send_time();
834             BATMON_menu_position = BATMON_MENU_EXIT;
835             BATMON_control_reg &= ~(B1|B2|B3);
836             // clear button state
837             break; // exit while loop
838         }
839     }

840 // Button B2 pressed, exit menu
841 else if(BATMON_control_reg & B2)
842     {
843         LCD_send_time();
844         BATMON_menu_position = BATMON_MENU_EXIT;
845         BATMON_control_reg &= ~(B1|B2|B3);
846         // clear button state
847         break; // exit while loop
848     }
849 }
850 break;
851 // invert current values "sensor type specific"
852 case BATMON_MENU_CINV:
853     LCD_send_cmd(LCD_LINE1);
854     LCD_send_text(BATMON_menu_msg[8]);
855     LCD_send_cmd(LCD_LINE2);
856     LCD_send_text(BATMON_menu_msg[12]);

857     while(1)
858     {
859         // Button B1 pressed, invert current values
860         if(BATMON_control_reg & B1)
861         {
862             if (CURRENT_INVERT == 0)
863             {
864                 CURRENT_INVERT = 1;
865             }
866             else
867             {
868                 CURRENT_INVERT = 0;
869             }
870             LCD_send_time();
871             BATMON_menu_position = BATMON_MENU_EXIT;
872             BATMON_control_reg &= ~(B1|B2|B3);
873             // clear button state
874             break; // exit while loop
875         }
876     }
```

```
879 // Button B2 pressed, exit menu
880 else if(BATMON_control_reg & B2)
881 {
882     LCD_send_time();
883     BATMON_menu_position = BATMON_MENU_EXIT;
884     BATMON_control_reg &= ~(B1|B2|B3);
885     // clear button state
886     break; // exit while loop
887 }
888 }
889 break;
890 // scan for sensors
891 case BATMON_MENU_SCAN:
892     LCD_send_cmd(LCD_LINE1);
893     LCD_send_text(BATMON_menu_msg[9]);
894     LCD_send_cmd(LCD_LINE2);
895     LCD_send_text(BATMON_menu_msg[14]);
896
897 while(1)
898 {
899     // Button B1 pressed, scan 6 sensors
900     if(BATMON_control_reg & B1)
901     {
902         BATMON_menu_position = BATMON_MENU_EXIT;
903         BATMON_control_reg &= ~(B1|B2|B3);
904         // clear button state
905         SCAN(6);
906         break; // exit while loop
907     }
908
909     // Button B2 pressed, scan 12 sensors
910     else if(BATMON_control_reg & B2)
911     {
912         BATMON_menu_position = BATMON_MENU_EXIT;
913         BATMON_control_reg &= ~(B1|B2|B3);
914         // clear button state
915         SCAN(12);
916         break; // exit while loop
917     }
918     // Button B3 pressed, more sensors submenu
919     else if(BATMON_control_reg & B3)
920     {
921         LCD_send_cmd(LCD_LINE2);
922         LCD_send_text(BATMON_menu_msg[15]);
923         BATMON_control_reg &= ~(B1|B2|B3);
924         // clear button state
925         while(1)
926         {
927             // Button B1 pressed, scan 24 sensors
928             if(BATMON_control_reg & B1)
929             {
930                 BATMON_menu_position =
931                     BATMON_MENU_EXIT;
932                 BATMON_control_reg &=
933                     ~(B1|B2|B3);
934                 // clear button state
935                 SCAN(24);
936                 break; // exit while loop
937             }

```

```
939 // Button B2 pressed, scan 40 sensors
940 else if(BATMON_control_reg & B2)
941 {
942     BATMON_menu_position =
943     BATMON_MENU_EXIT;
944     BATMON_control_reg &=
945     ~(B1|B2|B3);
946     // clear button state
947     SCAN(40);
948     break; // exit while loop
949 }
950 // Button B3 pressed, exit menu
951 else if(BATMON_control_reg & B3)
952 {
953     LCD_send_time();
954     BATMON_menu_position =
955     BATMON_MENU_EXIT;
956     BATMON_control_reg &=
957     ~(B1|B2|B3);
958     // clear button state
959     break; // exit while loop
960 }
961 }
962 break; // exit while loop
963 }
964 }
965 break;
966 // calibrate temperature sensors
967 case BATMON_MENU_CALI:
968     LCD_send_cmd(LCD_LINE1);
969     LCD_send_text(BATMON_menu_msg[10]);
970     LCD_send_cmd(LCD_LINE2);
971     LCD_send_text(BATMON_menu_msg[12]);
972     unsigned long Temperature=200;
973     unsigned char tenner,ones,dezi;
974     while(1)
975     {
976         // Button B1 pressed, submenu
977         if(BATMON_control_reg & B1)
978         {
979             LCD_send_cmd(LCD_LINE1);
980             LCD_send_text(" Temp:");
981             tenner = (Temperature%1000)/100;
982             ones = (Temperature%100)/10;
983             dezi = Temperature %10;
984             LCD_send_data(tenner+48);
985             LCD_send_data(ones+48);
986             LCD_send_text(".");
987             LCD_send_data(dezi+48);
988             LCD_send_data(223);
989             LCD_send_text("C ");
990             LCD_send_cmd(LCD_LINE2);
991             LCD_send_text(BATMON_menu_msg[16]);
992             BATMON_control_reg &= ~(B1|B2|B3);
993             // clear button state
994             while(1)
995             {
996                 // Button B1 pressed, increment start value
997                 if(BATMON_control_reg & B1)
```

```
998     {
999         Temperature+=5;
1000         if (Temperature > 500)
1001         {
1002             Temperature = 100;
1003         }
1004         LCD_send_cmd(LCD_LINE1);
1005         LCD_send_text(" Temp:");
1006         tenner =
1007         (Temperature%1000)/100;
1008         ones = (Temperature%100)/10;
1009         dezi = Temperature %10;
1010         LCD_send_data(tenner+48);
1011         LCD_send_data(ones+48);
1012         LCD_send_text(".");
1013         LCD_send_data(dezi+48);
1014         LCD_send_data(223);
1015         LCD_send_text("C ");
1016         BATMON_control_reg &=
1017             ~(B1|B2|B3);
1018         // clear button state
1019     }

1021     // Button B2 pressed, calibrate
1022     else if(BATMON_control_reg & B2)
1023     {
1024         BATMON_menu_position =
1025             BATMON_MENU_EXIT;
1026         BATMON_control_reg &=
1027             ~(B1|B2|B3);
1028         // clear button state
1029         CALIBRATE(Temperature);
1030         break; // exit while loop
1031     }
1032     // Button B3 pressed, exit
1033     else if(BATMON_control_reg & B3)
1034     {
1035         LCD_send_time();
1036         BATMON_menu_position =
1037             BATMON_MENU_EXIT;
1038         BATMON_control_reg &=
1039             ~(B1|B2|B3);
1040         // clear button state
1041         break; // exit while loop
1042     }
1043 }
1044 }
1045 // Button B2 pressed, EXIT
1046 else if(BATMON_control_reg & B2)
1047 {
1048     BATMON_menu_position = BATMON_MENU_EXIT;
1049     BATMON_control_reg &= ~(B1|B2|B3);
1050     // clear button state
1051     break; // exit while loop
1052 }
1053 else if (BATMON_menu_position == BATMON_MENU_EXIT)
1054 {
1055     break; // exit while loop
1056 }
1057 }
```

```

1058     }
1059 }
1060 // set text in first LCD line
1061 if (Enable_clear_lcd == STATUS)
1062 {
1063
1064     LCD_send_cmd(LCD_LINE1);
1065     LCD_send_text(" Radio disabled ");
1066 }
1067 else if (Enable_clear_lcd == ON)
1068 {
1069     LCD_send_cmd(LCD_LINE1);
1070     LCD_send_text("                ");
1071 }
1072 // set time on second LCD line
1073 LCD_send_time();
1074 }
1075 /*-----
1076 Scan function - scans for sensors
1077 -----*/
1078 void SCAN(unsigned char sensors)
1079 /*-----*/
1080 {
1081     unsigned char i;
1082     if ((sensors == 6) || (sensors == 12) || (sensors == 24) || (sensors == 40))
1083     {
1084         //first clear all addresses
1085         for (i=0; i < 40; i++)
1086         {
1087             SENSOR_address[i] = 0;
1088         }
1089
1090         SENSOR_active = sensors; //change numer of active sensors
1091         UART_menu_stop(); //stop uart so scanning cannot be interrupted
1092         LCD_send_cmd(LCD_LINE1); //set cursor to first line of display
1093         LCD_send_text(" Scanning... "); //write text to display
1094         UART0_send_text("Scan enabled \r\n"); //write to uart
1095         LCD_send_cmd(LCD_LINE2); //set cursor to second line of display
1096         LCD_send_text("Stop "); //write to display
1097         Enable_clear_lcd = OFF; //disable clear lcd flag
1098         scan_mode = 1; //enable scanmode in interrupt
1099         RADIO_enable(); //enable receiver
1100
1101         //Button 1 stopps scan
1102         while (scan_mode == 1)
1103         {
1104             if(BATMON_control_reg & B1)
1105             {
1106                 BATMON_control_reg &= ~(B1|B2|B3);
1107                 // clear button state
1108                 scan_mode = 0;
1109                 RADIO_disable();
1110                 Enable_clear_lcd = ON;
1111                 LCD_send_cmd(LCD_LINE1);
1112                 LCD_send_text(" Scan halted ");
1113                 UART0_send_text("Scan halted \r\n");
1114             }
1115         }
1116         LCD_send_time();
1117     }

```

```

1118 //wrong number of sensors --> error try again
1119 else
1120 {
1121     LCD_send_cmd(LCD_LINE1);
1122     LCD_send_text(" Scan impossible");
1123     UART0_send_text("Scan impossible \r\n");
1124     Enable_clear_lcd = ON;
1125 }
1126 }
1127 /*-----
1128 Calibration function
1129 -----*/
1130 void CALIBRATE(unsigned long Temperature)
1131 /*-----
1132 {
1133     UART_menu_stop();
1134     temp_correct_value = Temperature*8/10;
1135     UART0_send_text("Calibrating... \r\n");
1136     LCD_send_cmd(LCD_LINE1);
1137     LCD_send_text(" Calibrating... ");
1138     LCD_send_cmd(LCD_LINE2);
1139     LCD_send_text("Stop          ");
1140     Enable_clear_lcd = OFF;
1141     scan_mode = 2;
1142     RADIO_enable();
1143     while (scan_mode > 1)
1144     {
1145         if(BATMON_control_reg & B1)
1146         {
1147             BATMON_control_reg &= ~(B1|B2|B3);
1148             // clear button state
1149             scan_mode = 0;
1150             RADIO_disable();
1151             Enable_clear_lcd = ON;
1152             LCD_send_cmd(LCD_LINE1);
1153             LCD_send_text(" Cali. halted ");
1154             UART0_send_text("Calibration halted \r\n");
1155         }
1156     }
1157     LCD_send_time();
1158 }

```

Listing 11: Quellcode des Datenloggers (RTC.c)

```

1  /*-----
2  Project:      MSP430 RTC source file
3  Used components:  MSP430-169STK
4  Date:        02/08/2008
5  Last update:  09/05/2008
6  Author:      Stephan Plaschke
7
8  Modified by:  Alexander Hoops
9  Last modification:  12/02/2010
10 -----
11
12 -----
13 Headerfiles
14 -----*/
15 #include <RTC.h>
16 #include <ADC.h>

```

```

17 #include <main.h>
18 #include <stdio.h>
19 #include <signal.h> // needed for interrupt
20 #include <lcd16x2.h>
21 #include <msp430x16x.h>
22 #include <MSP_functions.h>

24 /*-----
25 Static
26 -----*/
27 static unsigned char *RTC_days[7]={
28     "MON ",
29     "TUE ",
30     "WED ",
31     "THU ",
32     "FRY ",
33     "SAT ",
34     "SUN "
35 };

37 static unsigned char *RTC_months[12]={
38     "Jan",
39     "Feb",
40     "Mar",
41     "Apr",
42     "May",
43     "Jun",
44     "Jul",
45     "Aug",
46     "Sep",
47     "Oct",
48     "Nov",
49     "Dec"
50 };

51 /*-----
52 RTC init (initialize watchdog timer)
53 -----*/
54 void RTC_init(void)
55 /*-----*/
56 {
57     unsigned char time_char;

59     RTC_menue_position = RTC_MENUE_DAY;
60     BATMON_control_reg &= ~(B1 | B2 | B3);

62     /* initialise watchdog timer used for BLINKY, intervall mode, 1/4sec */
63     WDTCTL = WDTPW | WDTTMSSEL | WDTCNTCL | WDTISSEL | WDTIS_1; /* 1/4sec intervall mode
        */
64     WDT_function = BLINKY;
65     IE1 |= WDTIE; /* enable Watchdog interrupt */

67     /* initialise TIMERB0, ACLK/1, up mode, capture/compare0 int*/
68     /*TBCTL &= ~MC_3; // disable Timer_B
69     TBCTL = TBSSEL_1 | TBCLR; // set timer register, clear TAR
70     TBCCTL0 = CCIE; // set control register
71     TBCCR0 = 500;
72     TBCTL |= MC_1; // start Timer_B
73     */
74     /* global interrupt enable */
75     _EINT();

```

```
77  /* display real time and weekday */
78  LCD_send_date();
79  /*-----
80  Edit the date
81  -----*/
82  do
83  {
84  /* if B1 and B2 are pressed exit the RTC_EDIT_MODE */
85  if ((BATMON_control_reg & B1) && (BATMON_control_reg & B2))
86  {
87  BATMON_control_reg &= ~(B1 | B2);
88  RTC_menuue_position = RTC_MENUUE_EXIT;
89  }
90  /* only B1 is pressed decrement the editable value(day,sec,min,hr) */
91  else if(BATMON_control_reg & B1)
92  {
93  BATMON_control_reg &= ~B1; // clear button state variable
94  LED2_TOGGLE;
95  switch(RTC_menuue_position)
96  {
97  case RTC_MENUUE_DAY: if(RTC_values.day == 1) RTC_values.day = 31;
98  else RTC_values.day--;
99  break;
100 case RTC_MENUUE_MONTH: if(RTC_values.month == 0) RTC_values.month = 11;
101 else RTC_values.month--;
102 break;
103 case RTC_MENUUE_YEAR: if(RTC_values.year == 0) RTC_values.year = 4000;
104 else RTC_values.year--;
105 break;
106 default: break;
107 }
108 }
109 /* only B2 is pressed increment the editable value(day,sec,min,hr) */
110 else if(BATMON_control_reg & B2)
111 {
112 BATMON_control_reg &= ~B2; // clear button state variable
113 LED2_TOGGLE;
114 switch(RTC_menuue_position)
115 {
116 case RTC_MENUUE_DAY: if(RTC_values.day == 31) RTC_values.day = 1;
117 else RTC_values.day++;
118 break;
119 case RTC_MENUUE_MONTH: if(RTC_values.month == 11) RTC_values.month = 0;
120 else RTC_values.month++;
121 break;
122 case RTC_MENUUE_YEAR: if(RTC_values.year == 4000) RTC_values.year = 0;
123 else RTC_values.year++;
124 break;
125 default: break;
126 }
127 }
128 /* only B3 is pressed change the editable value */
129 else if(BATMON_control_reg & B3)
130 {
131 BATMON_control_reg &= ~B3; // clear button state variable
132 LED2_TOGGLE;
133 /* display previews editable value */
134 switch(RTC_menuue_position)
135 {
```

```

136     case RTC_MENUE_DAY: LCD_send_cmd(LCD_RTC_DAY);
137         time_char = (RTC_values.day / 10) + 48;
138         LCD_send_data(time_char);
139         time_char = (RTC_values.day % 10) + 48;
140         LCD_send_data(time_char);
141         break;
142     case RTC_MENUE_MONTH: LCD_send_cmd(LCD_RTC_MONTH);
143         LCD_send_text(RTC_months[RTC_values.month]);
144         break;
145     case RTC_MENUE_YEAR: LCD_send_cmd(LCD_RTC_YEAR);
146         time_char = RTC_values.year / 1000;
147         LCD_send_data(time_char+48);
148         time_char = (RTC_values.year / 100) - ((RTC_values.year/1000) * 10);
149         LCD_send_data(time_char+48);
150         time_char = (RTC_values.year / 10) - ((RTC_values.year/100) * 10);
151         LCD_send_data(time_char+48);
152         time_char = RTC_values.year % 10;
153         LCD_send_data(time_char+48);
154         break;
155     default: break;
156 }
157 /* change editable value */
158 if(RTC_menue_position == RTC_MENUE_YEAR)
159     RTC_menue_position = RTC_MENUE_DAY;
160 else
161     RTC_menue_position++;
162 }
163 }
164 while(RTC_menue_position != RTC_MENUE_EXIT);

166 /*-----
167 Edit the weekday and time
168 -----*/
169 /* display real time and weekday */
170 IE1 &= ~WDTIE; // disable Watchdog interrupt
171 RTC_menue_position = RTC_MENUE_WDAY;
172 LCD_send_time();
173 IE1 |= WDTIE; // enable Watchdog interrupt

175 do
176 {
177 /* if B1 and B2 are pressed exit the RTC_EDIT_MODE */
178     if ((BATMON_control_reg & B1) && (BATMON_control_reg & B2))
179     {
180         BATMON_control_reg &= ~(B1 | B2);
181         RTC_menue_position = RTC_MENUE_EXIT;
182     }
183 /* only B1 is pressed decrement the editable value(day,sec,min,hr) */
184     else if(BATMON_control_reg & B1)
185     {
186         BATMON_control_reg &= ~B1; // clear button state variable
187         LED2_TOGGLE;
188         switch(RTC_menue_position)
189         {
190             case RTC_MENUE_WDAY: if(RTC_values.wday == MON) RTC_values.wday = SUN;
191                 else RTC_values.wday--;
192                 break;
193             case RTC_MENUE_HR: if(RTC_values.hr == 0) RTC_values.hr = 23;
194                 else RTC_values.hr--;
195                 break;

```

```

196     case RTC_MENU_MIN: if(RTC_values.min == 0) RTC_values.min = 59;
197         else RTC_values.min--;
198         break;
199     case RTC_MENU_SEC: if(RTC_values.sec == 0) RTC_values.sec = 59;
200         else RTC_values.sec--;
201         break;
202     default: break;
203 }
204 }
205 /* only B2 is pressed increment the editable value(day,sec,min,hr) */
206 else if(BATMON_control_reg & B2)
207 {
208     BATMON_control_reg &= ~B2; // clear button state variable
209     LED2_TOGGLE;
210     switch(RTC_menu_position)
211     {
212     case RTC_MENU_WDAY: if(RTC_values.wday == SUN) RTC_values.wday = MON;
213         else RTC_values.wday++;
214         break;
215     case RTC_MENU_HR: if(RTC_values.hr == 23) RTC_values.hr = 0;
216         else RTC_values.hr++;
217         break;
218     case RTC_MENU_MIN: if(RTC_values.min == 59) RTC_values.min = 0;
219         else RTC_values.min++;
220         break;
221     case RTC_MENU_SEC: if(RTC_values.sec == 59) RTC_values.sec = 0;
222         else RTC_values.sec++;
223         break;
224     default: break;
225     }
226 }
227 /* only B3 is pressed change the editable value */
228 else if(BATMON_control_reg & B3)
229 {
230     BATMON_control_reg &= ~B3; // clear button state variable
231     LED2_TOGGLE;
232     /* display previews editable value */
233     switch(RTC_menu_position)
234     {
235     case RTC_MENU_WDAY: LCD_send_cmd(LCD_RTC_WDAY);
236         LCD_send_text(RTC_days[RTC_values.wday]);
237         break;
238     case RTC_MENU_HR: LCD_send_cmd(LCD_RTC_HR);
239         time_char = (RTC_values.hr / 10) + 48;
240         LCD_send_data(time_char);
241         time_char = (RTC_values.hr % 10) + 48;
242         LCD_send_data(time_char);
243         break;
244     case RTC_MENU_MIN: LCD_send_cmd(LCD_RTC_MIN);
245         time_char = (RTC_values.min / 10) + 48;
246         LCD_send_data(time_char);
247         time_char = (RTC_values.min % 10) + 48;
248         LCD_send_data(time_char);
249         break;
250     case RTC_MENU_SEC: LCD_send_cmd(LCD_RTC_SEC);
251         time_char = (RTC_values.sec / 10) + 48;
252         LCD_send_data(time_char);
253         time_char = (RTC_values.sec % 10) + 48;
254         LCD_send_data(time_char);
255         break;

```

```

256         default: break;
257     }
258     /* change editable value */
259     if(RTC_menue_position == RTC_MENUE_SEC)
260         RTC_menue_position = RTC_MENUE_WDAY;
261     else
262         RTC_menue_position++;
263 }
264 }
265 while(RTC_menue_position != RTC_MENUE_EXIT);

267 /* initialise watchdog timer used for RTC, intervall mode, 1sec */
268 WDTCTL = WDTPW | WDTTMSSEL | WDTCNTCL | WDTSSSEL; /* 1sec intervall mode */
269 WDT_function = RTC;
270 IE1 |= WDTIE; /* enable Watchdog interrupt */

272 /* global interrupt disable */
273 //_DINT();

275 // switch LEDS off
276 LED1_OFF;
277 LED2_OFF;

279 /* display real time and day */
280 LCD_send_time();

282 if (Enable_clear_lcd == STATUS)
283 {
284     LCD_send_cmd(LCD_LINE1);
285     LCD_send_text(" Radio disabled ");
286 }
287 else if(Enable_clear_lcd == ON)
288 {
289     LCD_send_cmd(LCD_LINE1);
290     LCD_send_text(" ");
291 }
292 }

294 /*-----
295 RTC compare tmp and real time
296 -----*/
297 void RTC_compare(RTC_MSP430 *RTC_tmp)
298 /*-----
299 {
300     unsigned char time_char;

302     /* compare old RTC values with real values */
303     if(RTC_values.wday != RTC_tmp->wday)
304     {
305         RTC_tmp->wday = RTC_values.wday;
306         LCD_send_cmd(LCD_RTC_WDAY);
307         LCD_send_text(RTC_days[RTC_values.wday]);
308     }
309     if(RTC_values.hr != RTC_tmp->hr)
310     {
311         RTC_tmp->hr = RTC_values.hr;
312         LCD_send_cmd(LCD_RTC_HR);
313         time_char = (RTC_values.hr / 10) + 48;
314         LCD_send_data(time_char);
315         time_char = (RTC_values.hr % 10) + 48;

```

```

316     LCD_send_data(time_char);
317 }
318 if(RTC_values.min != RTC_tmp->min)
319 {
320     RTC_tmp->min = RTC_values.min;
321     LCD_send_cmd(LCD_RTC_MIN);
322     time_char = (RTC_values.min / 10) + 48;
323     LCD_send_data(time_char);
324     time_char = (RTC_values.min % 10) + 48;
325     LCD_send_data(time_char);
326 }
327 if(RTC_values.sec != RTC_tmp->sec)
328 {
329     RTC_tmp->sec = RTC_values.sec;
330     LCD_send_cmd(LCD_RTC_SEC);
331     time_char = (RTC_values.sec / 10) + 48;
332     LCD_send_data(time_char);
333     time_char = (RTC_values.sec % 10) + 48;
334     LCD_send_data(time_char);
335 }
336 }

338 /*-----
339     RTC startup, set time/date or init timer only
340 -----*/
341 void RTC_startup(void)
342 //-----
343 {
344     LCD_send_cmd(LCD_LINE1);
345     LCD_send_text(" Set date/time ");
346     LCD_send_cmd(LCD_LINE2);
347     LCD_send_text("YES  NO      ");

349     while(1)
350     {
351         if(BATMON_control_reg & B1) // Button 1 = YES,
352         {
353             RTC_init();
354             BATMON_control_reg &= ~(B1|B2|B3); // clear button state
355             break; // exit while loop
356         }
357         if(BATMON_control_reg & B2) // Button 2 = NO,
358         {
359             /* initialise watchdog timer used for RTC, intervall mode, 1sec */
360             WDTCTL = WDTPW | WDTTMSSEL | WDTCNTCL | WDTISSEL; /* 1sec intervall mode */
361             WDT_function = RTC;
362             IE1 |= WDTIE; // enable Watchdog interrupt */

364             /* display real time and day */
365             LCD_send_time();
366             BATMON_control_reg &= ~(B1|B2|B3); // clear button state
367             break; // exit while loop
368         }
369     }
370 }

372 /*-----
373     Watchdog interrupt service routine
374 -----*/

```

```

376 interrupt (WDT_VECTOR) WATCH_DOG(void)
377 /*-----*/
378 {
379     static uint8_t WDT_tmp;
380     static uint8_t BLINKY_state;

382     unsigned char time_char, j, address_byte, address_bit, i;

384     //store measurments every 1 sec if measure mode is set
385     //-----
386     if (measuring == 1) {
387         for (i = 0; i < (SENSOR_active + 1); i++) //for each active sensor + current sensor
388         {
389             if (i < SENSOR_active)
390             {
391                 address_byte = i / 8; //count address byte index every 8 bit
392                 address_bit = i % 8; //count bit index

394                 //only store data of requested sensors
395                 if (SENSOR_addr_req[address_byte] & (0x01 << address_bit))
396                 {
397                     for (j = 0; j < 8; j++)
398                     {
399                         RADIO_frame.frame_byte[j + 3] = SENSOR_last_data[j][i];
400                     }
401                     RADIO_store_frame();
402                 }
403             }
404             //store current sensor
405             else {
406                 RADIO_frame.frame_byte[3] = 0; //Current sensor has address '0'
407                 RADIO_frame.frame_byte[4] = 0;
408                 RADIO_frame.frame_byte[5] = (unsigned char) AH_last_minute_IN_OUT;
409                 RADIO_frame.frame_byte[6] = 0;
410                 RADIO_frame.frame_byte[7] = 0;
411                 RADIO_frame.frame_byte[8] = AH_last_sec >> 8;
412                 RADIO_frame.frame_byte[9] = (unsigned char) AH_last_sec & 0xff;
413                 RADIO_frame.frame_byte[10] = 0;
414                 RADIO_store_frame();
415                 Check_BAT();
416             }
417         }
418     }
419     switch (SENSOR_active) {
420     case 12: // 12 sensors are configured
421         SENSOR_addr_req[0] = 0xFF; // set required sensors values
422         SENSOR_addr_req[1] = 0x0F;
423         SENSOR_addr_receiv[0] = 0xFF;
424         SENSOR_addr_receiv[1] = 0x0F;
425         break;
426     case 24: // 24 sensors are configured
427         SENSOR_addr_req[0] = 0xFF; // set required sensors
428         SENSOR_addr_req[1] = 0xFF;
429         SENSOR_addr_req[2] = 0xFF;
430         SENSOR_addr_req[3] = 0x00;
431         SENSOR_addr_receiv[0] = 0xFF;
432         SENSOR_addr_receiv[1] = 0xFF;
433         SENSOR_addr_receiv[2] = 0xFF;
434         SENSOR_addr_receiv[3] = 0x00;
435         break;

```

```

436 case 40: // 24 sensors are configured
437     SENSOR_addr_req[0] = 0xFF; // set required sensors
438     SENSOR_addr_req[1] = 0xFF;
439     SENSOR_addr_req[2] = 0xFF;
440     SENSOR_addr_req[3] = 0xFF;
441     SENSOR_addr_req[4] = 0xFF;
442     SENSOR_addr_receiv[0] = 0xFF;
443     SENSOR_addr_receiv[1] = 0xFF;
444     SENSOR_addr_receiv[2] = 0xFF;
445     SENSOR_addr_receiv[3] = 0xFF;
446     SENSOR_addr_receiv[4] = 0xFF;
447     break;
448 default: // 6 sensors are configured
449     SENSOR_addr_req[0] = 0x3F; // set required sensors
450     SENSOR_addr_receiv[0] = 0x3F;
451     break;
452 }
453 //-----

455 switch (WDT_function) {
456 /* 1 sec timer for the real time clock */

458     // set sensors active every 60 seconds

460 case RTC:
461     if(++RTC_values.sec == 60)           // 60 seconds reached? --> save data to flash
462         when measuring is enabled
463     {
464         RTC_values.sec = 0;

465         if(++RTC_values.min == 60)       // 60 minutes reached?
466         {
467             RTC_values.min = 0;
468             if(++RTC_values.hr == 24)    // 0 o'clock reached?
469             {
470                 RTC_values.hr = 0;
471                 if ((RTC_values.year % 4) == 0) // leap year
472                 {
473                     RTC_values.day++;
474                     if((RTC_values.month == 1)&&(RTC_values.day==30)) // february
475                     {
476                         RTC_values.month++;
477                         RTC_values.day = 1;
478                     }
479                 }
480                 else // normal year
481                 {
482                     RTC_values.day++;
483                     if((RTC_values.month == 1)&&(RTC_values.day==29))
484                     {
485                         RTC_values.month++;
486                         RTC_values.day = 1;
487                     }
488                 }

490                 // 30 day update (April, June, August, October, December)
491                 if (((RTC_values.month == 3) || (RTC_values.month == 5) || (RTC_values.month
492                     == 7) ||
493                     (RTC_values.month == 9) || (RTC_values.month == 11)) && RTC_values.day ==
494                     31)

```

```

493     {
494         RTC_values.day = 1;
495         RTC_values.month++;
496     }

498     // 31 day update (january, March, Mai, July, September, November)
499     if (RTC_values.day == 32)
500     {
501         RTC_values.day = 1;
502         RTC_values.month++;
503     }

505     // year update
506     if(RTC_values.month == 12)
507     {
508         RTC_values.month = 0;
509         RTC_values.year++;
510     }

512     // weekday update
513     if(++RTC_values.wday == (SUN+1))
514         RTC_values.wday = MON;
515     }
516 }
517 }
518 if (Enable_clear_lcd & ON)    // if radio enabled clear LCD/reset rx process
519 {
520     // Clear LCD active message every 4 seconds
521     if( (!(RTC_values.sec+1) % 4))
522         BATMON_control_reg |= CLEAR_FIRST_LCD_ROW;
523     // reset rx process every 30 seconds
524     if( !(RTC_values.sec+1) % 30))
525     {
526         if (measuring == 1)
527         {
528             RADIO_enable();
529         }
530     }
531 }
532 break;
533 /* switch every 0,5 sec the editable value on or off, only in RTC_EDIT_MODE */
534 case BLINKY:
535     if(++WDT_tmp == 2)
536     {
537         WDT_tmp = 0;
538         LED1_TOGGLE;
539         if(BLINKY_state ^= 0x01)
540         {
541             switch (RTC_menue_position)
542             {
543                 case RTC_MENUE_WDAY: LCD_send_cmd(LCD_RTC_WDAY);
544                     LCD_send_text(RTC_days[RTC_values.wday]);
545                     break;
546                 case RTC_MENUE_HR: LCD_send_cmd(LCD_RTC_HR);
547                     time_char = (RTC_values.hr / 10) + 48;
548                     LCD_send_data(time_char);
549                     time_char = (RTC_values.hr % 10) + 48;
550                     LCD_send_data(time_char);
551                     break;
552                 case RTC_MENUE_MIN: LCD_send_cmd(LCD_RTC_MIN);

```

```
553     time_char = (RTC_values.min / 10) + 48;
554     LCD_send_data(time_char);
555     time_char = (RTC_values.min % 10) + 48;
556     LCD_send_data(time_char);
557     break;
558     case RTC_MENUE_SEC: LCD_send_cmd(LCD_RTC_SEC);
559     time_char = (RTC_values.sec / 10) + 48;
560     LCD_send_data(time_char);
561     time_char = (RTC_values.sec % 10) + 48;
562     LCD_send_data(time_char);
563     break;
564     case RTC_MENUE_DAY: LCD_send_cmd(LCD_RTC_DAY);
565     time_char = (RTC_values.day / 10) + 48;
566     LCD_send_data(time_char);
567     time_char = (RTC_values.day % 10) + 48;
568     LCD_send_data(time_char);
569     break;
570     case RTC_MENUE_MONTH: LCD_send_cmd(LCD_RTC_MONTH);
571     LCD_send_text(RTC_months[RTC_values.month]);
572     break;
573     case RTC_MENUE_YEAR: LCD_send_cmd(LCD_RTC_YEAR);
574     time_char = RTC_values.year / 1000;
575     LCD_send_data(time_char+48);
576     time_char = (RTC_values.year / 100) - ((RTC_values.year/1000) * 10);
577     LCD_send_data(time_char+48);
578     time_char = (RTC_values.year / 10) - ((RTC_values.year/100) * 10);
579     LCD_send_data(time_char+48);
580     time_char = RTC_values.year % 10;
581     LCD_send_data(time_char+48);
582     break;
583 }
584 }
585 else
586 {
587     // update screen
588     BATMON_control_reg |= CLEAR_FIRST_LCD_ROW;
589     switch (RTC_menue_position)
590     {
591     case RTC_MENUE_WDAY: LCD_send_cmd(LCD_RTC_WDAY);
592     LCD_send_text(" ");
593     break;
594     case RTC_MENUE_HR: LCD_send_cmd(LCD_RTC_HR);
595     LCD_send_text(" ");
596     break;
597     case RTC_MENUE_MIN: LCD_send_cmd(LCD_RTC_MIN);
598     LCD_send_text(" ");
599     break;
600     case RTC_MENUE_SEC: LCD_send_cmd(LCD_RTC_SEC);
601     LCD_send_text(" ");
602     break;
603     case RTC_MENUE_DAY: LCD_send_cmd(LCD_RTC_DAY);
604     LCD_send_text(" ");
605     break;
606     case RTC_MENUE_MONTH: LCD_send_cmd(LCD_RTC_MONTH);
607     LCD_send_text(" ");
608     break;
609     case RTC_MENUE_YEAR: LCD_send_cmd(LCD_RTC_YEAR);
610     LCD_send_text(" ");
611     break;
612     }
```

```

613     }
614 }
615     break;
616 default: break;
617 }
618 IFG1 &= ~WDTIFG; /* clear watchdog interrupt flag */
619 }

```

Listing 12: Quellcode des Datenloggers (lcd16x2.c)

```

1  /*-----
2  Project:      LCD16x2 functions
3  Used components:  MSP430-169STK
4  Date:        10/28/2007
5  Last update:  04/04/2008
6  Author:      Stephan Plaschke
7
8  Modified by:  Alexander Hoops
9  Last modification:  12/02/2010
10 -----*/
11
12 /*-----
13 Headerfiles
14 -----*/
15 #include <main.h>
16 #include <lcd16x2.h>
17 #include <msp430x16x.h>
18 #include <ADC.h>
19 // #include <MSP_functions.h>
20
21 /*-----
22 Static
23 -----*/
24 static unsigned char *RTC_days[7]={
25     "MON ",
26     "TUE ",
27     "WED ",
28     "THU ",
29     "FRY ",
30     "SAT ",
31     "SUN "
32 };
33
34 static unsigned char *RTC_months[12]={
35     "Jan",
36     "Feb",
37     "Mar",
38     "Apr",
39     "May",
40     "Jun",
41     "Jul",
42     "Aug",
43     "Sep",
44     "Oct",
45     "Nov",
46     "Dec"
47 };
48
49 /*-----
50 x ms delay loop

```

```

51 -----*/
52 void LCD_delay_ms(unsigned int LCD_delay_ms)
53 /*-----*/
54 {
55     unsigned int LCD_delay_loop;
56
57     switch (uC_FREQUENCY)
58     {
59         case MHZ_1: LCD_delay_loop = 73; //(88*b) cycles (for 1MHz)
60                 break;
61         case MHZ_2: LCD_delay_loop = 150; //(175*b) cycles (for 2MHz)
62                 break;
63         case MHZ_4: LCD_delay_loop = 304; //(350*b) cycles (for 4MHz)
64                 break;
65         case MHZ_8: LCD_delay_loop = 610; //(610*b) cycles (for 8MHz)
66                 break;
67         default: break;
68     }
69
70     for (; LCD_delay_ms>0; LCD_delay_ms--)
71     {
72         LCD_delay(LCD_delay_loop);
73     }
74 }
75
76 -----*/
77     delay loop
78     counts x times
79 -----*/
80 void LCD_delay(unsigned int LCD_delay_loop)
81 /*-----*/
82 {
83     for(; LCD_delay_loop>0; LCD_delay_loop--) _NOP();
84 }
85
86 -----*/
87     Init 16x2LCD
88 -----*/
89 void LCD_init(void)
90 /*-----*/
91 {
92     LCD_DATA_PORT &= ~LCD_RS_PIN; // sets LCD in COMMAND MODE
93     LCD_delay_ms(15); // Delay ca.15ms
94
95     LCD_DATA_PORT |= BIT4 | BIT5; // D7-D4 = 0011
96     LCD_DATA_PORT &= ~BIT6 & ~BIT7;
97     LCD_enable();
98     LCD_delay_ms(5);
99     LCD_enable();
100    LCD_delay_ms(1);
101    LCD_enable();
102    LCD_delay_ms(1);
103    LCD_DATA_PORT &= ~BIT4; // D7-D4 = 0010
104    LCD_enable();
105
106    LCD_send_cmd(LCD_ON); // switch LCD on
107    LCD_send_cmd(LCD_CLR); // clear LCD
108    LCD_send_cmd(LCD_LINE1); // set cursor to x=0, y=0
109 }

```

```
112 /*-----  
113 Toggle LCD_E pin  
114 -----*/  
115 void LCD_enable(void)  
116 /*-----*/  
117 {  
118     LCD_DATA_PORT |= LCD_E_PIN;  
119     _NOP();  
120     _NOP();  
121     LCD_DATA_PORT &= ~LCD_E_PIN;  
122 }  
  
125 /*-----  
126 Send command to LCD  
127 -----*/  
128 void LCD_send_cmd (unsigned char LCD_out_byte)  
129 /*-----*/  
130 {  
131     unsigned char LCD_tmp;  
  
132     LCD_delay_ms(1);  
133     LCD_tmp = LCD_out_byte & 0xf0; // get upper nibble  
134     LCD_DATA_PORT &= 0x0f;  
135     LCD_DATA_PORT |= LCD_tmp; // send CMD to LCD  
136     LCD_DATA_PORT &= ~LCD_RS_PIN; // sets LCD in COMMAND MODE  
137     LCD_enable();  
138     LCD_tmp = LCD_out_byte & 0x0f;  
139     LCD_tmp = LCD_tmp << 4; // get down nibble  
140     LCD_DATA_PORT &= 0x0f;  
141     LCD_DATA_PORT |= LCD_tmp;  
142     LCD_DATA_PORT &= ~LCD_RS_PIN; // sets LCD in COMMAND MODE  
143     LCD_enable();  
144 }  
145 }  
  
148 /*-----  
149 Send DATA to LCD  
150 -----*/  
151 void LCD_send_data (unsigned char LCD_out_byte)  
152 /*-----*/  
153 {  
154     unsigned char LCD_tmp;  
  
155     LCD_delay_ms(1);  
156     LCD_tmp = LCD_out_byte & 0xf0; // get upper nibble  
157     LCD_DATA_PORT &= 0x0f;  
158     LCD_DATA_PORT |= LCD_tmp; // send DATA to LCD  
159     LCD_DATA_PORT |= LCD_RS_PIN; // sets LCD in DATA MODE  
160     LCD_enable();  
161     LCD_tmp = LCD_out_byte & 0x0f;  
162     LCD_tmp = LCD_tmp << 4; // get lower nibble  
163     LCD_DATA_PORT &= 0x0f;  
164     LCD_DATA_PORT |= LCD_tmp;  
165     LCD_DATA_PORT |= LCD_RS_PIN; // sets LCD in DATA MODE  
166     LCD_enable();  
167 }  
168 }  
170 /*-----
```

```
171 | Send string to LCD
172 | -----*/
173 | void LCD_send_text(char *out_string)
174 | /*-----*/
175 | {
176 |     while (*out_string)          // *out_string != '\0'
177 |     {
178 |         LCD_send_data(*out_string); // send byte to LCD
179 |         out_string++;
180 |     }
181 | }
182 |
183 |
184 | /*-----
185 | send date
186 | -----*/
187 | void LCD_send_time(void)
188 | /*-----*/
189 | {
190 |     unsigned char time_char;
191 |
192 |     LCD_send_cmd(LCD_LINE2);
193 |     LCD_send_text("                >>");
194 |
195 |     LCD_send_cmd(LCD_RTC_WDAY);
196 |     LCD_send_text(RTC_days[RTC_values.wday]);
197 |
198 |     time_char = (RTC_values.hr / 10) + 48;
199 |     LCD_send_data(time_char);
200 |     time_char = (RTC_values.hr % 10) + 48;
201 |     LCD_send_data(time_char);
202 |     LCD_send_data(':');
203 |
204 |     time_char = (RTC_values.min / 10) + 48;
205 |     LCD_send_data(time_char);
206 |     time_char = (RTC_values.min % 10) + 48;
207 |     LCD_send_data(time_char);
208 |     LCD_send_data(':');
209 |
210 |     time_char = (RTC_values.sec / 10) + 48;
211 |     LCD_send_data(time_char);
212 |     time_char = (RTC_values.sec % 10) + 48;
213 |     LCD_send_data(time_char);
214 | }
215 |
216 |
217 | /*-----
218 | send date
219 | -----*/
220 | void LCD_send_date(void)
221 | /*-----*/
222 | {
223 |     unsigned char time_char;
224 |
225 |     LCD_send_cmd(LCD_LINE2);
226 |     LCD_send_text("                ");
227 |
228 |     LCD_send_cmd(LCD_RTC_DAY);
229 |     time_char = (RTC_values.day / 10) + 48;
230 |     LCD_send_data(time_char);
```

```

231 time_char = (RTC_values.day % 10) + 48;
232 LCD_send_data(time_char);

234 LCD_send_data('-');
235 LCD_send_text(RTC_months[RTC_values.month]);

237 LCD_send_data('-');
238 time_char = RTC_values.year / 1000;
239 LCD_send_data(time_char+48);
240 time_char = (RTC_values.year / 100) - ((RTC_values.year/1000) * 10);
241 LCD_send_data(time_char+48);
242 time_char = (RTC_values.year / 10) - ((RTC_values.year/100) * 10);
243 LCD_send_data(time_char+48);
244 time_char = RTC_values.year % 10;
245 LCD_send_data(time_char+48);
246 }

249 /*-----
250 send sensor address + voltage modified by A.H. and S.P.
251 -----*/
252 void LCD_send_sensor(unsigned char address_value, unsigned char voltage_value_high,
253 unsigned char voltage_value_low)
254 /*-----*/
255 {
256 unsigned char address_hundred, address_tenner, address_ones;
257 unsigned char voltage_ones, voltage_dezi, voltage_cent;
258 unsigned long voltage_work;
259 unsigned long voltage_complete;
260 voltage_work = voltage_value_high;
261 voltage_work = voltage_work << 8;
262 voltage_work |= voltage_value_low;

264 address_hundred = address_value / 100;
265 address_value %= 100;
266 address_tenner = address_value / 10;
267 address_value %= 10;
268 address_ones = address_value / 1;
269 voltage_work = voltage_work / 4.096;
270 voltage_complete = voltage_work;
271 if ((voltage_work % 10) < 5){
272 voltage_work = (voltage_work + 10);
273 }

275 voltage_ones = (unsigned char)(voltage_work / 1000);
276 voltage_work %= 1000;
277 voltage_dezi = (unsigned char)(voltage_work / 100);
278 voltage_work %= 100;
279 voltage_cent = (unsigned char)(voltage_work / 10);

281 LCD_send_cmd(LCD_LINE1);

283 LCD_send_text("Sens ");
284 LCD_send_data(address_hundred+48);
285 LCD_send_data(address_tenner+48);
286 LCD_send_data(address_ones+48);
287 LCD_send_text(" ");
288 if ((voltage_complete) < ((CELL_VOLT_MIN*10)+100))
289 {
290 if ((voltage_complete) > (CELL_VOLT_MIN*10))

```

```

291     {
292         LCD_send_text("lowvolt");
293     }
294     else
295     {
296         LCD_send_text("depth d");
297     }
298 }
299 else
300 {
301     LCD_send_data(voltage_ones+48);
302     LCD_send_text(",");
303     LCD_send_data(voltage_dezi+48);
304     LCD_send_data(voltage_cent+48);
305     LCD_send_text("V ");
306 }
307
308 }
309 /*-----*/
310     send sensor address/voltage from senosornmb by A.H.
311 /*-----*/
312 void LCD_show_voltage(unsigned char sensornmb)
313 /*-----*/
314 {
315     unsigned char value1_hundred, value1_tenner, value1_ones, value1_cent, value1_deci,
316         value1_milli;
317     unsigned char value2_tenner, value2_ones, value2_deci;
318     unsigned char value2_cent, value2_mill;
319     unsigned char sensornmb_tenner, sensornmb_ones;
320     unsigned long voltage_work, address_work, sensornmb_work, voltage_sum;
321     static unsigned long voltage_old, sensornmb_old, AH_last_minute_old;
322     static unsigned long current_old;
323     unsigned long current_work;
324     unsigned char o, Battery_octa, U_CAP;
325
326     voltage_work = SENSOR_last_data[3][(sensornmb-1)]<<8;
327     voltage_work |= SENSOR_last_data[4][(sensornmb-1)];
328     if ((voltage_work != voltage_old)|| (sensornmb!=sensornmb_old)||
329         (current_old!=CURRENT_last_data))
330     {
331         // show active sensor address + voltage
332         if ((sensornmb > 0) && (sensornmb <= SENSOR_active))
333         {
334             if ((sensornmb != sensornmb_old)|| (voltage_work !=
335                 voltage_old))
336             {
337                 voltage_old = voltage_work;
338                 address_work = SENSOR_address[sensornmb-1];
339                 value1_hundred = address_work / 100;
340                 address_work %= 100;
341                 value1_tenner = address_work / 10;
342                 address_work %= 10;
343                 value1_ones = address_work / 1;
344                 voltage_work = voltage_work / 4.096;
345                 if ((voltage_work % 10) >= 5){
346                     voltage_work += 5;
347                 }
348                 value2_ones = (unsigned char)(voltage_work / 1000);
349                 voltage_work %= 1000;

```

```
350     value2_dec1 = (unsigned char)(voltage_work / 100);
351     voltage_work %= 100;
352     value2_cent = (unsigned char)(voltage_work / 10);

354     sensornmb_work = sensornmb;
355     sensornmb_tenner = sensornmb_work / 10;
356     sensornmb_work %= 10;
357     sensornmb_ones = sensornmb_work;
358     LCD_send_cmd(LCD_LINE1);
359     LCD_send_text("Sens");
360     LCD_send_data(sensornmb_tenner+48);
361     LCD_send_data(sensornmb_ones+48);
362     LCD_send_text("/");
363     LCD_send_data(value1_hundred+48);
364     LCD_send_data(value1_tenner+48);
365     LCD_send_data(value1_ones+48);
366     LCD_send_text(" ");
367     LCD_send_data(value2_ones+48);
368     LCD_send_text(",");
369     LCD_send_data(value2_dec1+48);
370     LCD_send_data(value2_cent+48);
371     LCD_send_text("V");
372 }
373 }
374 // show overall voltage
375 else if (sensornmb > SENSOR_active)
376 {
377     if (sensornmb == SENSOR_active+1)
378     {
379         if ((sensornmb != sensornmb_old) || (voltage_work !=
380             voltage_old))
381         {
382             voltage_sum = 0;
383             voltage_old = voltage_work;

385             //summerize cell voltages
386             for (o=0; o<SENSOR_active; o++)
387             {
388                 voltage_work = SENSOR_last_data[3][o]<<8;
389                 voltage_work |= SENSOR_last_data[4][o];
390                 voltage_sum += voltage_work;
391             }

393             //scale voltage value
394             voltage_sum = voltage_sum / 4.096;

396             //round up
397             if ((voltage_sum % 10) >= 5){
398                 voltage_sum += 5;
399             }

401             voltage_sum %= 10000;
402             value2_tenner = (unsigned char)(voltage_sum / 10000);
403             voltage_sum %= 10000;
404             value2_ones = (unsigned char)(voltage_sum / 1000);
405             voltage_sum %= 1000;
406             value2_cent = (unsigned char)(voltage_sum / 100);
407             voltage_sum %= 100;
408             value2_dec1 = (unsigned char)(voltage_sum / 10);
409             voltage_sum %= 10;
```

```

410     value2_mill = (unsigned char) (voltage_sum);
411     LCD_send_cmd(LCD_LINE1);
412     LCD_send_text("U ges: ");
413     LCD_send_data(value2_tenner+48);
414     LCD_send_data(value2_ones+48);
415     LCD_send_text(",");
416     LCD_send_data(value2_cent+48);
417     LCD_send_data(value2_deci+48);
418     LCD_send_data(value2_mill+48);
419     LCD_send_text("V ");
420 }
421 }
422 // show consumption last minute
423 else if (sensornmb == SENSOR_active+2)
424 {
425     if ((sensornmb != sensornmb_old) ||
426         (AH_last_minute != AH_last_minute_old))
427     {
428         current_old = CURRENT_last_data;
429         AH_last_minute_old = AH_last_minute;
430         LCD_send_cmd(LCD_LINE1);
431         LCD_send_text("Co: ");
432         if (AH_last_minute_IN_OUT == 1)
433         {
434             current_work = AH_last_minute;
435             LCD_send_text(" ");
436         }
437         else
438         {
439             current_work = AH_last_minute;
440             LCD_send_text("-");
441         }
442         /*if (current_work%10>=5)
443         {
444             current_work += 5;
445         }*/
446         value1_hundred = current_work / 100000;
447         current_work %= 100000;
448         value1_tenner = current_work / 10000;
449         current_work %= 10000;
450         value1_ones = current_work / 1000;
451         current_work %= 1000;
452         value1_cent = current_work / 100;
453         current_work %= 100;
454         value1_deci = current_work / 10;
455         current_work %= 10;
456         value1_milli = current_work;
457
458         LCD_send_data(value1_hundred+48);
459         LCD_send_data(value1_tenner+48);
460         LCD_send_data(value1_ones+48);
461         LCD_send_text(",");
462         LCD_send_data(value1_cent+48);
463         /* LCD_send_data(value1_deci+48);
464         LCD_send_data(value1_milli+48)*/;
465         LCD_send_text("Ah/min");
466     }
467 }
468 // show actual batterie current
469 else if (sensornmb == SENSOR_active+3)

```

```

470     {
471         if ((sensornmb != sensornmb_old)||
472         (current_old != CURRENT_last_data))
473         {
474             current_old = CURRENT_last_data;
475             LCD_send_cmd(LCD_LINE1);
476             LCD_send_text(" Ibat :");
477             //charge --> negative
478             if (CURRENT_IN_OUT)
479                 LCD_send_text("-");
480             //discharge --> positive
481             else
482                 LCD_send_text(" ");

484             //calc actual current value dependent of sensor channel
485             if(CURRENT_channel==1) //use channel 1
486                 current_work = (unsigned long) (CURRENT_last_data*45.7);
487             else //use channel 2
488                 current_work = (unsigned long) (CURRENT_last_data*305.3);

490             //round up
491             /*if (current_work%10>=5)
492                 current_work += 5;*/

494             value1_hundred = current_work / 100000;
495             current_work %= 100000;
496             value1_tenner = current_work / 10000;
497             current_work %= 10000;
498             value1_ones = current_work / 1000;
499             current_work %= 1000;
500             value1_centi = current_work / 100;
501             current_work %= 100;
502             value1_deci = current_work / 10;
503             current_work %= 10;
504             value1_milli = current_work;

506             LCD_send_data(value1_hundred+48);
507             LCD_send_data(value1_tenner+48);
508             LCD_send_data(value1_ones+48);
509             LCD_send_text(",");
510             LCD_send_data(value1_centi+48);
511             LCD_send_data(value1_deci+48);
512             LCD_send_data(value1_milli+48);
513             LCD_send_text("A ");
514         }
515     }
516     // show batterie capacity
517     else if (sensornmb == SENSOR_active+4)
518     {
519         if ((sensornmb != sensornmb_old)||
520         (AH_last_minute_old != AH_last_minute))
521         {
522             LCD_send_cmd(LCD_LINE1);
523             LCD_send_text(" Cbat: ");
524             AH_last_minute_old = AH_last_minute;
525             current_work = AH_MASTER*44;
526             LCD_send_text(" ");

528             AH_last_minute_old = current_work;
529             if (current_work%10>=5)

```

```
530     {
531         current_work += 5;
532     }
533     value1_hundred = current_work / 10000;
534     current_work %= 10000;
535     value1_tenner = current_work / 1000;
536     current_work %= 1000;
537     value1_ones = current_work / 100;
538     current_work %= 100;
539     value1_deci = current_work / 10;
540     LCD_send_data(value1_hundred+48);
541     LCD_send_data(value1_tenner+48);
542     LCD_send_data(value1_ones+48);
543     LCD_send_text(",");
544     LCD_send_data(value1_deci+48);
545     LCD_send_text("Ah ");
546     }
547 }
548 // show batterie capacity segment
549 else if (sensornmb == SENSOR_active+5)
550 {
551     if ((sensornmb != sensornmb_old)||
552         (AH_last_minute_old != AH_last_minute))
553     {
554         AH_last_minute_old = AH_last_minute;
555         Battery_octa =
556         (AH_MASTER*0.44/BATT_CAPACITY)*9;
557         LCD_send_cmd(LCD_LINE1);
558         LCD_send_text(" Bat :");
559         LCD_send_data(91);
560         if (Battery_octa==0)
561         {
562             LCD_send_text(" !LOW! ");
563         }
564         else
565         {
566             for(o=0; o<Battery_octa && o<8; o++)
567             {
568                 LCD_send_data(1);
569             }
570
571             for(o=Battery_octa; o<8; o++)
572             {
573                 LCD_send_text(" ");
574             }
575         }
576         LCD_send_data(93);
577     }
578 }
579
580 // show battery capacity voltage based in percent
581 else
582 {
583     if ((sensornmb != sensornmb_old)||
584         (AH_last_minute_old != AH_last_minute))
585     {
586         AH_last_minute_old = AH_last_minute;
587         LCD_send_cmd(LCD_LINE1);
588         U_CAP = U_MASTER_CAPACITY;
```

```
590     value1_hundred = U_CAP / 100;
591     U_CAP %= 100;
592     value1_tenner = U_CAP / 10;
593     U_CAP %= 10;
594     value1_ones = U_CAP / 1;
595     LCD_send_text(" Cap_U:");
596     LCD_send_data(value1_hundred+48);
597     LCD_send_data(value1_tenner+48);
598     LCD_send_data(value1_ones+48);
599     LCD_send_text("% ");
600     LCD_send_text(" ");
601 }
602 }
603 }
604 // battery meter percent
605 else
606 {
607     if ((sensornmb != sensornmb_old) || (AH_last_minute_old !=
608         AH_last_minute))
609     {
610         AH_last_minute_old = AH_last_minute;
611         Battery_octa = (AH_MASTER*0.44/BATT_CAPACITY/1)*100;
612         value1_hundred = Battery_octa/100;
613         Battery_octa %= 100;
614         value1_tenner = Battery_octa/10;
615         Battery_octa %= 10;
616         value1_ones = Battery_octa/1;
617         LCD_send_cmd(LCD_LINE1);
618         LCD_send_text(" Bat% ");
619         if (value1_hundred == 1)
620         {
621             LCD_send_text("100");
622         }
623         else
624         {
625             LCD_send_data(value1_hundred+48);
626             LCD_send_data(value1_tenner+48);
627             LCD_send_data(value1_ones+48);
628         }
629         LCD_send_text("%");
630         LCD_send_text(" ");
631     }
632 }
633 sensornmb_old = sensornmb;
634 }
635 }
```

## B. Matlab Quellcode

### B.1. Framefehler Auswertung

Listing 13: M-File zum Auslesen der Informationen über die Framefehler aus dem Datenlogger

```

1 %this derivate of ferread reads the output of the uC's memory
2 clear all
3 close all;
4 %init number of steps to be recorded
5 steps = 1001;
6 %init error counter
7 errorcount = 0;
8 %% initialize com port and start recording
9 com_port = sprintf('COM%s', input('Enter COM-PORT:', 's'));
10 % open COM-PORT with 115200 baud and return as terminator
11 serial_port = serial(com_port, 'BaudRate', 115200, 'Terminator', 'CR');
12 fopen(serial_port);
13 set(serial_port, 'Timeout', 10);
14 %send data request
15 fprintf(serial_port, 'start'); %start a measurement
16 pause(5);
17 fprintf(serial_port, 'fer'); %start frame error output
18 %% read data
19 %create waitbar
20 h = waitbar(0, '1', 'Name', 'getting FER data...');

22 i = 1;
23 while i < steps
24     %try
25
26     [data, count, msg] = binblockread(serial_port, 'uint8');
27     if ~isempty(msg)
28         break
29     end
30     data2(i, :) = data';
31     %if an error occurs
32     %catch me
33     %errorcount = errorcount+1;
34     %disp(['Error in step: ' num2str(i)]);
35     %end
36     %increase waitcount od waitbar
37     message = sprintf('%i frames received', i);
38     waitbar(i/steps, h, message);
39     i = i+1;
40 end
41 %% close connection
42 fprintf(serial_port, 'fer'); %stop FER output
43 pause(1);
44 fprintf(serial_port, 'stop'); %stop measurement
45 fclose(serial_port);
46 delete(serial_port);
47 clear serial_port;
48 %save data matrix
49 save('feranalyse-6sensoren.mat', 'data2')

```

Listing 14: M-File zur Analyse und Darstellung der Information über die Framefehler

```

1 %fer analysis of basen receiver
2 %*****
3 %this function is supposed to present the frame error stuff in a "nice to
4 %look at plot". The input is the recorded data from batmon_fer function.
5 %
6 %The recorded data is formatted as follows:
7 %#####

```

```

8 | %Sensor Address||BitTooShort||BitTooLong||WrongRunIn||LostFrames||CrcError
9 | #####
10 | %
11 | %The data batmon_fer gives back has no time reference hence this function
12 | %tries to create an approximate one. This is given from the minimum frame
13 | %rate of a transmission. Despite this time reference is not very accurate
14 | %it at least gives an impression of transmission delays caused of
15 | %frameerrors. Additionally having an adopted time reference of fixed
16 | %intervals is an easier method than saving timer values for now.

18 | %Attention: This script expects the Sensor Addresses 31-36, 6 Sensors and
19 | %1000 row input! Keep in mind when editing!

21 | %convert input data to double
22 | %data2 = double(data2);
23 | %determine length of input
24 | datalength = length(data2);
25 | %used sensor addresses
26 | SENSOR_ADDRESS = 31:1:36;

28 | %% create general histogram for input data
29 | %count sensor reception rate
30 | receive_count = histc(data2(:,1),SENSOR_ADDRESS);

32 | %% sort screen data sensor by sensor, blank out
33 | %preallocate array for sorted sensors
34 | sensor = cell(1,6);
35 | sensor_screened = cell(1,6);
36 | sensor_lost = zeros(datalength,6);

38 | sensor_error = zeros(5,6);

40 | %search data for each sensor and blank out others
41 | for i = 1:6
42 |     sensor_screened(i) = { double(data2(:,1) == SENSOR_ADDRESS(i)) };
43 |     sensor(i) = { repmat(sensor_screened{i},1,6).*data2 };
44 |     sensor_lost(:,i) = sensor{i}(:,5);

46 |     for j = 1:5
47 |         sensor_error(j,i) = sum(sensor{i}(:,j+1));
48 |     end
49 | end

50 | %% create the time reference for the input data.
51 | %It is assumed that the fixed transmission time interval is 500ms for
52 | %each sensor. The maximum duration of the fer recording varies according
53 | %to actual the amount of frame errors. For that the amount of transmissions
54 | %of the last received sensor must be taken care of.

56 | %get received data rate
57 | sensor_rate = sum(sensor_lost)+receive_count';

59 | %determine the maximum rate
60 | [max_rate I] = max(sensor_rate);

62 | %preallocate timing matrix, first column is the time reference, the rest
63 | %will be for sensor timing
64 | sensor_timed = zeros(max_rate+1,7);
65 | sensor_timed(:,1) = 0:5:5*max_rate;

67 | %calculate sensor timings

```

```

68 %preallocate sensor timing cache
69 timing_cache = zeros(1,6);

71 %loop for element index of sorted input data
72 for i = 1:datalength

74 %determine cache index
75 index_cur = data2(i,1)-30;

77 %put sensor timing flag in right position
78 timing_cache(index_cur) = data2(i,5)+timing_cache(index_cur)+1;
79 sensor_timed(timing_cache(index_cur),index_cur+1) = 1;

81 end
82 %% plot the timing results
83 %get screen size
84 scrsz = get(0,'ScreenSize');
85 %plot stuff
86 figure('Name','sensor timing','Position',...
87     [1 scrsz(4)/2-75 scrsz(3)/2 scrsz(4)/2]);
88 bar(sensor_timed(:,1),sensor_timed(:,2:7),0.5,'stacked');
89 axis([min(sensor_timed(:,1)) max(sensor_timed(:,1)) 0 6.5]);
90 h = legend('31','32','33','34','35','36','orientation','vertical',...
91     'location','NorthEastOutside');
92 %legend title
93 v = get(h,'title');
94 set(v,'string','Sensor Address');
95 grid minor;
96 %label axis
97 xlabel('time in  $10^{-1}$  s','Interpreter','LaTeX','fontsize',10);
98 ylabel('Number of Sensors received simultaneously ','fontsize',8);
99 %title
100 title('Sensor Timing','fontsize',14);

102 %% create histogram for each sensor
103 % sort input data by sensor address row wise
104 figure('Name','Sensor Histogram','Position',...
105     [scrsz(3)/2+10 scrsz(4)/2-75 scrsz(3)/2-50 scrsz(4)/2]);
106 %calc relative sensor rate
107 receive_rel = receive_count./sensor_rate';
108 %plot sensor rate + overall
109 receive_all_rel = [sum(receive_count)/sum(sensor_rate);zeros(6,1)];
110 SENSOR_ADDRESS_all = [30 SENSOR_ADDRESS];
111 bar(SENSOR_ADDRESS, receive_rel);
112 hold on;
113 bar(SENSOR_ADDRESS_all,receive_all_rel,'r');
114 %label axis
115 xlabel('Sensor Address','fontsize',10);
116 ylabel('Frame Rate','fontsize',10);
117 %title
118 title('received Sensor Rates','fontsize',14);
119 %legend
120 legend('individual Sensor','overall');
121 %grid
122 grid minor
123 hold off;
124 %relative sensor errors
125 mask = ones(4,1)*sensor_error(4,:);
126 mask(3,:) = sensor_rate;
127 %treat RunIn separately

```

```

128 wrongRunIn = sensor_error(3,:);
129 sensor_error = [sensor_error(1:2,:);sensor_error(4:5,:)];
130 sensor_error_rel = sensor_error./mask;
131 figure('Name','Sensor Statistic','Position',...
132     [scrsz(3)/2+10 0 scrsz(3)/2-50 scrsz(4)/2]);
133 bar(SENSOR_ADDRESS,sensor_error_rel');
134 legend('too short','too long','lost frames','CRC fail');
135 grid minor
136 xlabel('Sensor Address','fontsize',10);
137 ylabel('error quota of all frames sent','fontsize',10);
138 receive_quota = sum(receive_count)/(sum(wrongRunIn)+sum(receive_count));
139 disp(['amount of successful received frames out of number of tries: ',...
140 num2str(receive_quota)]);
141 average_tries = sum(wrongRunIn)/sum(receive_count);
142 disp(['The receiver needs ',num2str(average_tries),' tries on average',...
143     ' to receive a frame successfully']);

```

## B.2. Auswertung zu den Messungen an der Starterbatterie

Listing 15: M-File zur Analyse und Darstellung der Information über die Framefehler

```

1 %cellanalysis_csv.m - is for interpreting the scopedata recorded for the
2 %cellmeasurement of the SLI battery.
3 %input: scopedata *.csv (tektronix)
4 %output: plots, cell voltages
5
6 %description: As input 2 csv files are necessary. These have to be formatted
7 %with textronix standard where the data is placed column by column
8 %channelwise. The first file contains the first few cells, the other one
9 %the rest. Both files must be named the same except of a last
10 %symbol/number attached to the second filename to work properly.
11
12 %% get file path and import data
13 [filename, pathname, filterindex] = uigetfile( ...
14     {'*.csv','test files (*.csv)'}, ...
15     'Pick a datafile from a battery measurement');
16 if isequal(filename,0) || isequal(pathname,0)
17     disp('Canceled by user in fileselect box');
18     return
19 else
20     filename_compl = fullfile(pathname, filename);
21     %list related files
22     list_csv = dir([filename_compl(1:end-4) '*.csv']);
23     if length(list_csv) < 2
24         disp(' ');
25         disp('Abort! There is no data for the 2. scope');
26         disp(' ');
27         return
28     else
29         disp(' ');
30         disp('User has selected the files:');
31         disp(' ');
32         disp(list_csv(1).name);
33         disp(list_csv(2).name);
34         disp(' ');
35     end

```

```

36 end
37 %data import
38 dataa = importdata(fullfile(pathname,list_csv(1).name),',',15);
39 datab = importdata(fullfile(pathname,list_csv(2).name),',',15);
40 %merging data (first column is time)
41 data = [dataa.data datab.data(:,2:end)];
42 %% calculate cell voltages
43 %scale Cell 5-6 (voltage divider)
44 data(:,6:7) = data(:,6:7)*2;
45 data_temp = data;
46 %cell voltages
47 [data_rlength data_clength] = size(data);
48 i=1;
49 while i < 6
50     data(:,i+2) = data_temp(:,i+2)-data_temp(:,i+1);
51     i=i+1;
52 end
53 %% plot data and label graphs
54 h = figure('Name',fullfile(pathname, filename));
55 % subplot(2,1,1);
56 plot(data(:,1),data(:,2:7))
57 legend('cell 1', 'cell 2', 'cell 3', 'cell 4', 'cell 5', 'cell 6')
58 ylabel('Volt')
59 xlabel('seconds')
60 grid minor;
61 set(h,'PaperUnits','normalized');
62 set(h,'PaperPosition', [0 0 1 1]);
63 set(h,'PaperOrientation','landscape');
64 % request title
65 titlename = input('Please give me a title name: ','s');
66 % format title
67 title(titlename,'fontsize',12,'fontweight','bold');
68 % output
69 choice = input('save as PDF? (if not leave blank) ','s');
70 if ~strcmp(choice,'')
71     file_pdf= [choice '.pdf'];
72     saveas(h, file_pdf);
73     close(h);
74     winopen(file_pdf);
75 end
76 % subplot(2,1,2);
77 % plot(data(:,1),data(:,8));
78 % ylabel('Amps')
79 % xlabel('seconds')
80 % grid minor;

```

Listing 16: M-File für die Darstellung des Datenformats des Oszilloskops

```

1 %Kurvenauswertung der Strommessung am Auto für Textronic Oszilloskop
2 %Input: csv Datei mit Messdaten aus Oszilloskop
3 %Output: Plot der Messdaten

5 %open data file
6 fid = fopen('tek0007.csv');
7 %fid = fopen('test.csv');

9 %header = textscan(fid,'%s','delimiter','\t');

11 %scan data file for header
12 header = textscan(fid, '%s',14, 'delimiter','\t');

```

```
14 %scan data file for data
15 data = textscan(fid, '%f,%f');

17 %close data file
18 fclose(fid);

20 %convert array to matrix
21 dataA = [data{1,:}];

23 %find start value
24 i=1;
25 while i<length(dataA) && (abs(dataA(i+1,2)-dataA(i,2)))<2
26     i=i+1;
27 end

29 %shift signal to new origin
30 dataNewX = [(dataA(:,1)-dataA(i,1)), dataA(:,2)];

32 %plot data
33 plot(dataNewX(:,1),dataNewX(:,2));
34 grid;
35 axis([-1e-4 max(dataNewX(:,1)) min(dataNewX(:,2)) (max(dataNewX(:,2))+50)])
36 title('Anlassstrom VW Passat Diesel','fontsize',14);
37 xlabel('sec','fontsize',24);
38 ylabel('A','fontsize',24);
```

### B.3. Auswertung und Analyse der Sensordaten

Listing 17: M-File für die Auswertung und Darstellung der Sensordaten

```
1 %file: batsen_plot_ms_0806.m
2 %
3 %author: Matthias Schneider, Simon Püttjer
4 %last modification: 08.06.2011
5 %
6 %description: This script file rearranges and displays the recorded data, the sensor
7 %measured during a battery test. As input a *.mat file is needed or data
8 %which is formatted as follows:
9 % 6 columns:
10 % ||versionID||AddressWord||SenAdd||CellVoltage||timelabel||Pos.inQueue||
11 % measurements row-wise

13 %% clear workspace
14 clear all

16 %% some adjustment factors
17 %time_offset = [-18.8 -12 -14.5 -14.5 -15.5 -16];
18 time_offset = [0 0 0 0 0 0];
19 time_cor_fac = [1 1 1 1 1 1];
20 voltage_cor_fac = [1 1 1 1 1 1];
21 frame_length = 0.024;

23 %% initialize input data
24 display('Pick a *.mat file!');
25 % get file path and import data
```

```

26 [filename, pathname, filterindex] = uigetfile( ...
27 {'*.mat','matlab mat file (*.mat)'; ...
28 '*.*', 'All Files (*.*)'}, ...
29 'Pick a datafile from a battery measurement');
30 if isequal(filename,0) || isequal(pathname,0)
31     disp('Canceled by user in fileselect box');
32     return
33 else
34     filename_compl = fullfile(pathname, filename);
35     disp(' ');
36     disp('User has selected the file:');
37     disp(filename_compl);
38     disp(' ');
39 end
40 % load file path as matrix file
41 input = load(filename_compl,'-mat');
42 input = input.data3;
43 input1 = double(input); %new input
44 input2 = input1;

47 scope_data = load('C:\Users\simon\Documents\MATLAB\Batteriemessung_1_6_2011_sorted_data\
48 A4\Messung1\A4_M1_arb_gen2.mat','-mat');
49 scope_data = scope_data.data;

50 %% find and sort the data of each sensor into a separate vector inside an array

52 % find the sensor adresses
53 sen_ids = [input2(1,3)] %init id list with adresses from first packet
54 id_already_known = 0;
55 for i=2:1:size(input2,1) %loop for all packets
56     id_already_known = 0; %reset flag for known ids
57     for k=1:1:size(sen_ids,2) %loop for actual id list
58         if input2(i,3) == sen_ids(k) %check if id in packet matches id in list
59             id_already_known = 1; %set known id flag
60             break;
61         end
62     end
63     if id_already_known == 0
64         sen_ids(size(sen_ids,2)+1) = input2(i,3); %place the unknown id at the end of id
65         list
66     end
67 sorted_sen_ids = sort(sen_ids) %sort the sensor ids

69 %%seperate data of each sensor into an array of vectors
70 for i = 1:1:size(sorted_sen_ids,2) % loop for the sensor ids
71     j = 1; %counter variable for vector element
72     for k = 1:1:size(input2,1) %loop for the packets to be sorted
73         if input2(k,3) == sorted_sen_ids(i) % check if packet sensor matches actual
74             sensor id
75             sep_data{i}(j,:) = input2(k,:); %write packet into vector of actual id
76             j=j+1; %increase vector element counter
77         end
78     end

80 sep_data_sorted = sep_data;

82 %% transform voltage values

```

```

83 for i = 1:1:size(sep_data,2) % loop for the sensor ids
84     start_ts = sep_data{i}(1,5);
85     start_tsb = (sep_data{i}(1,8)*2^16+sep_data{i}(1,9))/1e6;%-(5000-sep_data{i}(1,2))
        /10000
86     for k = 1:1:size(sep_data{i},1)
87         sep_data{i}(k,4) = sep_data{i}(k,4)*1.5*(2.5/1023)/10*voltage_cor_fac(i);
88         sep_data{i}(k,5) = (sep_data{i}(k,5) - start_ts);
89         if sep_data{i}(k,5) < 0
90             sep_data{i}(k,5) = sep_data{i}(k,5)+2^16;
91         end
92         sep_data{i}(k,2) = (sep_data{i}(k,2))/10000;
93         sep_data{i}(k,5) = ((sep_data{i}(k,5)/100));
94         sep_data{i}(k,8) = (sep_data{i}(k,8) *2^16+sep_data{i}(k,9))/1e6-start_tsb;%-(sum
            (sep_data{i}(1:k,2)));
95         %if sep_data{i}(k,1) == 1
96         %     sep_data{i}(k,5) = sep_data{i}(k,5) + frame_length;
97         %end
98     end
99     sep_data{i}(1,8) = 0;
100    m = 1;
101    for k = 2:1:size(sep_data{i},1)
102        if (sep_data{i}(k,1) == 3) && (sep_data{i}(k-1,1) == 3);
103        %         delta_time_lb(m) = sep_data{i}(k,8)-(sep_data{i}(k-1,8)-sep_data{i}(k-1,2))
104        %         ;
105        %         adj(m) = delta_time_lb(m) / (sep_data{i}(k,5)-(sep_data{i}(k-1,5)));
106        %         delta_time_lb(m) = sep_data{i}(k,5)-sep_data{i}(k-1,5) + (sep_data{i}(k,2)-
            sep_data{i}(k-1,2));
107        %         sep_data{i}(k,10) = delta_time_lb(m);
108        %         sep_data{i}(k,11) = (sep_data{i}(k,8)-(sep_data{i}(k-1,8)));
109        %         adj{i}(m) = delta_time_lb(m) / (sep_data{i}(k,8)-(sep_data{i}(k-1,8)));
110        %         madj(i) = mean(adj{i}(:));
111        %         sep_data{i}(k,12) = adj{i}(m);
112
113        m = m+1;
114    end
115 end
116
117 for k = 1:1:size(sep_data{i},1)
118     sep_data{i}(k,13) = (sep_data{i}(k,5)*1/madj(i));
119 end
120
121 voffset(i) = abs(sep_data{i}(1,4)-scope_data(1,2));
122 [min_u(i) min_ts(i)] = min(sep_data{i}(:,4));
123 [min_u_scope(i) min_ts_scope(i)] = min(scope_data(:,2));
124 time_offset(i) = sep_data{i}(min_ts(i),13)-scope_data(min_ts_scope(i),1)
125 for k = 1:1:size(sep_data{i},1)
126     sep_data{i}(k,13) = (sep_data{i}(k,13)-time_offset(i));
127     sep_data{i}(k,4) = sep_data{i}(k,4) - voffset(i);
128
129 end
130
131 %% plot data
132 figure(1);
133 plot(scope_data(:,1), scope_data(:,2));
134 cstring='rgbcmyk'; % color string
135 hold on
136 for i=1:1:length(sep_data)

```

```

139 %     figure(i)
140 %     hold
141 %plot(sep_data{i}(:,5),sep_data{i}(:,4),'k');
142 %plot(sep_data{i}(:,8),sep_data{i}(:,4));
143 %plot(scope_data(:,1),scope_data(:,3));
144 plot(sep_data{i}(:,13),sep_data{i}(:,4),cstring(mod(i,7)));
145 end

```

### Listing 18: M-File für die Simulation des Zwischenspeichers

```

1 clear all; close all
2 % Step 1: Load file and define the raw oversampling_factor
3 % all scope samplings are reduced to lms sampling
4 % Select by delete comments of only two lines

6 %input_data=load('vito_4s.mat');
7 %oversampling_factor_raw=250; % raw duration 4s / 1 Mio => 4us -> lms

9 %input_data=load('vito_10s.mat');
10 %oversampling_factor_raw=100; % raw duration 10s / 1 Mio => 10us -> reduced lms

12 %input_data=load('vito_20s.mat');
13 %oversampling_factor_raw=50; % raw duration 20s / 1 Mio => 20us -> reduced lms

15 input_data=load('vito_40s.mat');
16 oversampling_factor_raw=25; % raw duration 40s / 1 Mio => 40us -> reduced lms

19 % Step 2 select one of six sensors 1 to 6 !
20 % %%%%%% Select Sensor %%%%%%

23 sensor_number=2;

25 input_data = input_data.data_scaled;
26 % Cell Voltage raw Cv_raw
27 Cv_raw=input_data(:,1+sensor_number);

29 % Step 3 Downsample to lms Cell_voltage_decimated CVD
30 % Cvd sampling scaled in every case reduced to lms
31 Cvd=downsample(Cv_raw,oversampling_factor_raw);

34 % by the way ... this is a problem ... don't care ... Cv1=decimate(Cell1_voltage_raw,
    oversampling_faktor_raw);

36 % Step 4 Average or filter a Block
37 %Cvd=filter(Rectwin(8),sum(Rectwin(8)), Cvd); has problem with the
38 % groupdelay of the first values ... minor bad effects in plot scaling
39 Cvd=filtfilt(rectwin(8),sum(Rectwin(8)), Cvd);

41 % Alternatives ...
42 Cvd=filtfilt(gausswin(13),sum(gausswin(13)), Cvd);
43 % Step 5 reduce to 8 ms
44 % Cv=downsample(Cvd,10);
45 Cv = Cvd;
46 % find the lengt of reduced data ... not fix !
47 maxCv=length(Cv);
48 % %%%%%% Here you change the starting index; default =1 %%%%%%
49 Startindex=1;

```

```

50 Cv=Cv(Startindex:maxCv);
51 maxCv=length(Cv);

54 % %%%%%%%%% Now Sample level preprocessing completed %%%%%%%%%

58 % The Parameters of Input Queue xx_iq and Output of Queue xx_oq
59 %%%%%%%%%% important parameter settings here in relation to
      8ms !! %%%%%%%%%%
60 stretch_in=2; % here is to modify the density of transmitting
61 stretch_out=1;
62 max_time_distance_iq =round(1000*stretch_in); % 1.024s *stretch ... a max value ...
      could shorter
63 time_distance_oq=round(500*stretch_out); % 512ms *stretch a fix integer value (later
      with artificaf random offset)
64 var_time = round(time_distance_oq / 3);
65 fix_time = time_distance_oq;
66 time_distance_oq=randi([-var_time var_time],1,1) + fix_time;
67 % The three threshold as conditions fast In-queue !!!
68 %%%%%%%%%% important parameter settings
      %%%%%%%%%%
69 value_diff_threshold=0.01; % the max value difference from last In-queue allowed without
      an new In-queue
70 sum_value_diff_threshold=0.3; % the max sum of differences from last In-queue allowed
      without an new In-queue
71 value_diff_multiply_time_diff_threshold=0.5; % the max value difference*time difference
      from last In-queue allowed without an new In-queue

73 % Variables for Plots later

75 % For observation of quentries
76 qv=zeros(100000,1); % queue entries value ... here all values stored NOT really a
      queue
77 qts=zeros(100000,1); % queue entries time stamp (in_queue time stamp) ... here all
      values stored NOT really a queue

79 % For observation of queue behaviour only
80 loq=zeros(100000,1); % current length of queue (loq) in the moment of inqueue or
      outqueue
81 tsq=zeros(100000,1); % times stamps in the moment of inqueue or outqueue

83 % Indizees and initialisation
84 i=1; % run index of last reduced sampled (8ms) value
85 j=1; % index of recent in-queue value array ... contains at the end the number of all
      inqueue values
86 k=0; % index of recent queue change (both in- or outqueue)-value ... contains at the
      number of all queue operations
87 ko=0; % counter of out queues
88 l=0; % current lenght of queue
89 l_max=0; % max length of queue

91 % Only for statistics if later coming conditions are true or false
92 c1counter=0; c2counter=0; c3counter=0; c4counter=0;

94 % some variables to initalisize
95 qv(1)=Cv(2);
96 qts(j)=0;
97 sumdiff=0;

```

```

99 while (i<maxCv),
100     % grad=abs((Cv1(i)-rv(j))/(i-j)) not in use ... first idea

102     diff=abs((Cv(i)-qv(j))); % difference to last inqueue value
103     sumdiff=sumdiff+diff; % sum of all difference to last inqueue value since last
        inque
104     time_diff=i-qts(j); % difference to last inqueue value

106     i=i+1;

108     % One of this criteria to select of more in OR combination

110     % %%%%%%%%%%%%%%%%%%%%%%%%%%%%%%%%%%%%%%%%%%%%%%%%%%%%%%%%%%% important method modifikations
        %%%%%%%%%%%%%%%%%%%%%%%%%%%%%%%%%%%%%%%%%%%%%%%%%%%%%%%%%%%

112     cond1 = (abs(diff)>value_diff_threshold) ;% needed differences reached
113     cond2 = (abs((diff*time_diff)>value_diff_multiply_time_diff_threshold); % needed
        differences * times reached
114     cond3 = (abs(sumdiff)>sum_value_diff_threshold); % intergrated values reaches
        threshold
115     cond4 = (time_diff>max_time_distance_iq); % needed differences reached

117     % only statistics counting of true or false
118     if (cond1);c1counter=c1counter+1; end
119     if (cond2); c2counter=c2counter+1; end
120     if (cond3); c3counter=c3counter+1; end
121     if (cond4); c4counter=c4counter+1; end

124     if (cond1 || cond4)
125     % recuce at the end if effective
126     % p.e. if (cond3 | cond4)
127     % OLDCODE if ( sumdiff>sum_value_diff_threshold) | ( time_diff>
        max_time_distance_iq) % needed differences reached

129     % Storing a value = inqueue
130     j=j+1; % index in storing array for observation
131     qv(j)=Cv(i); % Voltage value
132     qts(j)=i; % time stamp
133     % only if sumdiff is in use
134     sumdiff=0;

136     % Only for que observation
137     l=l+1; % increase current queue length
138     k=k+1; % increase array use for queue observation
139     loq(k)=l; % store current length
140     tsq(k)=i; % store time stamp in 8ms units

142     end

144     if(mod(i,10)==0)

146     end

149     % out of queue period reached
150     if (0==mod(i,time_distance_oq)) % longest defined time period to transmit
151         if (l>l_max) % collect the longest queue for observations
152             l_max=l;

```

```

153     end
154     if (l>1)           % if the queue longer then 1 then reduce it
155         l=l-1;       % a queue of one is never reduce to empty
156     end
157     ko=ko+1;
158     k=k+1; % increase array use for queue observation
159     loq(k)=l; % store current length
160     tsq(k)=i; % store time stamp in 8ms units

162     end
163     time_distance_oq=randi([-var_time var_time],1,1) + fix_time;
164 end;

167 % Olotting routines
168 figure(1);
169 title('Non equistand sample reducing');
170 subplot(2,1,1);
171 plot(1:maxCv,Cv,'r',qts(1:j),qv(1:j),'-xb',0,0,'w',0,0,'w',0,0,'w',0,0,'w');
172 rs_string=strcat('8ms reduced signal samples: ',num2str(maxCv));
173 iq_string=strcat('In-queue Values total: ',num2str(j),' multiple cases poss. ');
174 tlq_string=strcat('Max diff to In-queue (threshold): ',num2str(value_diff_threshold),
175     ' cases:', num2str(c1counter));
176 t2q_string=strcat('Max diff*time to In-queue (threshold): ',num2str(
177     value_diff_multiply_time_diff_threshold), ' cases:', num2str(c2counter));
178 t3q_string=strcat('Max sum diff to In-queue (threshold): ',num2str(
179     sum_value_diff_threshold), ' cases:', num2str(c3counter));
180 t4q_string=strcat('Max time to In-queue: ',num2str(max_time_distance_iq),'* 8ms
181     cases:', num2str(c4counter) );

182 legend(rs_string, iq_string,tlq_string,t2q_string,t3q_string,t4q_string);
183 subplot(2,1,2);
184 plot(tsq(1:k),loq(1:k),'-xg',0,0,'w',0,0,'w');
185 l_string=strcat('Queuefilling max: ',num2str(l_max));
186 oq_string=strcat('Out-queue Values total: ',num2str(ko));
187 tlq_string=strcat('Time to Out-queue: ',num2str(time_distance_oq),'* 8ms');

188 legend(l_string,oq_string, tlq_string);

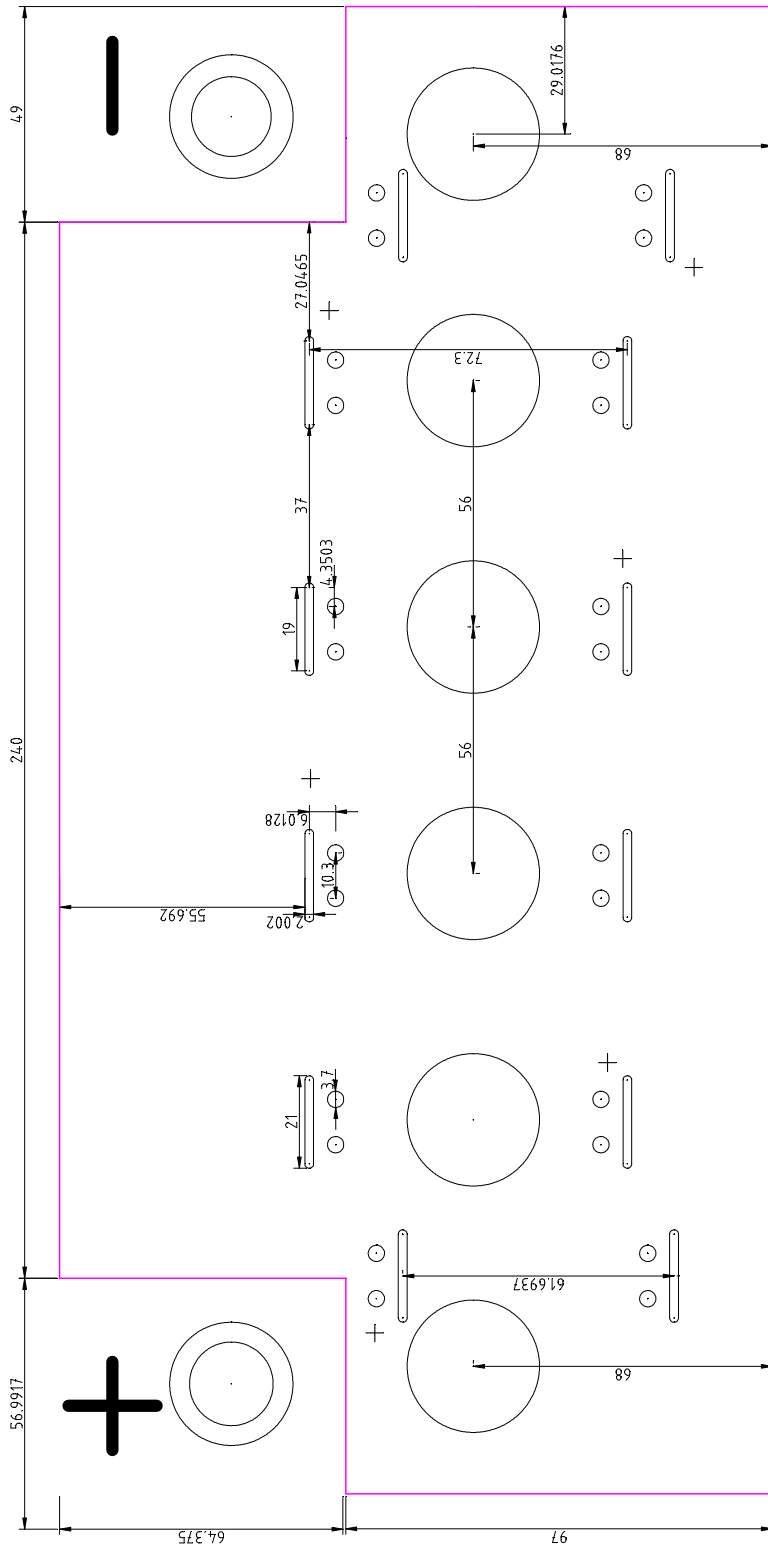
189 % Example of ohter plots

191 figure(2);
192 [AX,H1,H2]=plotyy(qts(1:j),qv(1:j), tsq(1:k),loq(1:k));

194 set(get(AX(1),'Ylabel'),'String','Voltage signal value')
195 set(get(AX(2),'Ylabel'),'String','Length of queue')
196 xlabel('Time index (in 8ms)')
197 title('Queue-filling')
198 set(H1,'LineStyle','-')
199 set(H1,'Marker','x')
200 set(H2,'LineStyle','-')
201 set(H2,'Marker','x')

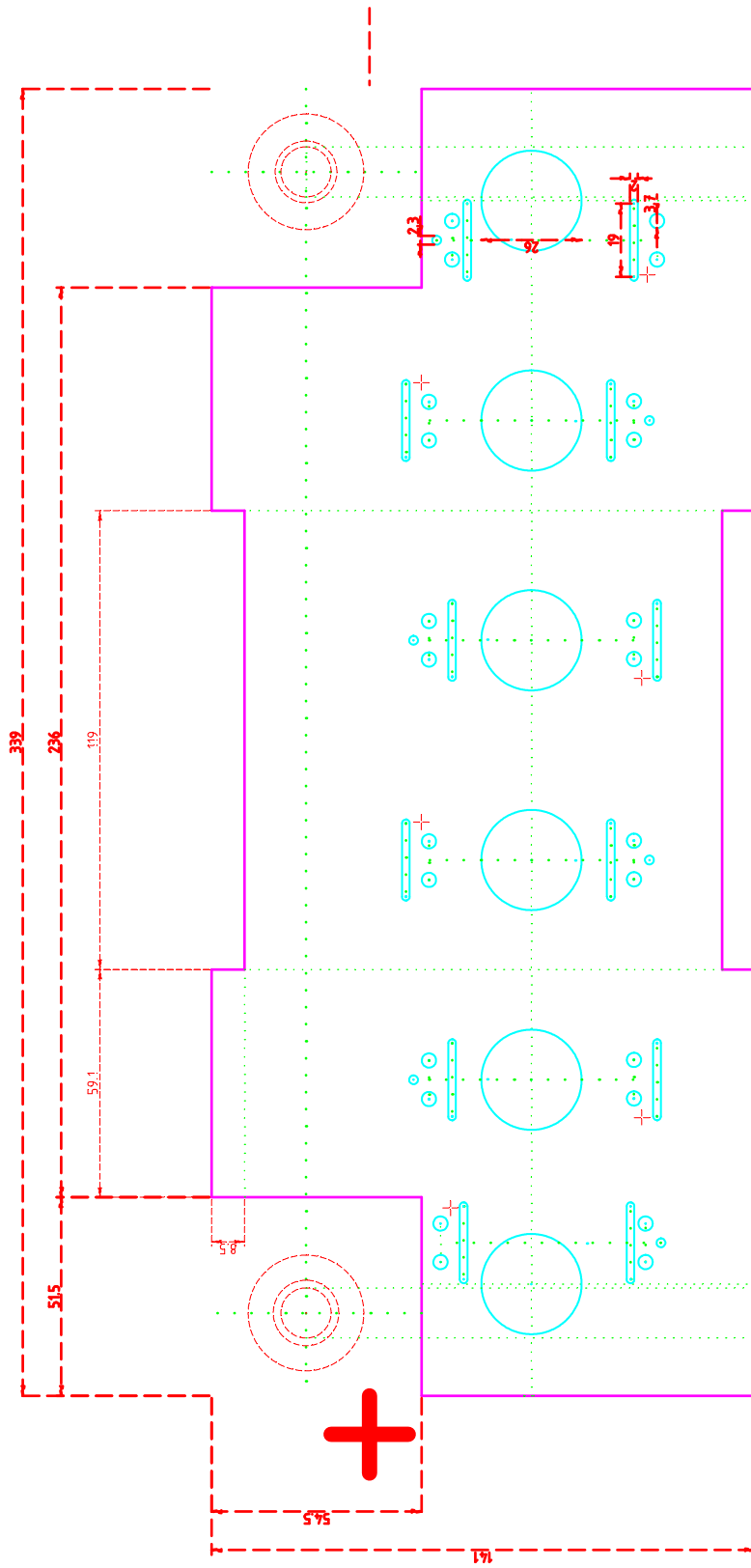
```

## C. Sonstiger Anhang



BatSen Batterie Deckel  
 Banner 588 027 064  
 Author: S. Puettjer

Abbildung 2.: Konstruktionszeichnung des Batterie-Deckels der Starterbatterie von Banner (Verhältnis 1:2)



BatSen Batterie Deckel  
Moll 600 038 085  
Author: S. Puettjer

Abbildung 3.: Konstruktionszeichnung des Batterie-Deckels der Starterbatterie von Moll (Verhältnis 1:2)

# Versicherung über die Selbstständigkeit

Hiermit versichere ich, dass ich die vorliegende Arbeit im Sinne der Prüfungsordnung nach §25(4) ohne fremde Hilfe selbstständig verfasst und nur die angegebenen Hilfsmittel benutzt habe. Wörtlich oder dem Sinn nach aus anderen Werken entnommene Stellen habe ich unter Angabe der Quellen kenntlich gemacht.

Hamburg, 17. Juni 2011

Ort, Datum

Unterschrift